

FIG. 1

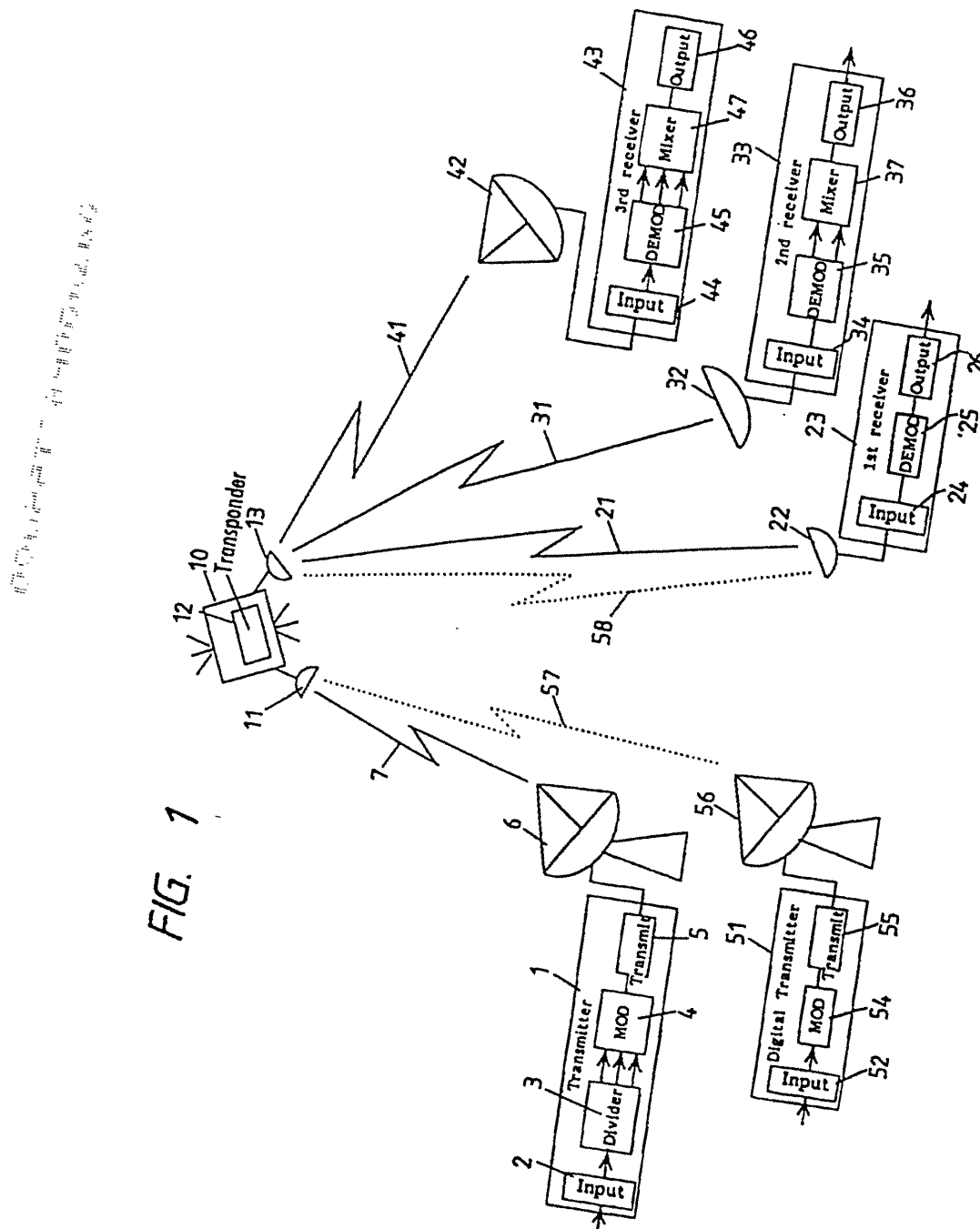
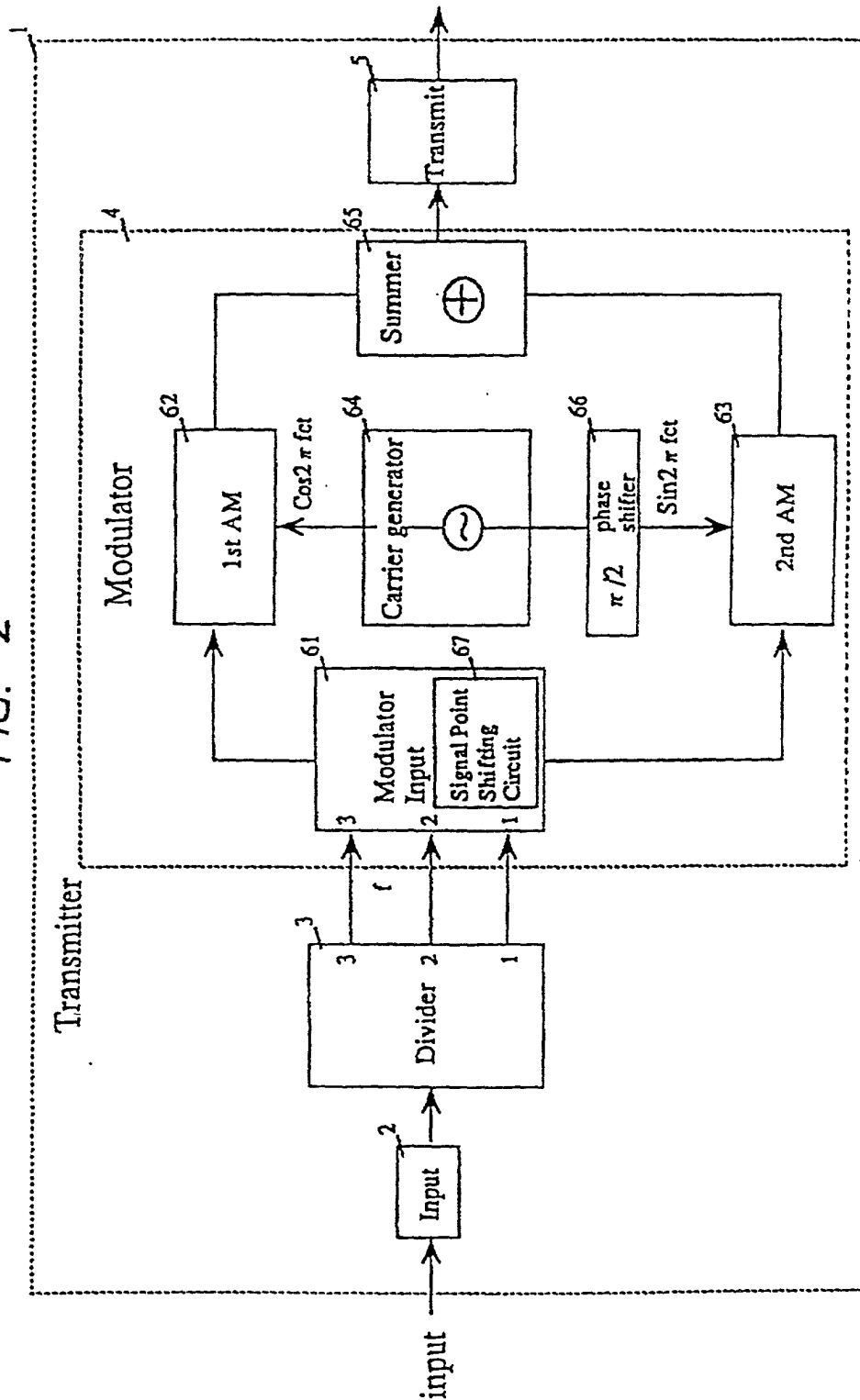


FIG. 2



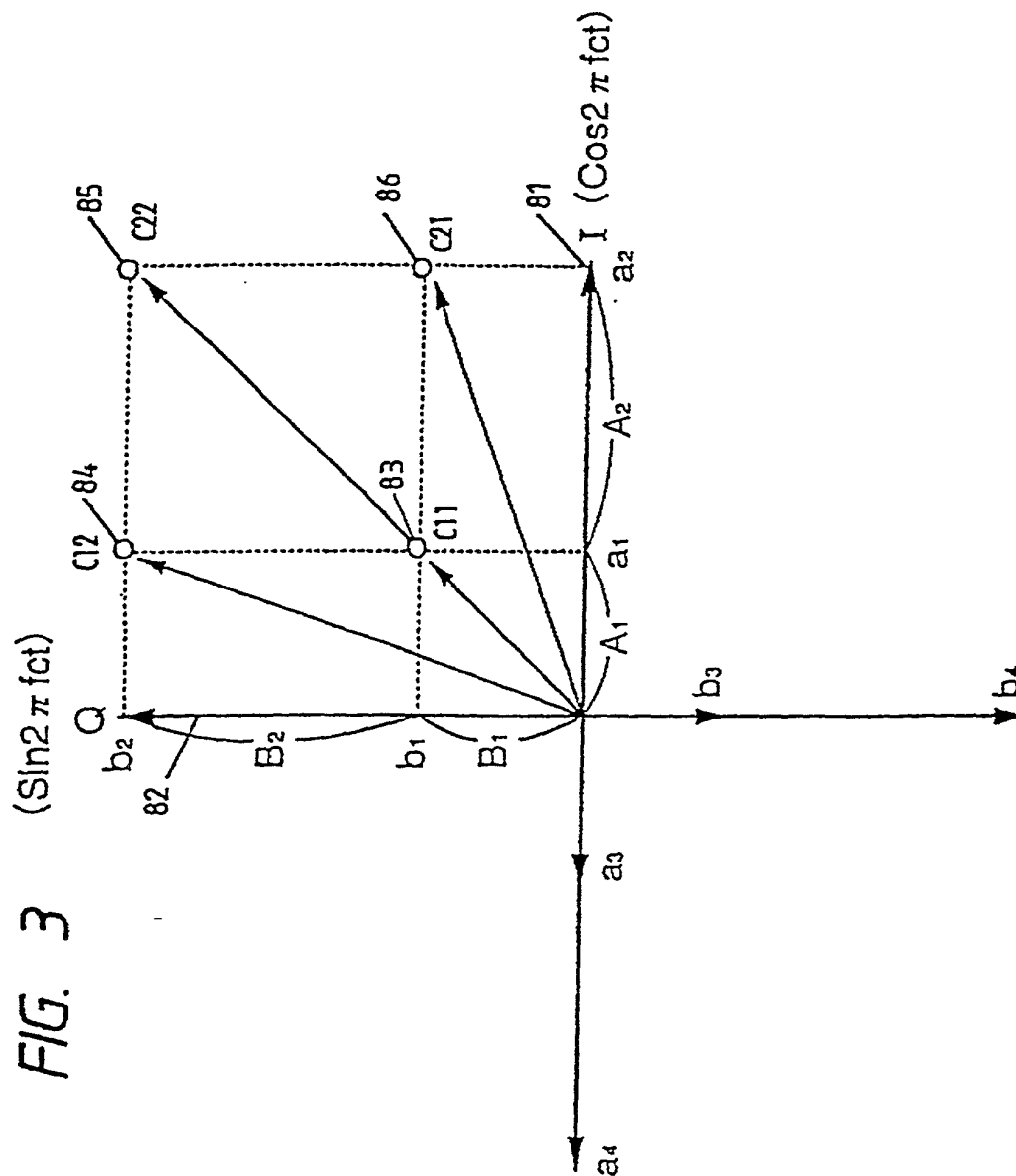
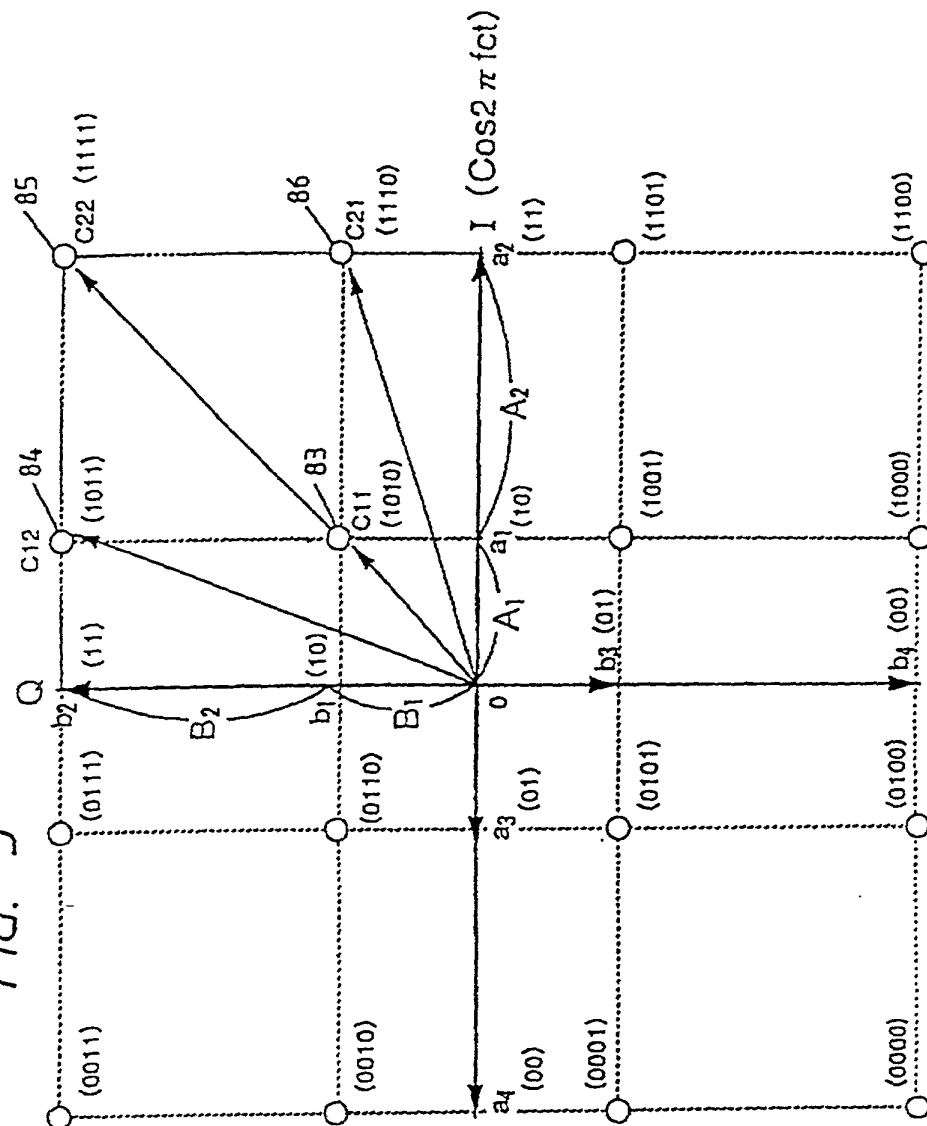


FIG. 4  
( $\sin^2 \pi fct$ )



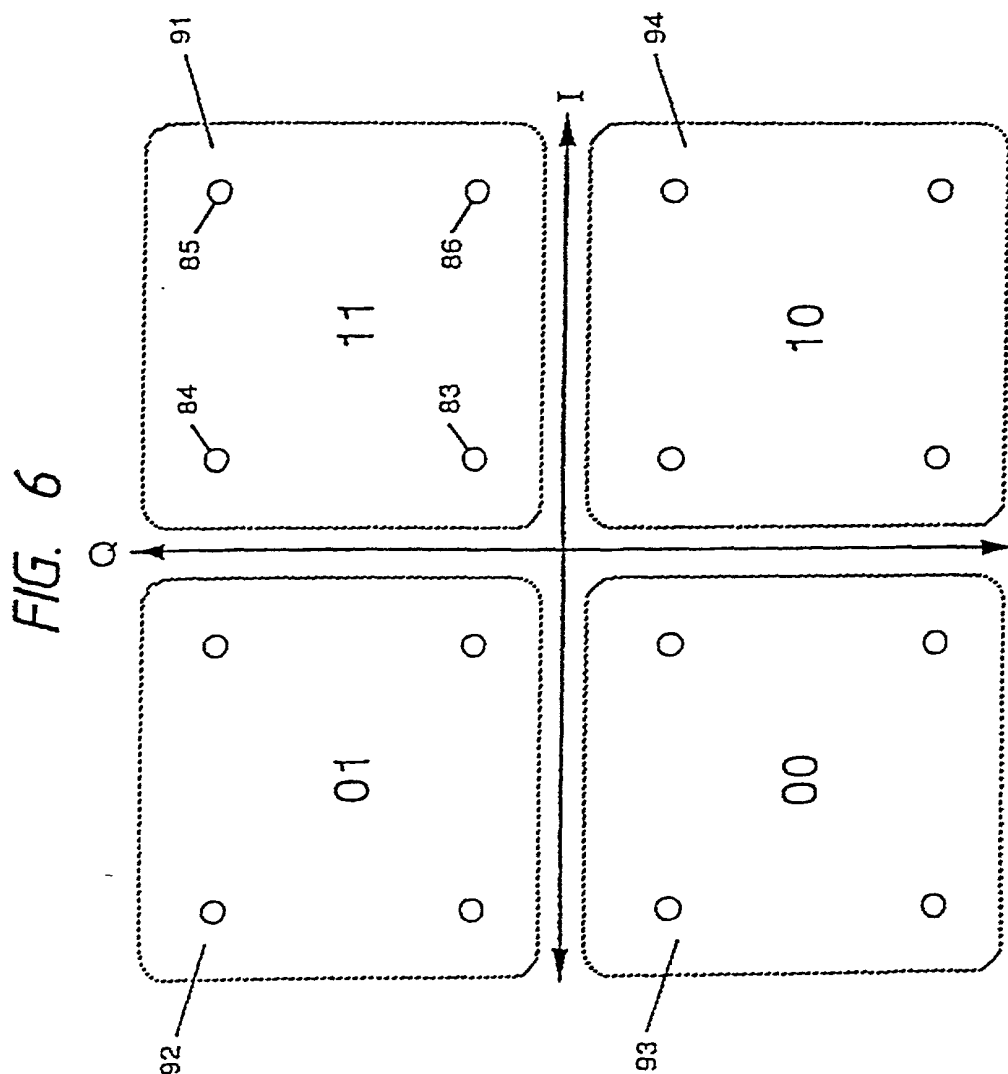
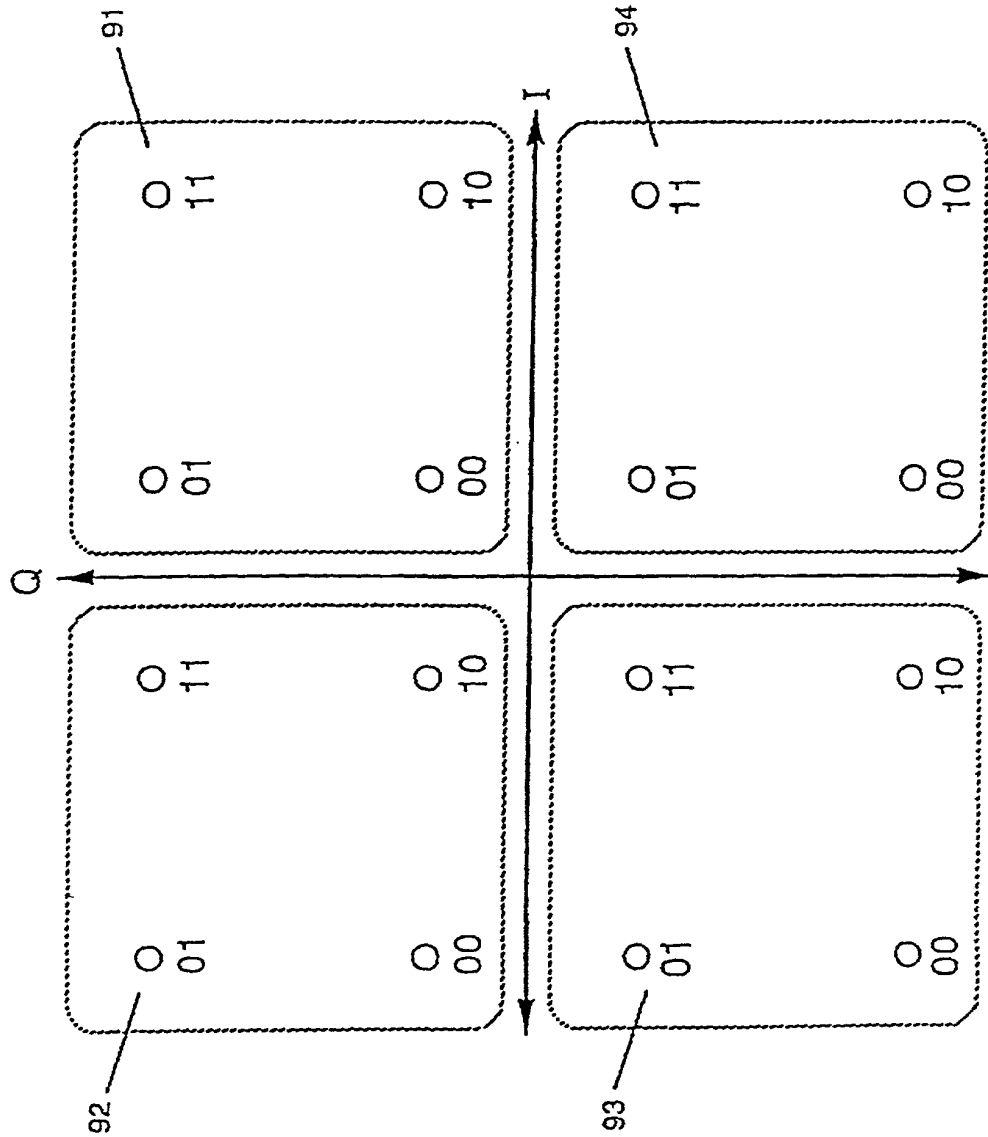


FIG. 7



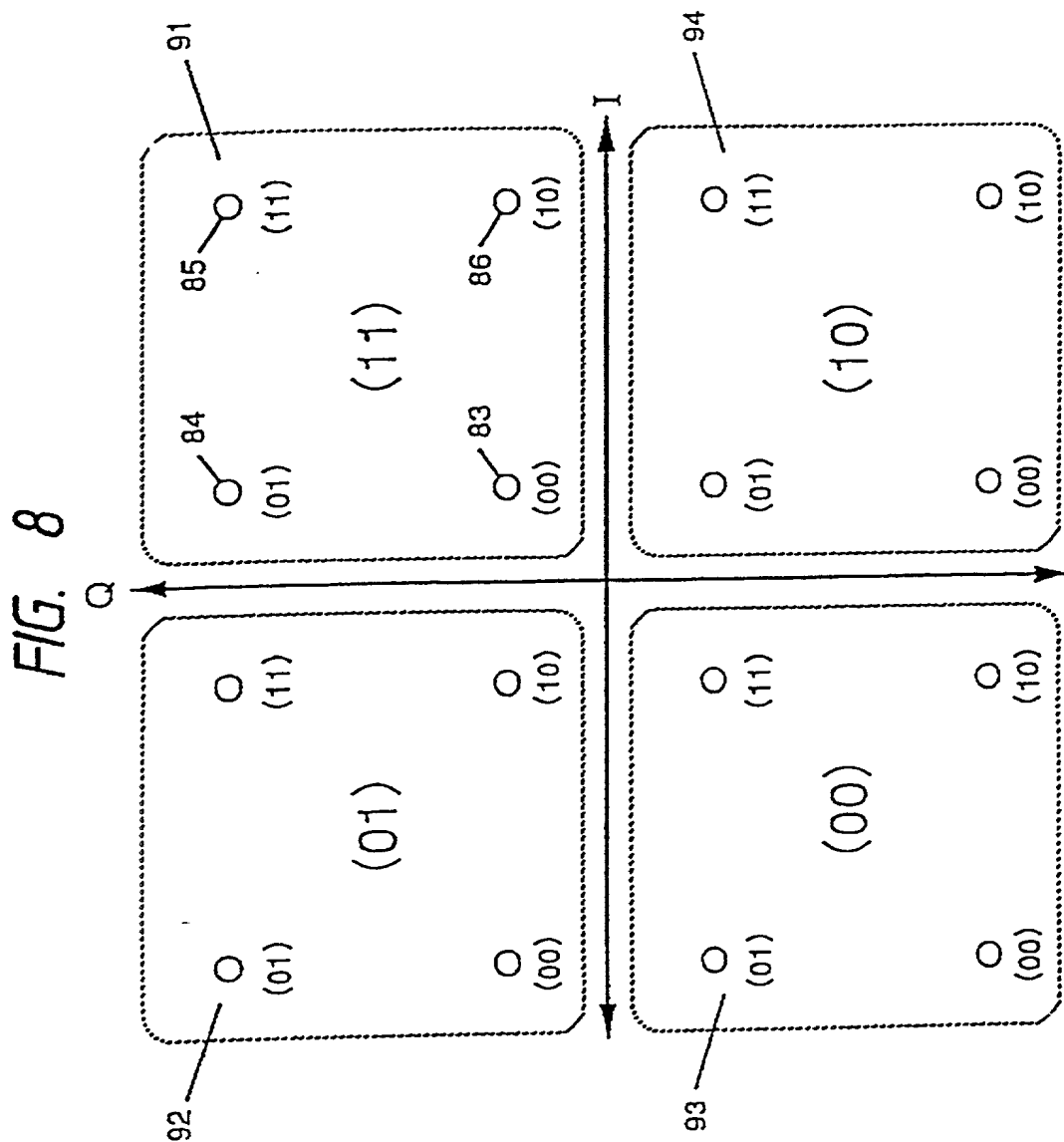




FIG. 9

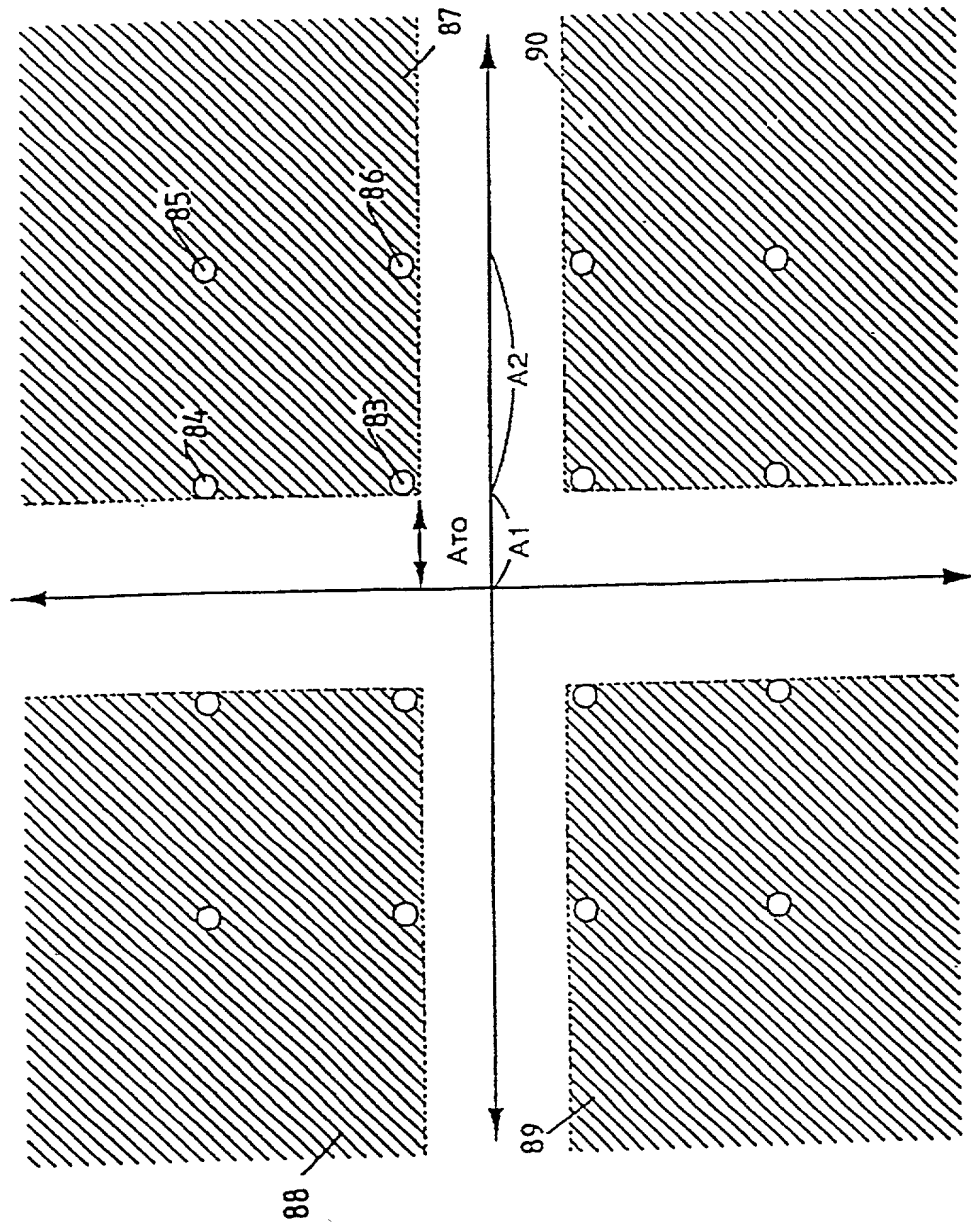


FIG. 10

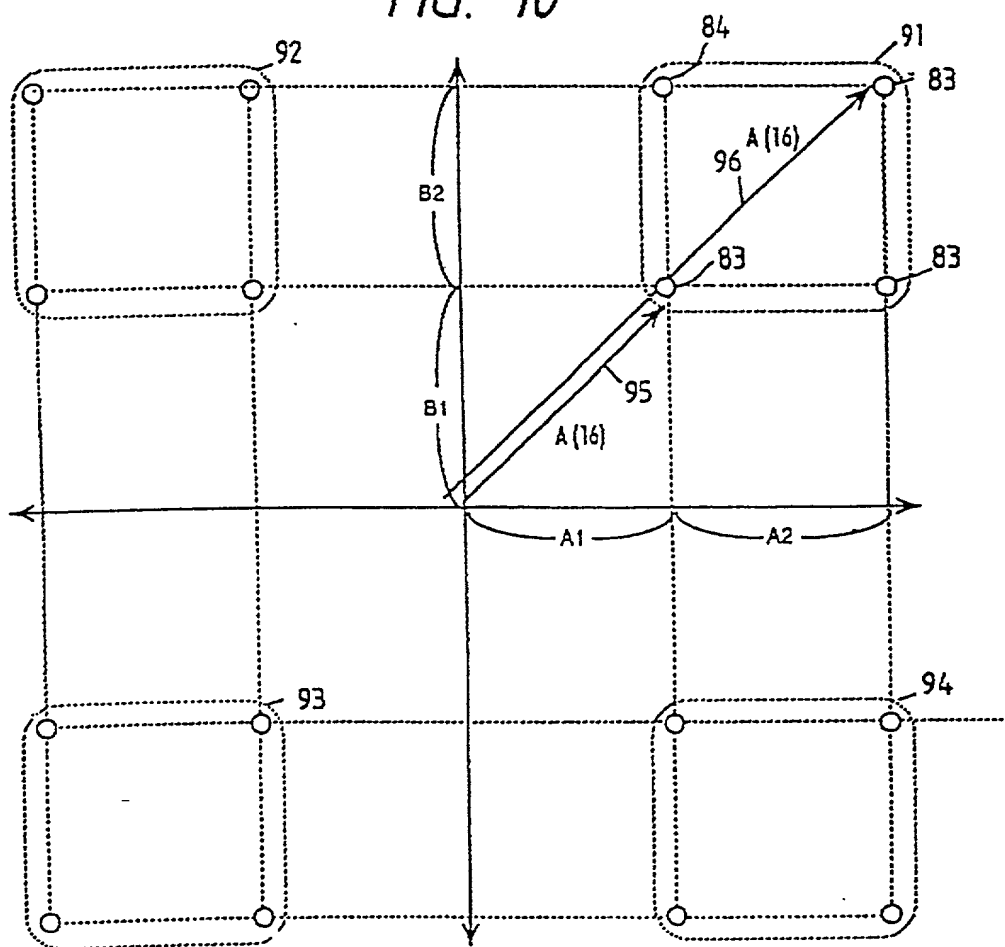


FIG. 11

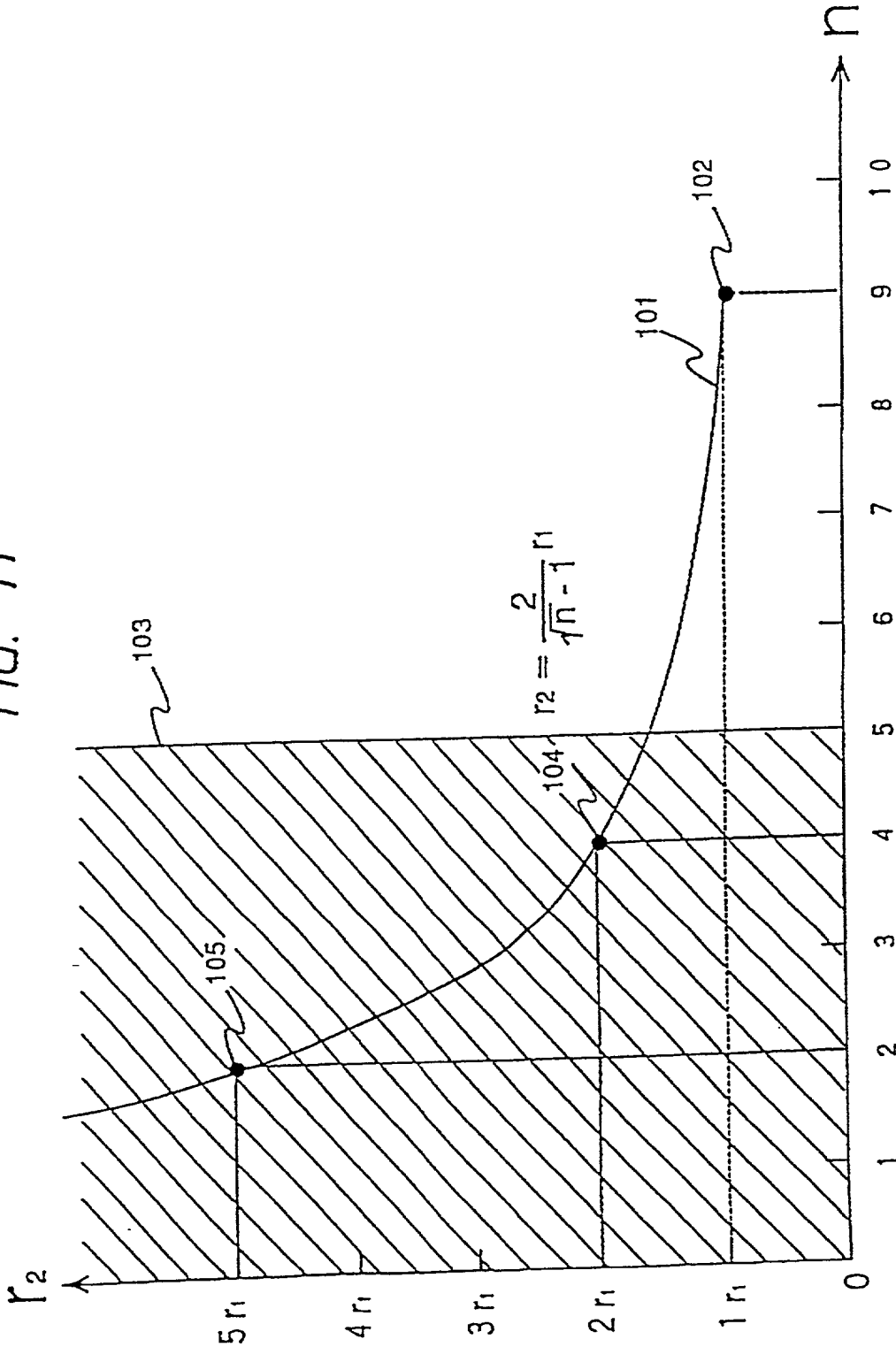
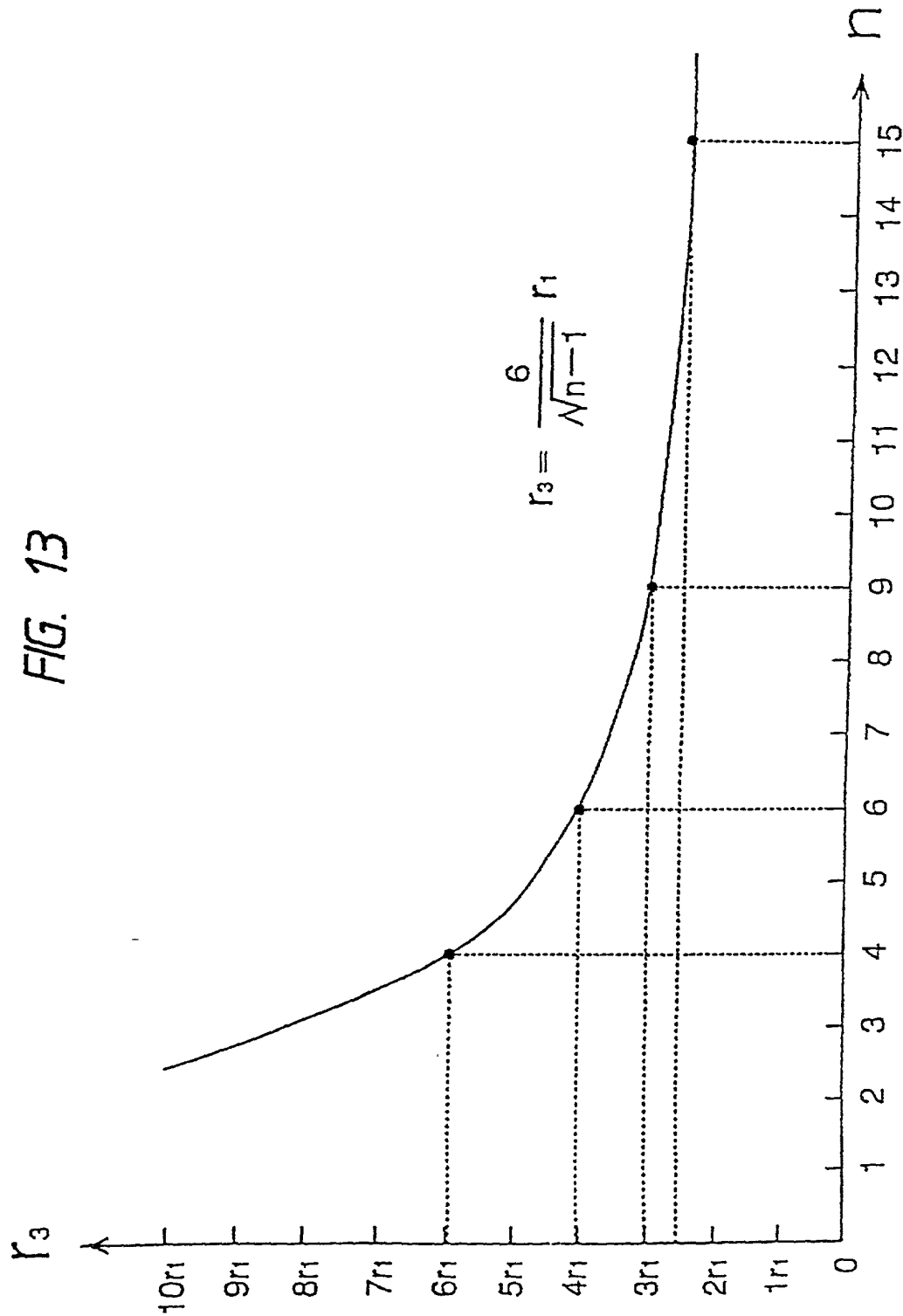
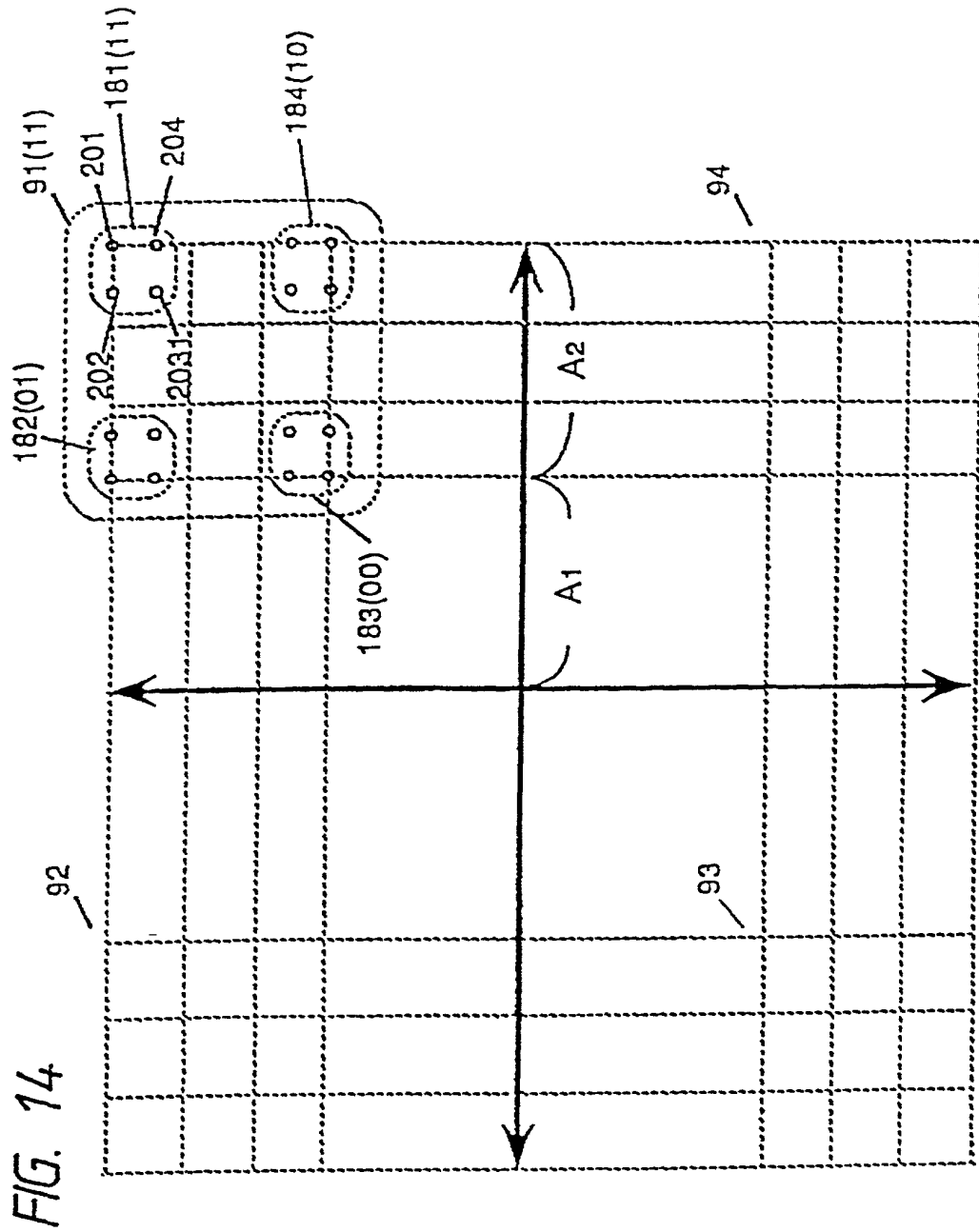




FIG. 13





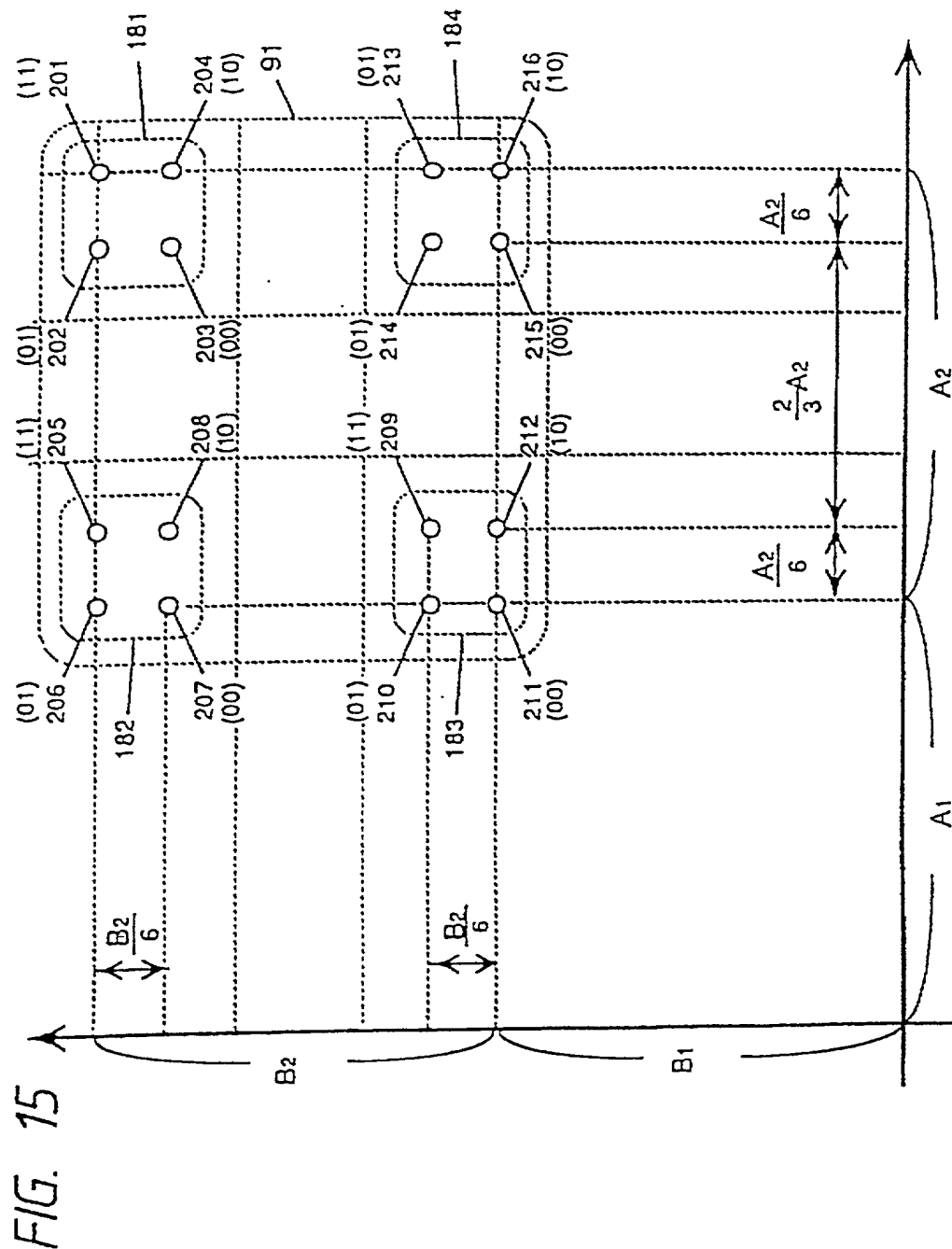


FIG. 16

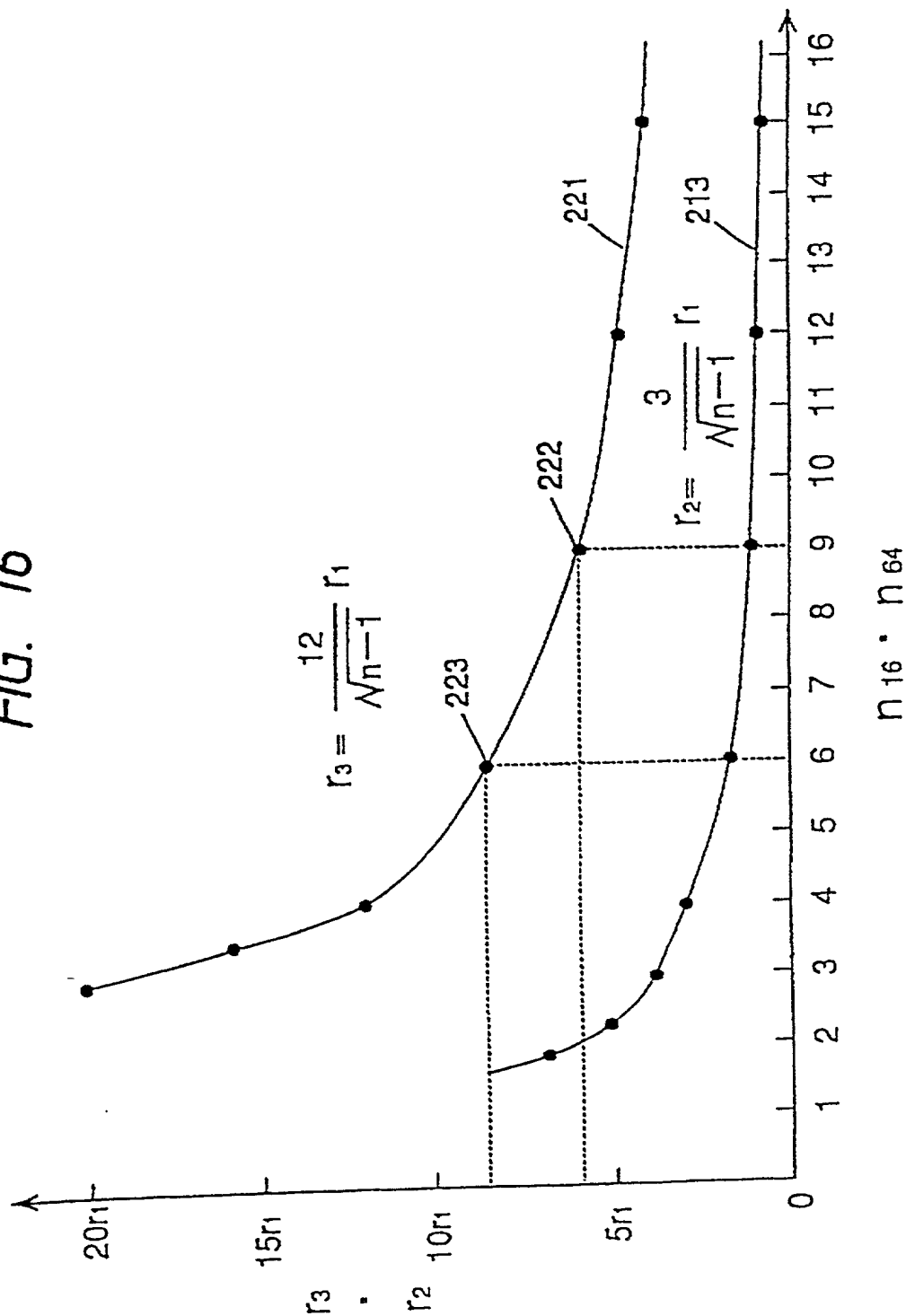




FIG. 17

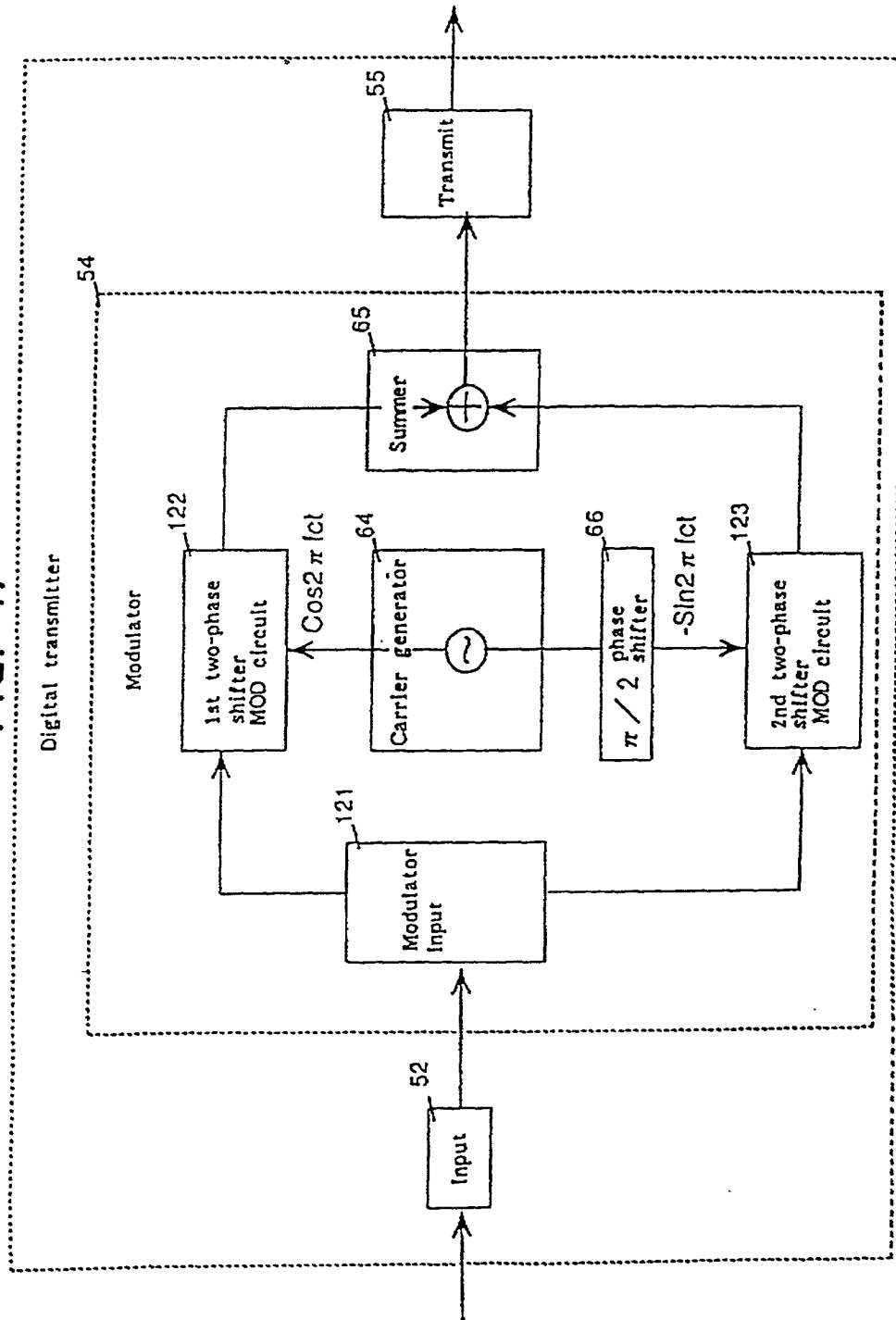


FIG. 18

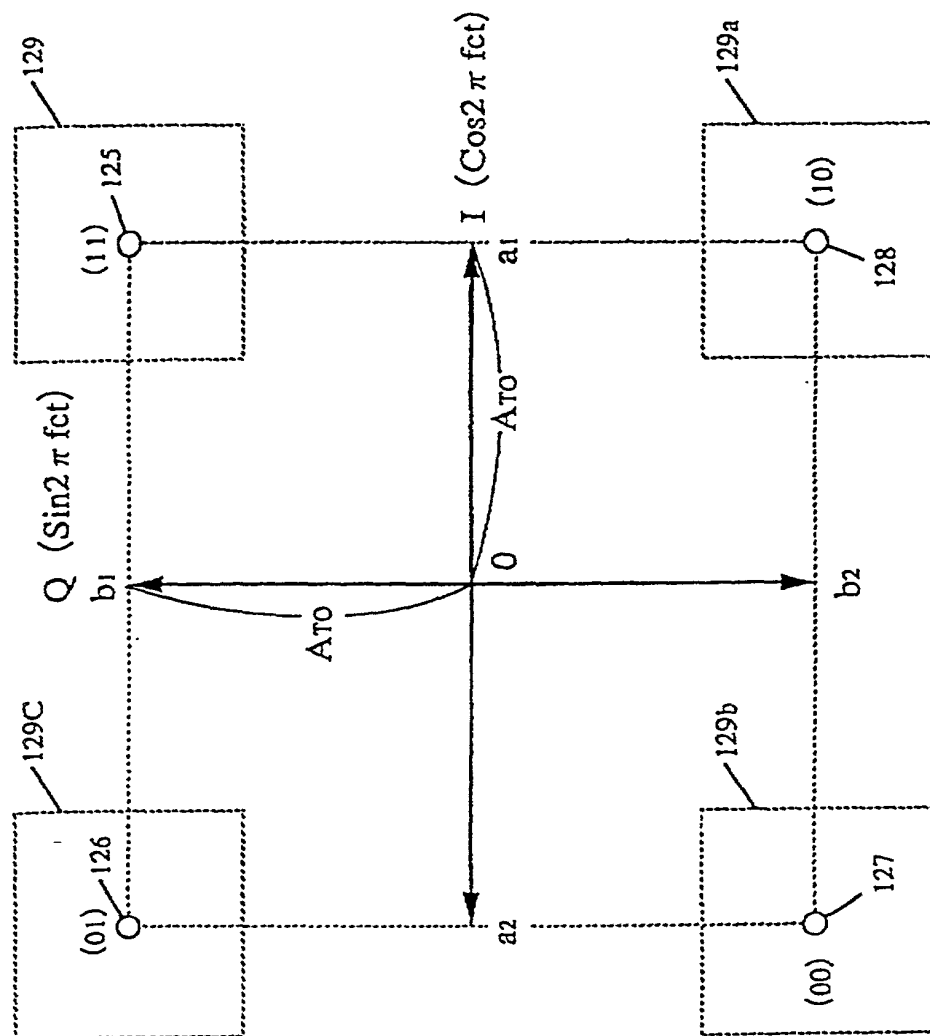
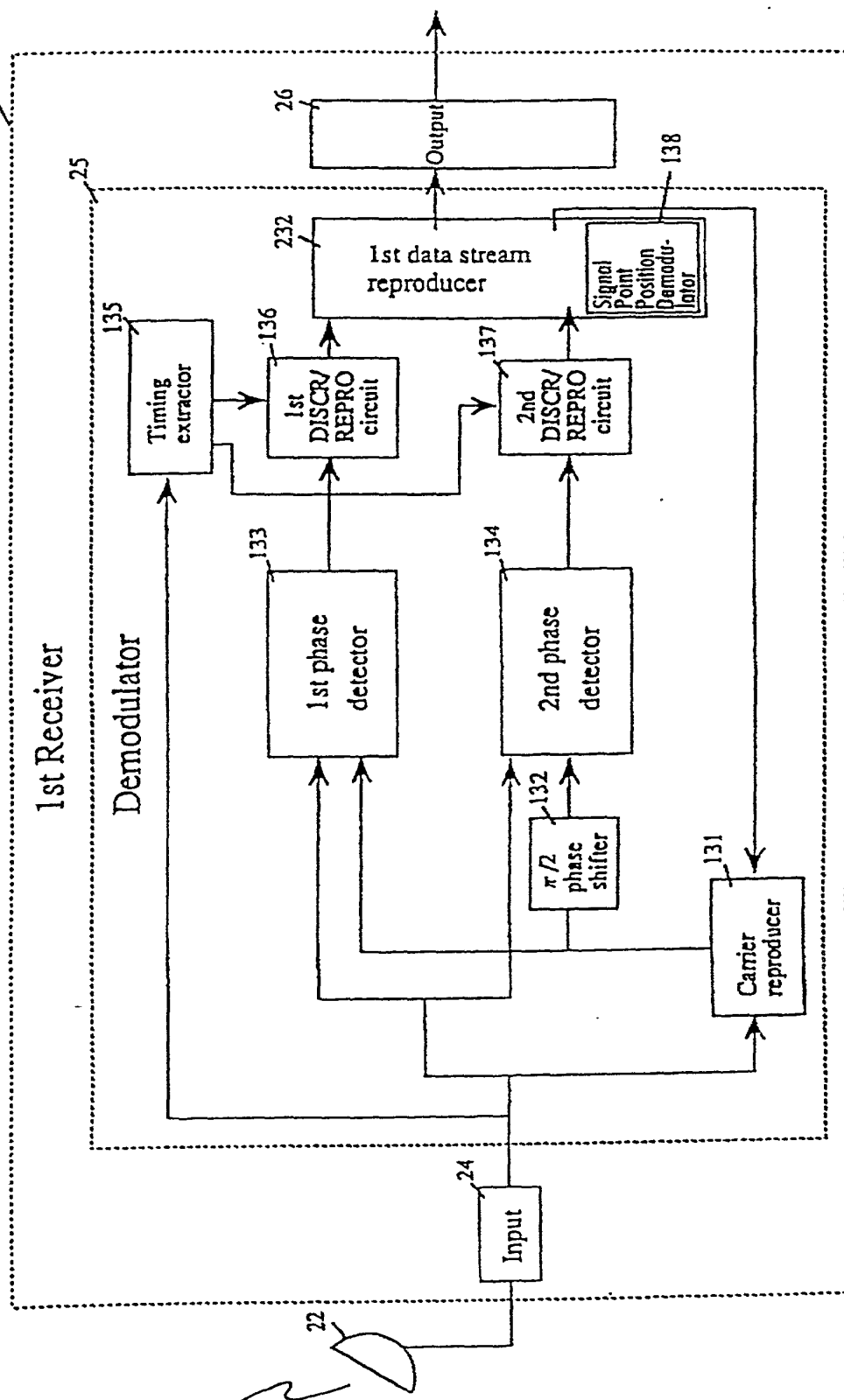


FIG. 19



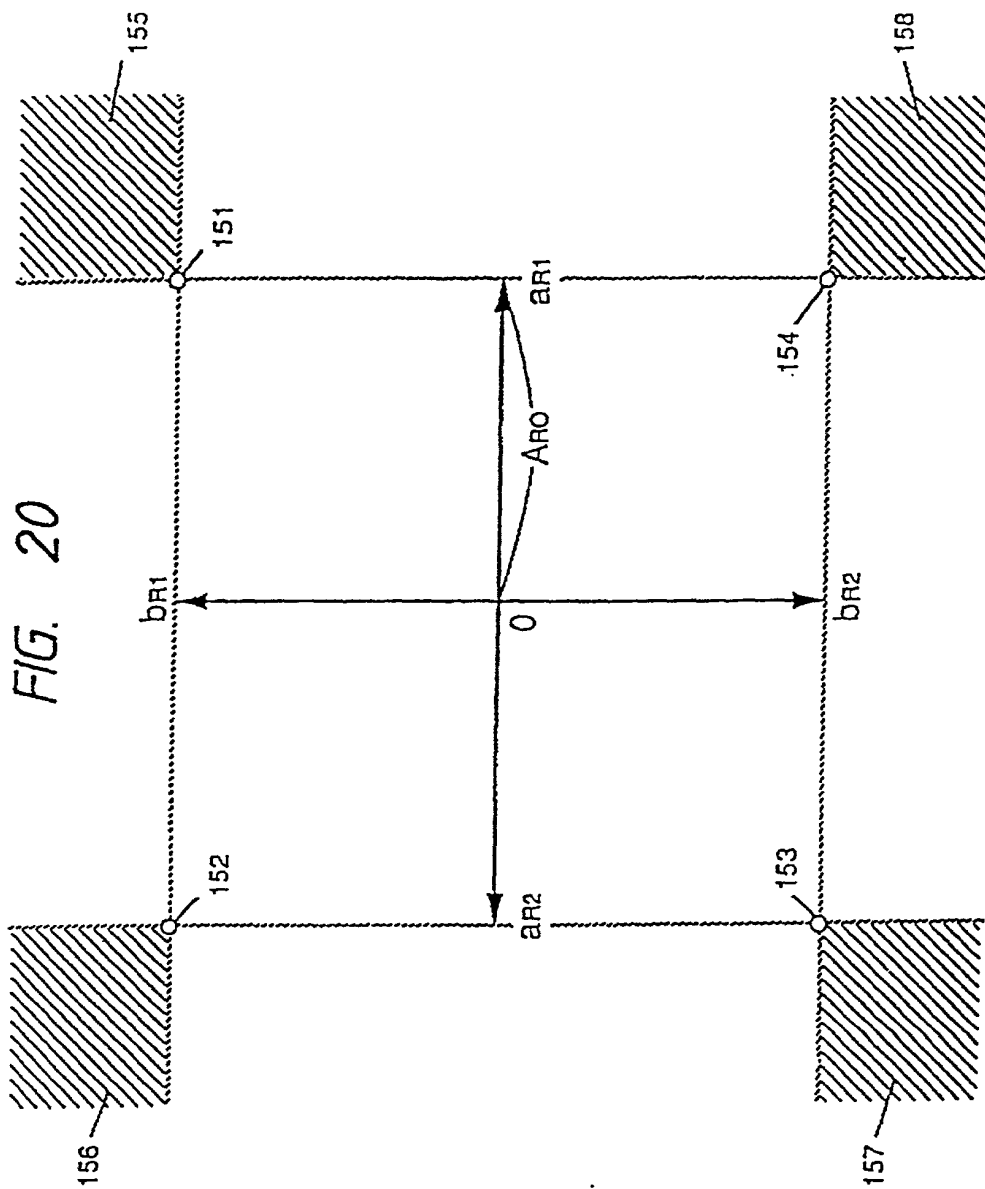


FIG. 20

000227-89004660

FIG. 21

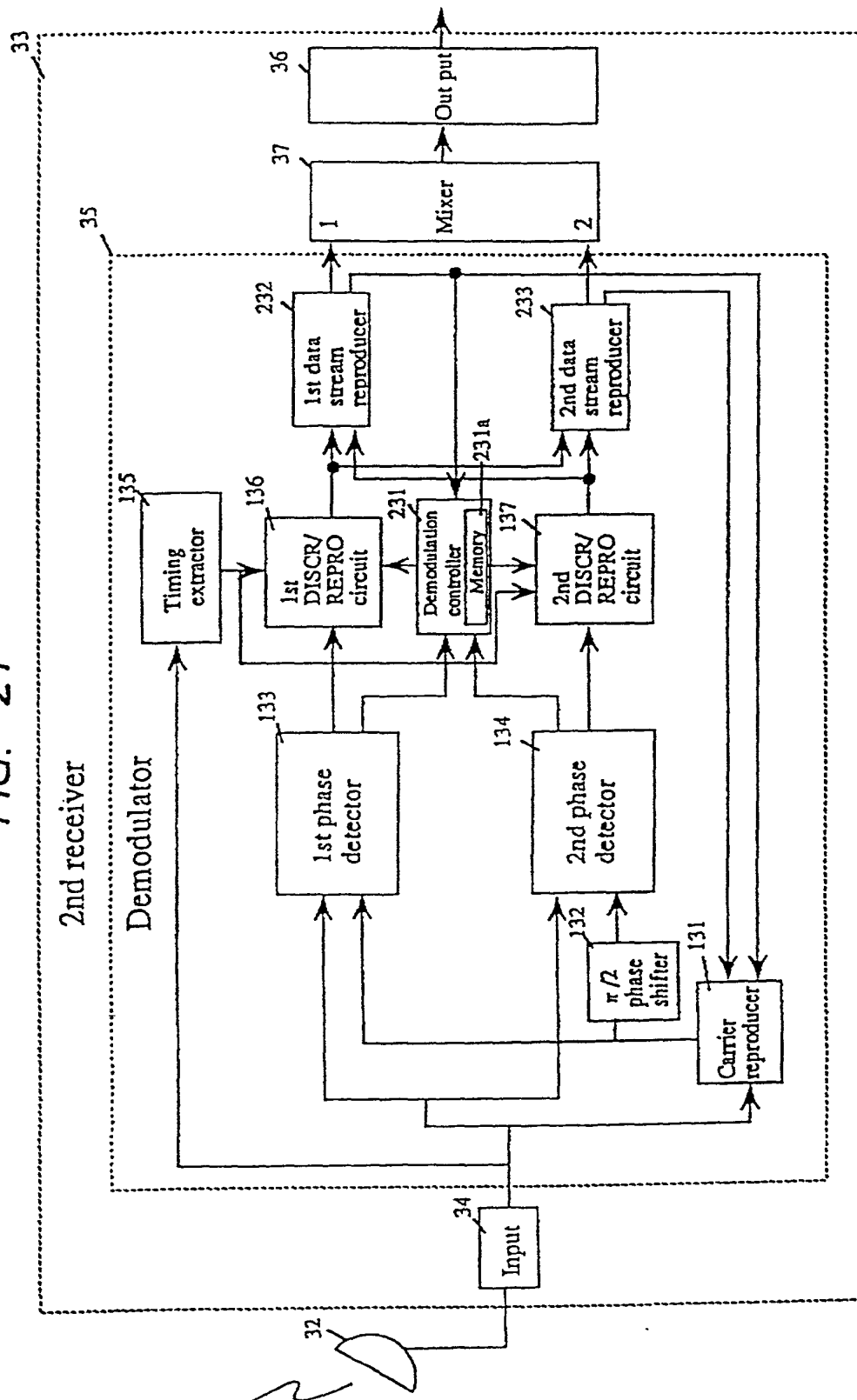
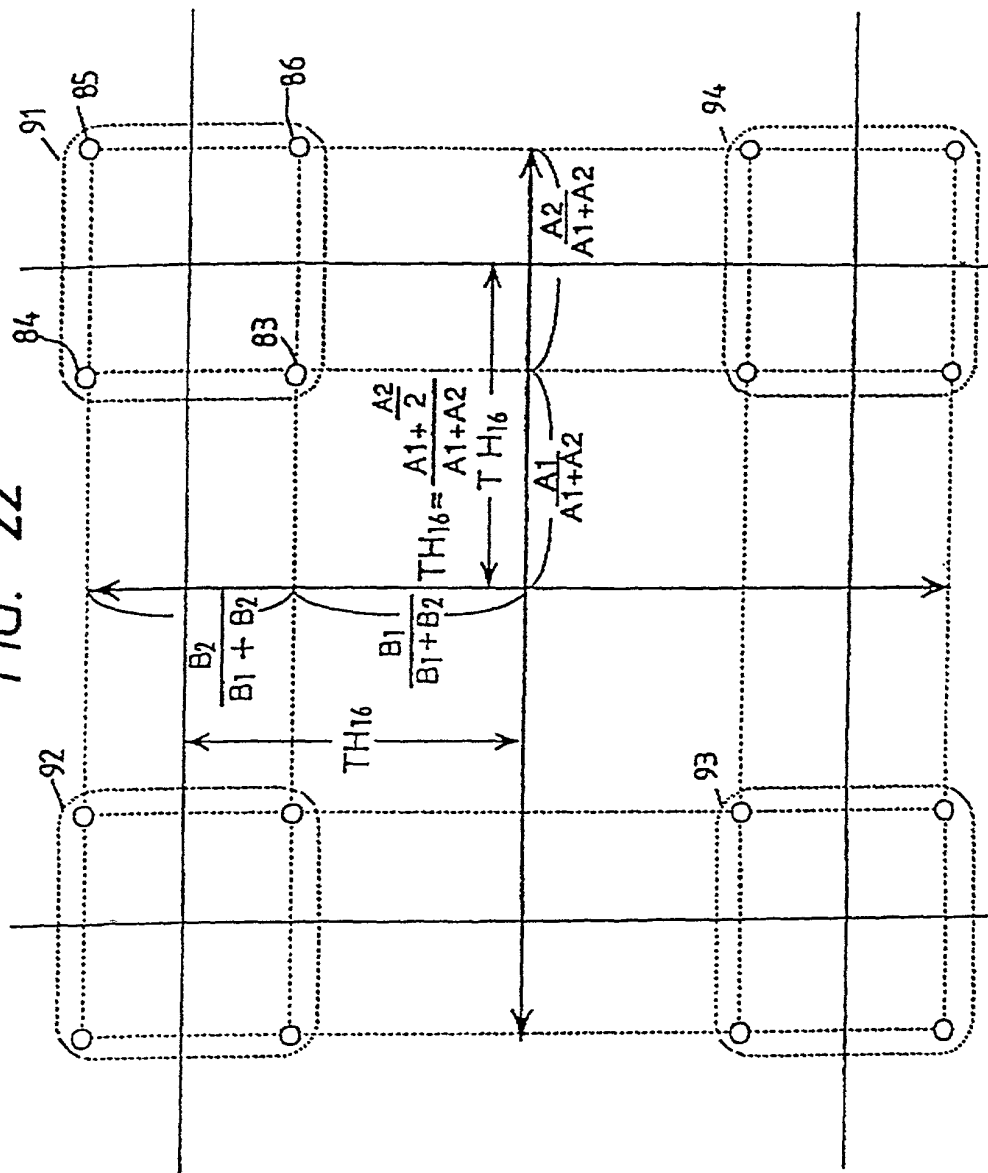


FIG. 22



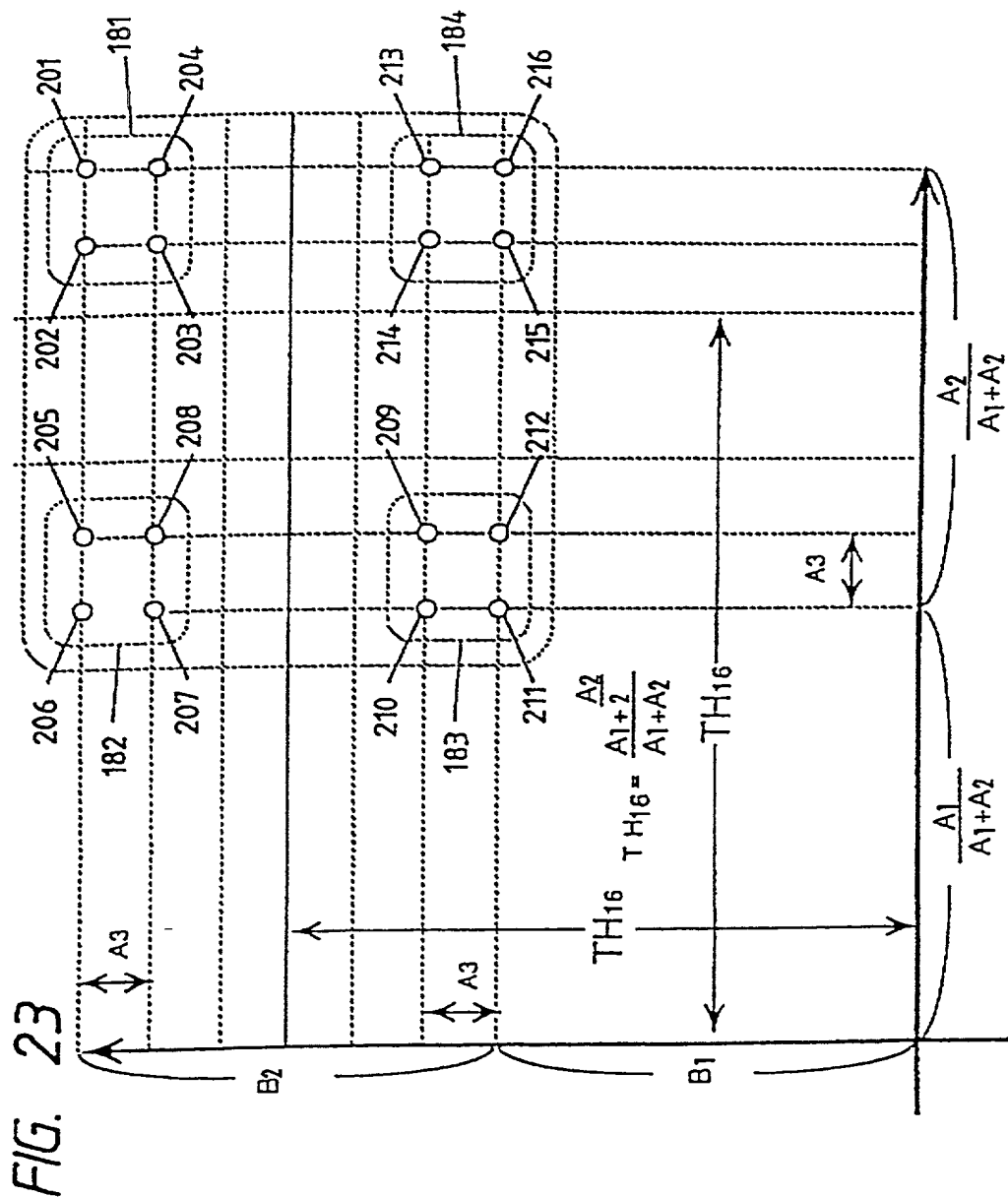


FIG. 24

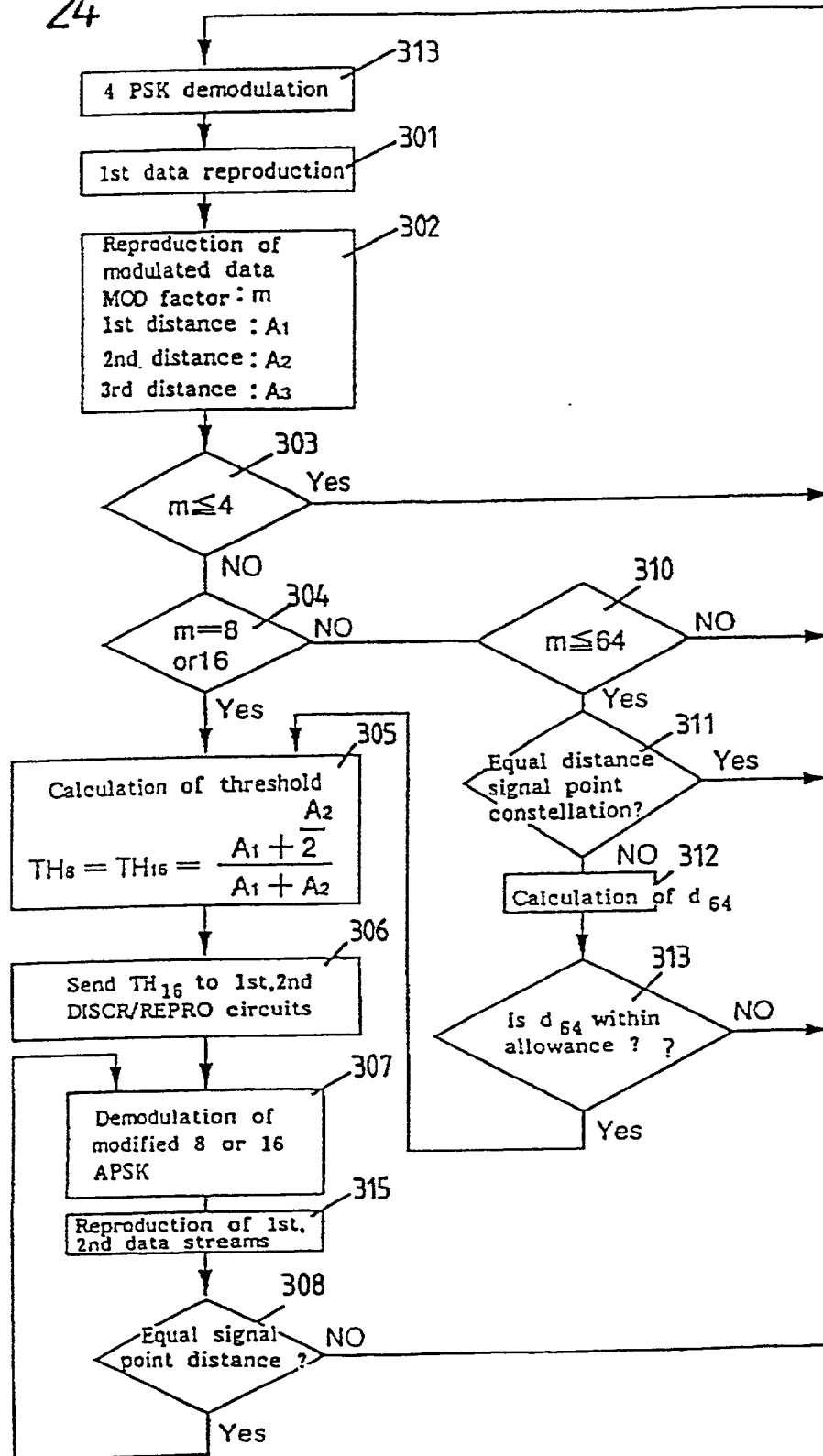




FIG. 25(a)

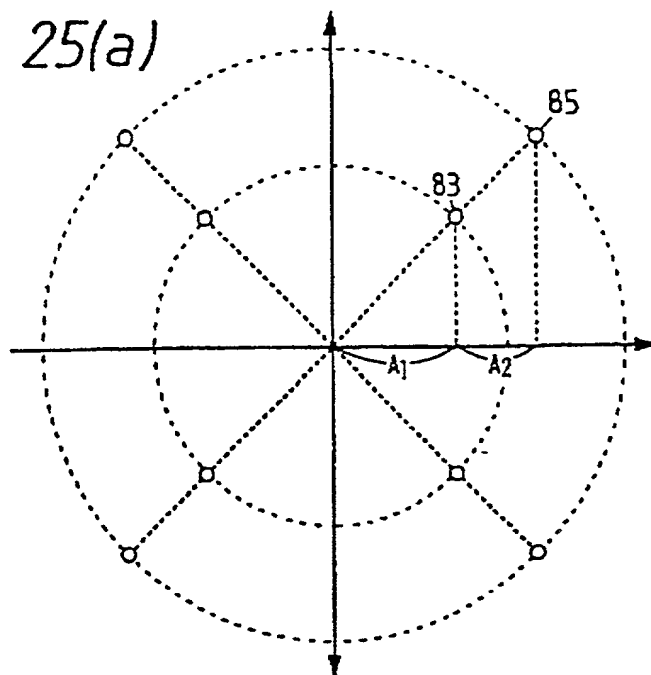


FIG. 25(b)

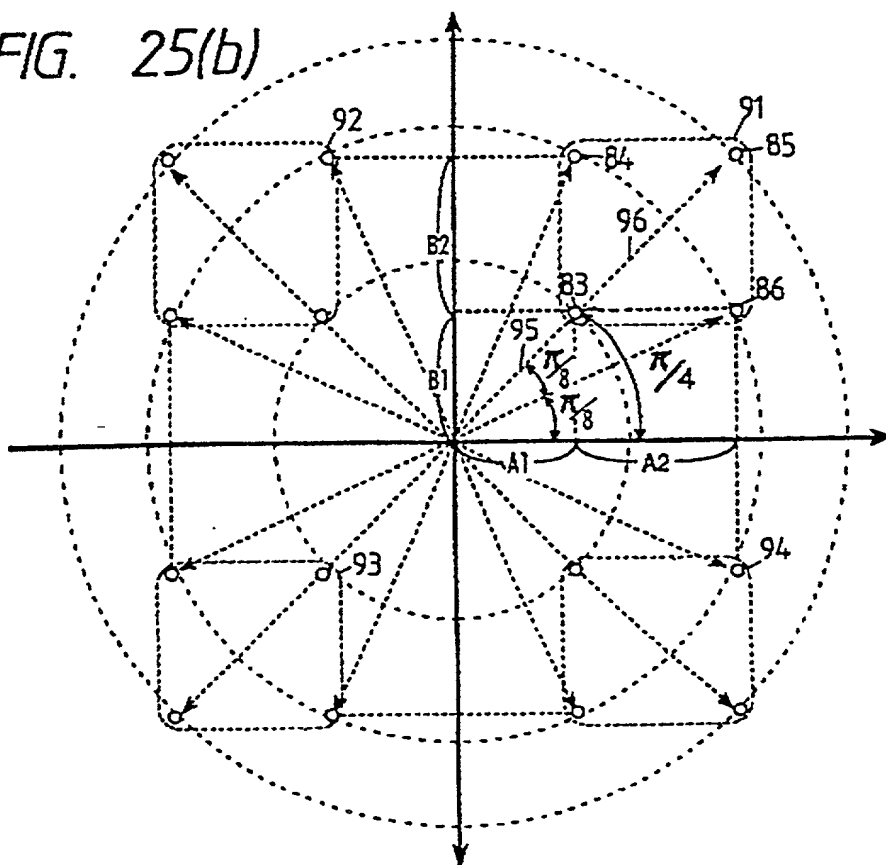
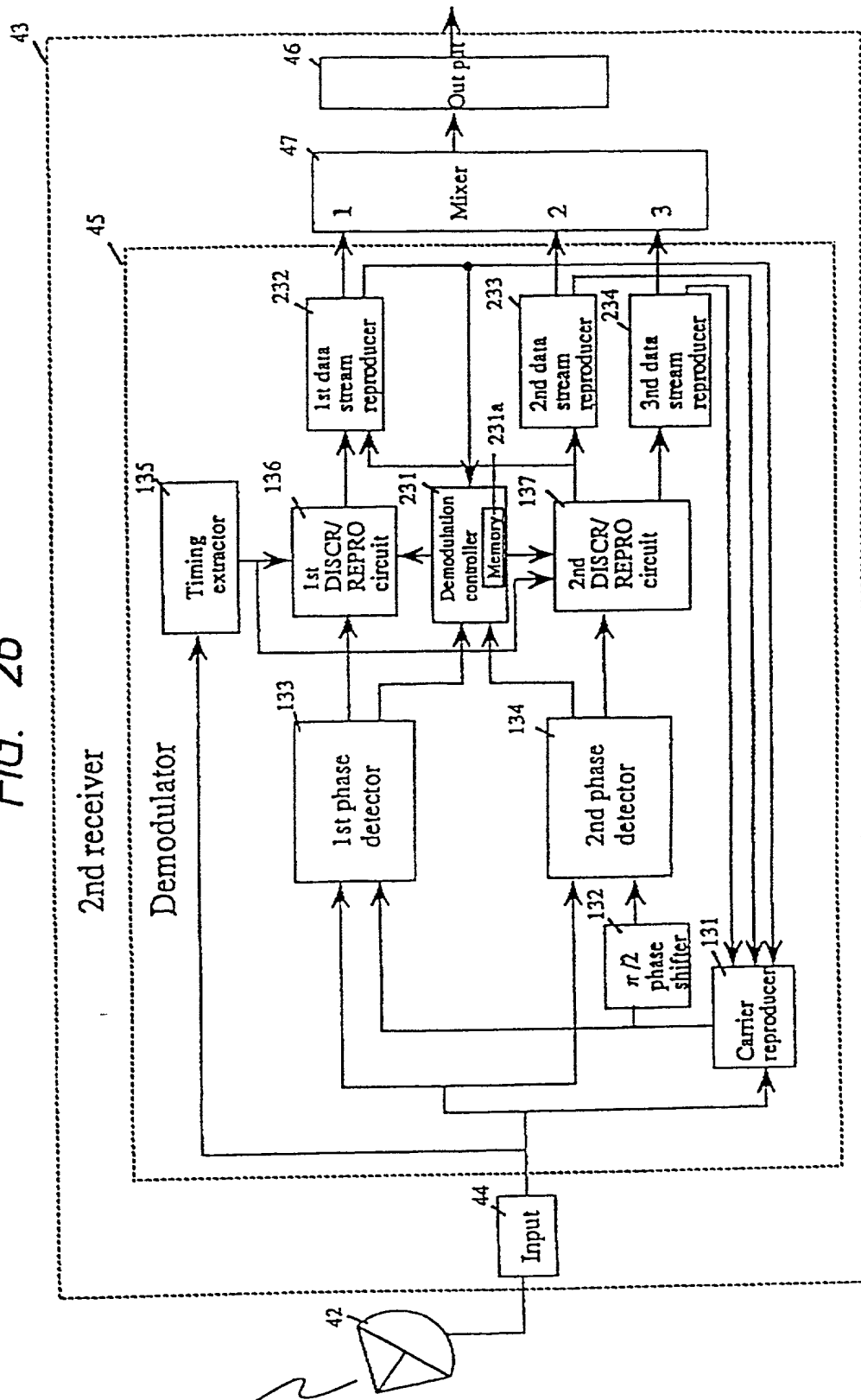


FIG. 26



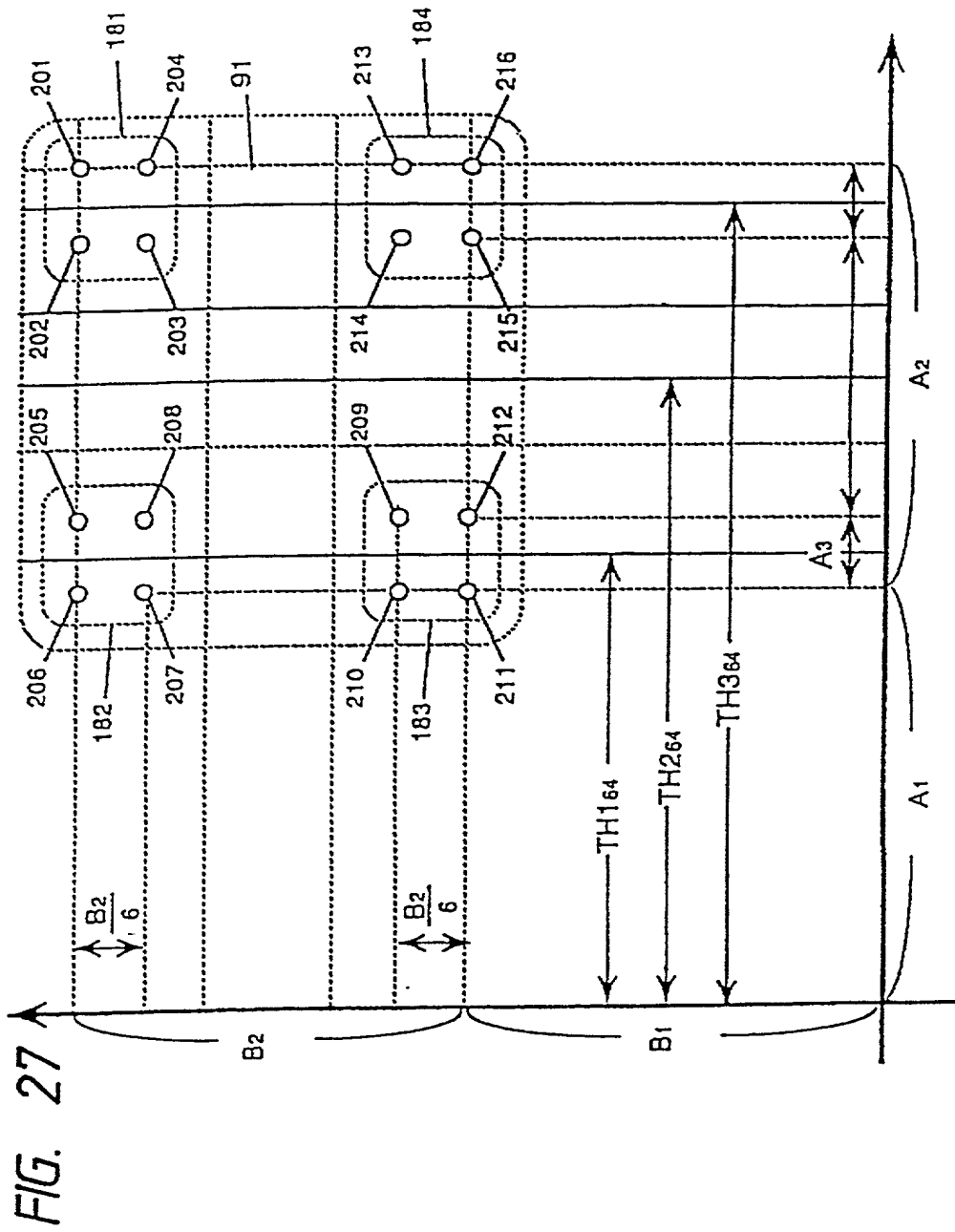


FIG. 28

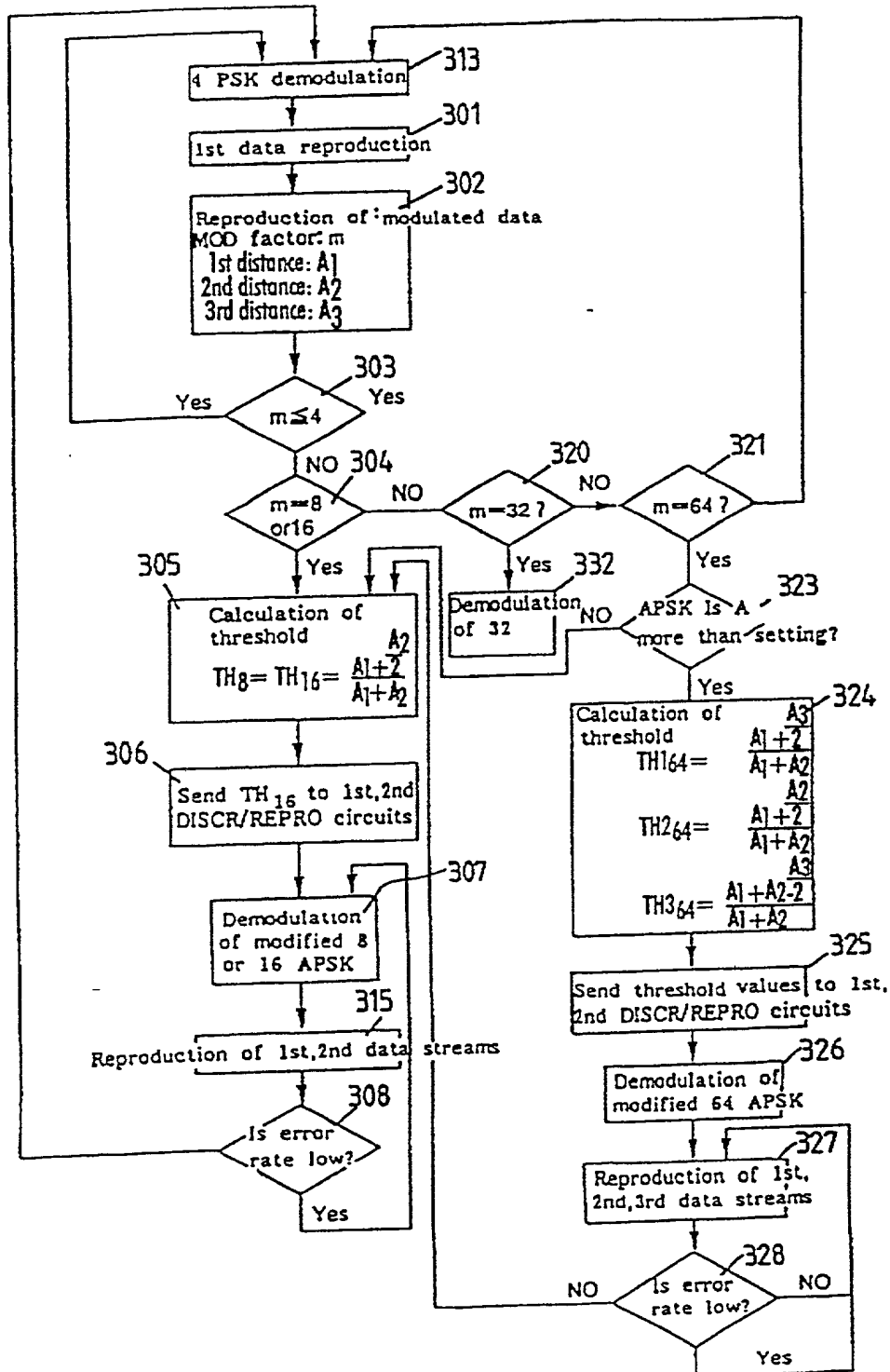


FIG. 29

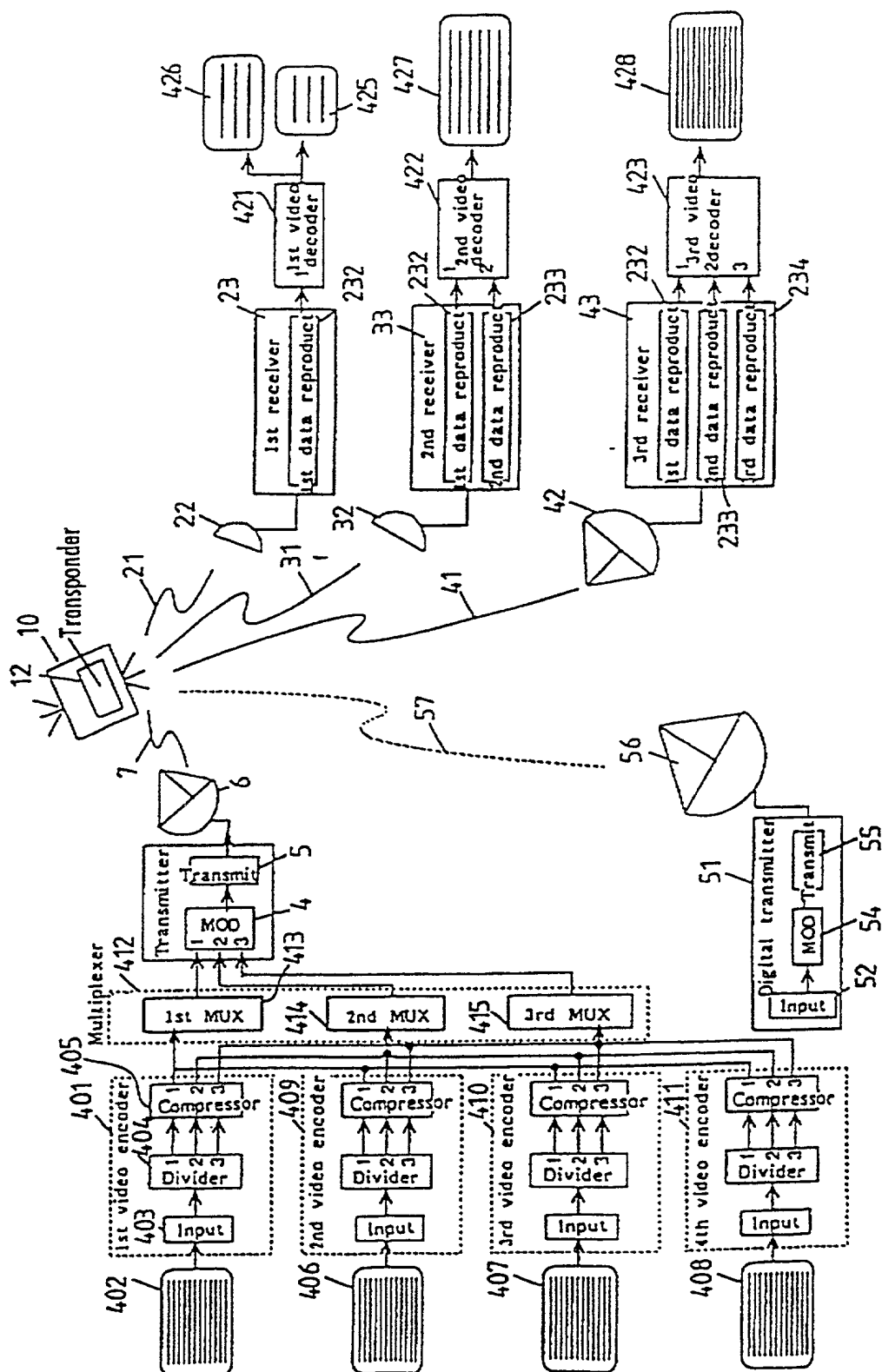


FIG. 30

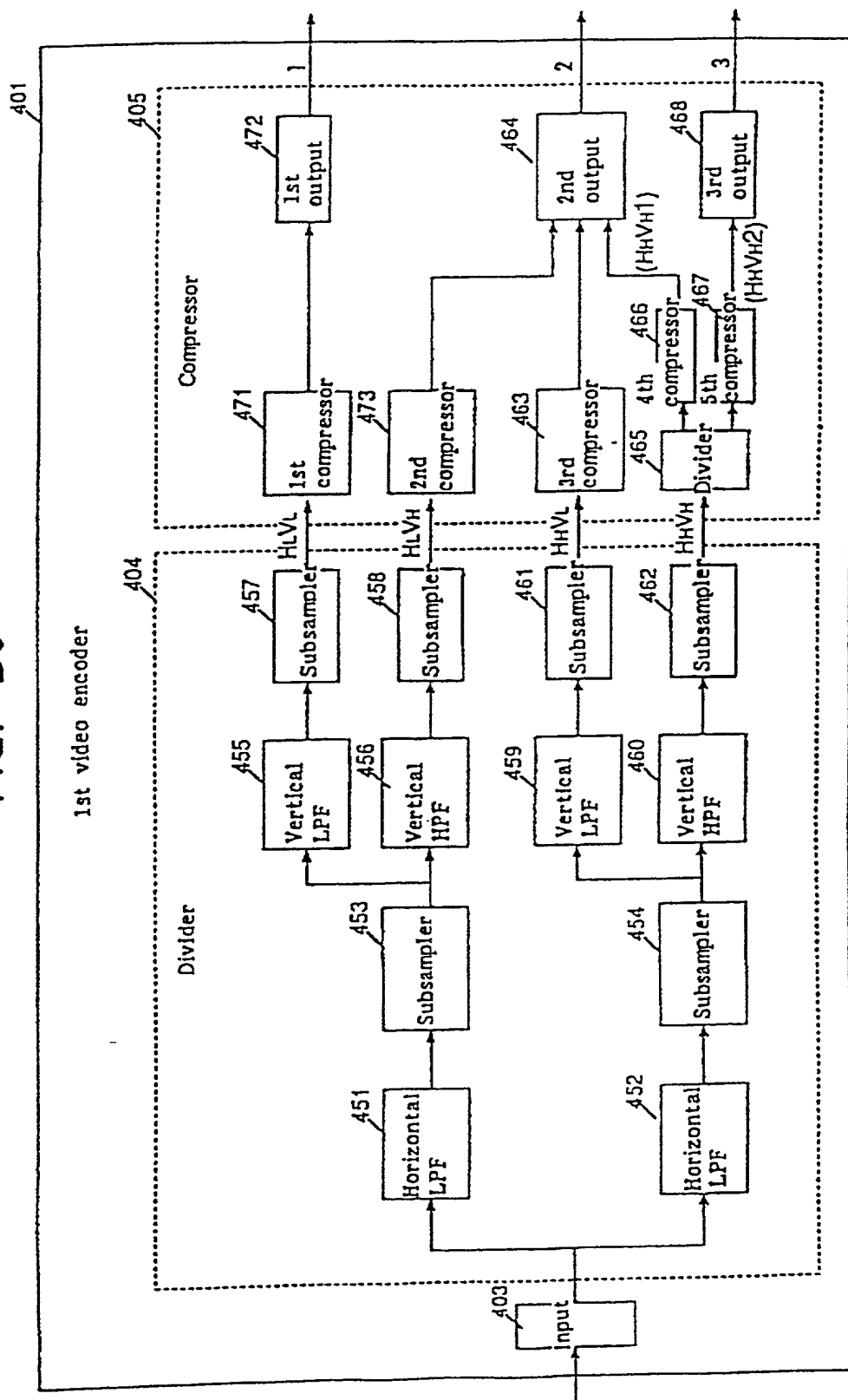


FIG. 31

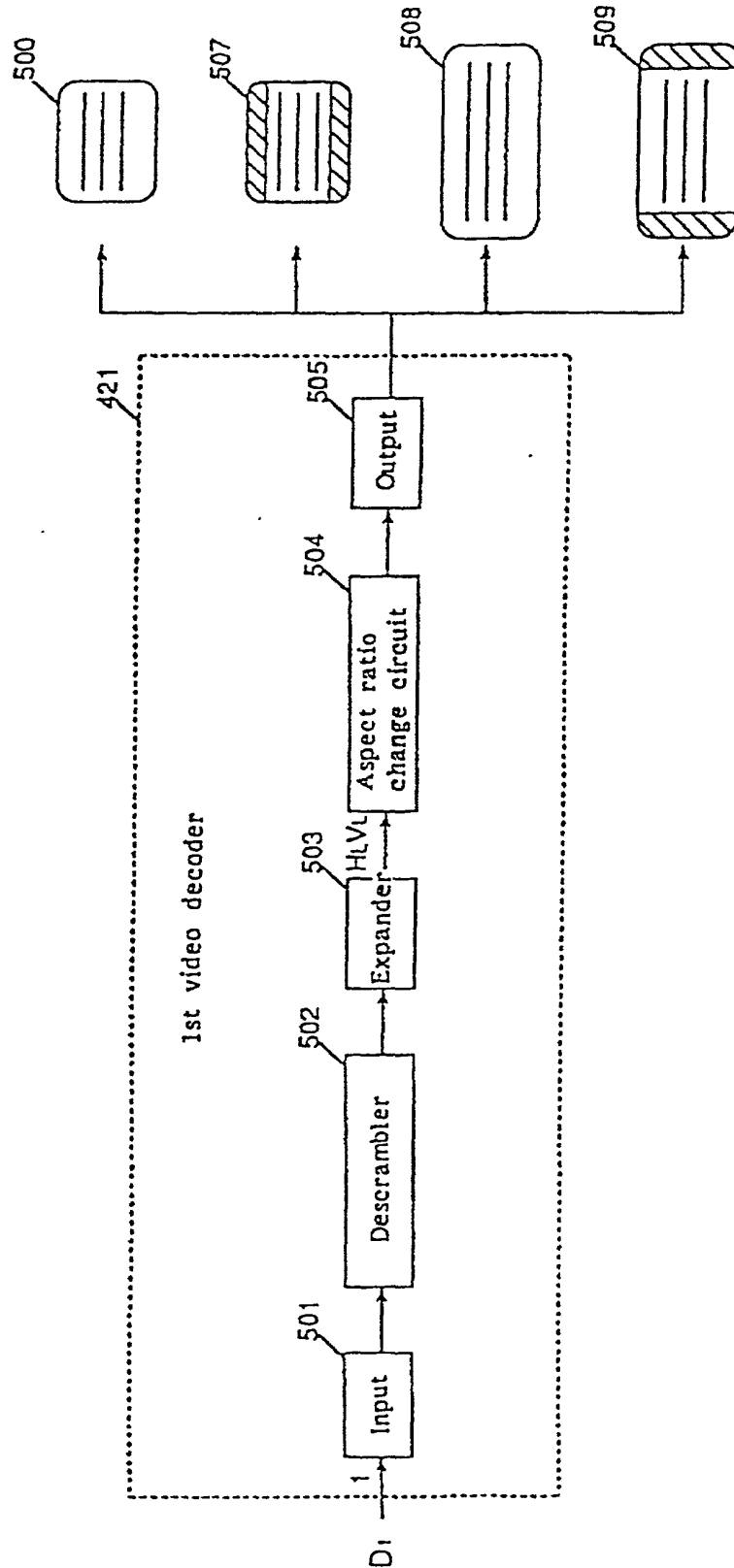


FIG. 32

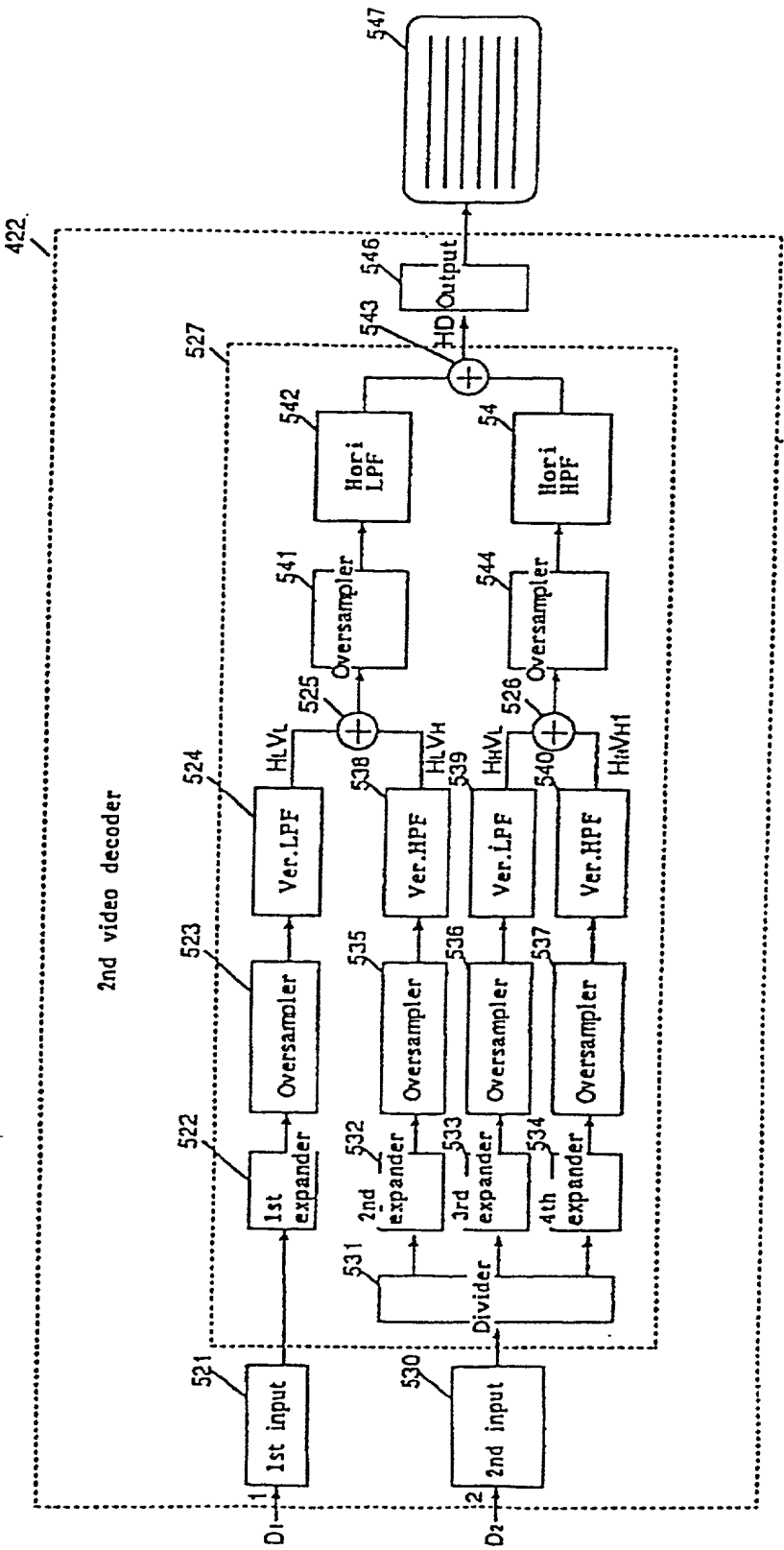
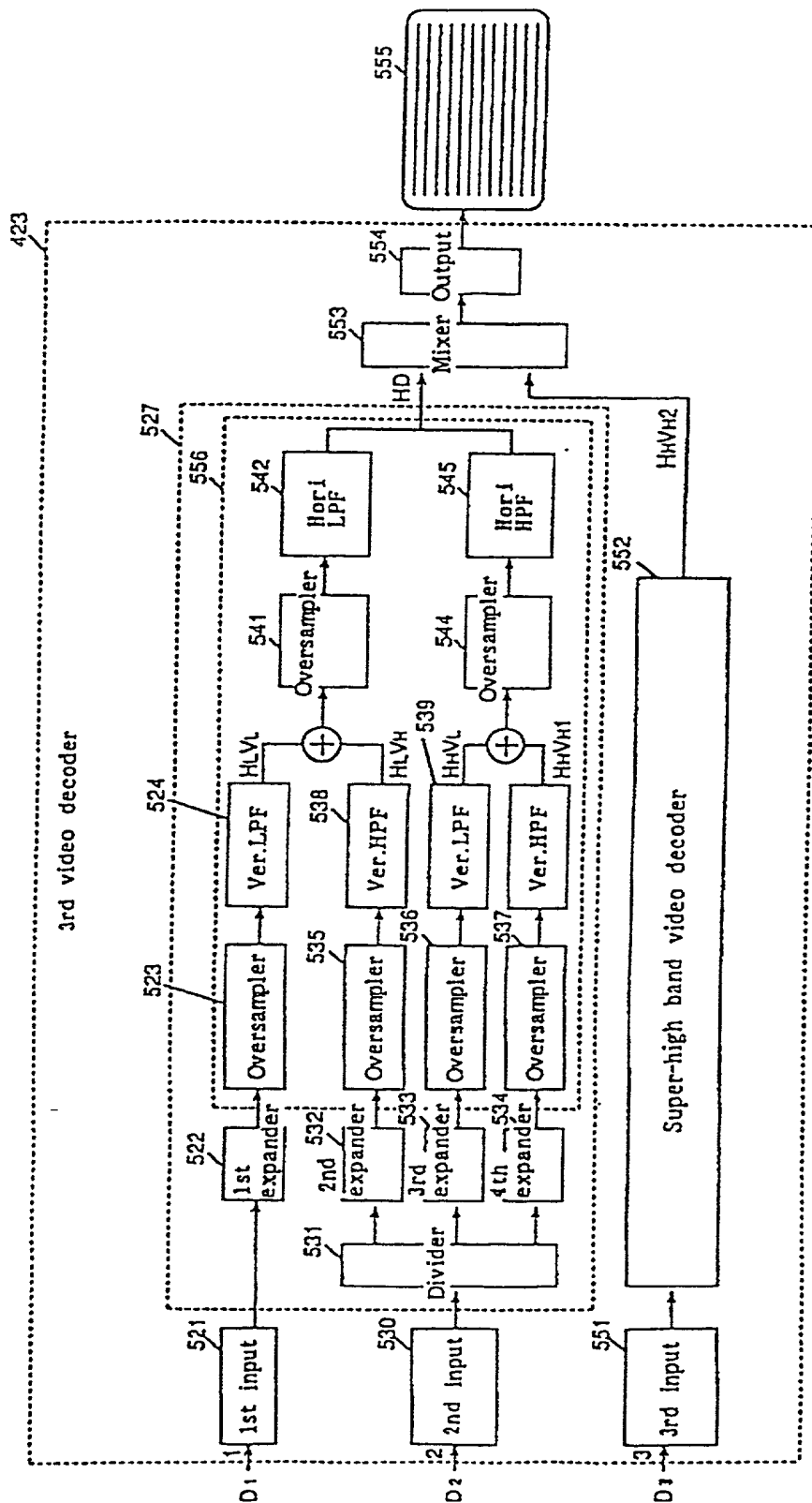
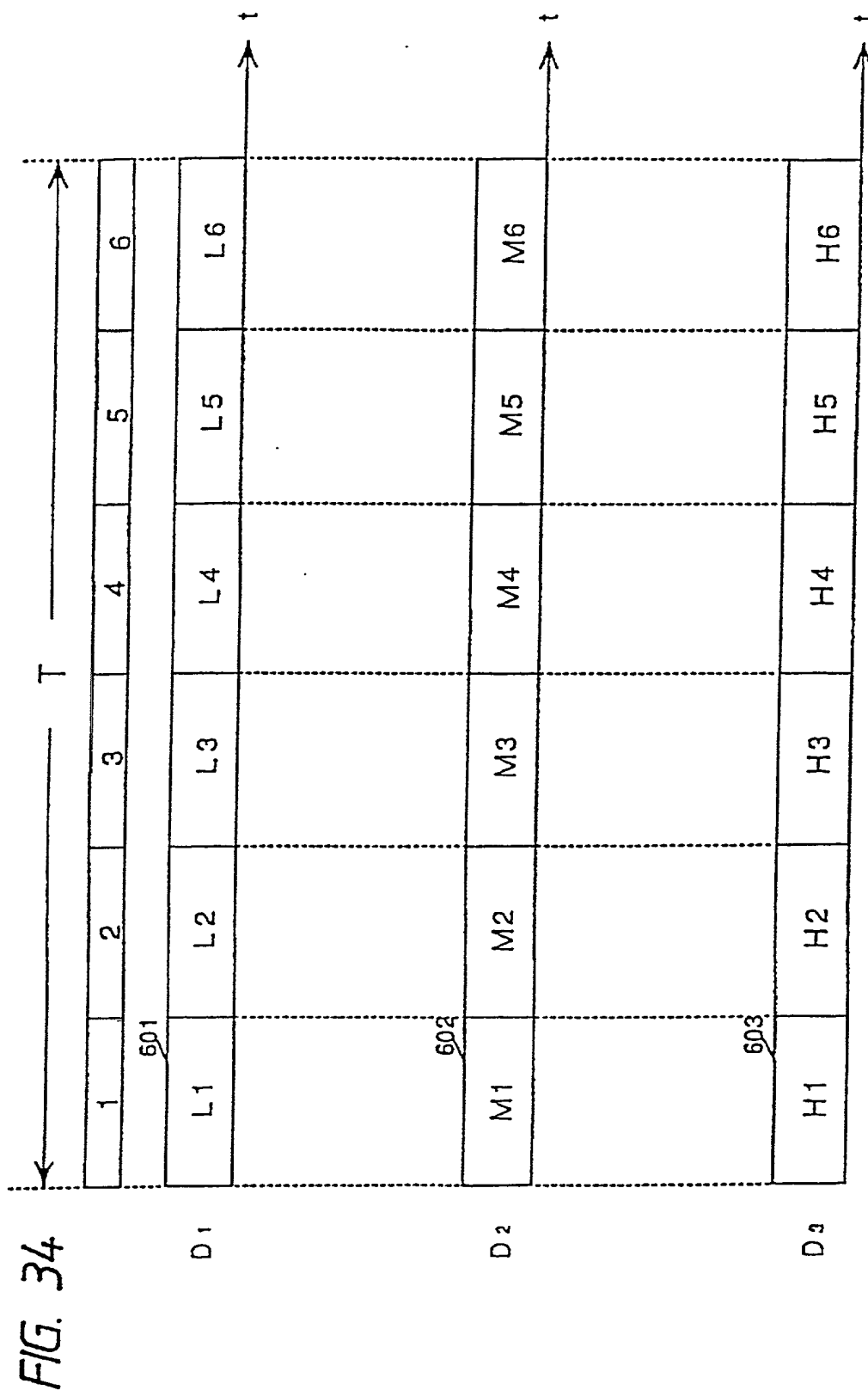




FIG. 33





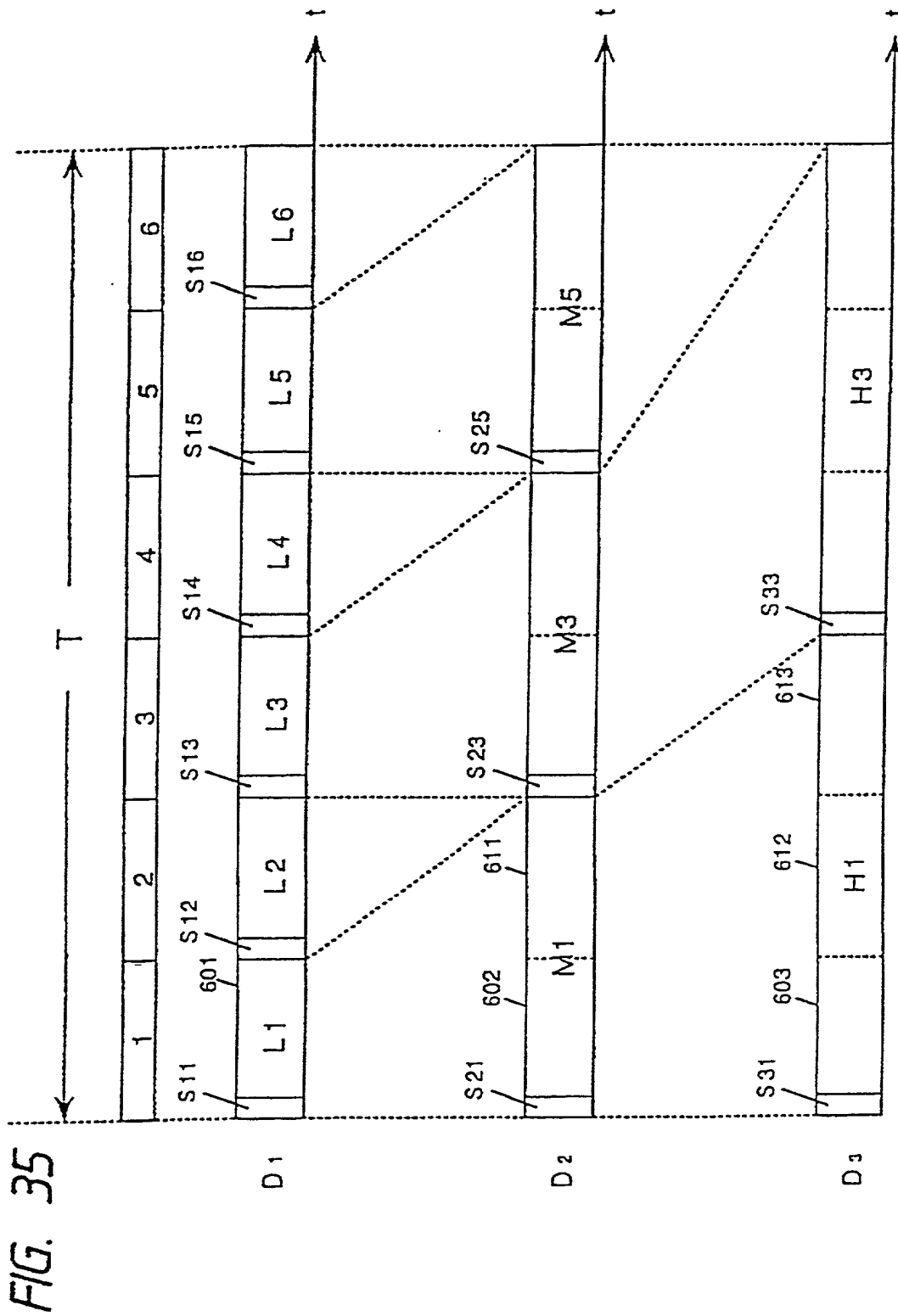


FIG. 36

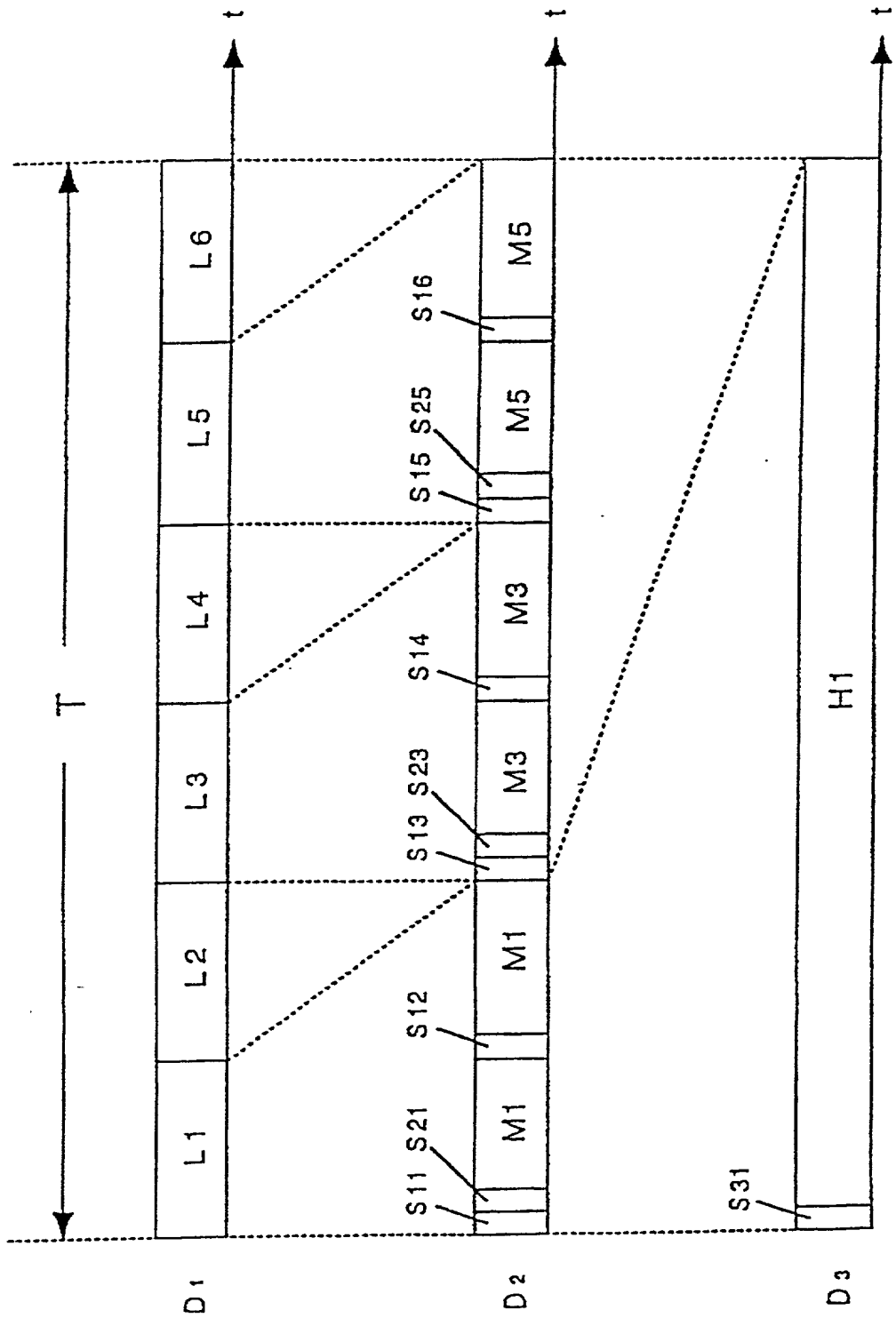
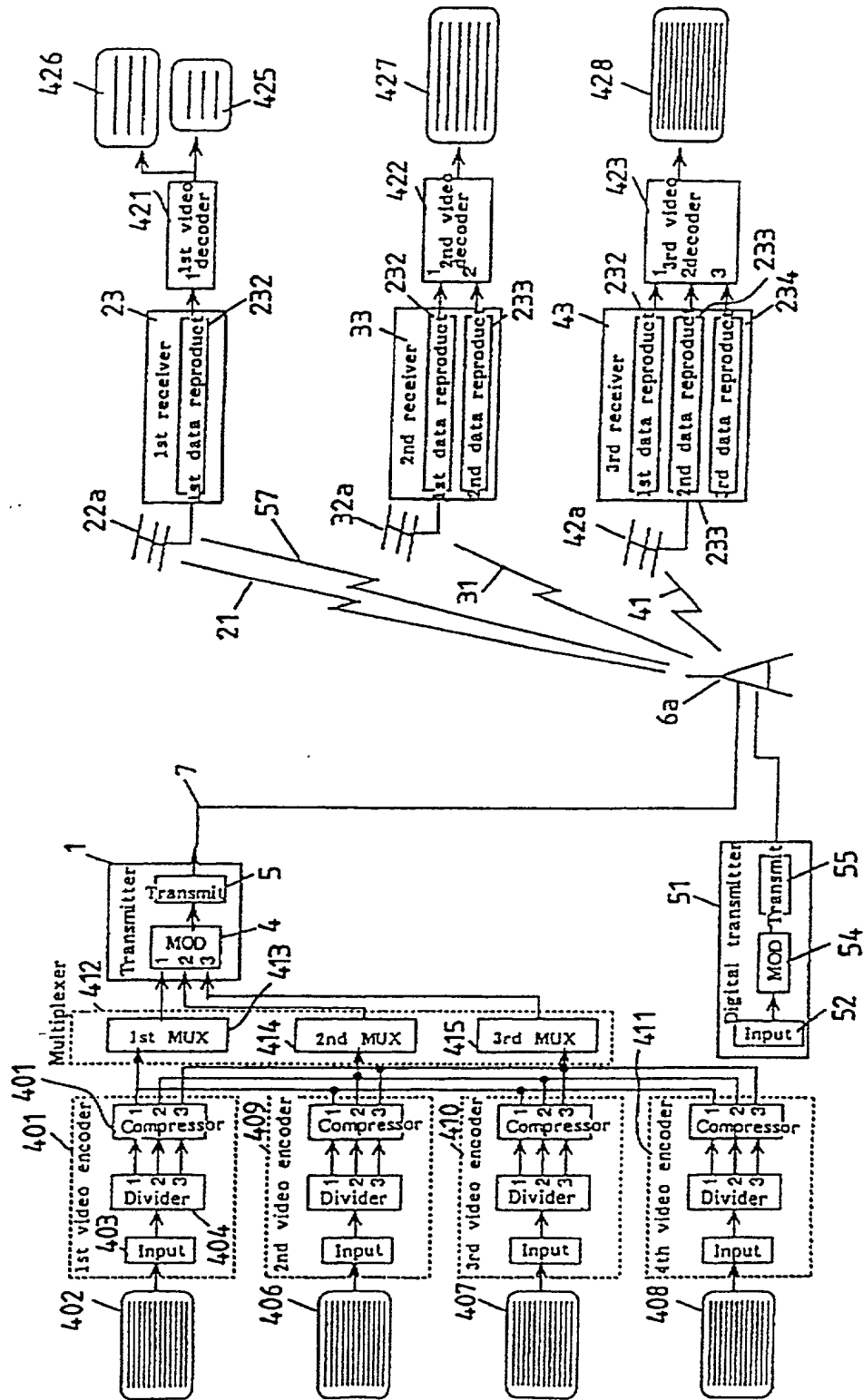
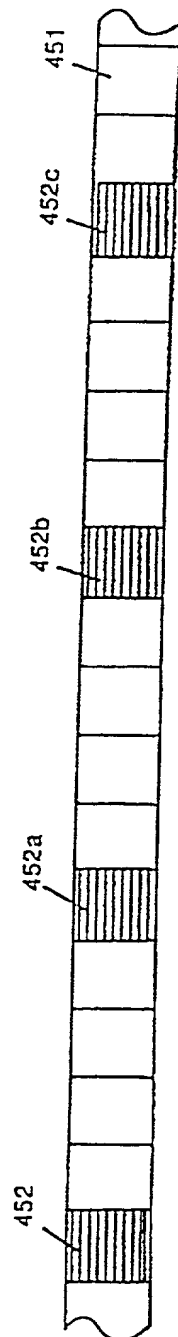
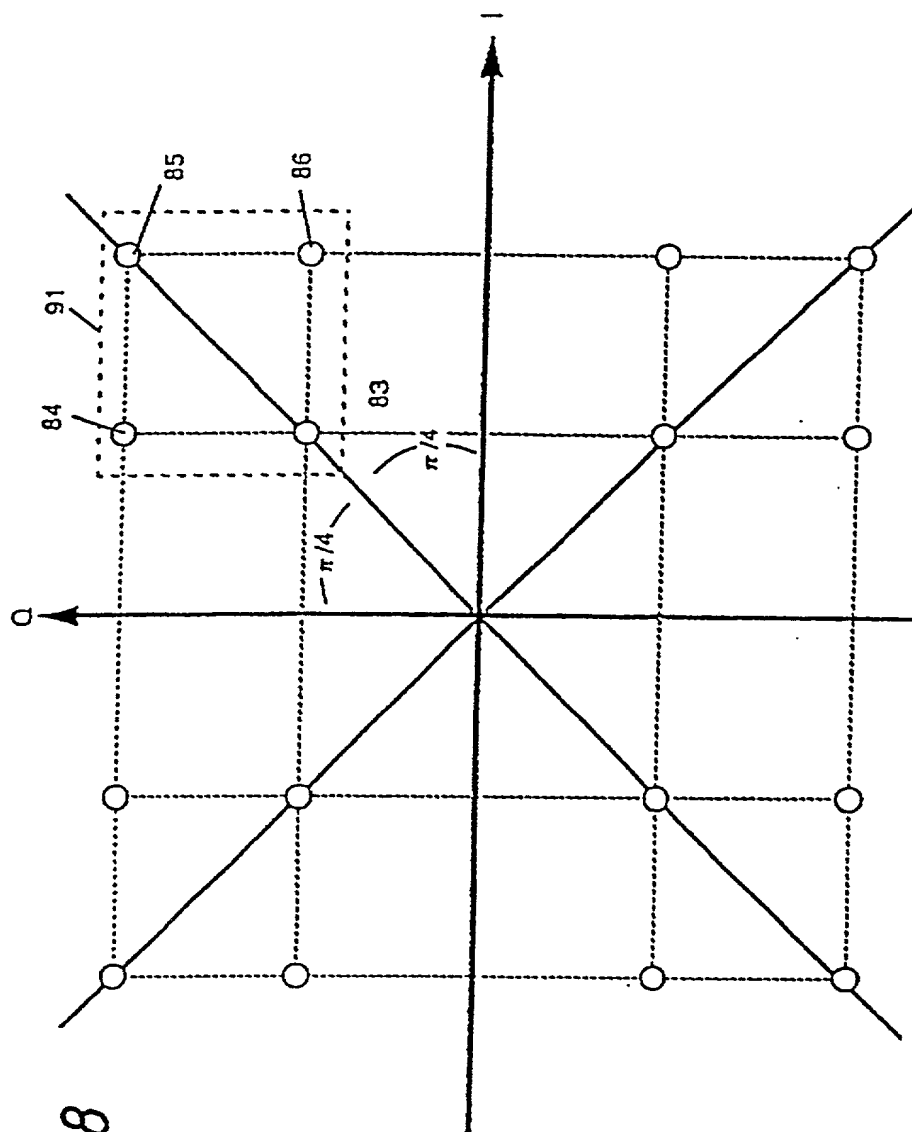


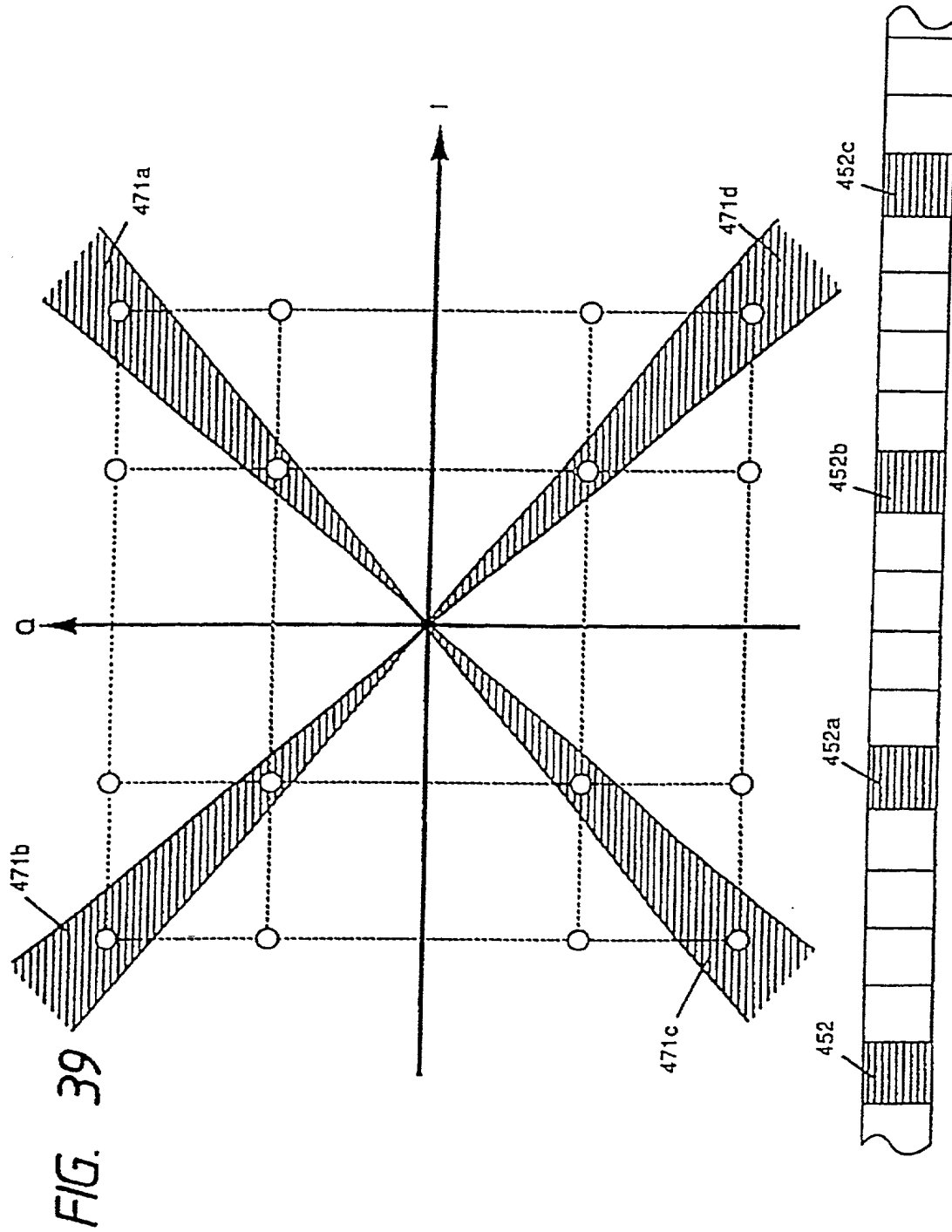
FIG. 37



	1980	1981	1982	1983	1984	1985	1986	1987	1988	1989	1990	1991	1992	1993	1994	1995	1996	1997	1998	1999	2000	2001	2002	2003	2004	2005	2006	2007	2008	2009	2010	2011	2012	2013	2014	2015	2016	2017	2018	2019	2020	2021	2022	2023	2024	2025	2026	2027	2028	2029	2030	2031	2032	2033	2034	2035	2036	2037	2038	2039	2040	2041	2042	2043	2044	2045	2046	2047	2048	2049	2050	2051	2052	2053	2054	2055	2056	2057	2058	2059	2060	2061	2062	2063	2064	2065	2066	2067	2068	2069	2070	2071	2072	2073	2074	2075	2076	2077	2078	2079	2080	2081	2082	2083	2084	2085	2086	2087	2088	2089	2090	2091	2092	2093	2094	2095	2096	2097	2098	2099	2100
1980	1981	1982	1983	1984	1985	1986	1987	1988	1989	1990	1991	1992	1993	1994	1995	1996	1997	1998	1999	2000	2001	2002	2003	2004	2005	2006	2007	2008	2009	2010	2011	2012	2013	2014	2015	2016	2017	2018	2019	2020	2021	2022	2023	2024	2025	2026	2027	2028	2029	2030	2031	2032	2033	2034	2035	2036	2037	2038	2039	2040	2041	2042	2043	2044	2045	2046	2047	2048	2049	2050	2051	2052	2053	2054	2055	2056	2057	2058	2059	2060	2061	2062	2063	2064	2065	2066	2067	2068	2069	2070	2071	2072	2073	2074	2075	2076	2077	2078	2079	2080	2081	2082	2083	2084	2085	2086	2087	2088	2089	2090	2091	2092	2093	2094	2095	2096	2097	2098	2099	2100	

FIG. 38





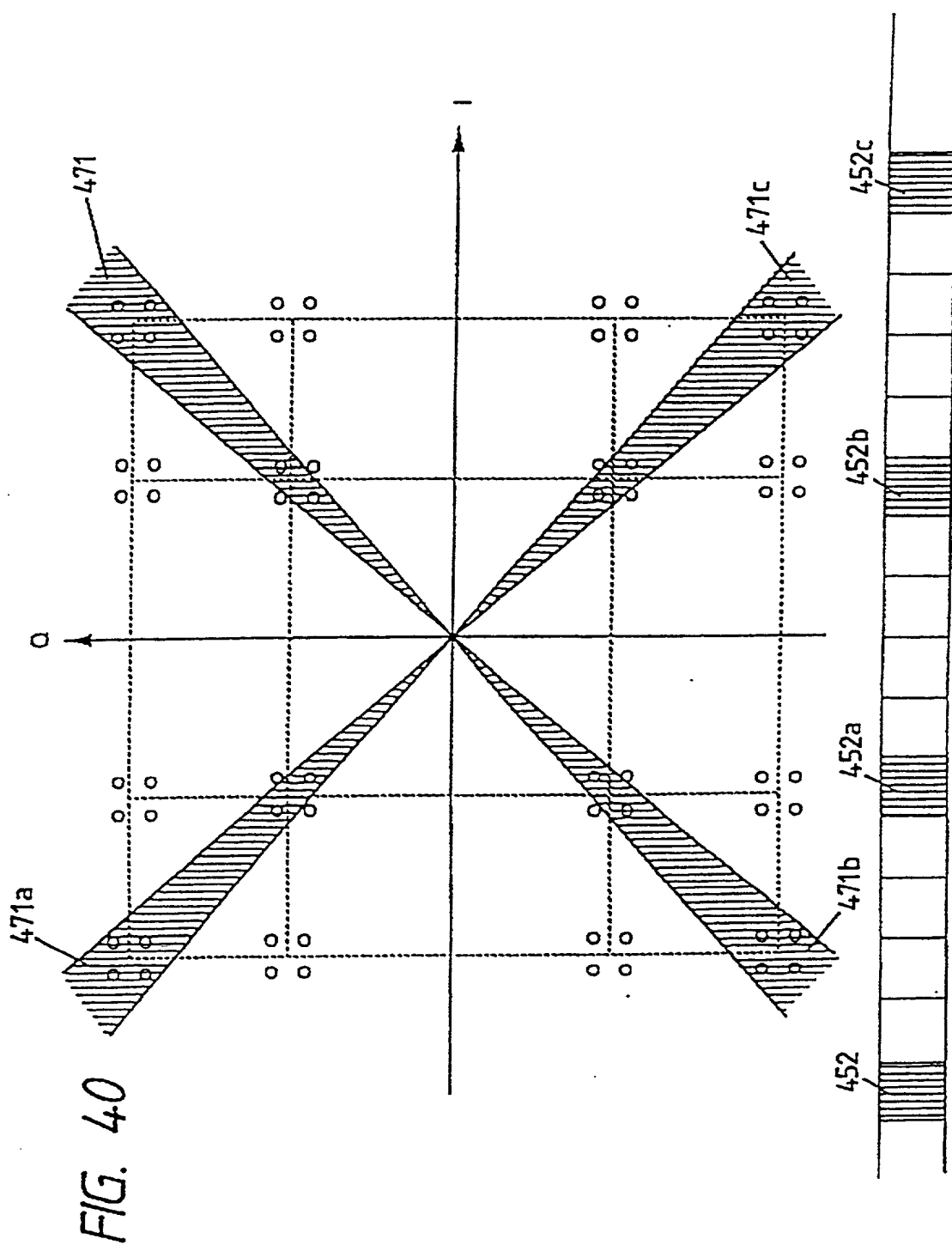




FIG. 41

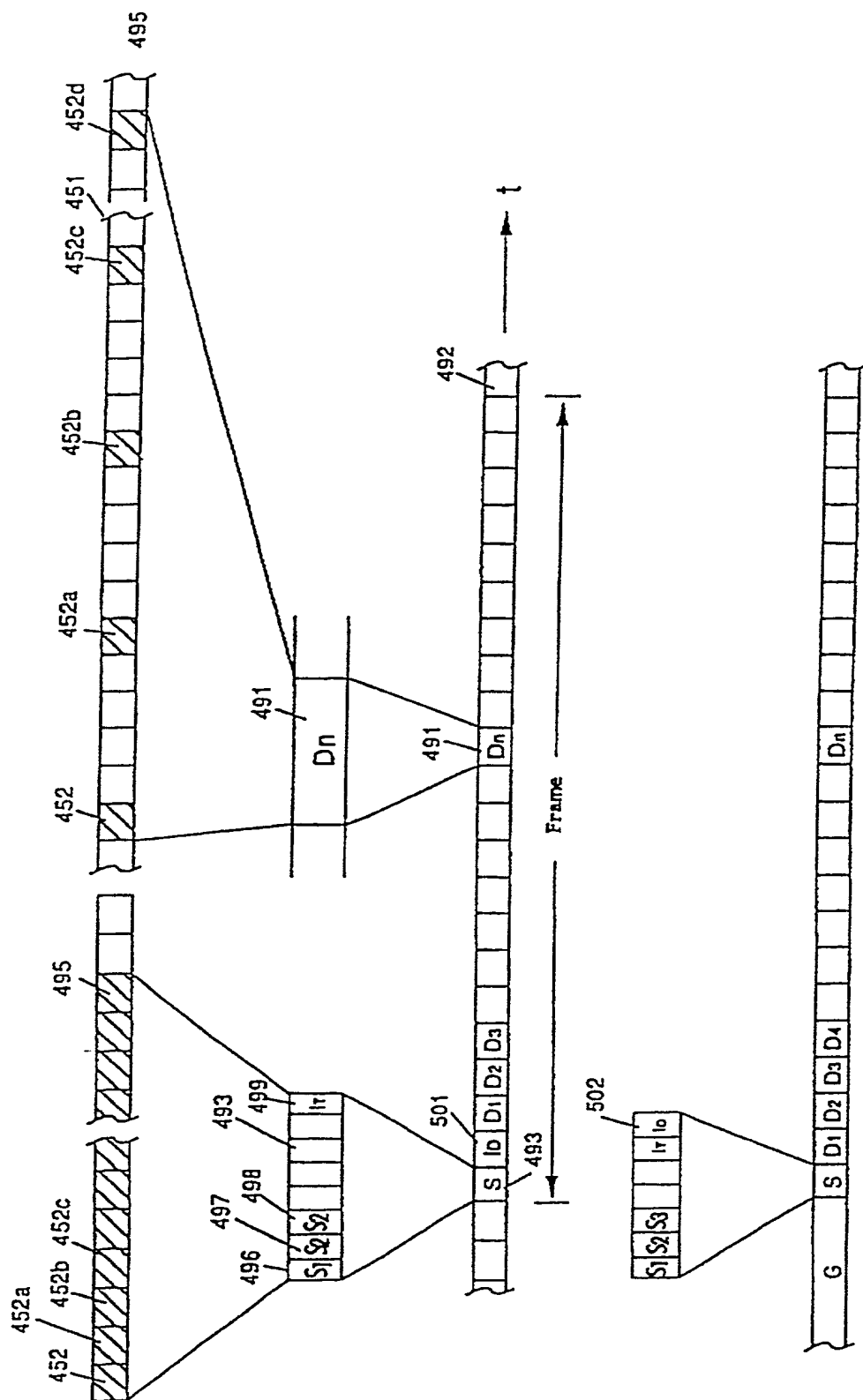


FIG. 42

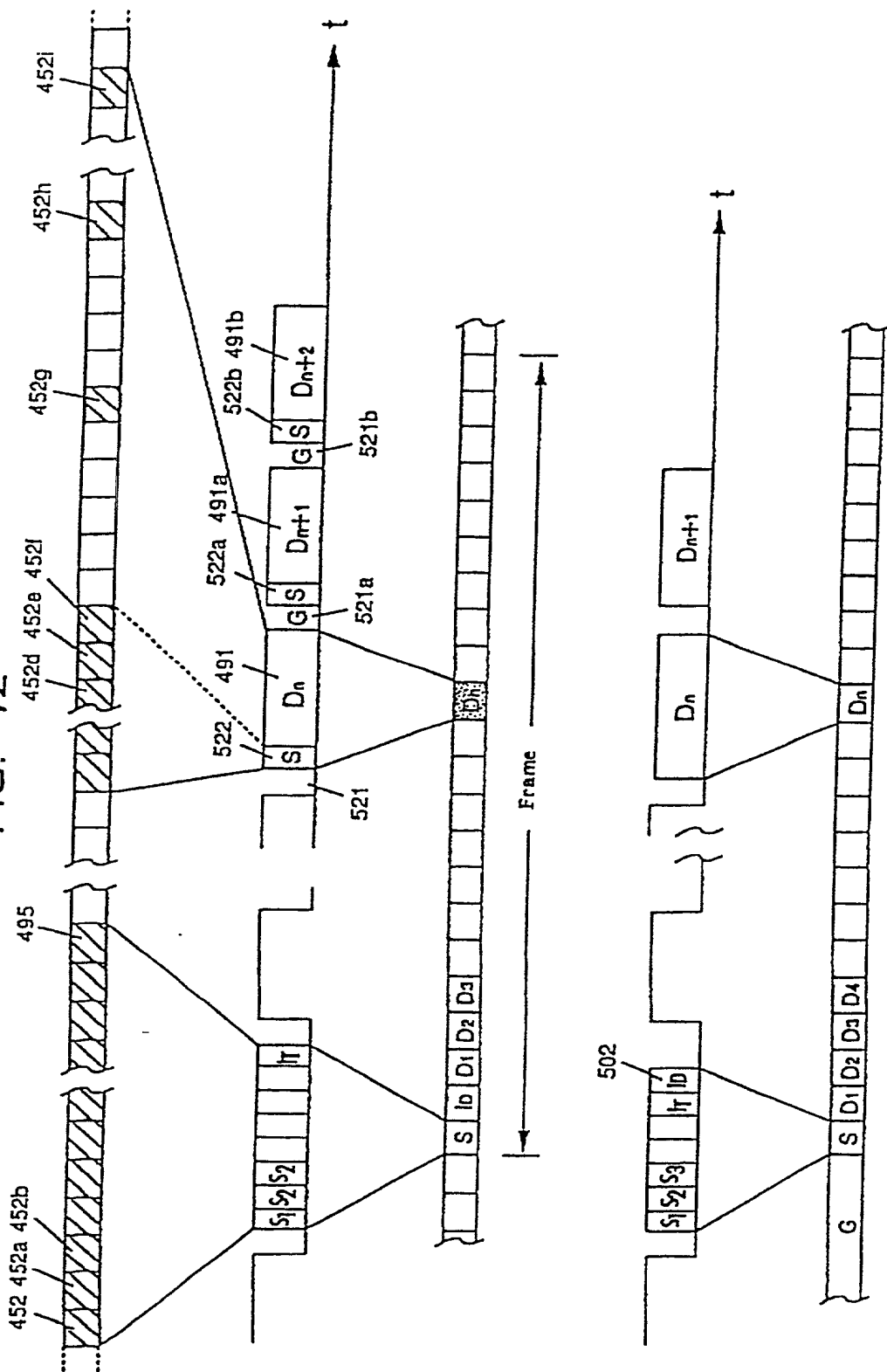


FIG. 43

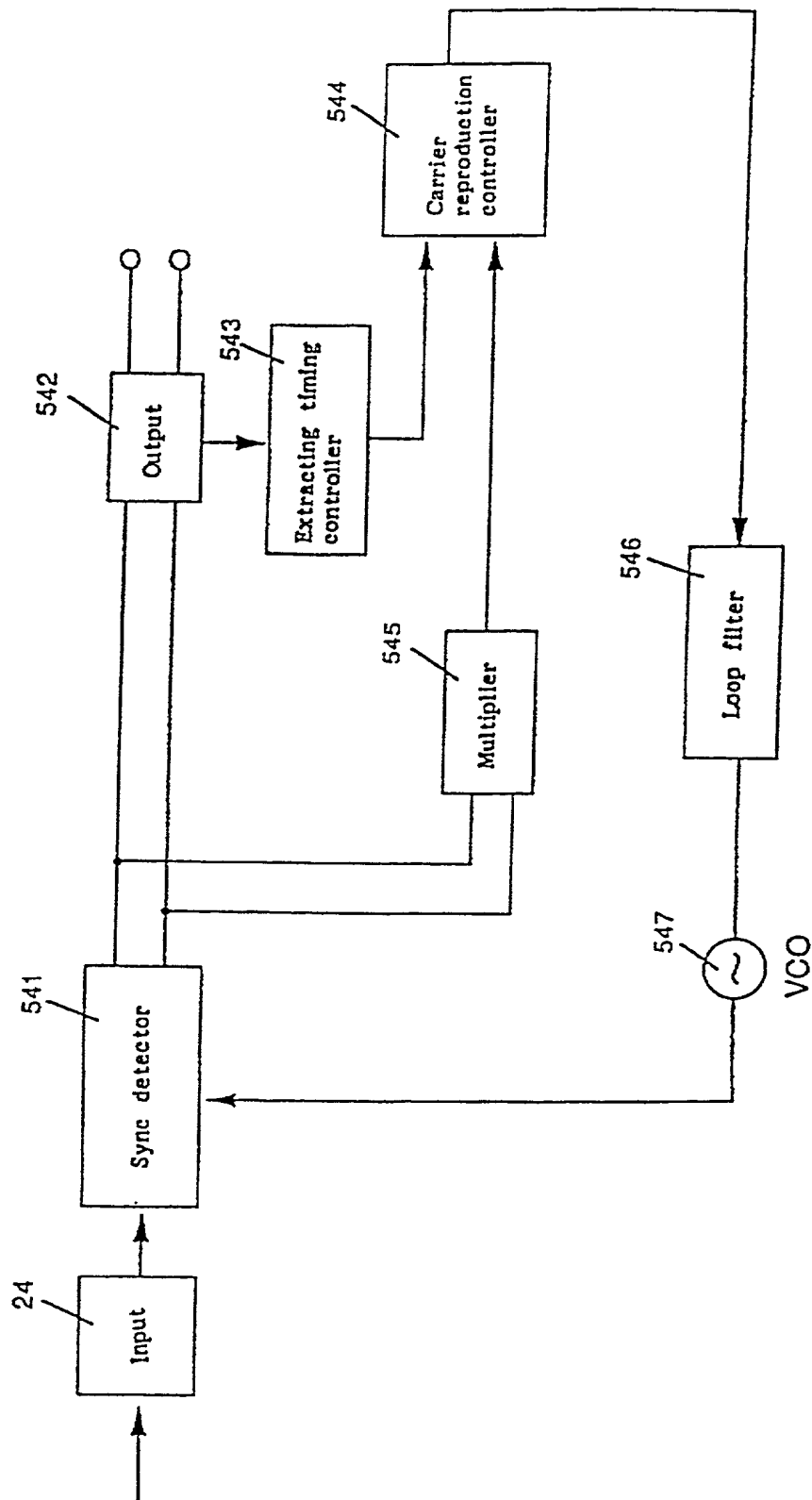


FIG. 44

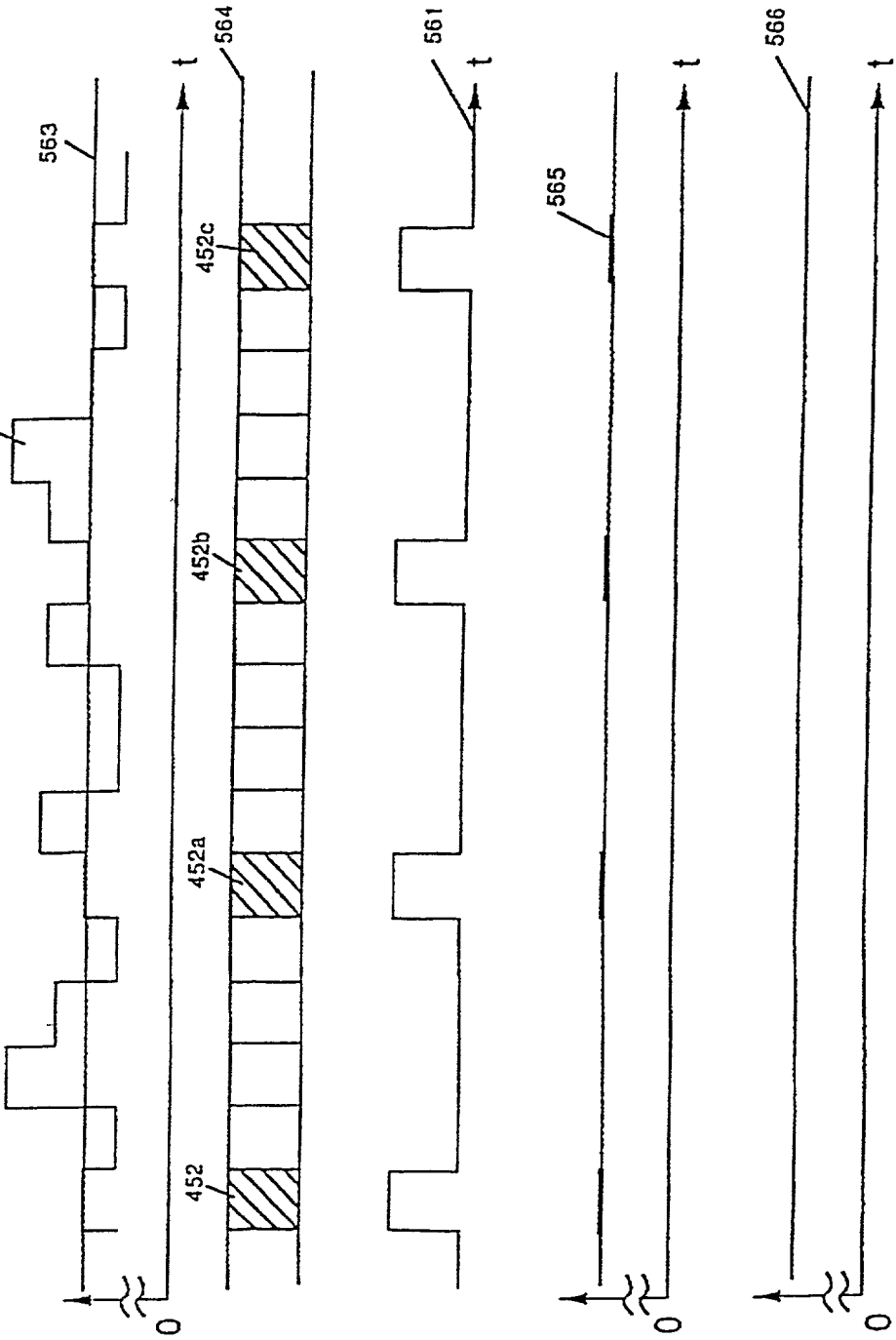
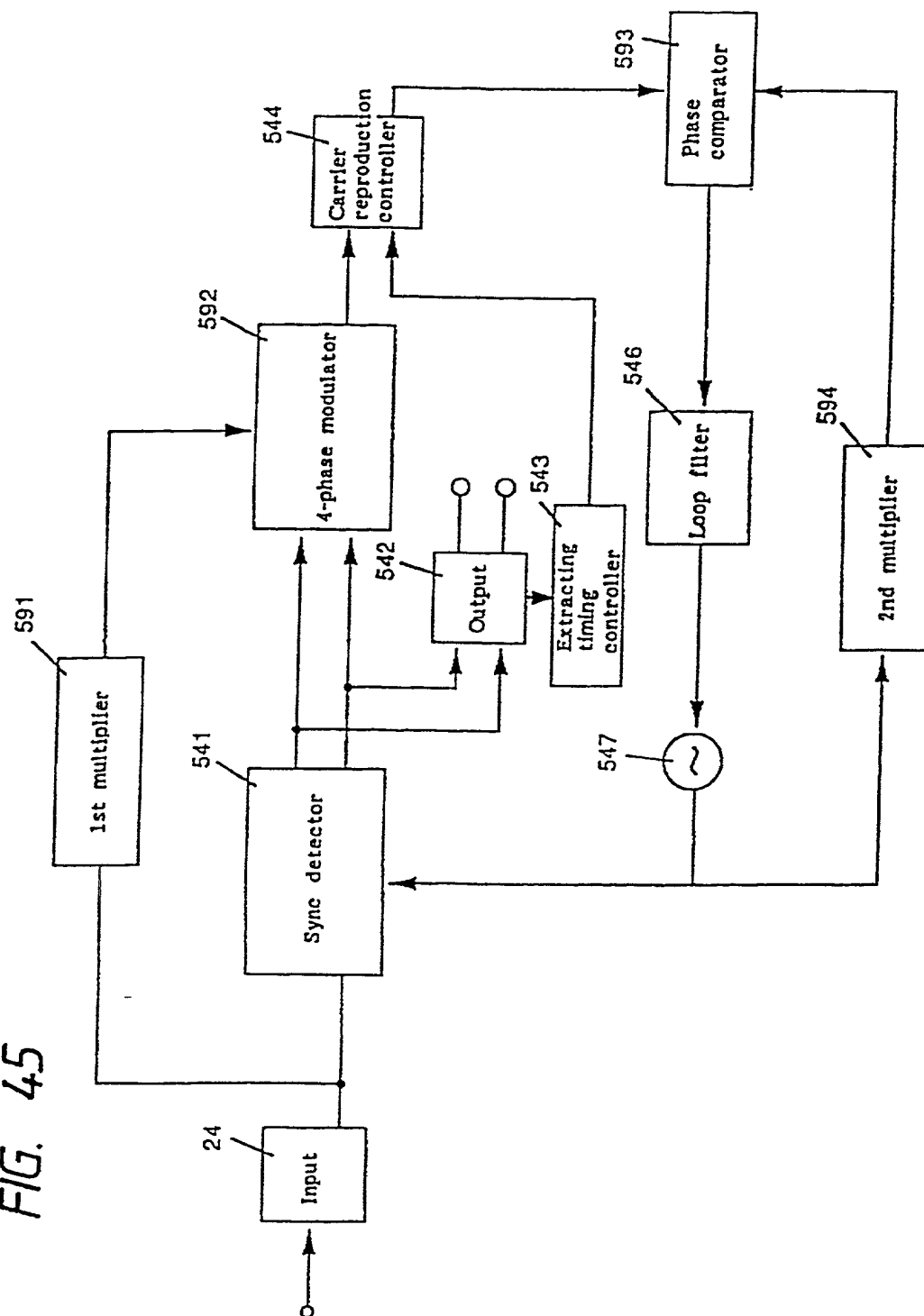
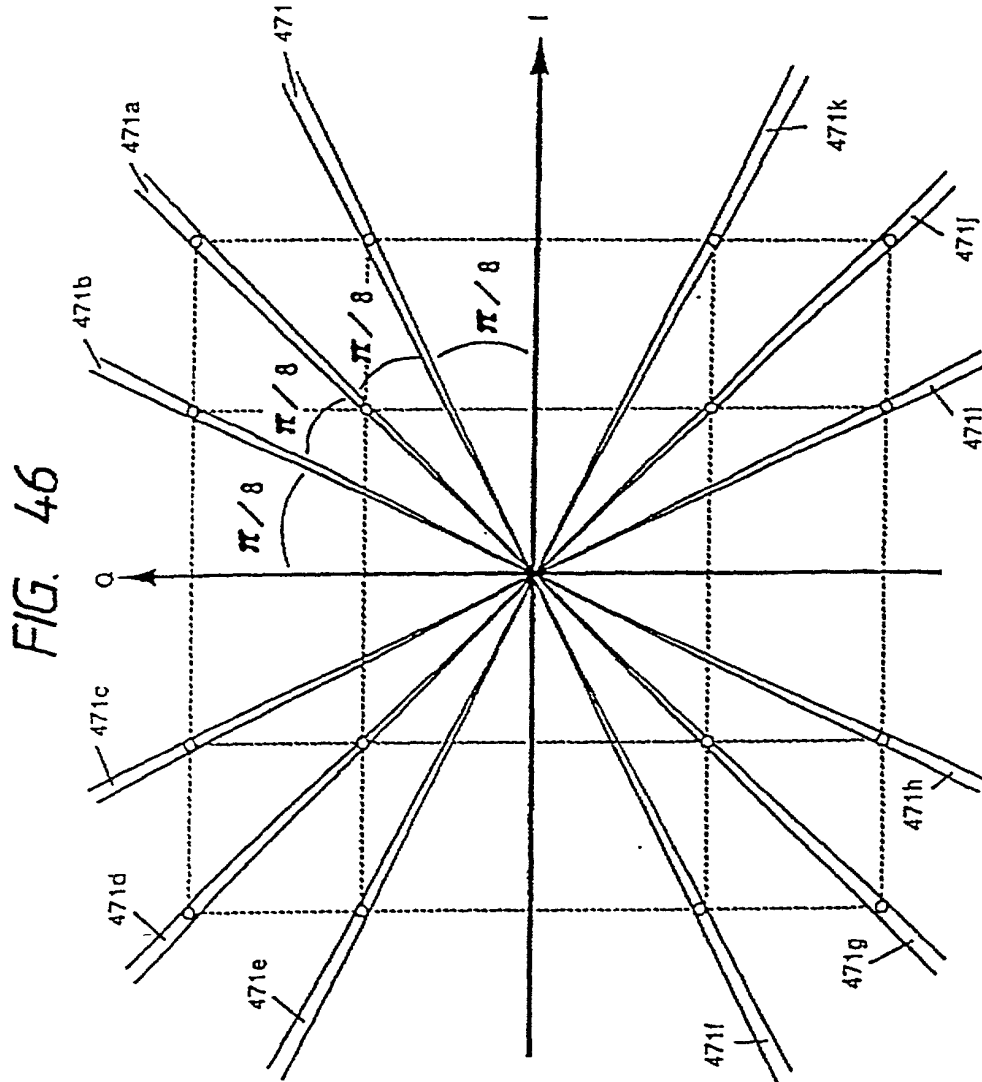


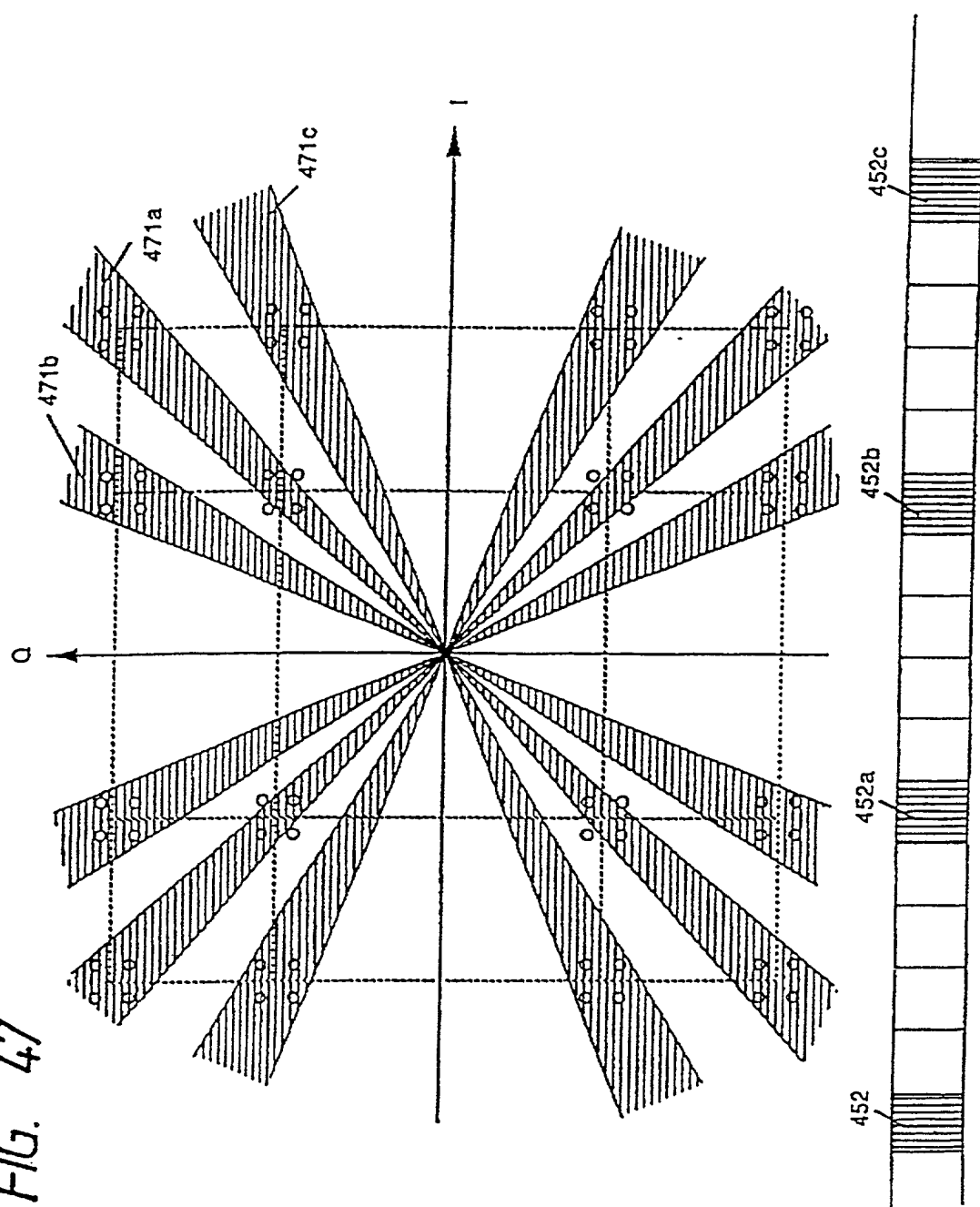
FIG. 45

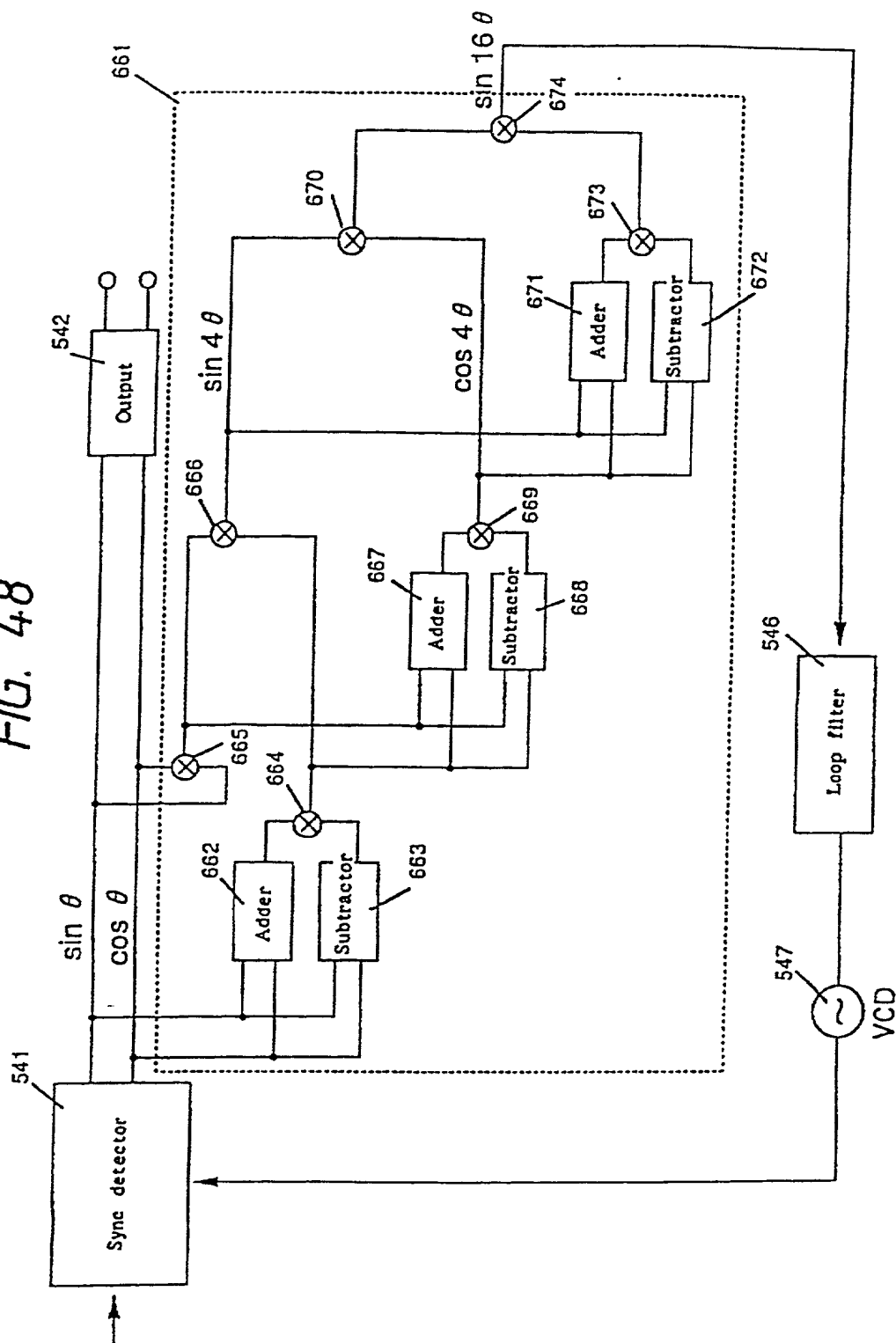




000007-890074.60

FIG. 47







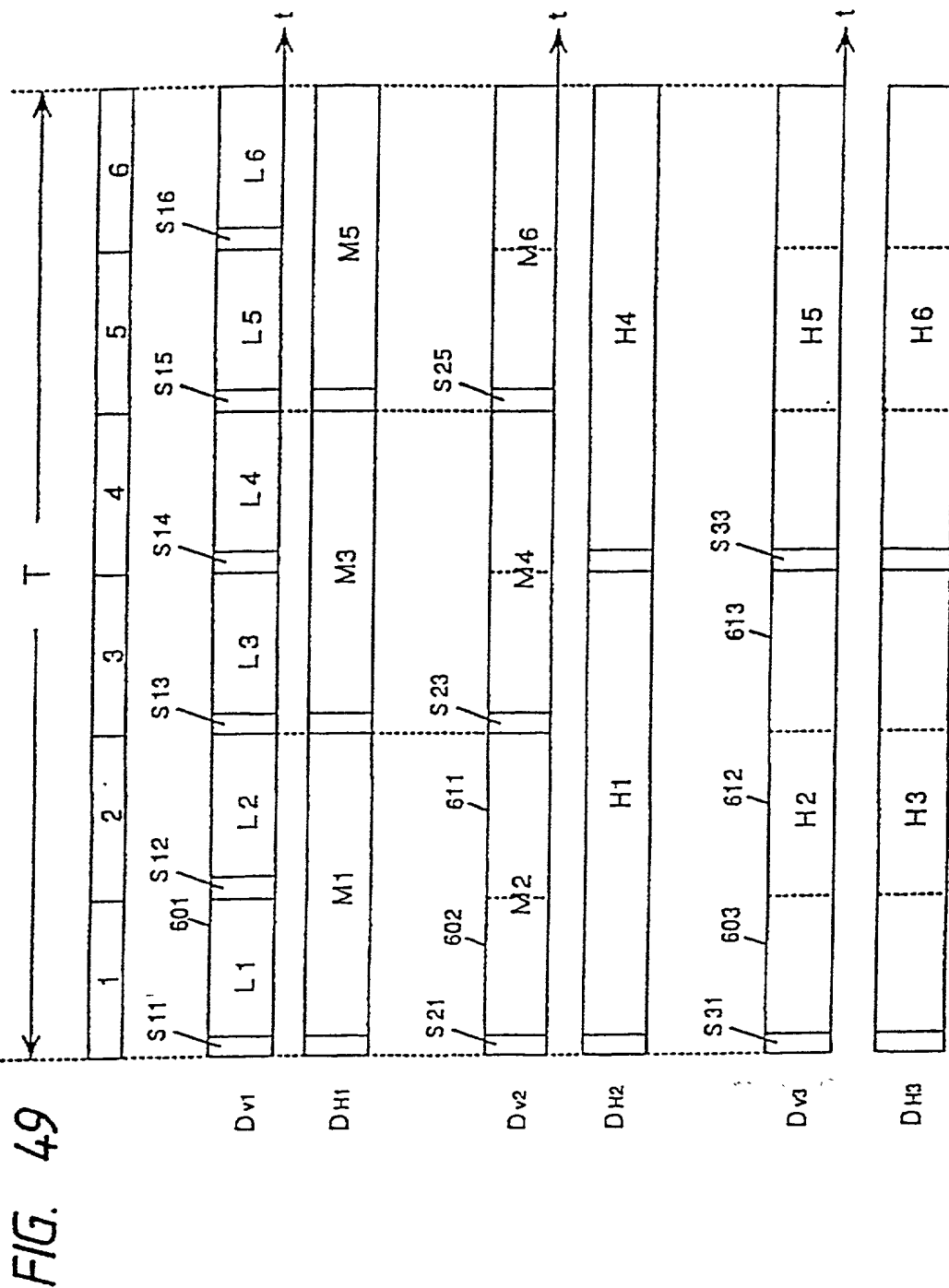


FIG. 50

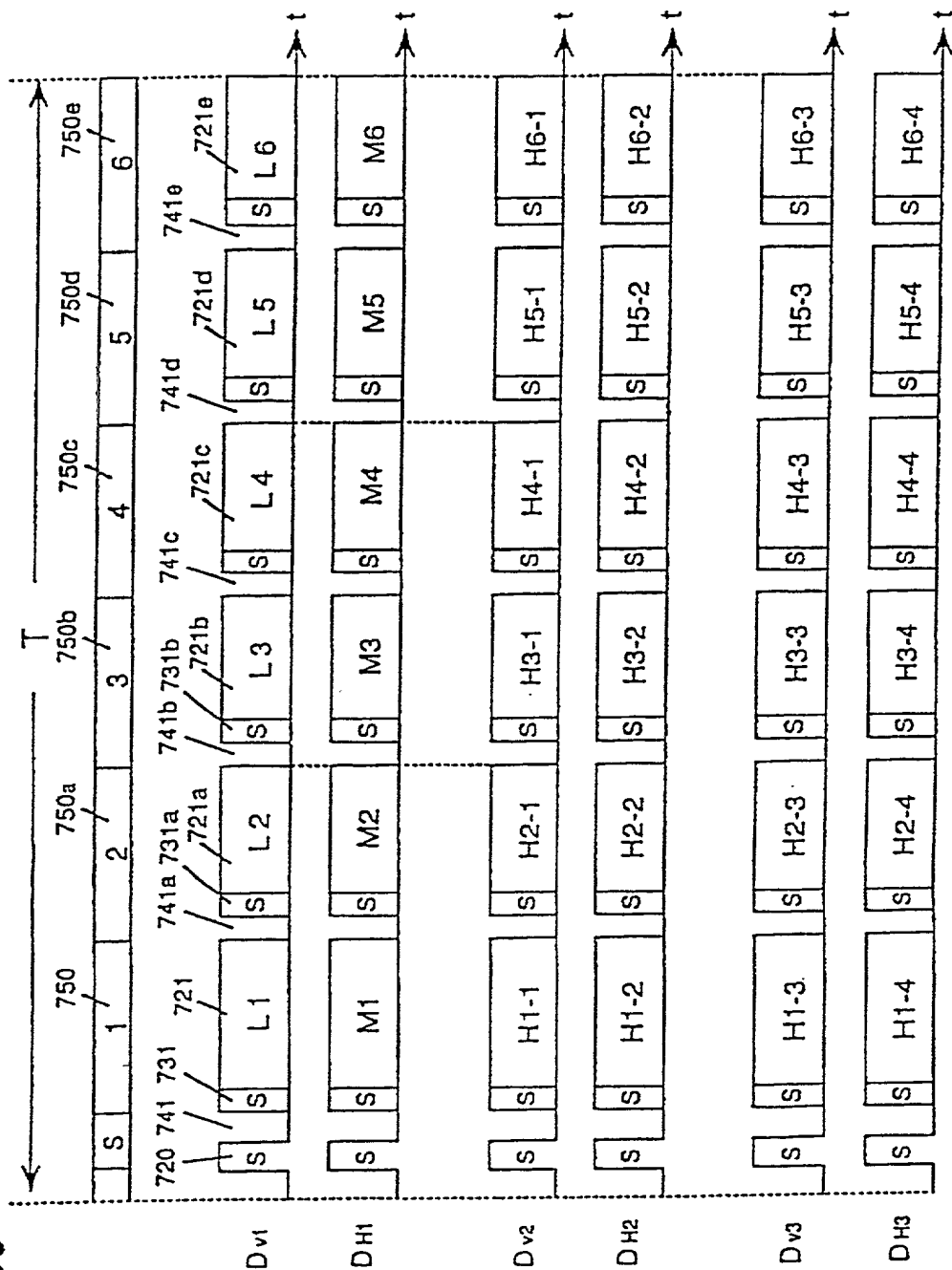


FIG. 51

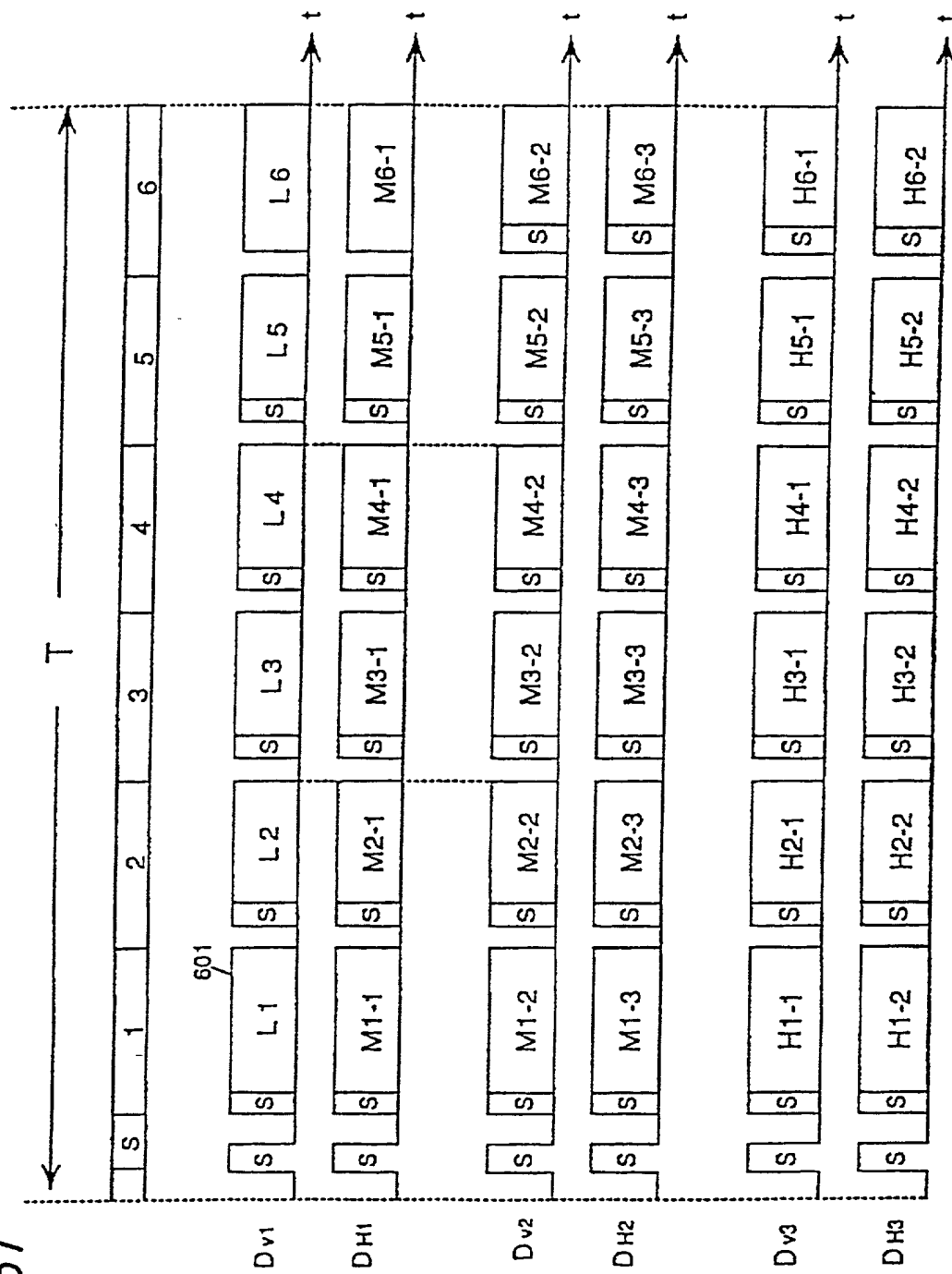


FIG. 52

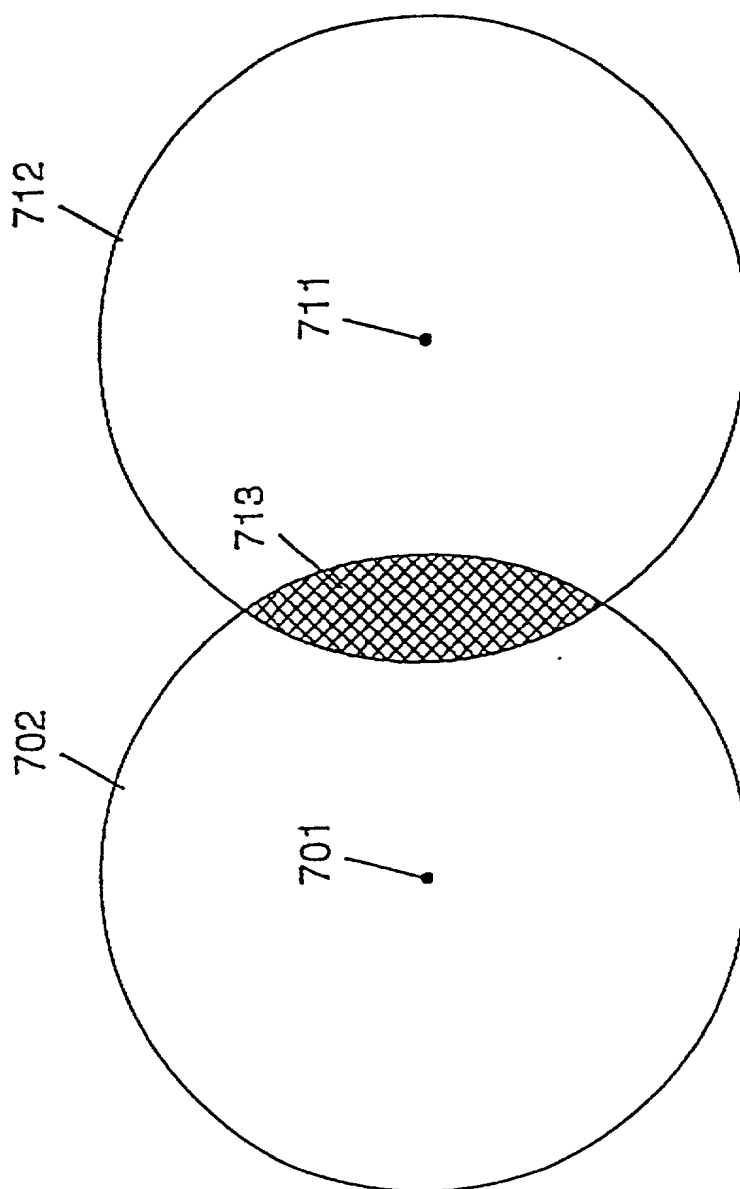


FIG. 53

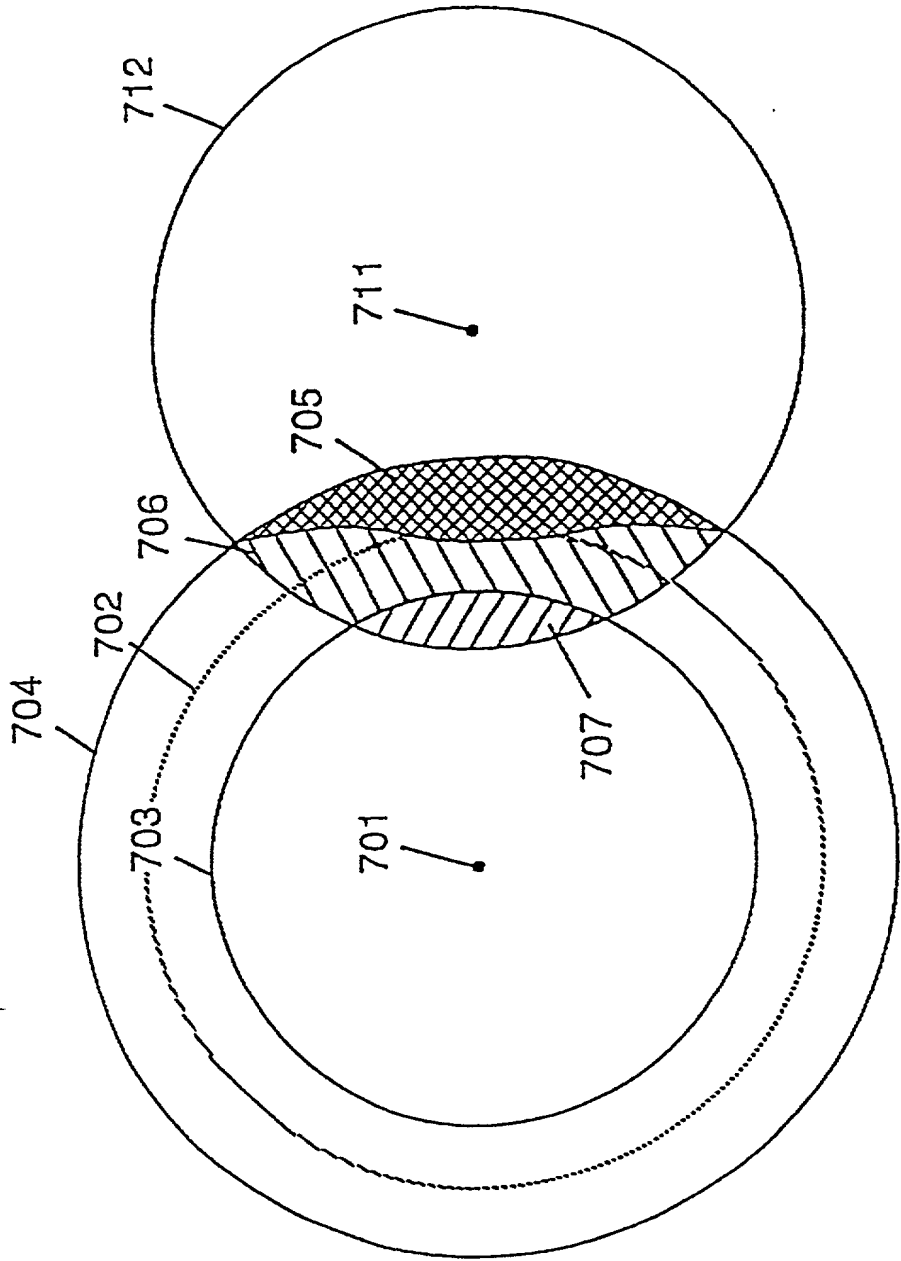
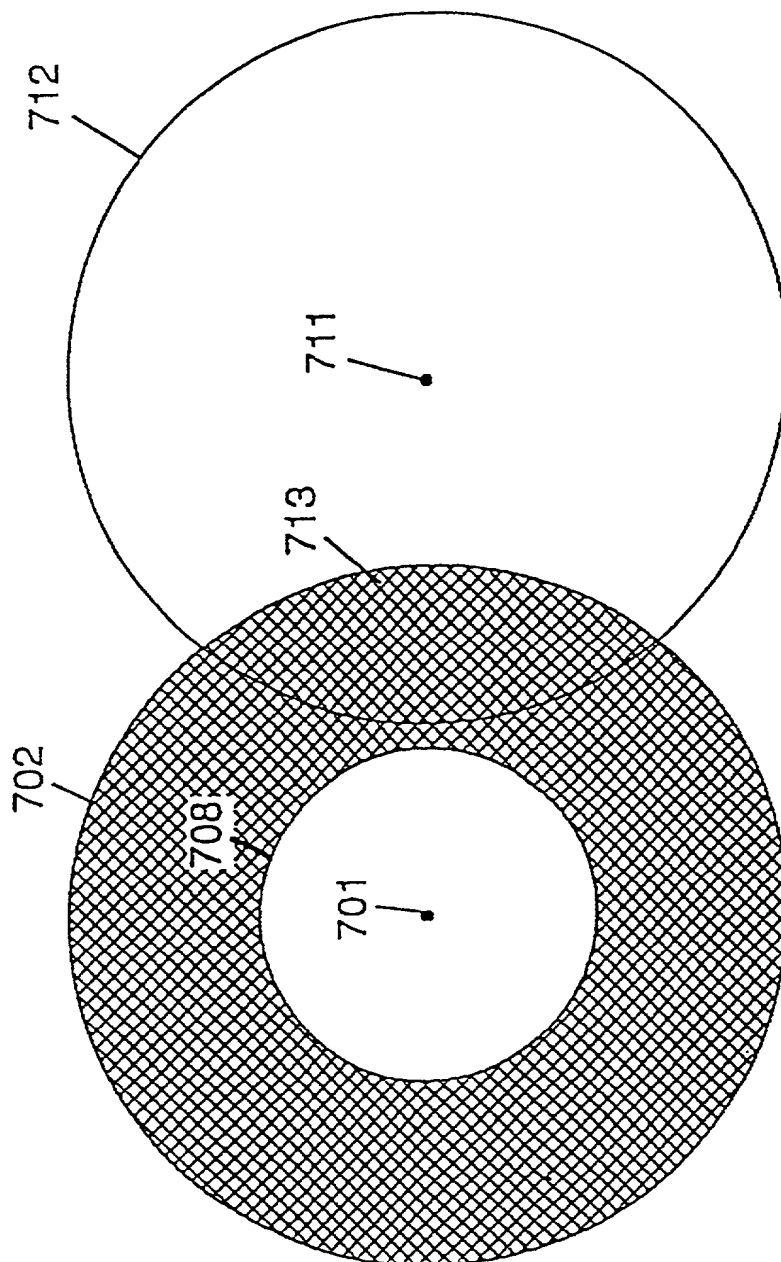


FIG. 54





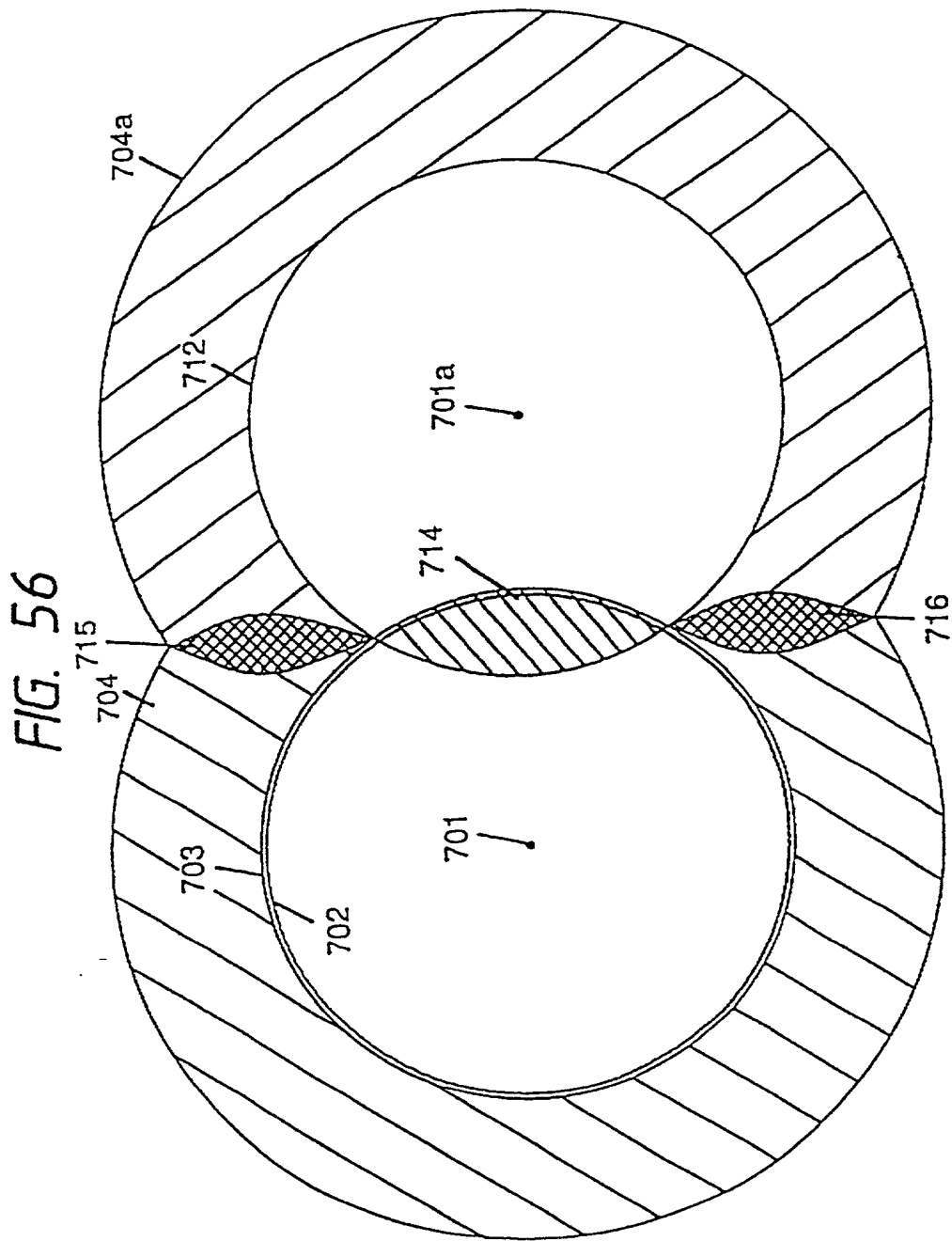




FIG. 57

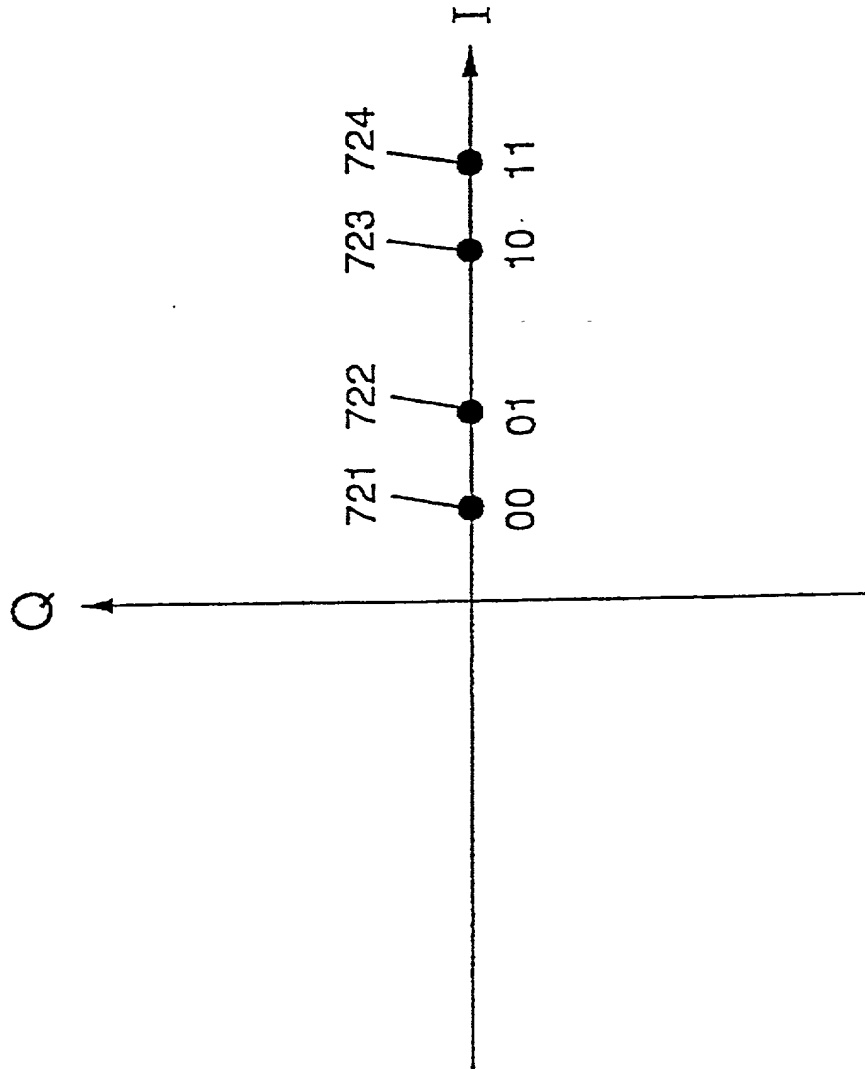


FIG. 58

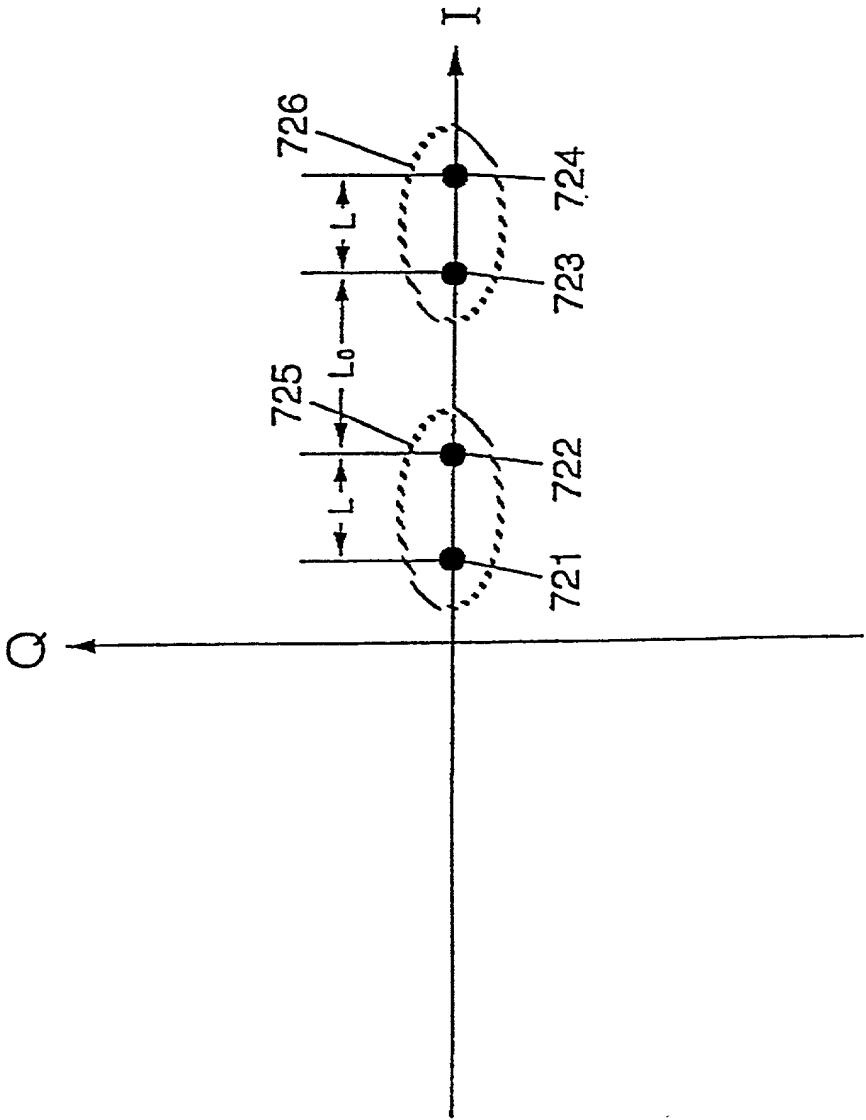


FIG. 59(a)

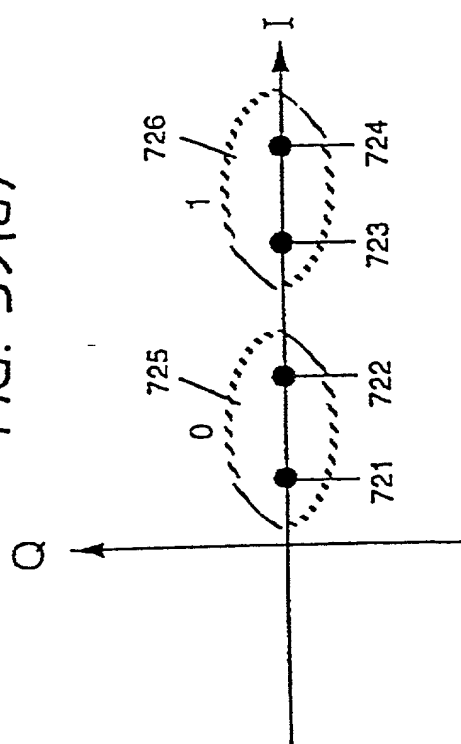


FIG. 59(c)

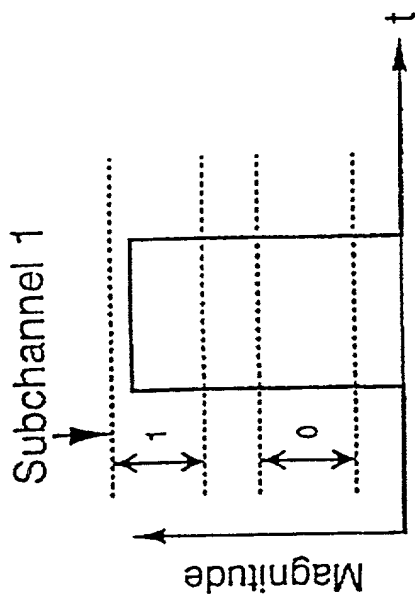


FIG. 59(b)

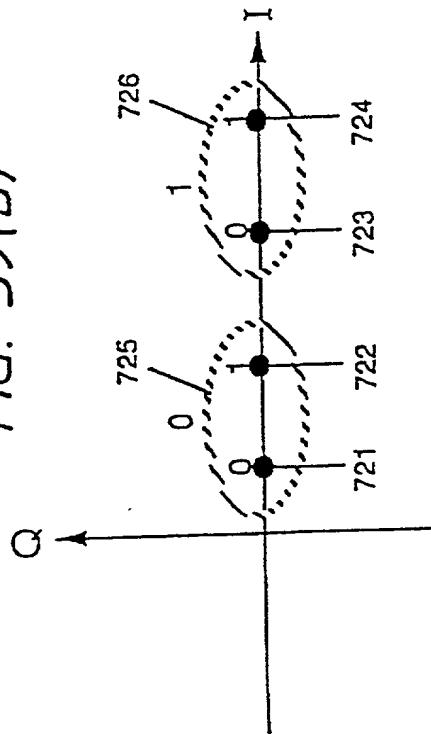


FIG. 59(d)

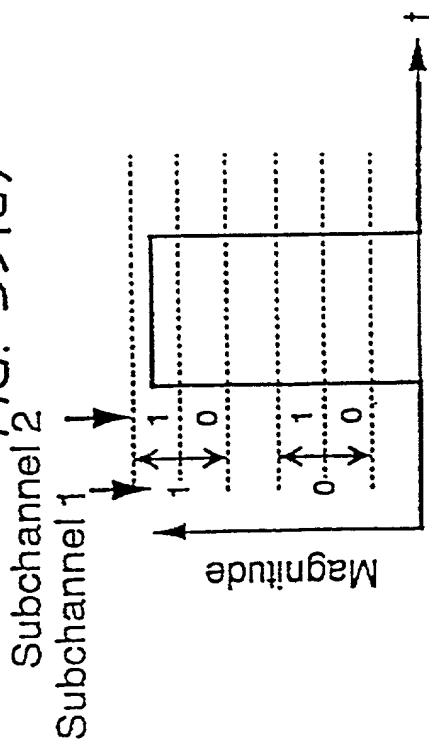


FIG. 60

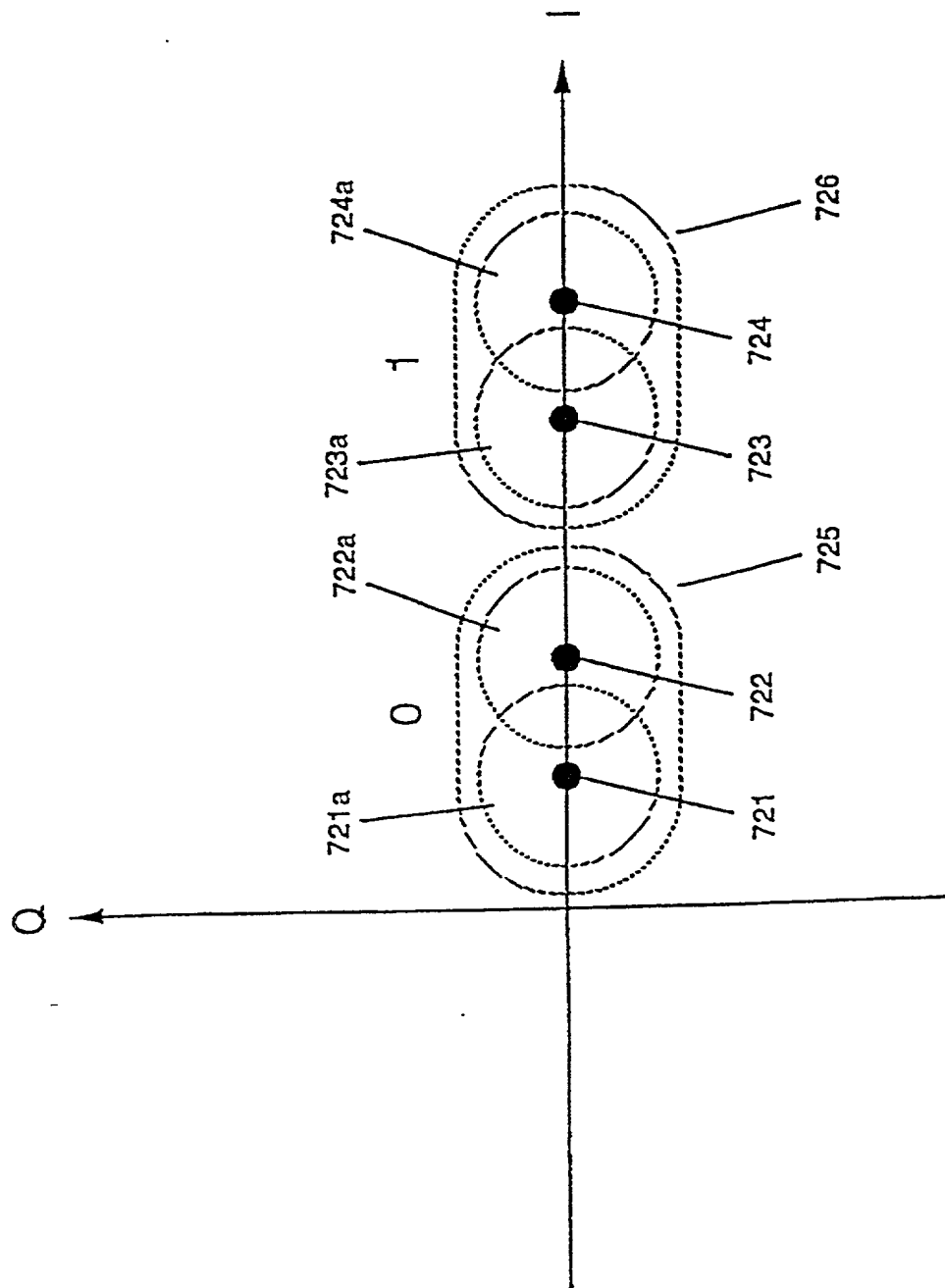


FIG. 61

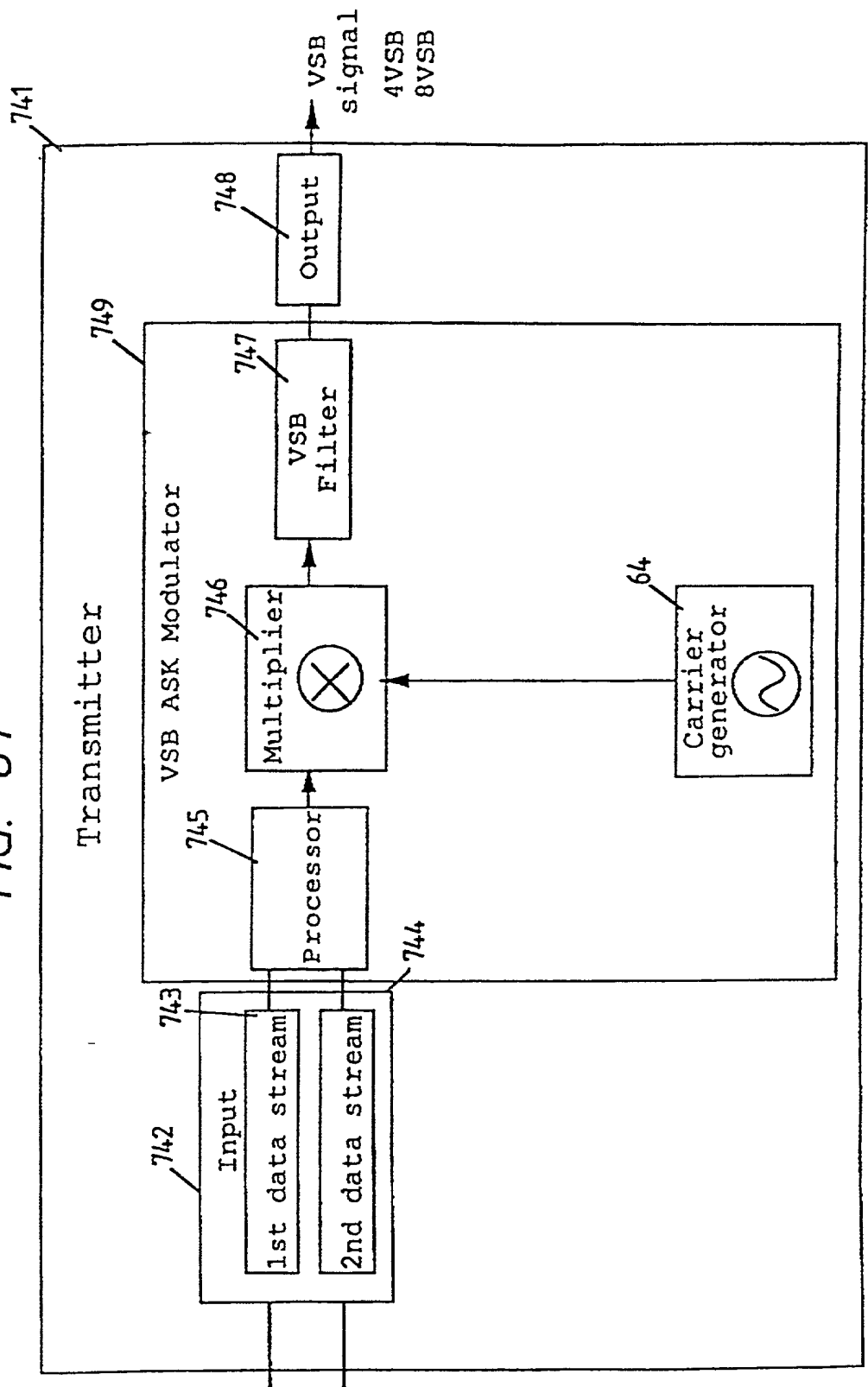


FIG. 62(a)

Spectrum of ASK Signal

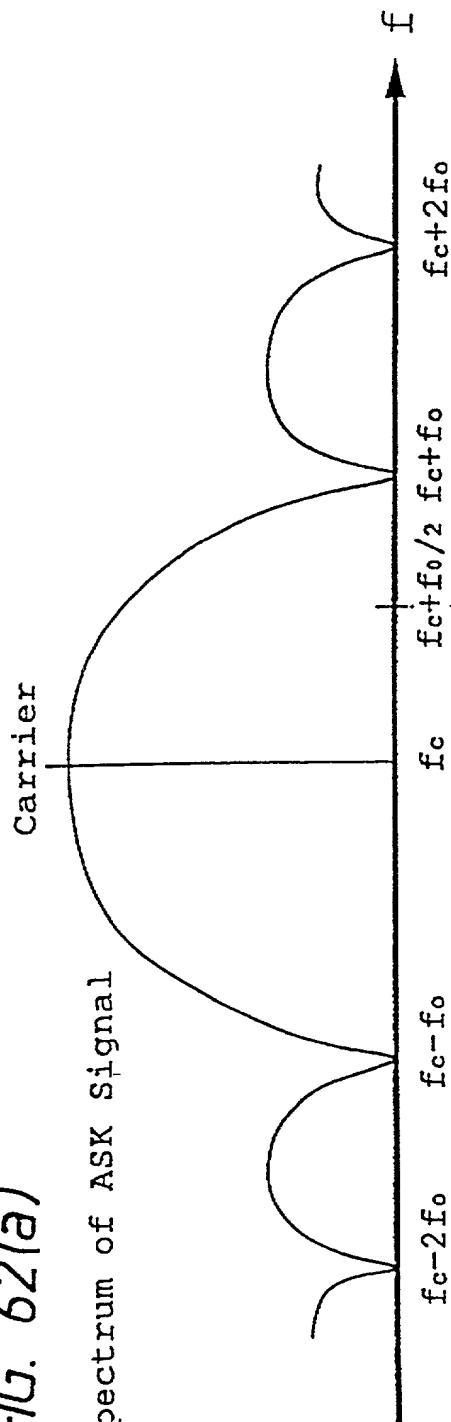


FIG. 62(b)

Characteristics of VSB Filter

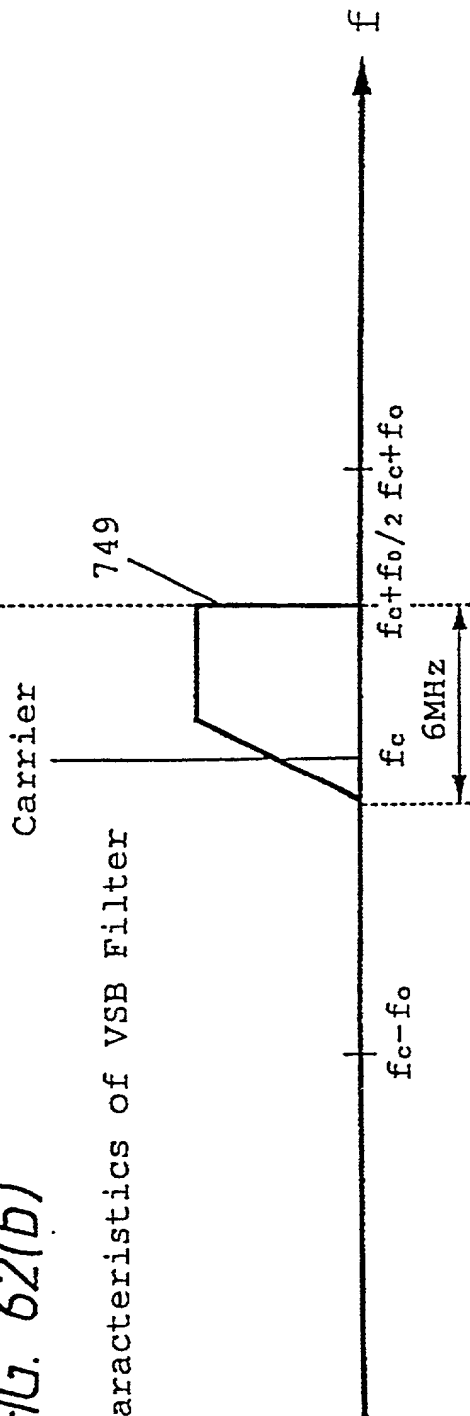


FIG. 63

Receiver

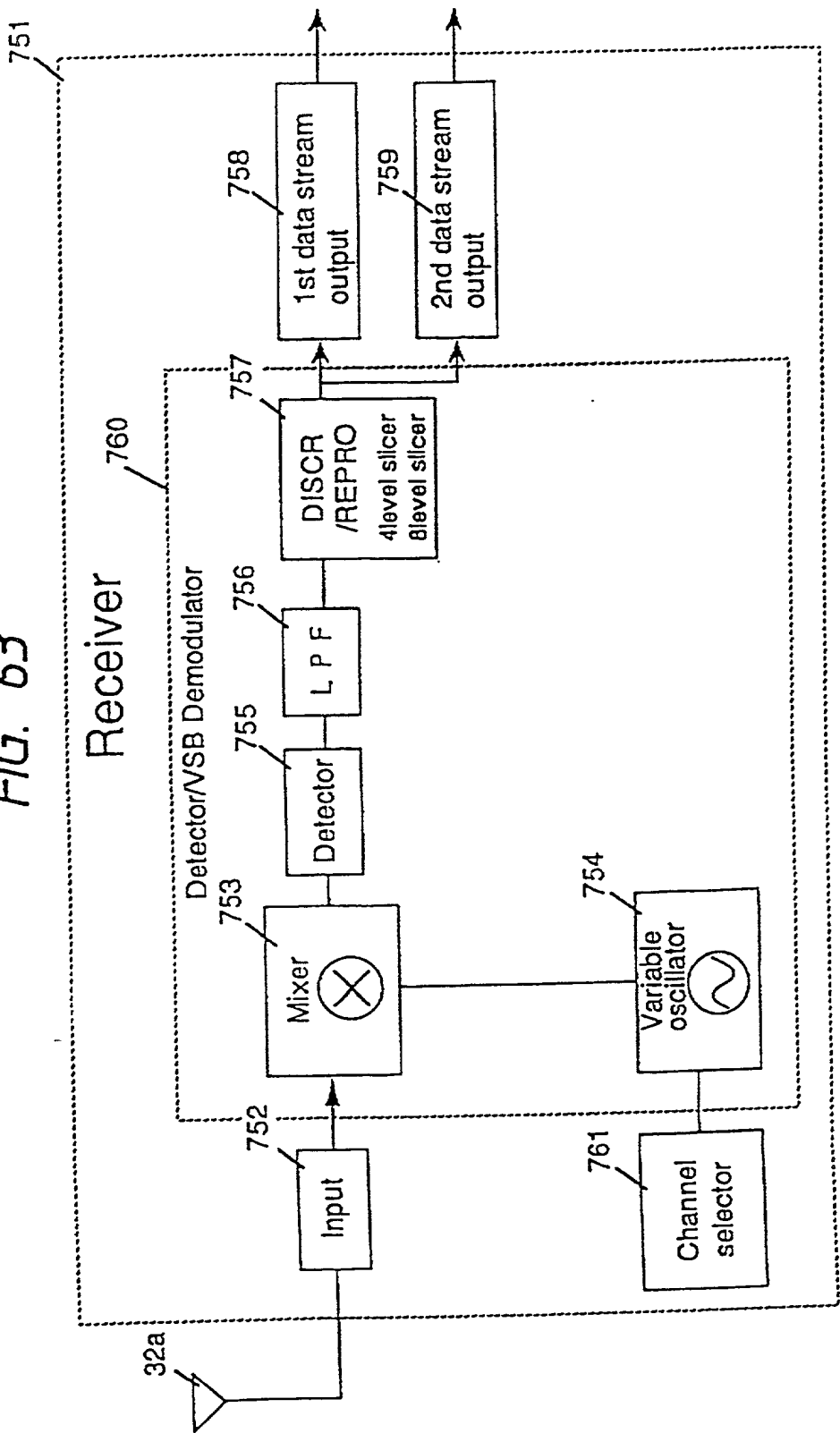


FIG. 64

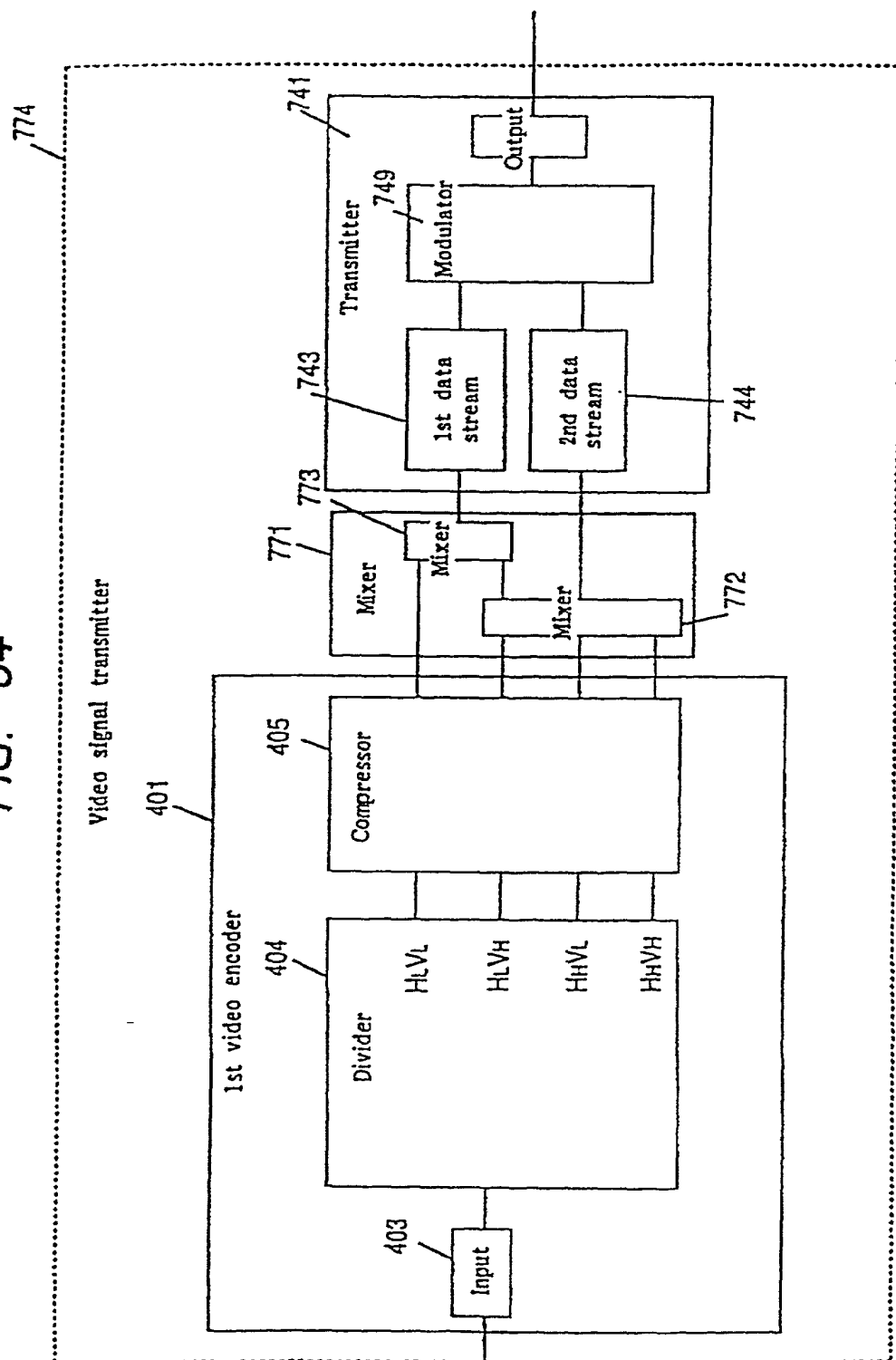




FIG. 65

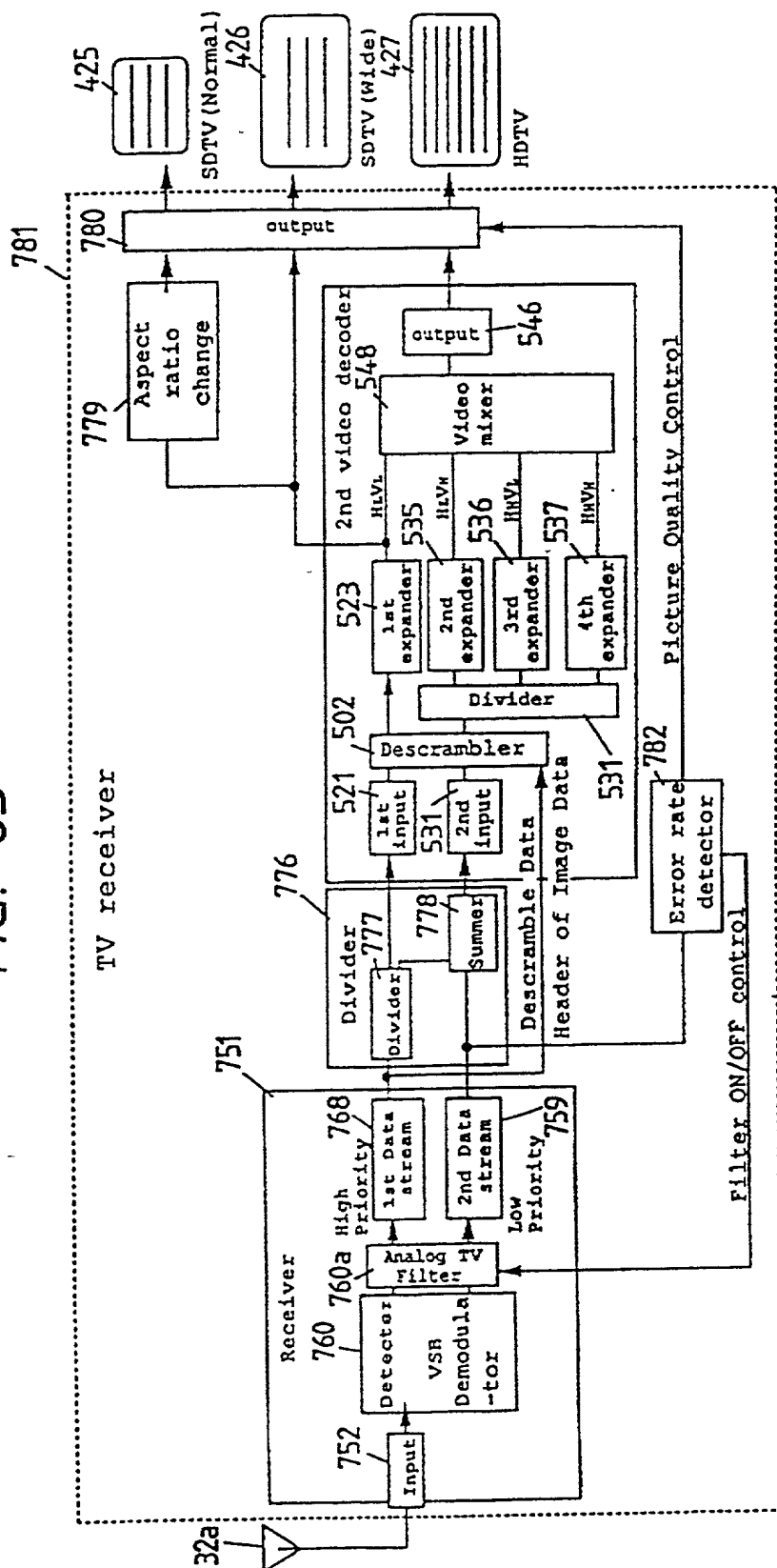


FIG. 66

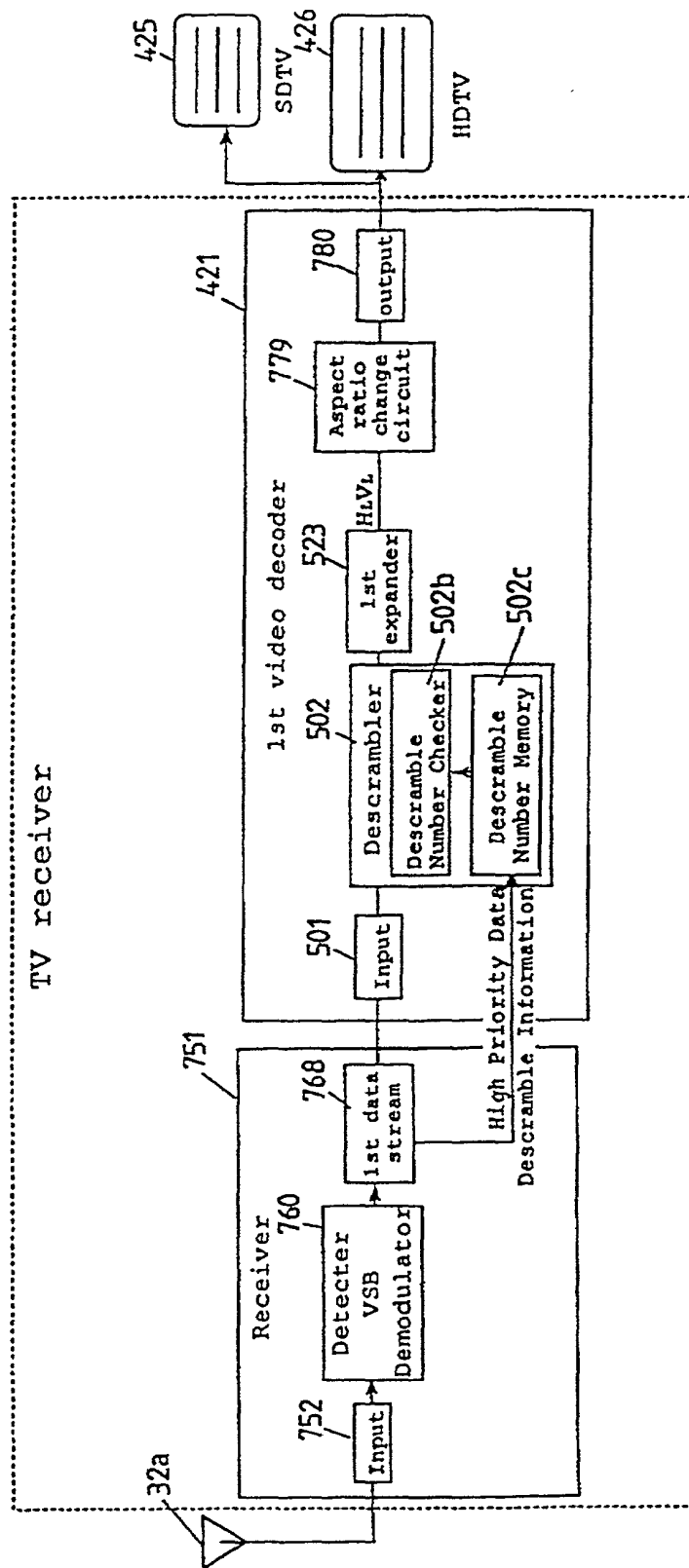


FIG. 67

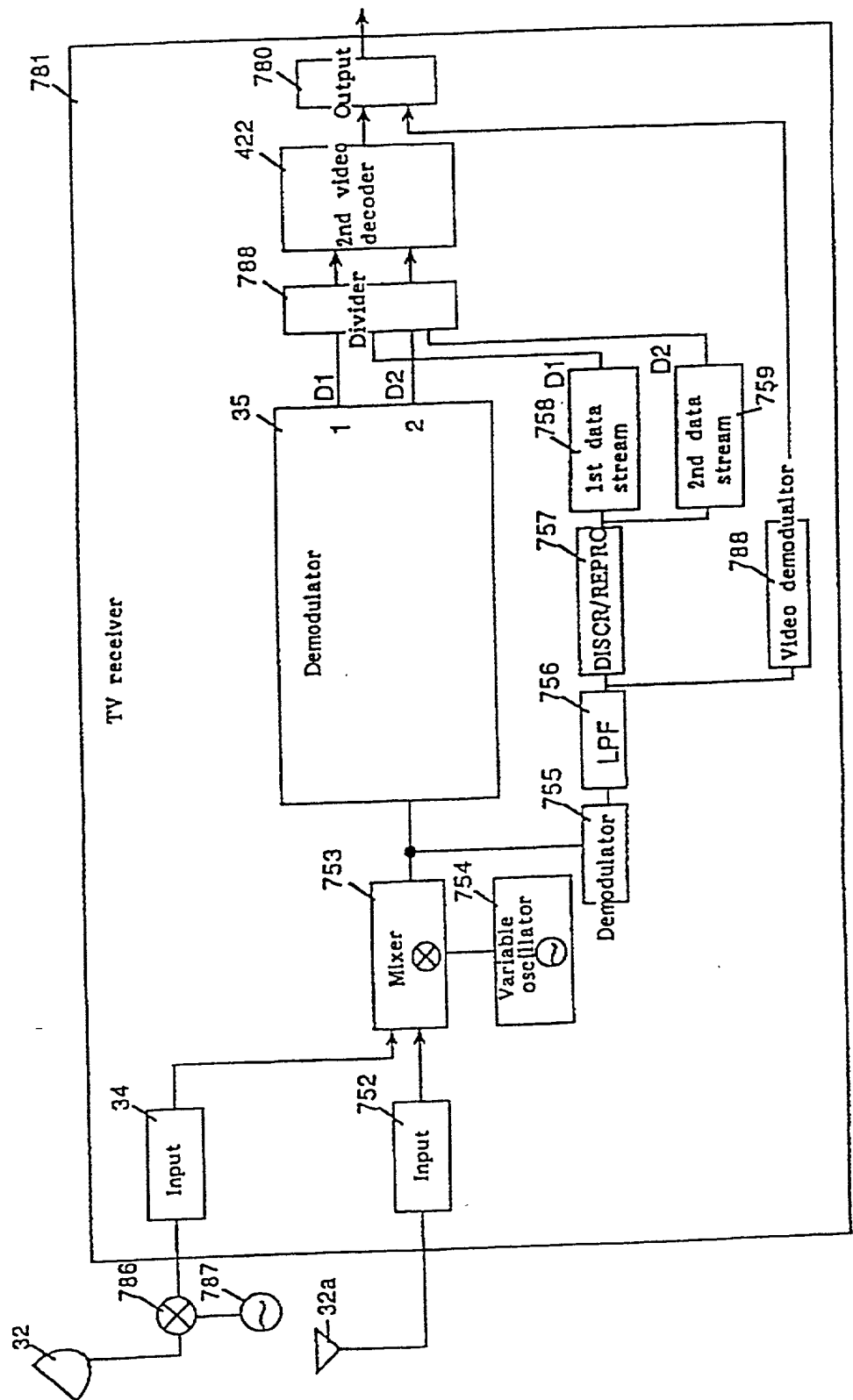


FIG. 68(a)

8-VSB

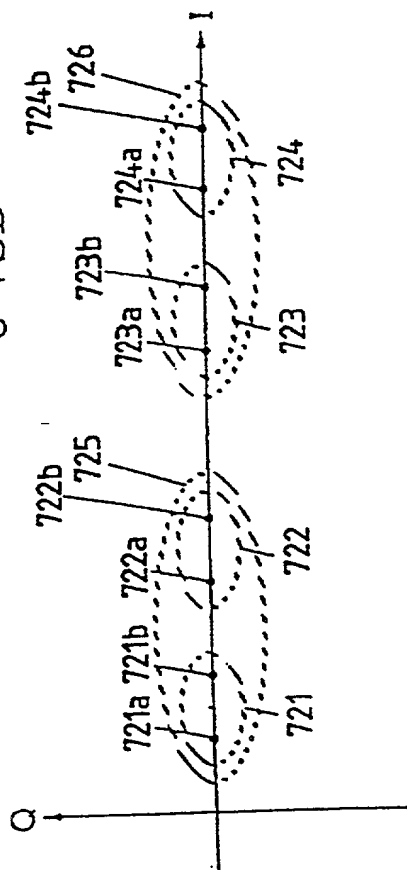


FIG. 68(b)

8-VSB ( $L=L_0$ )

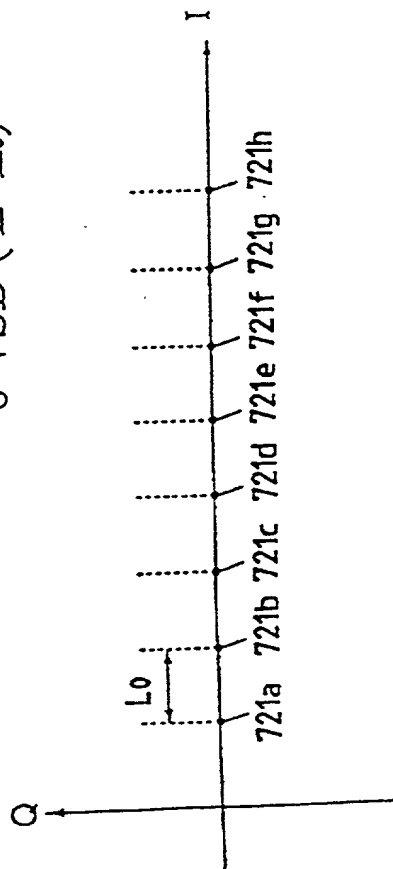


FIG. 68(c)

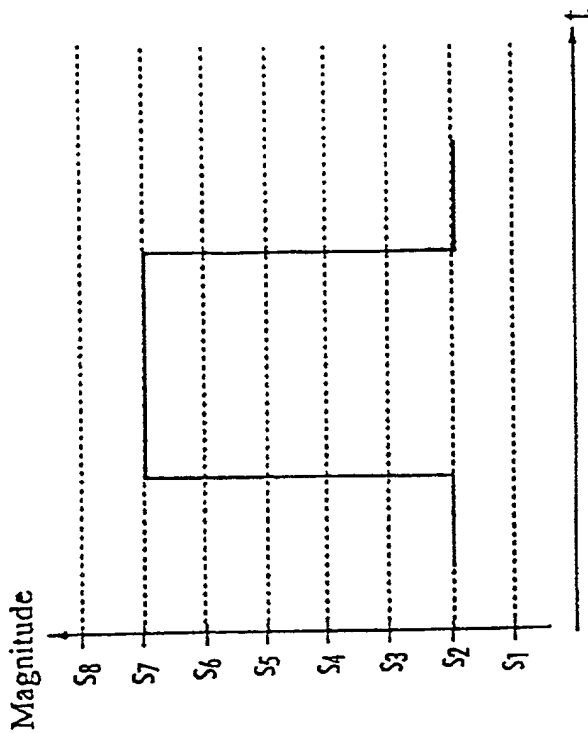


FIG. 69

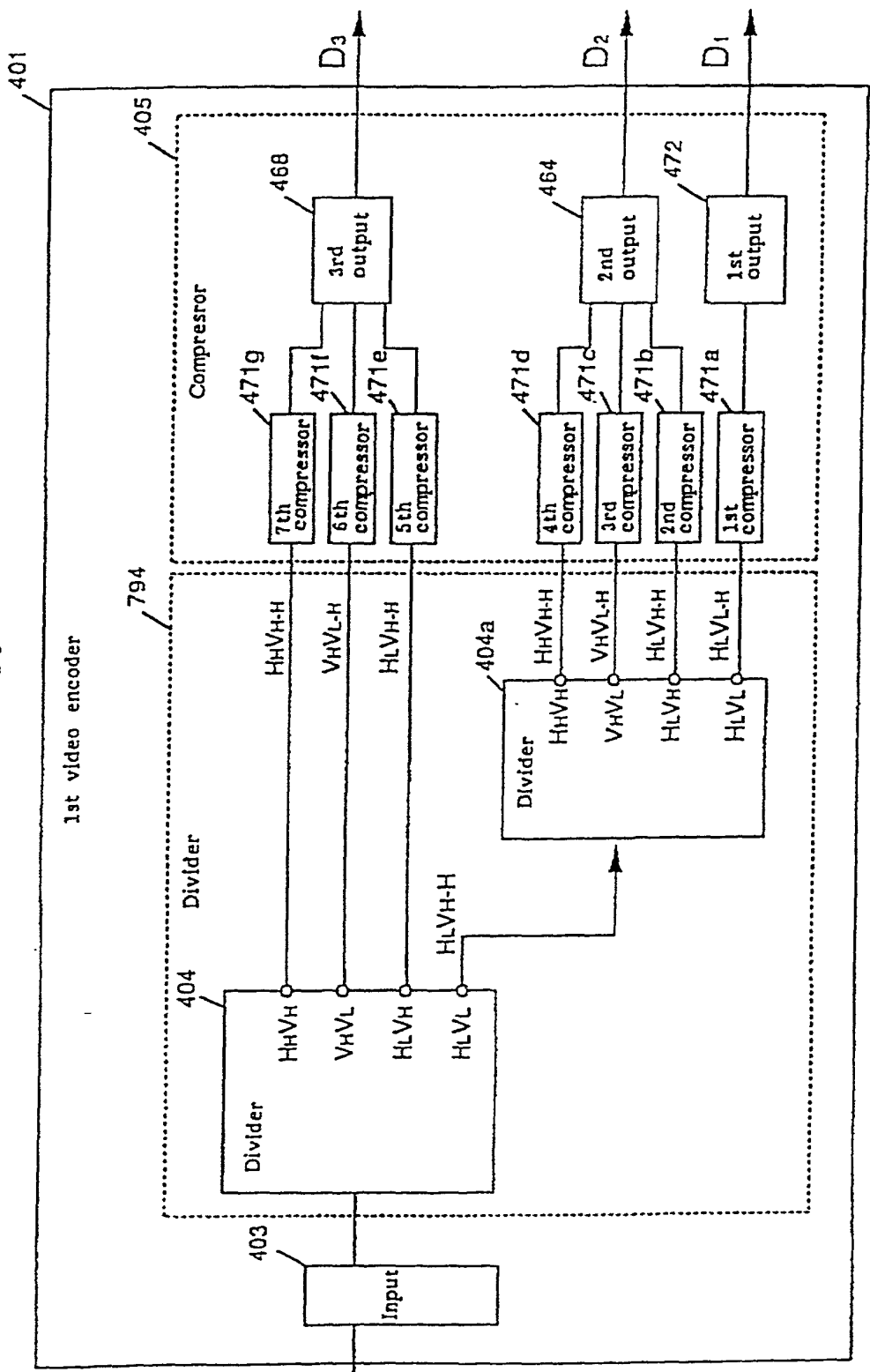


FIG. 70

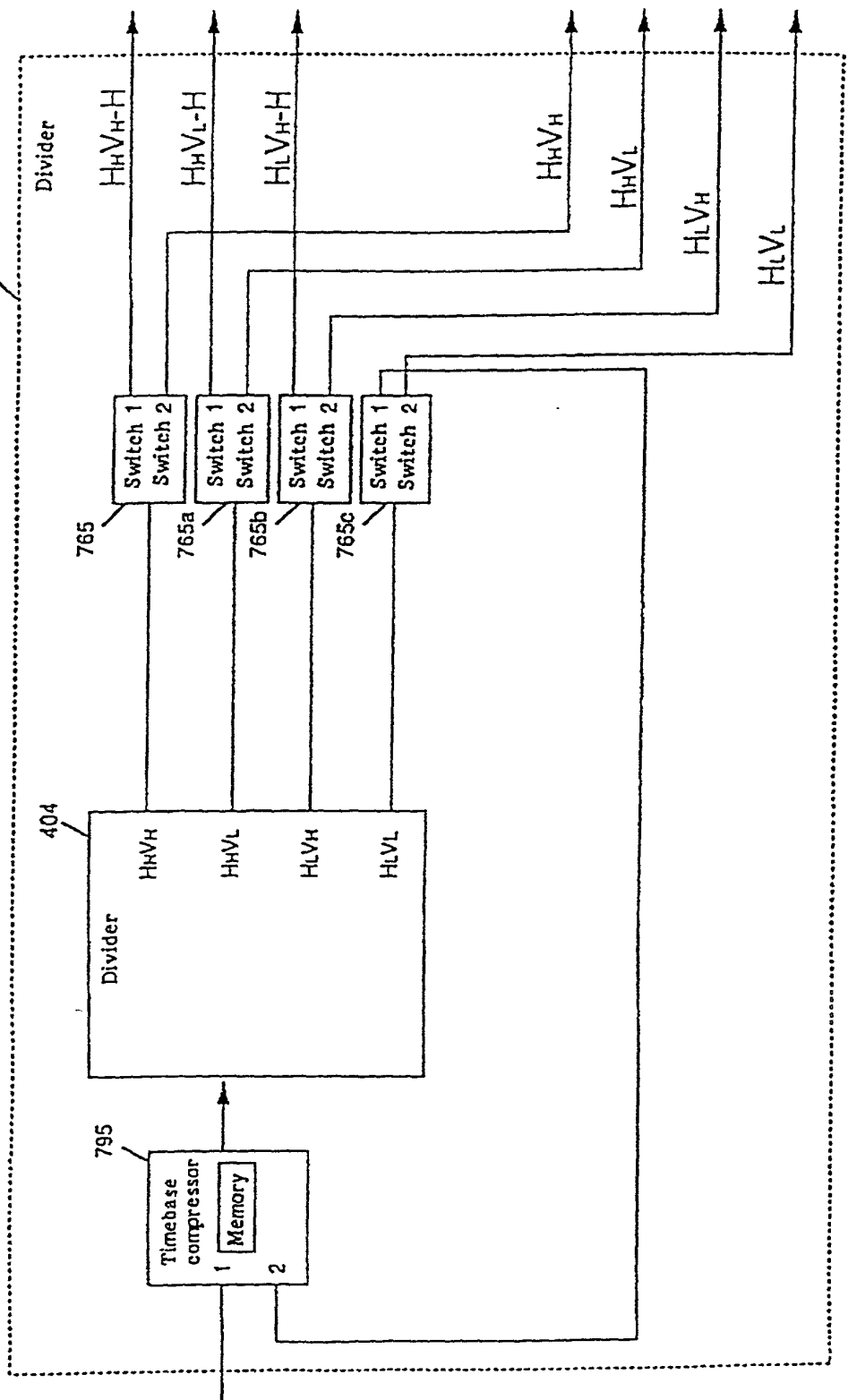


FIG. 71

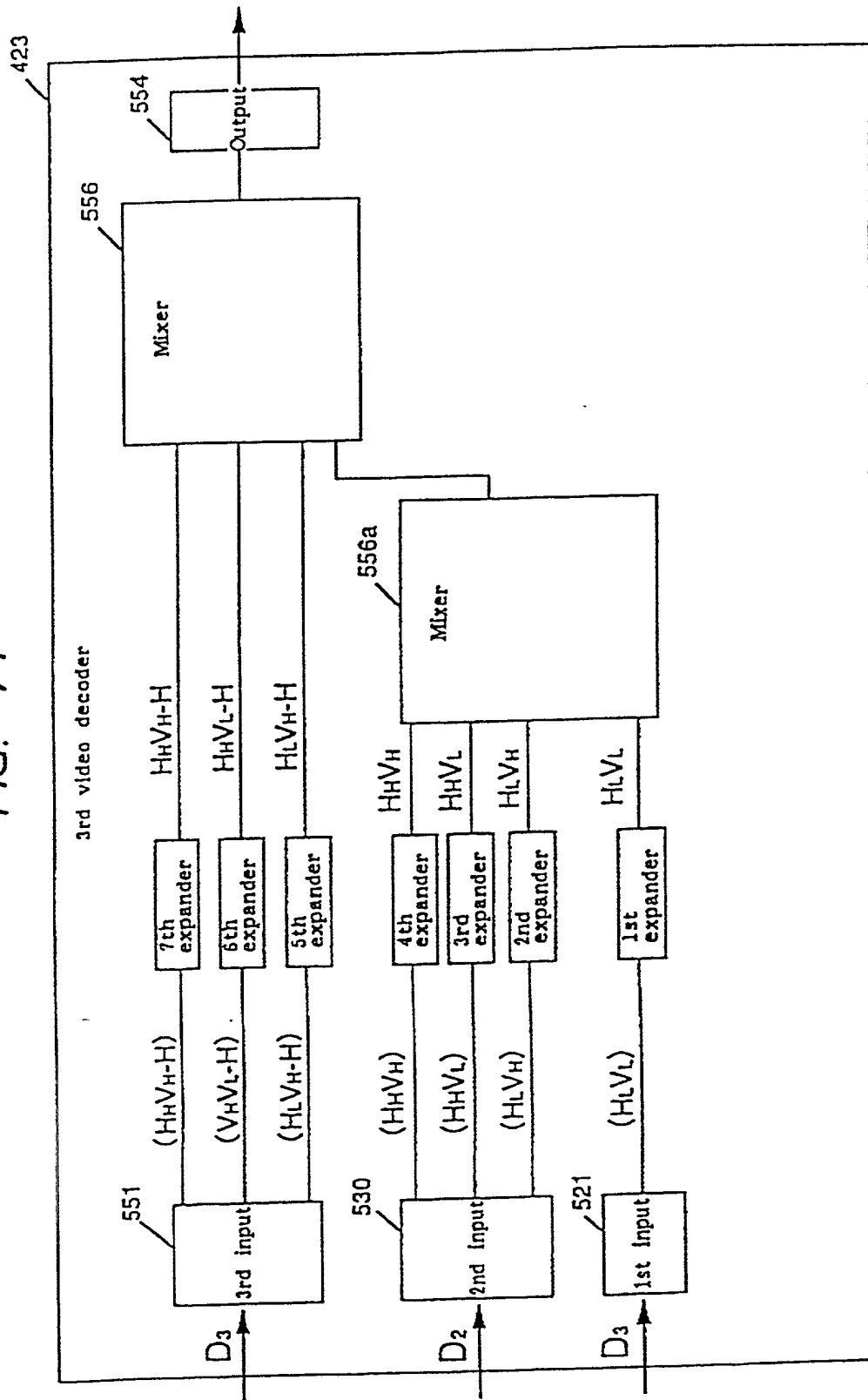


FIG. 72

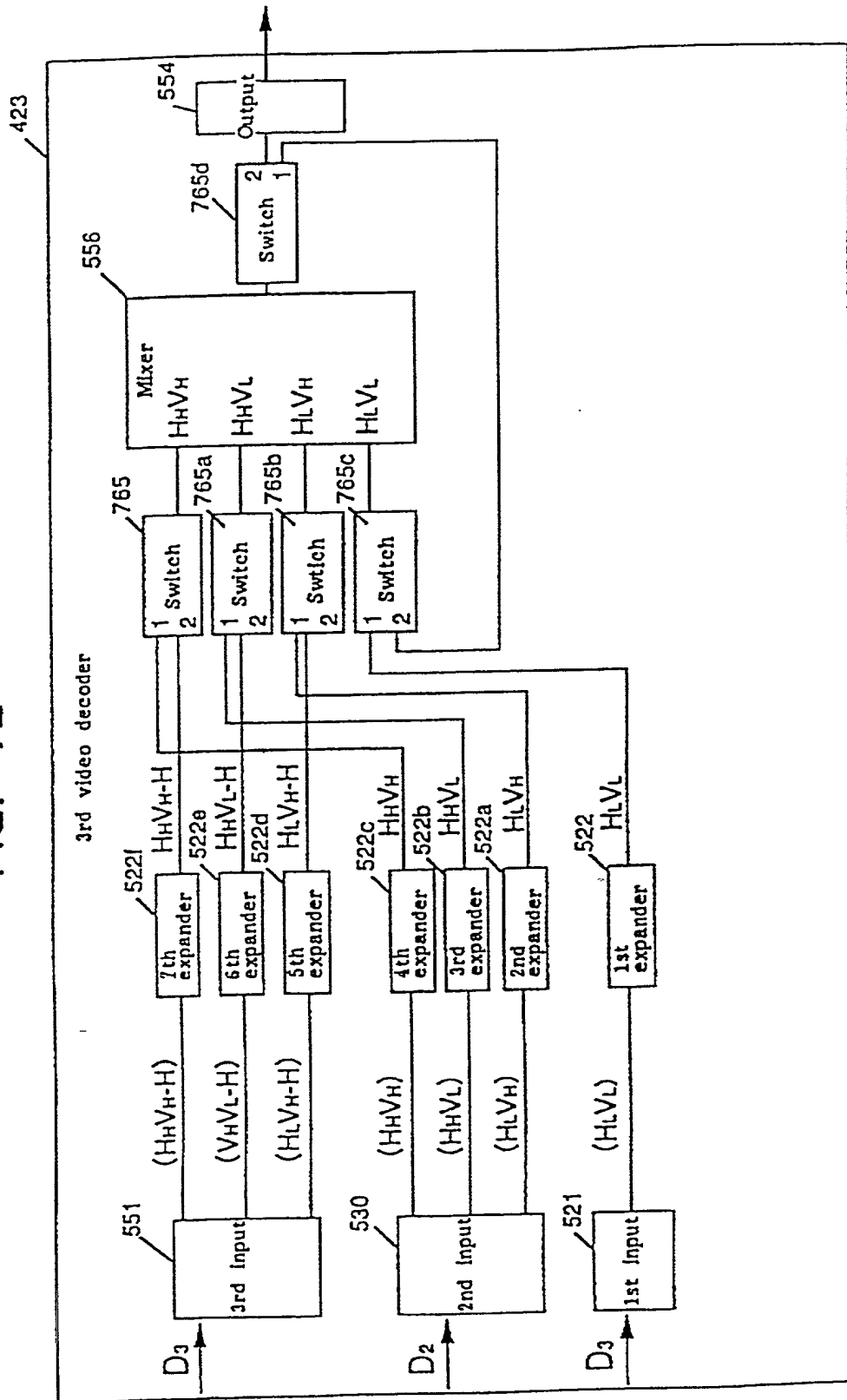
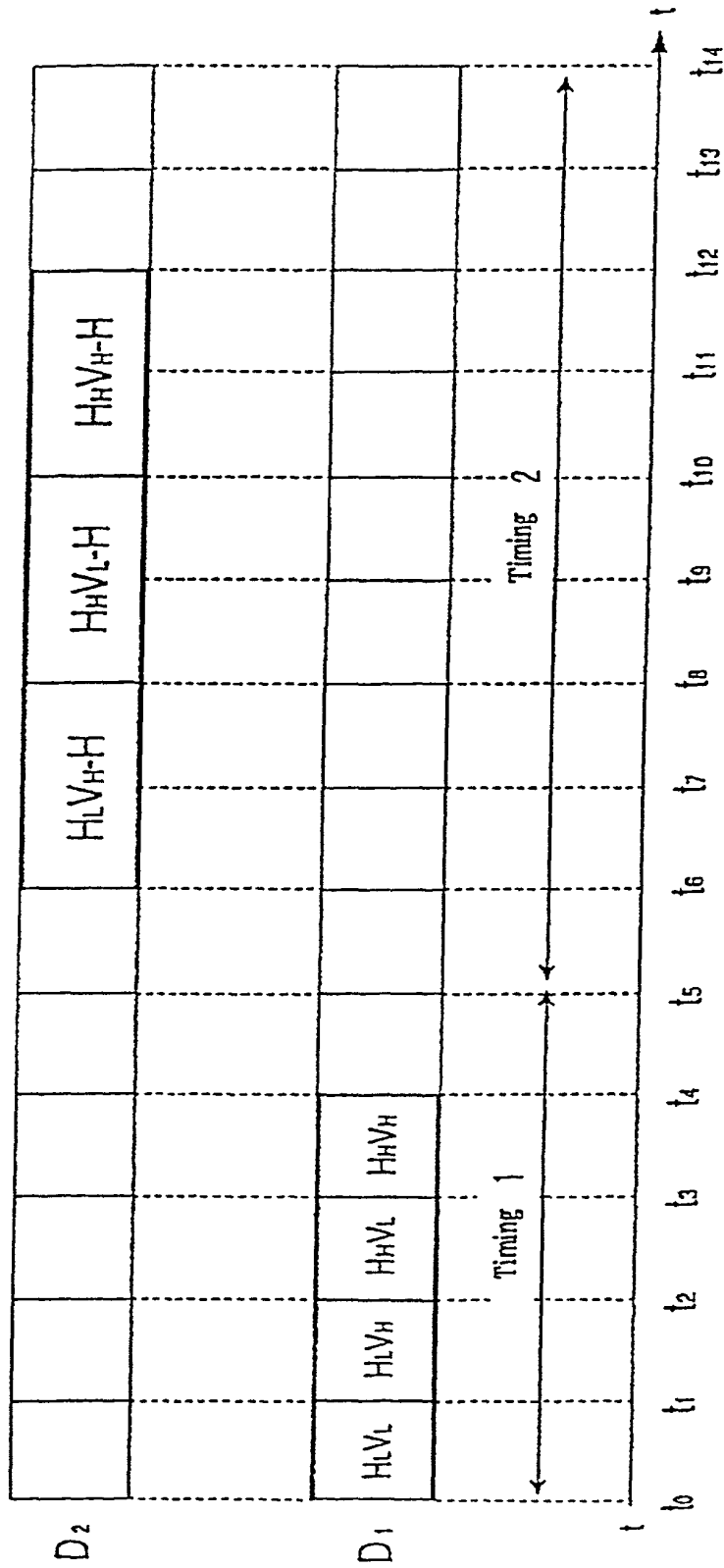




FIG. 73



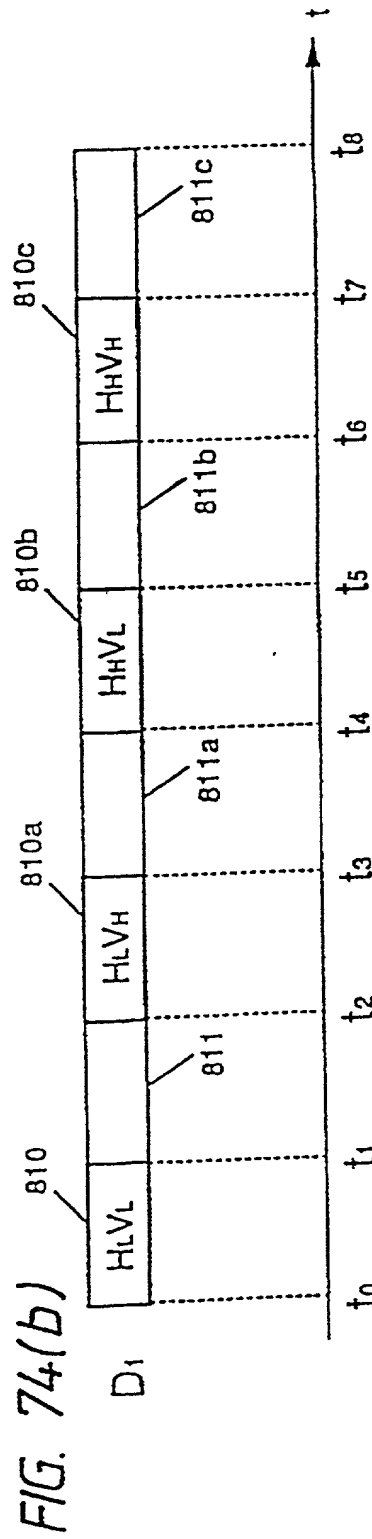
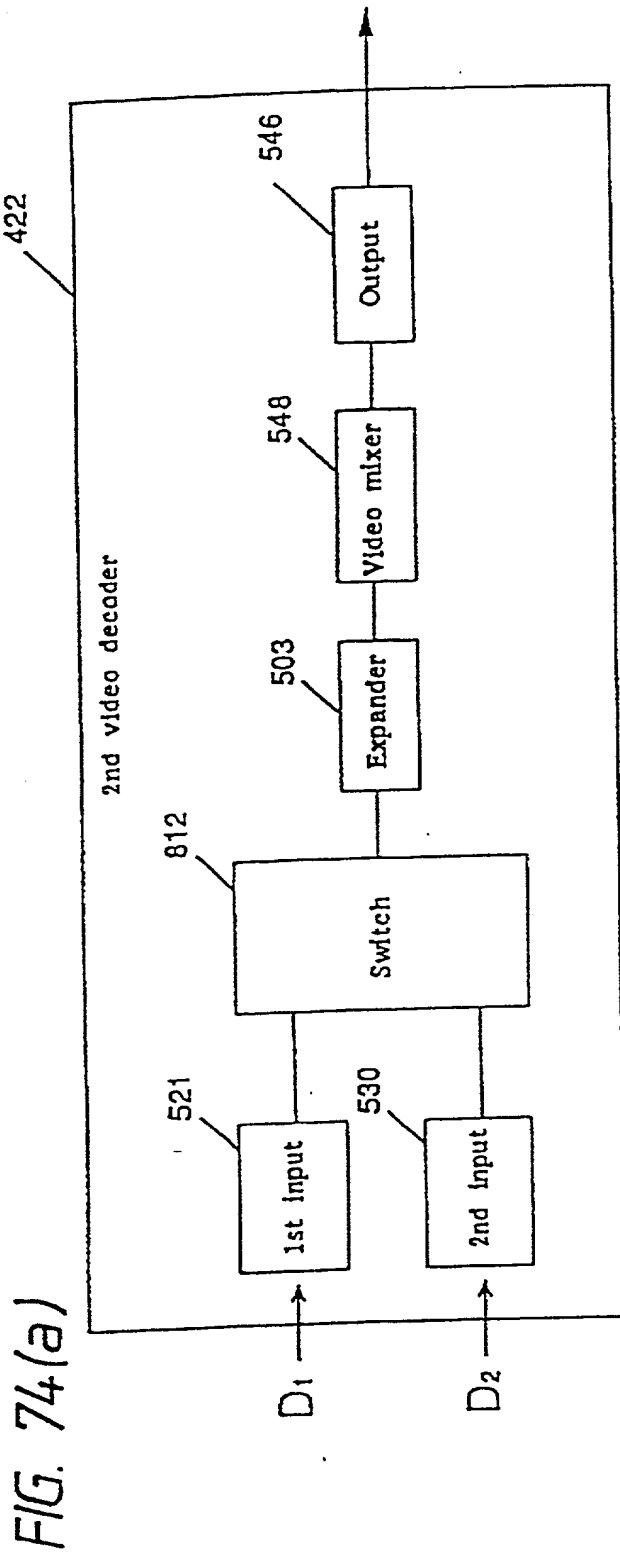


FIG. 75

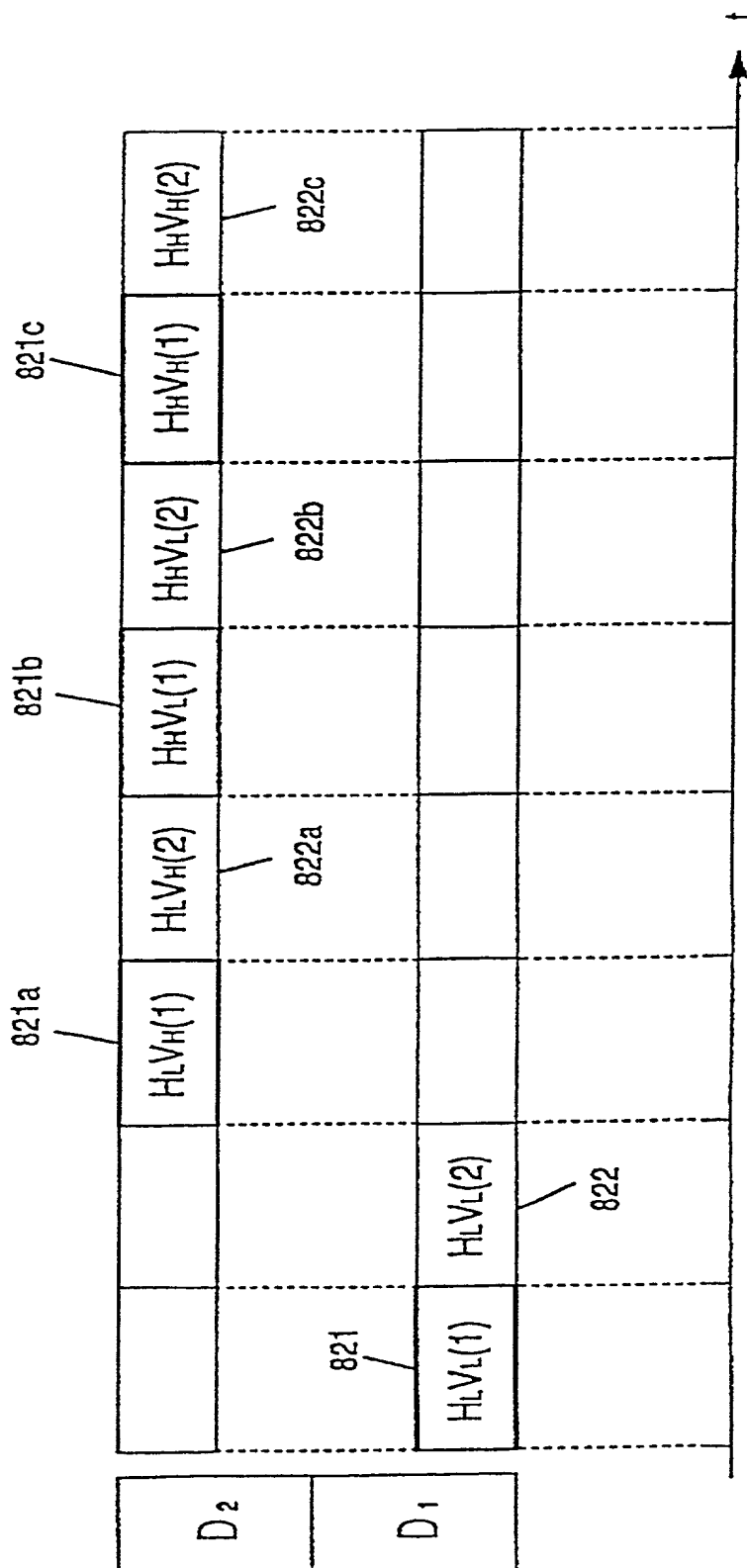


FIG. 76

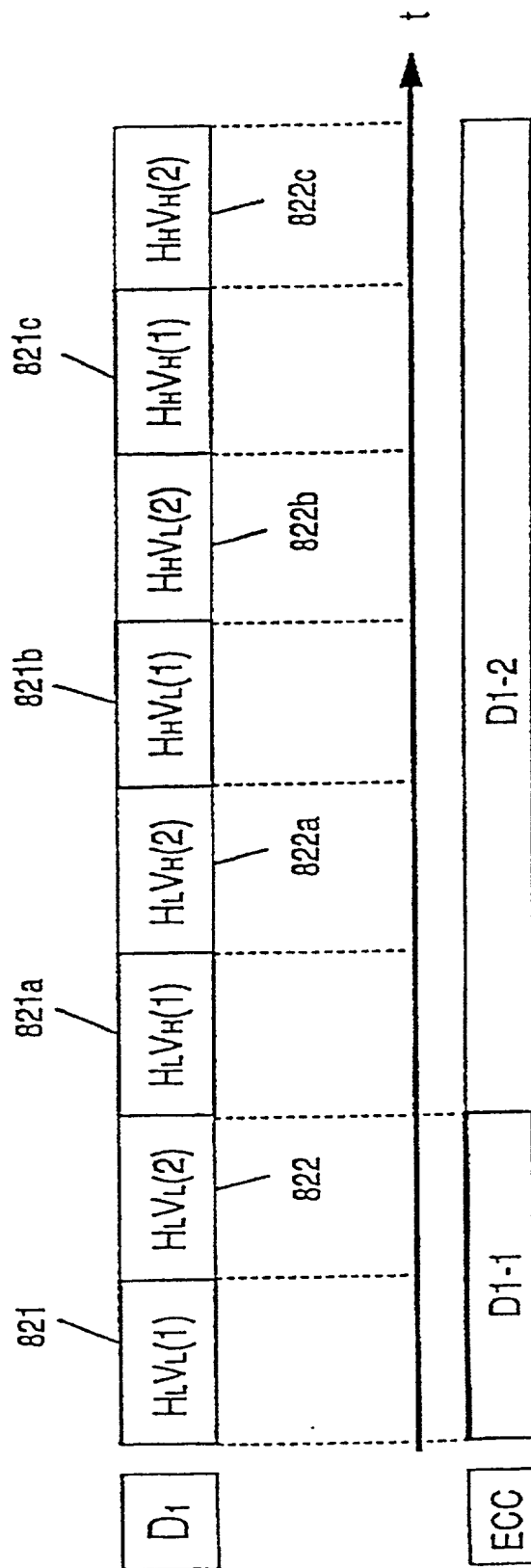


FIG. 77

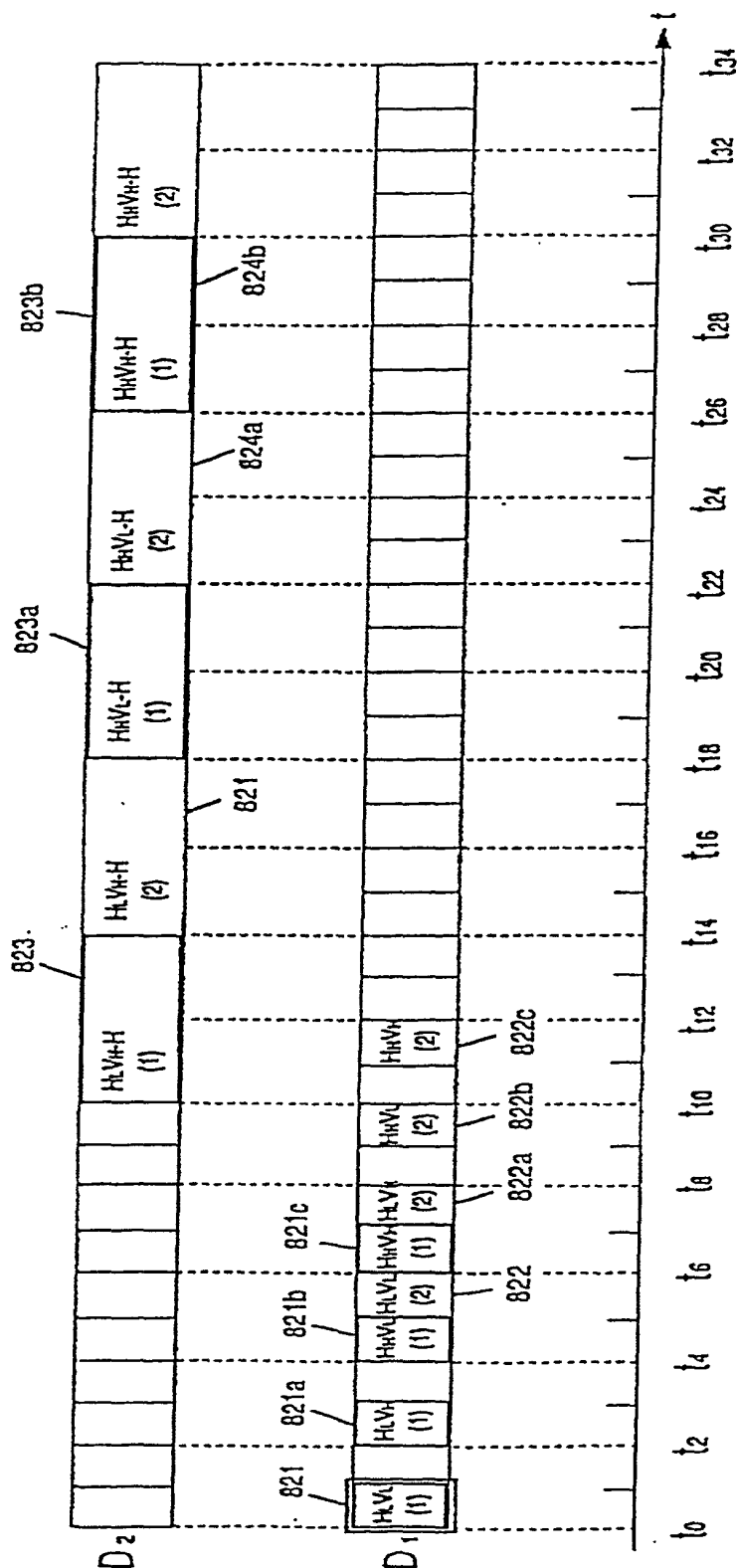


FIG. 78

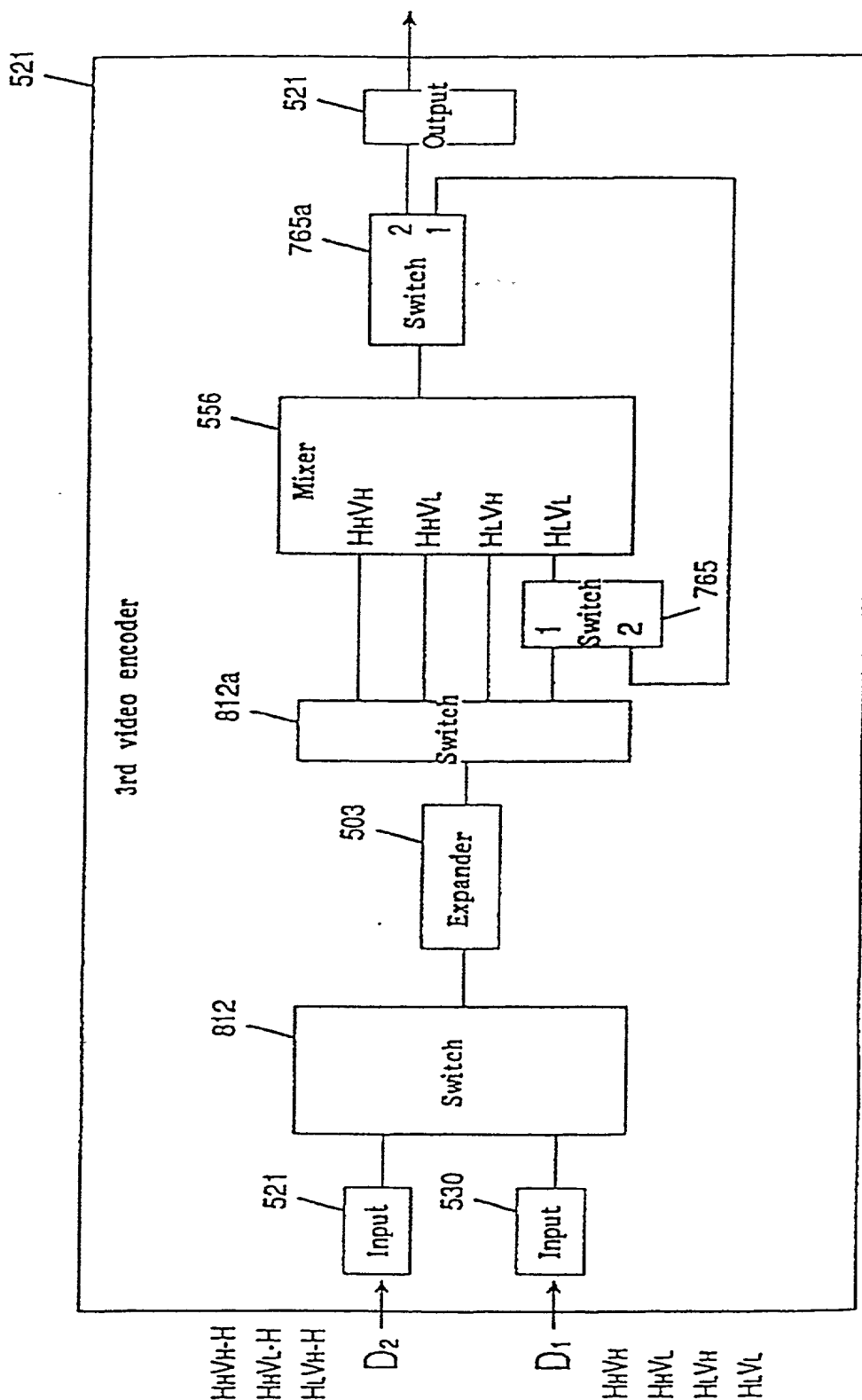


FIG. 79

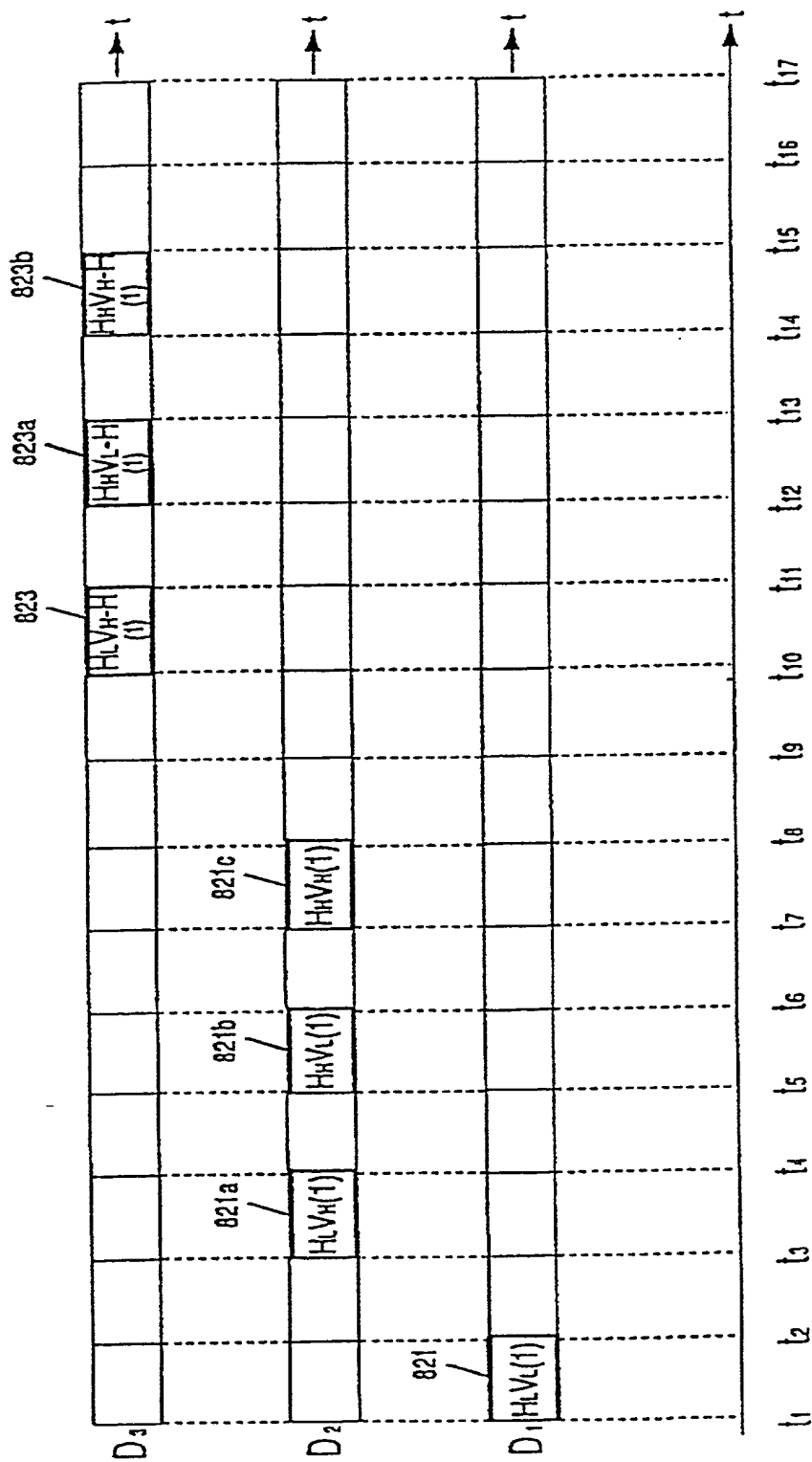


FIG. 80

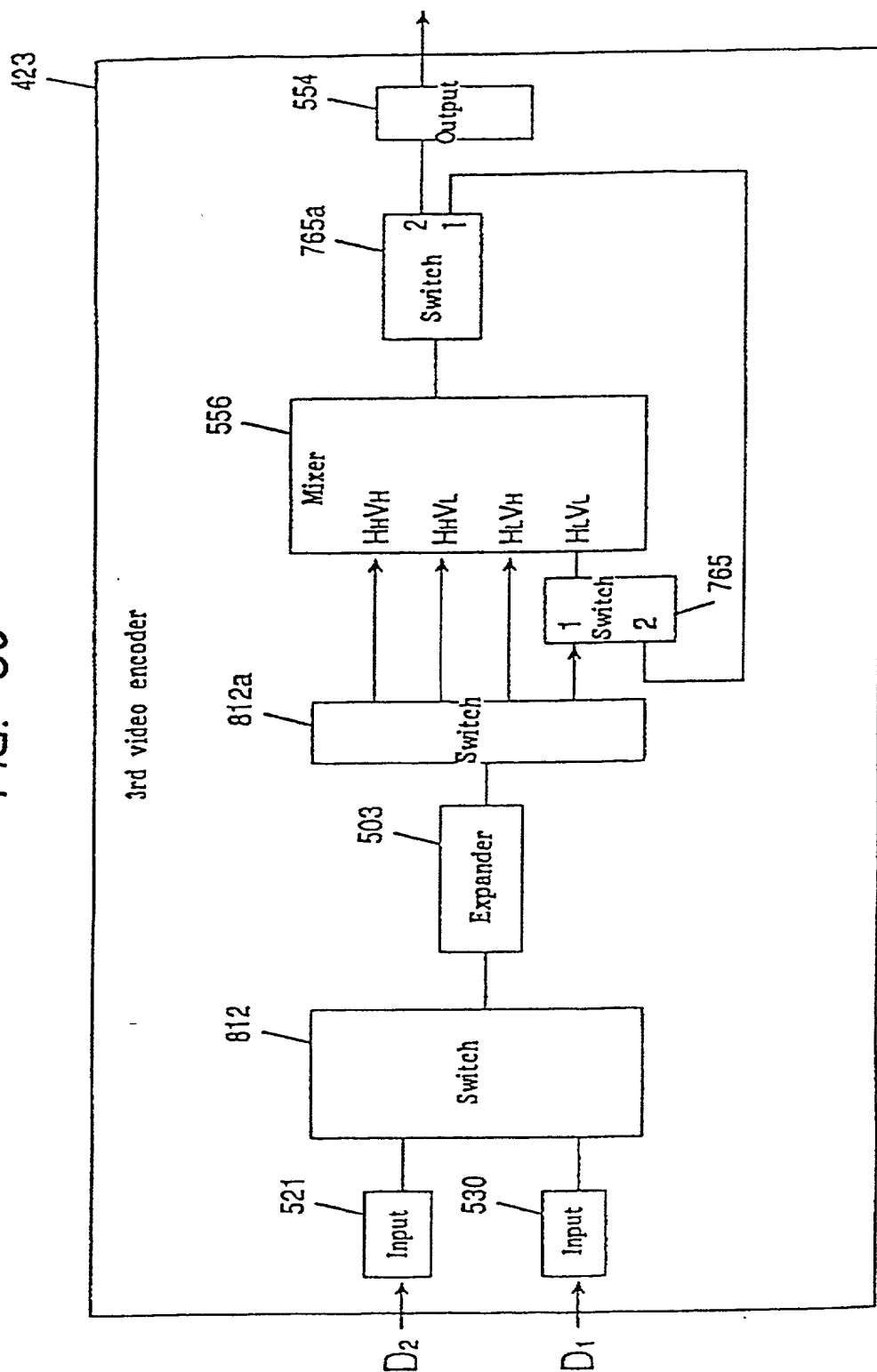




FIG. 81

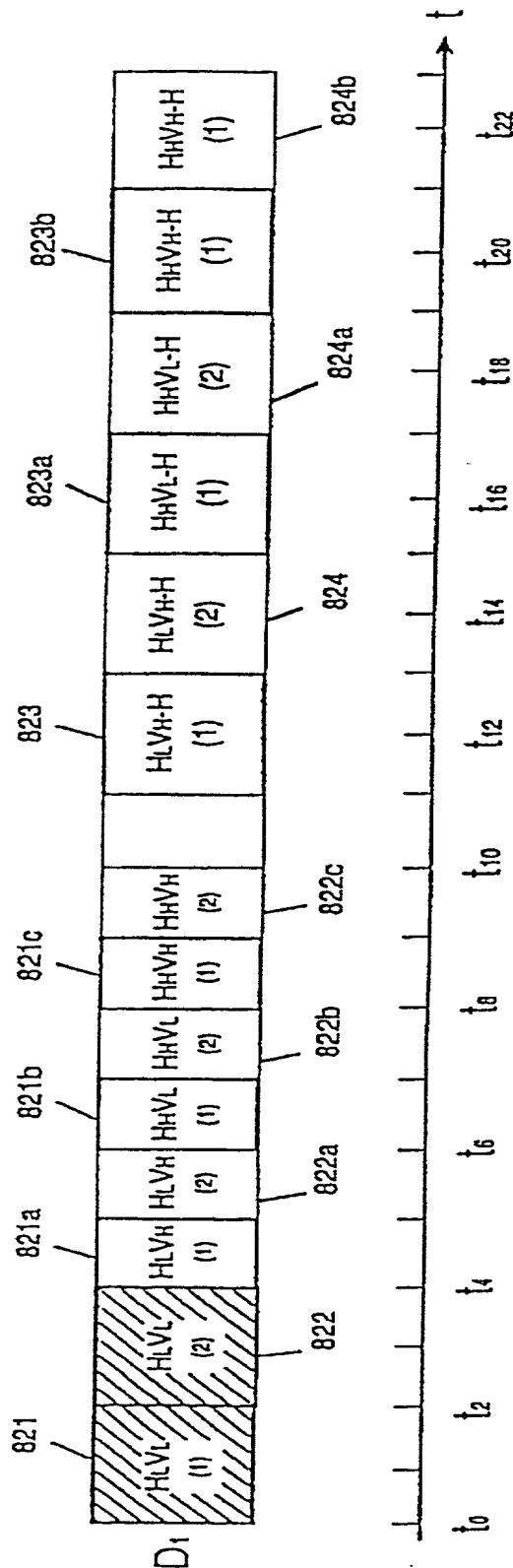
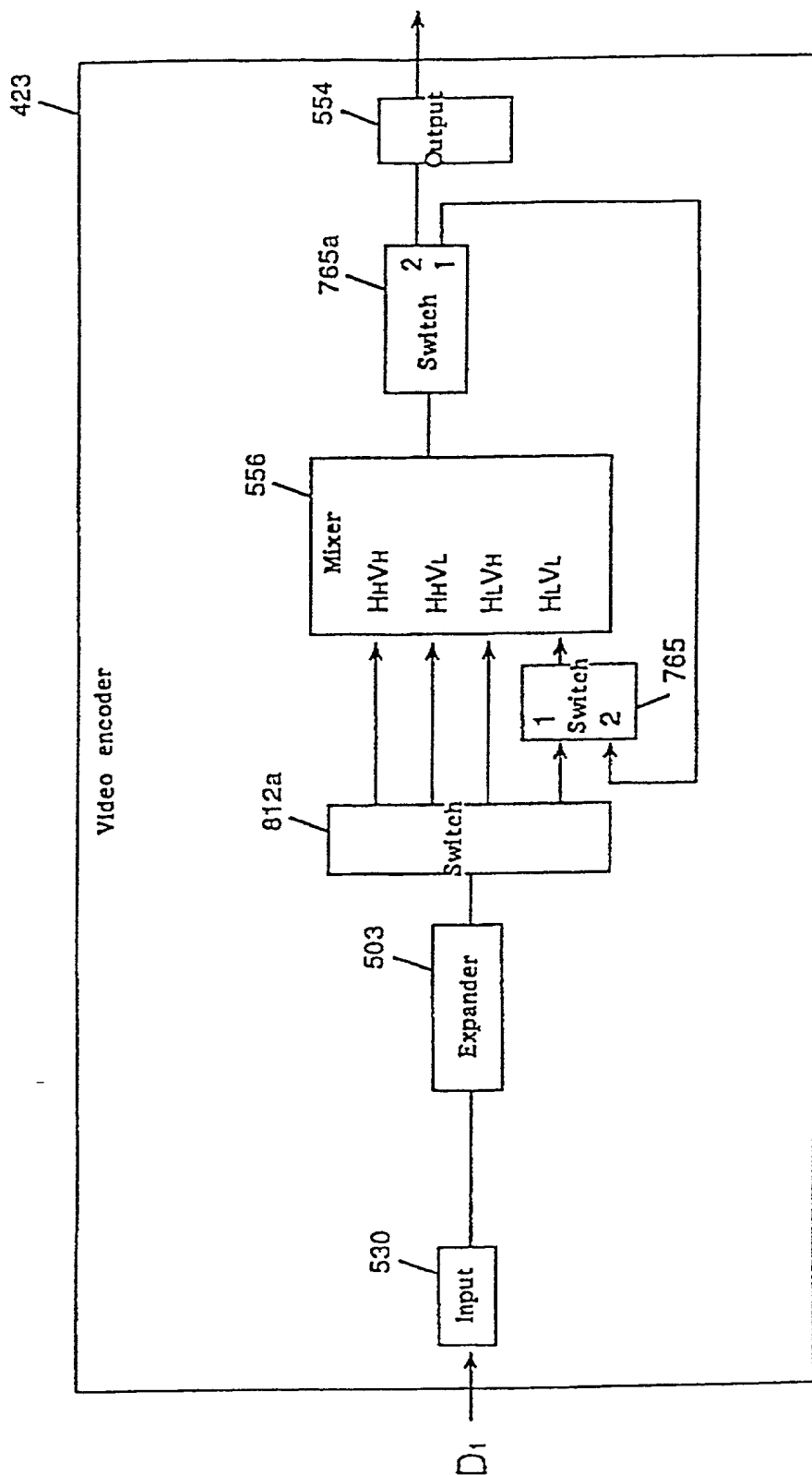


FIG. 82



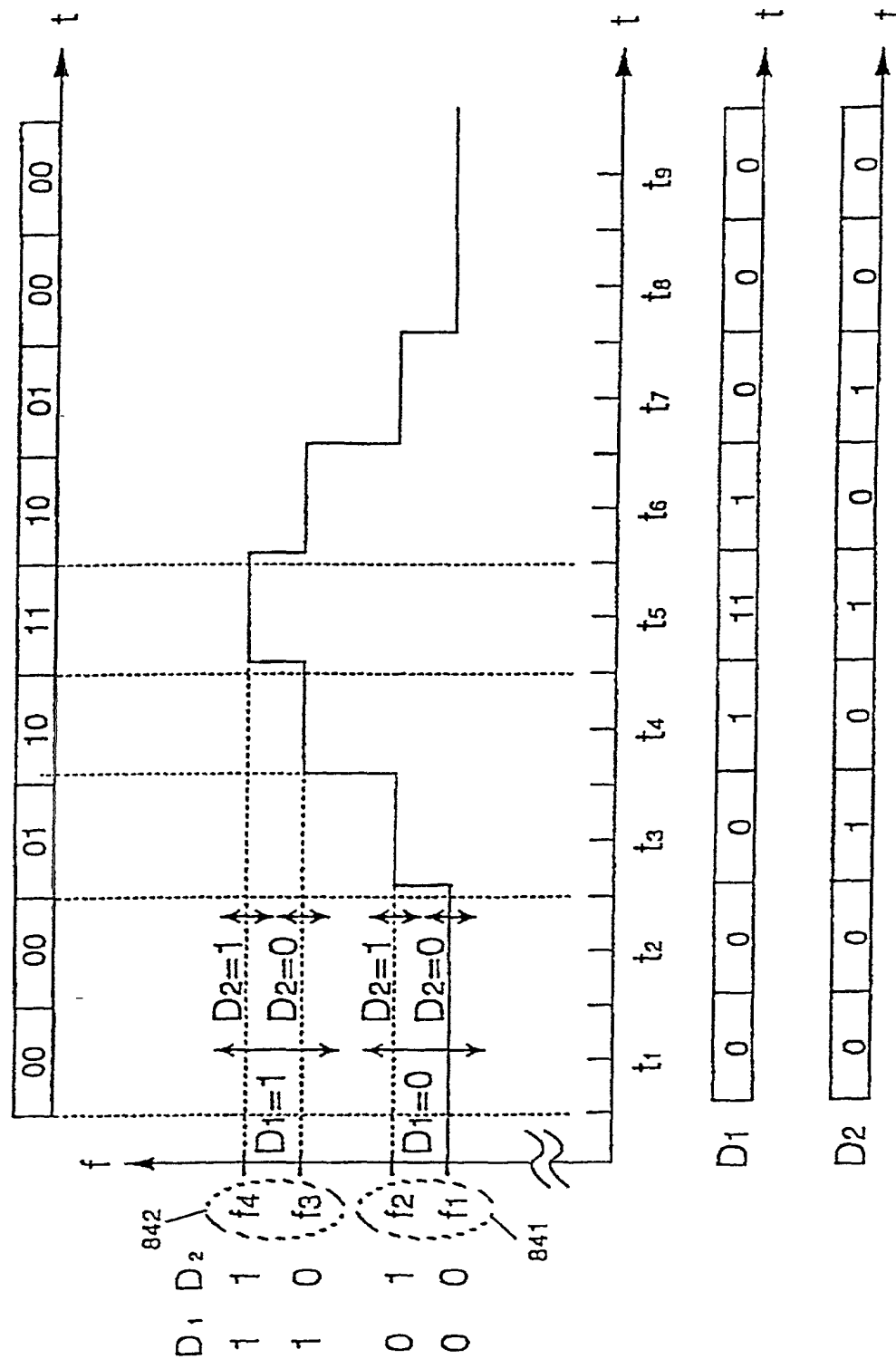


FIG. 84

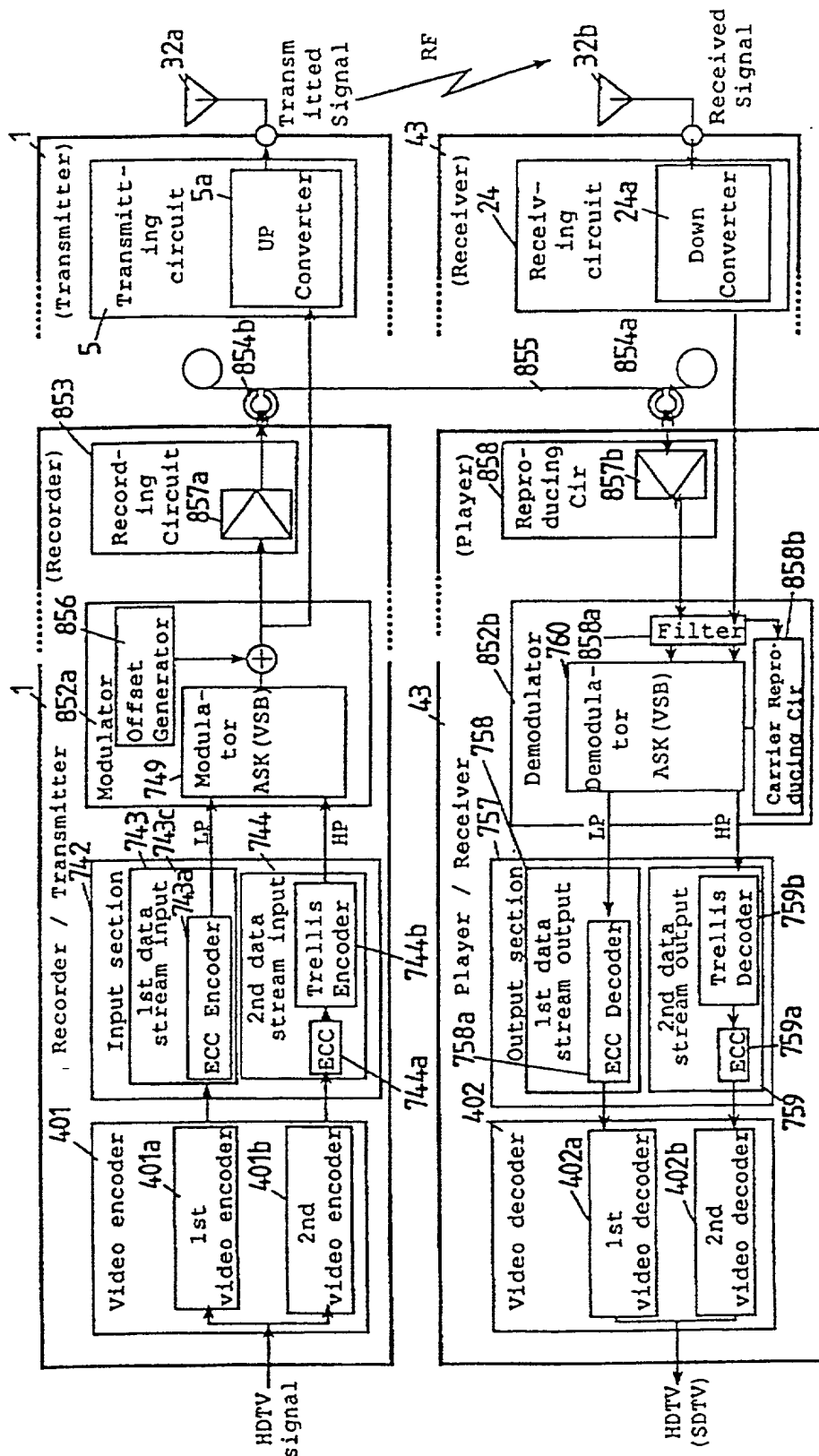
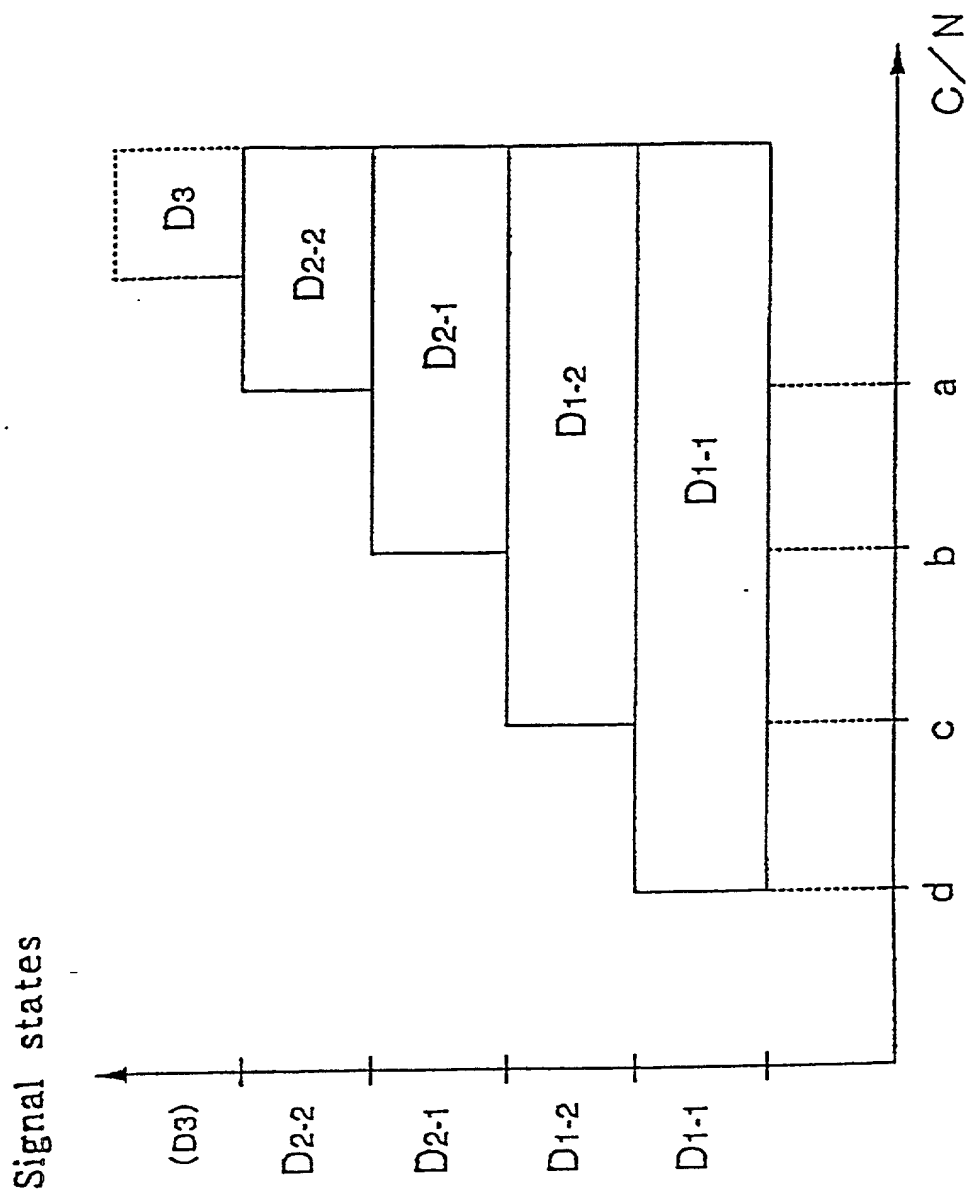


FIG. 85



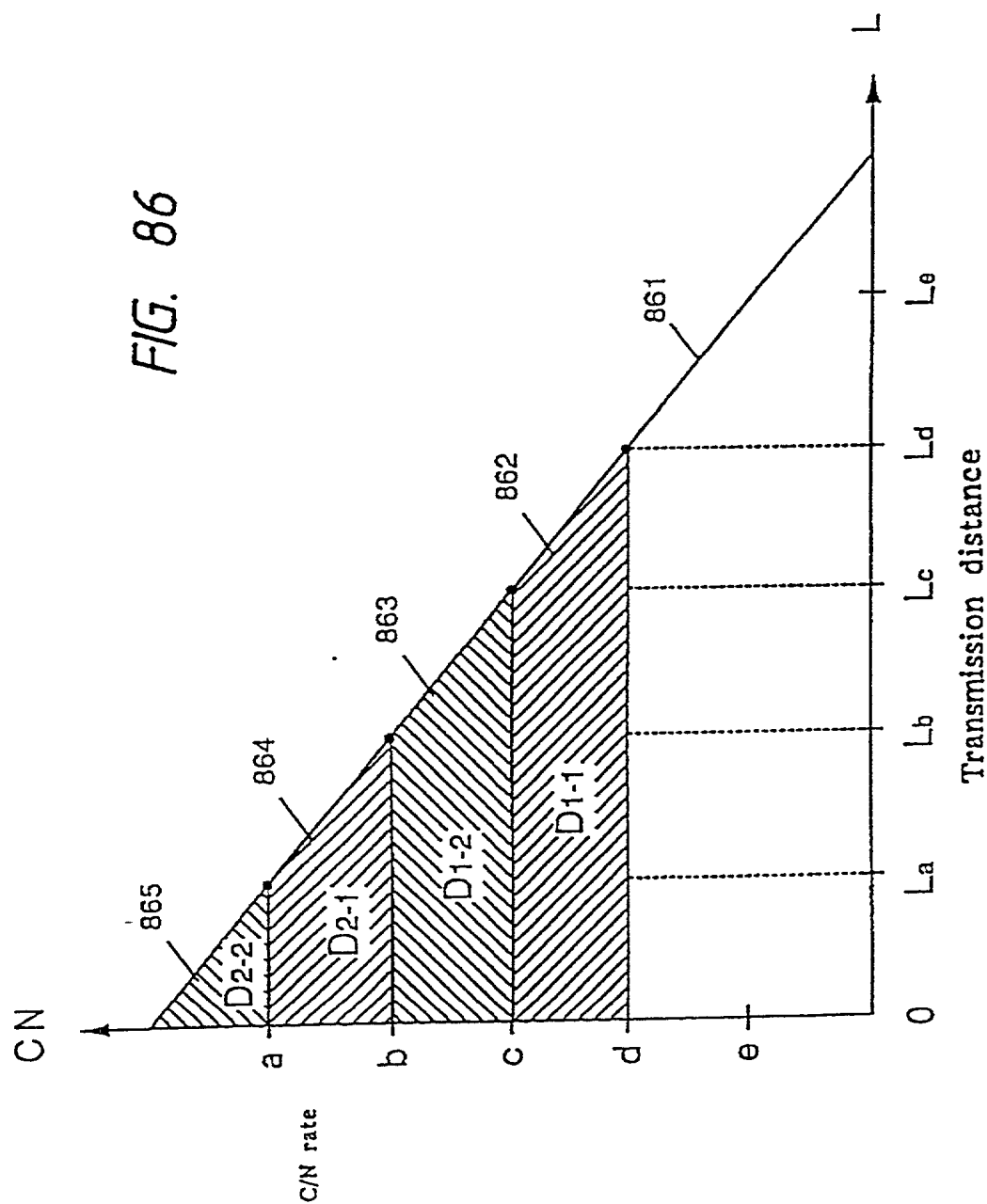


FIG. 87

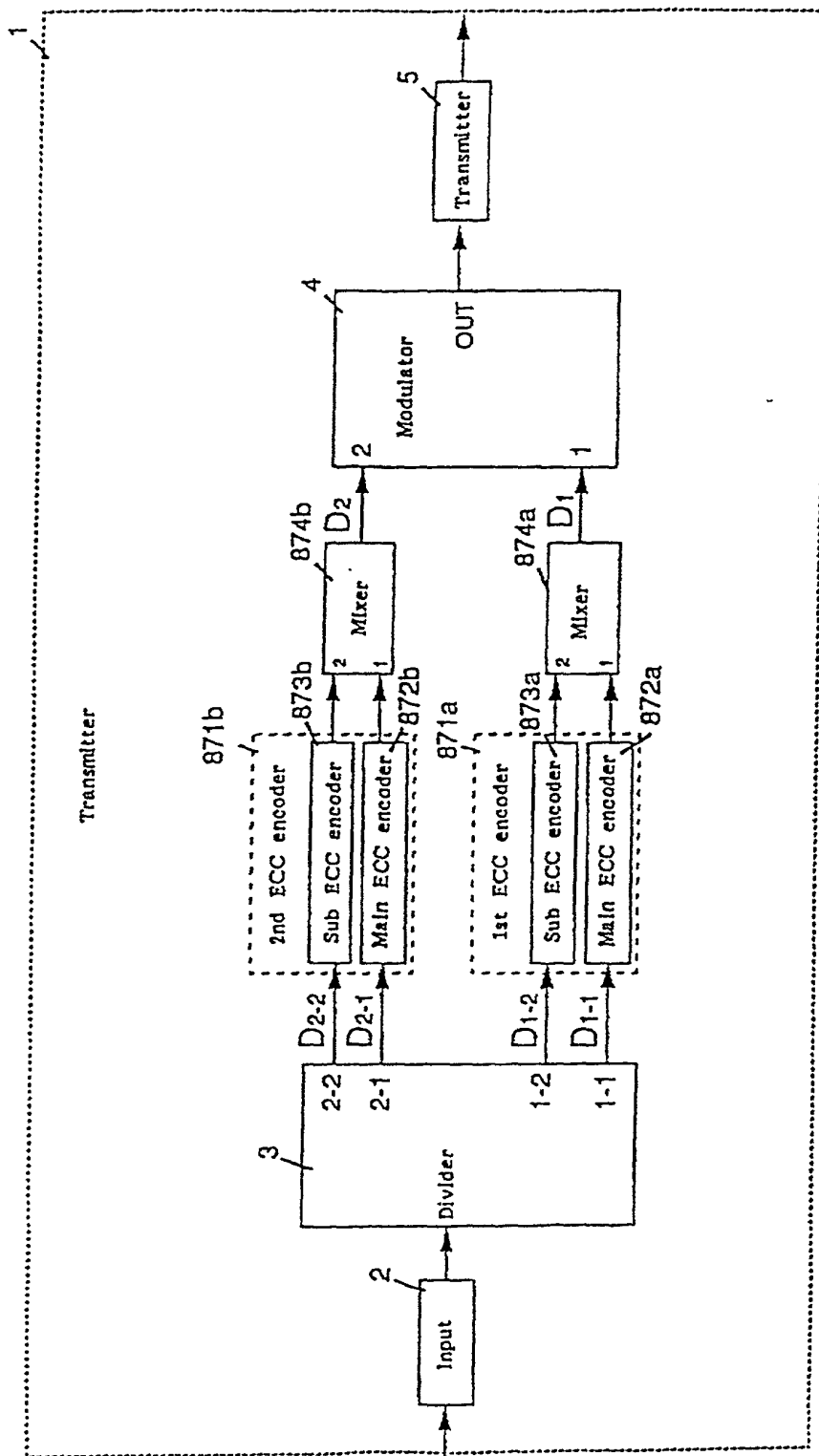
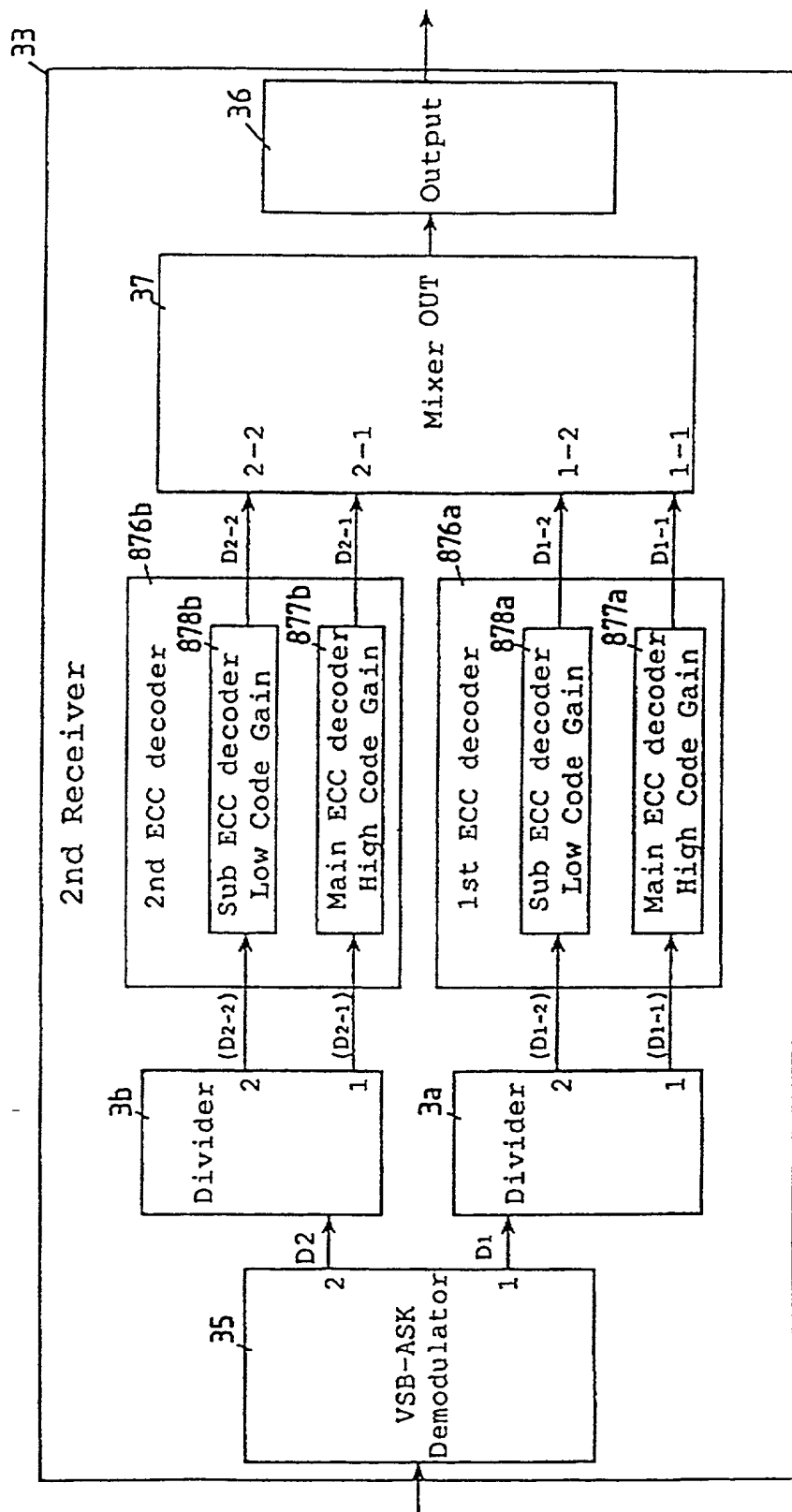


FIG. 88





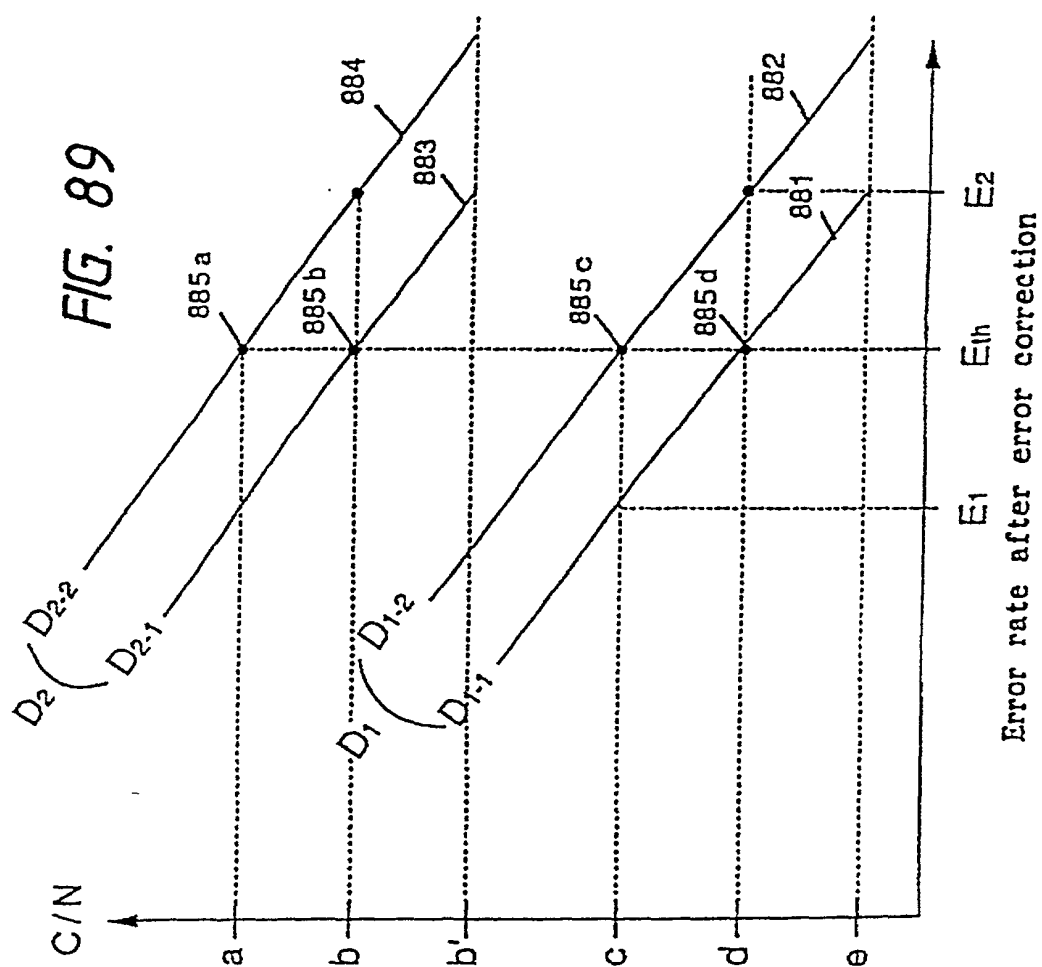


FIG. 90

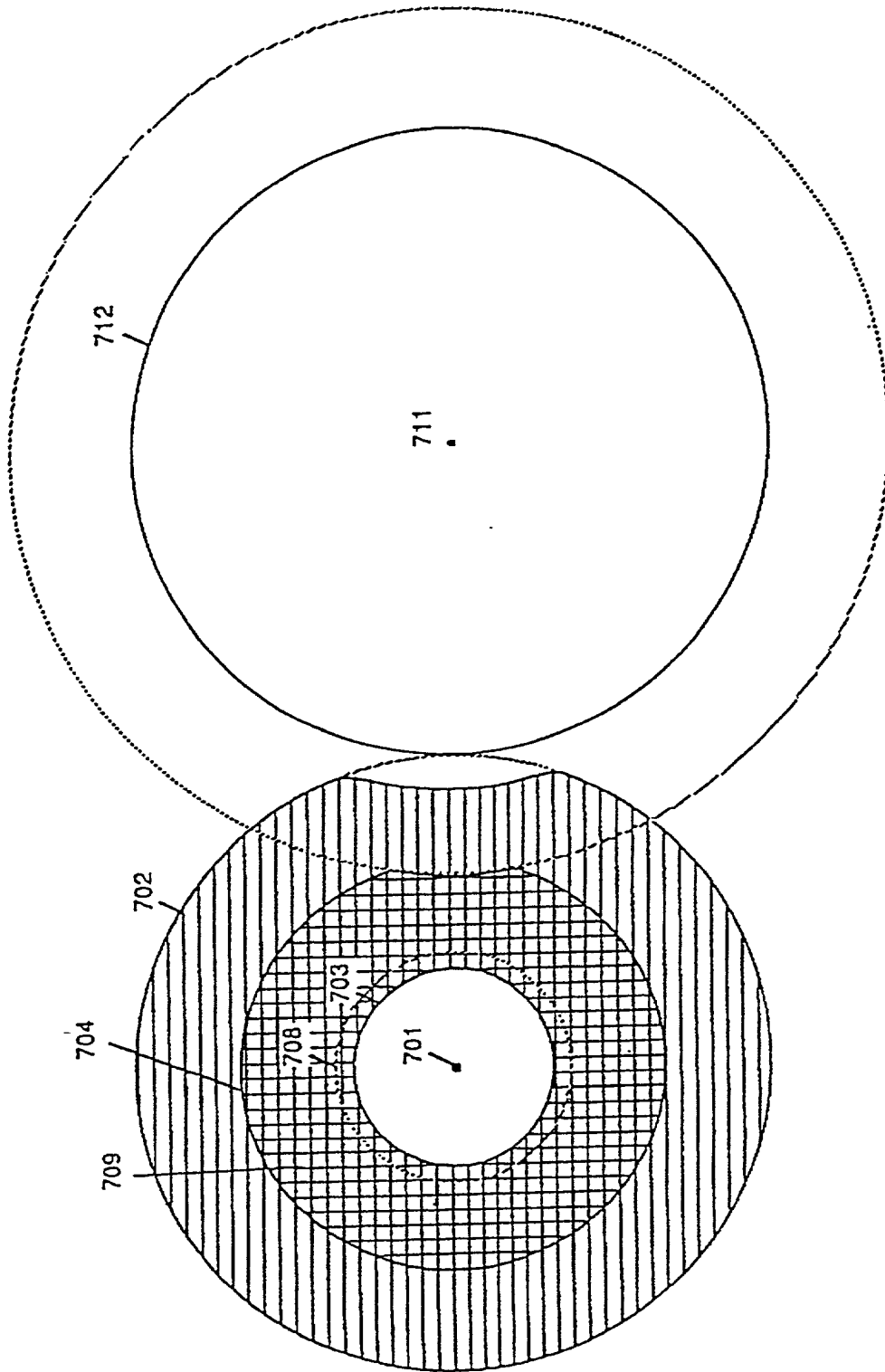
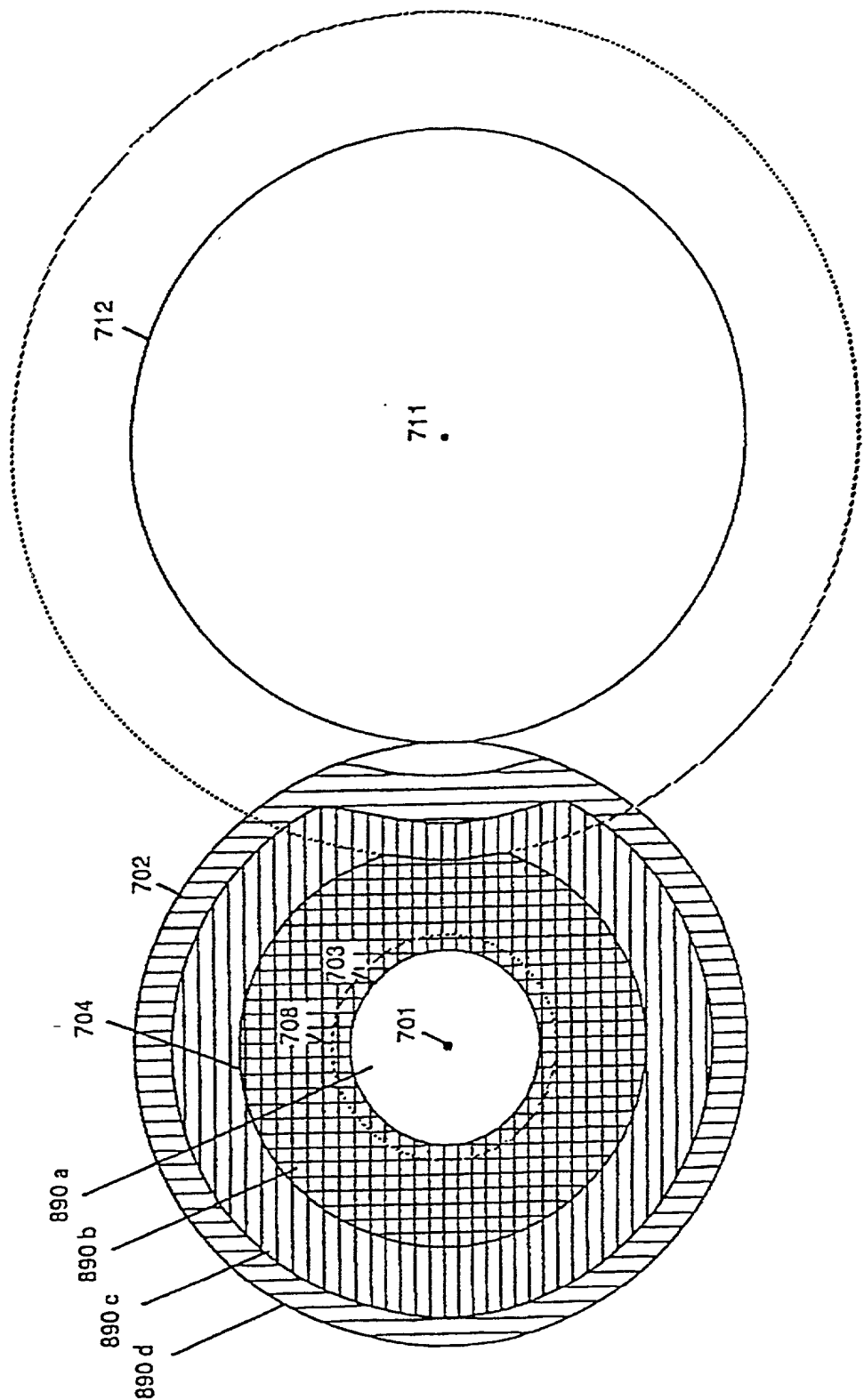


FIG. 91



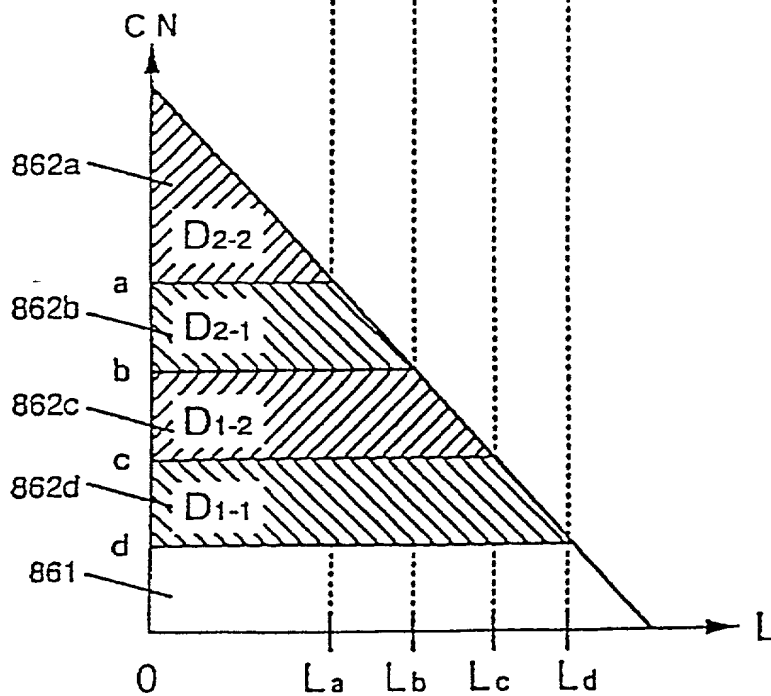
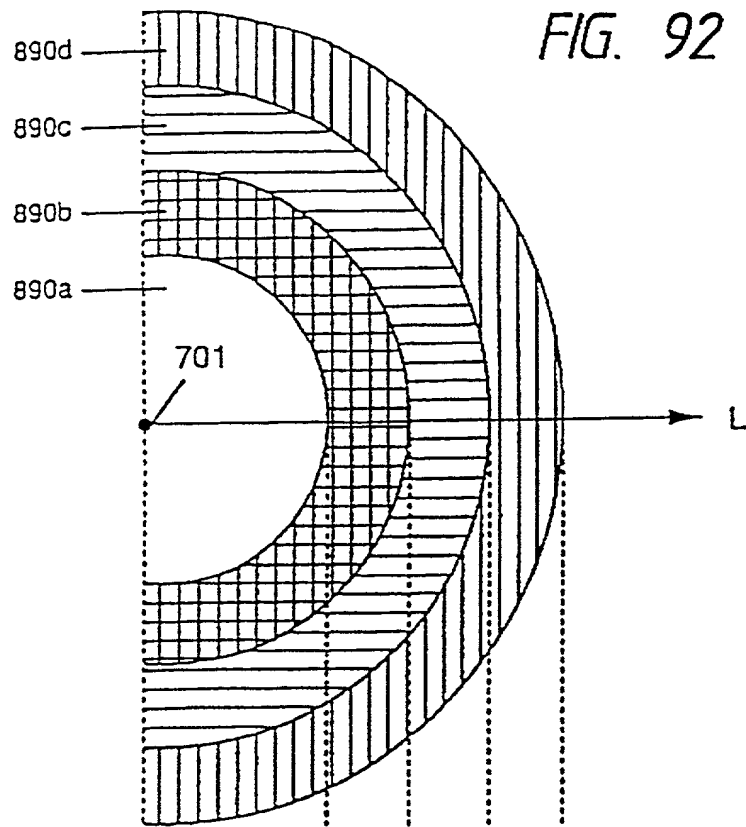


FIG. 93

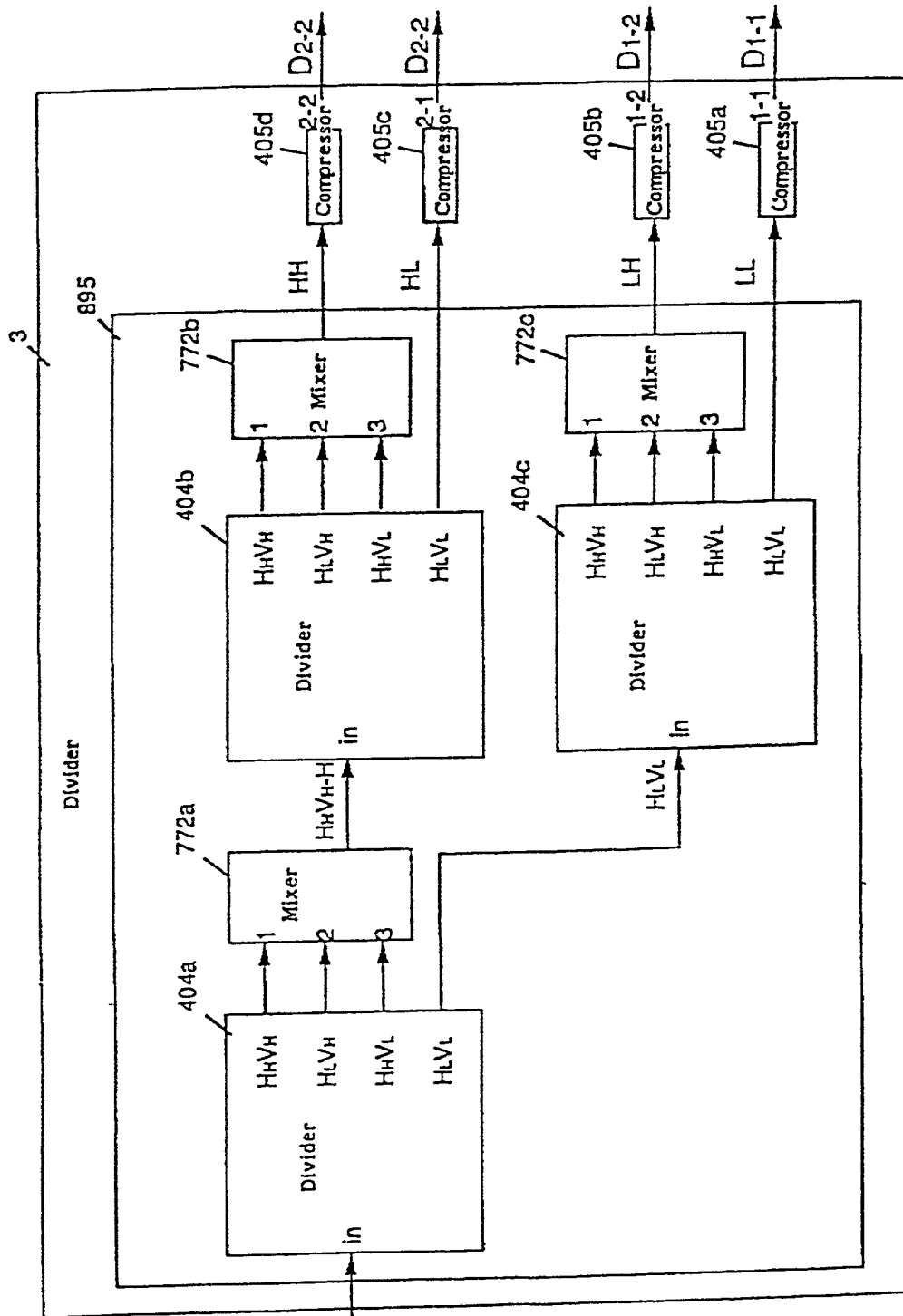
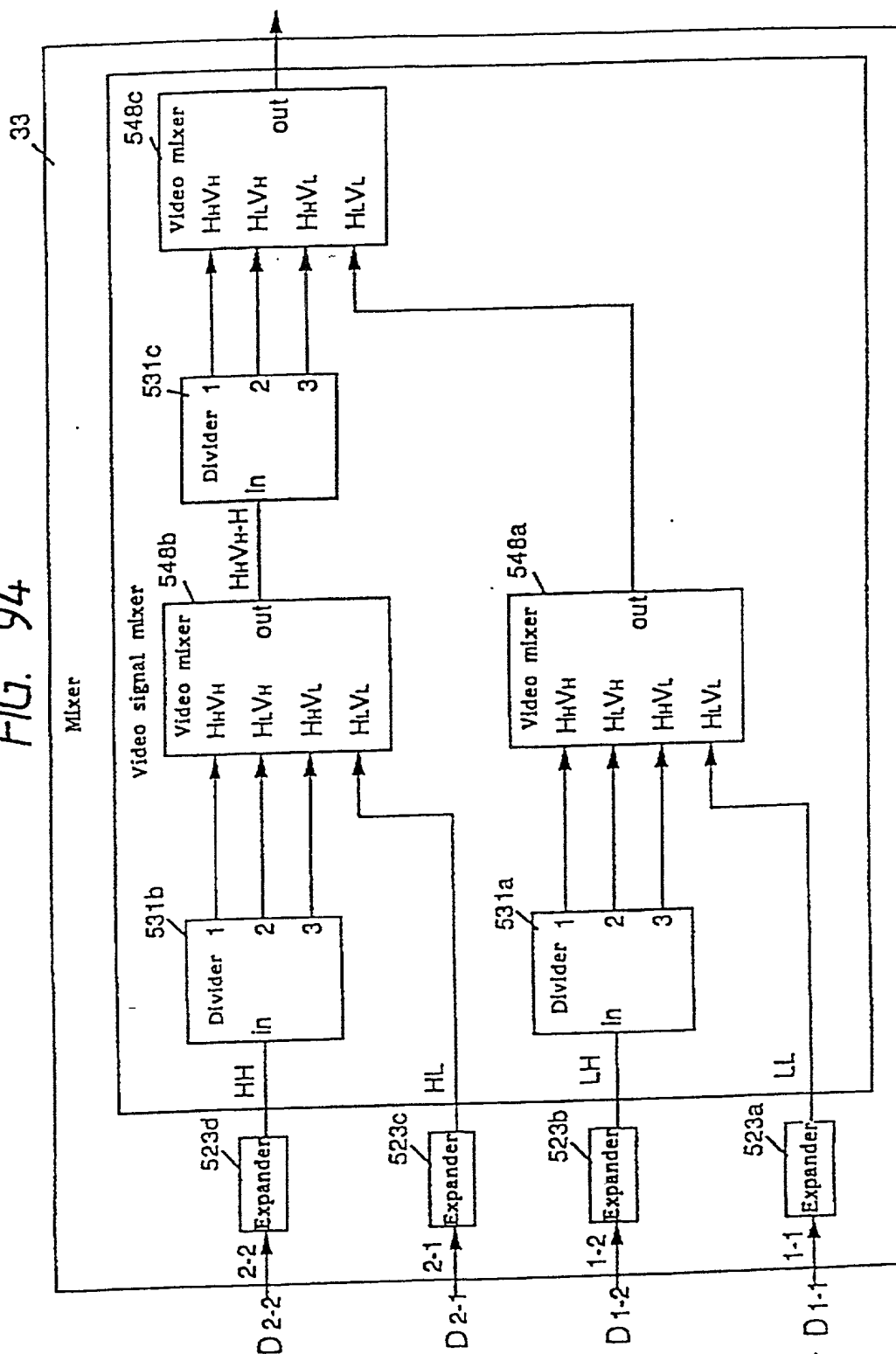
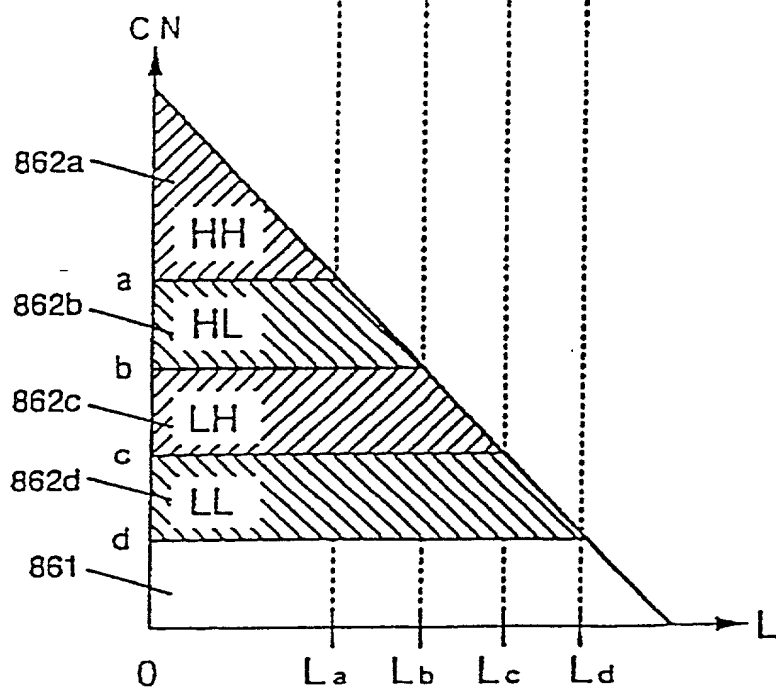
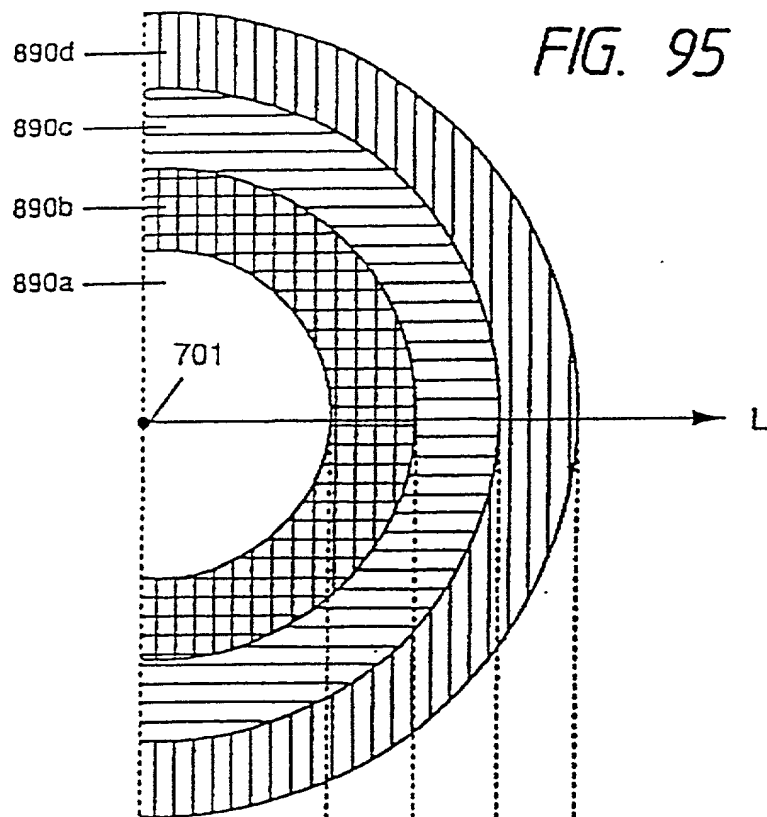


FIG. 94





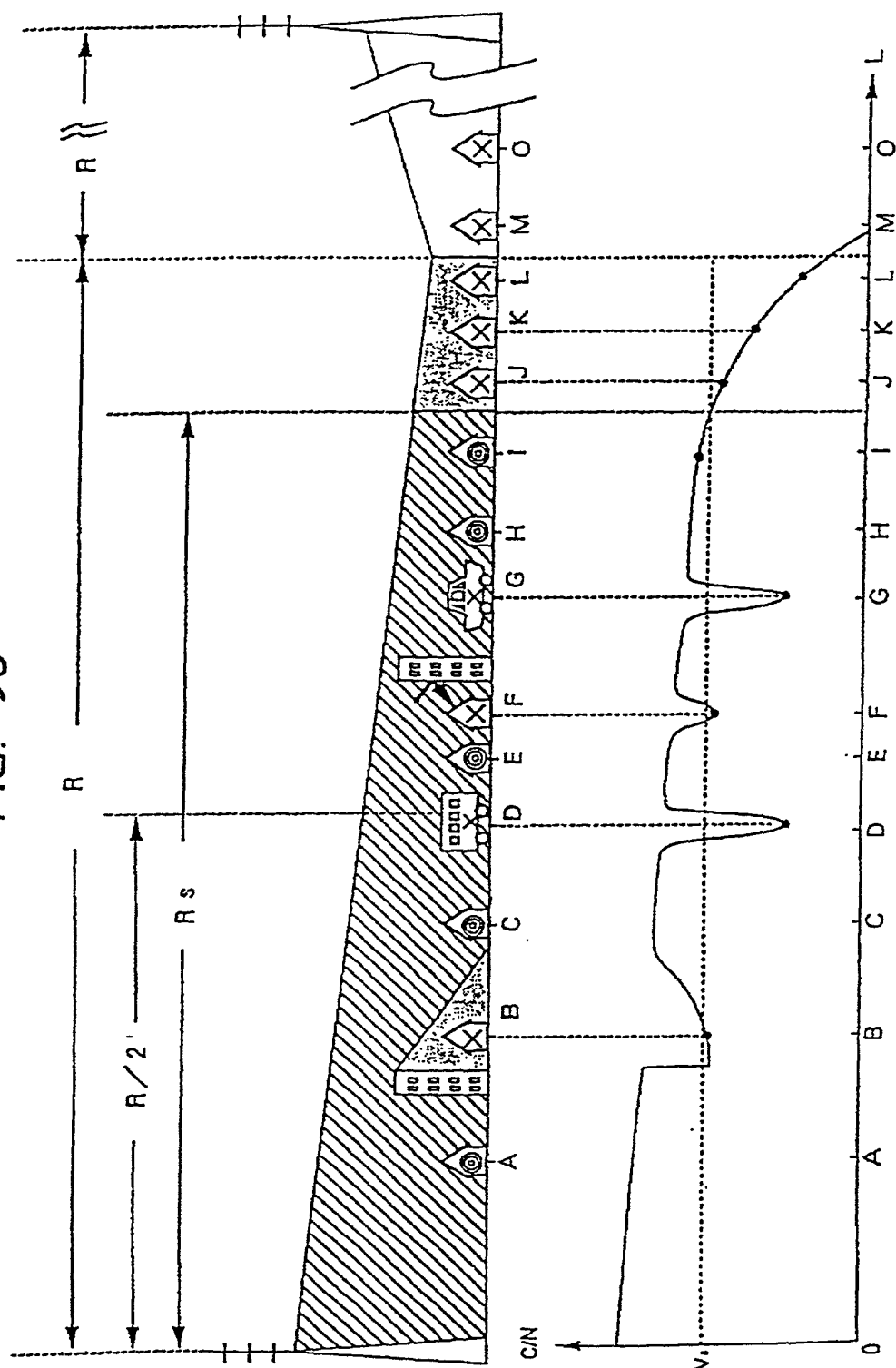
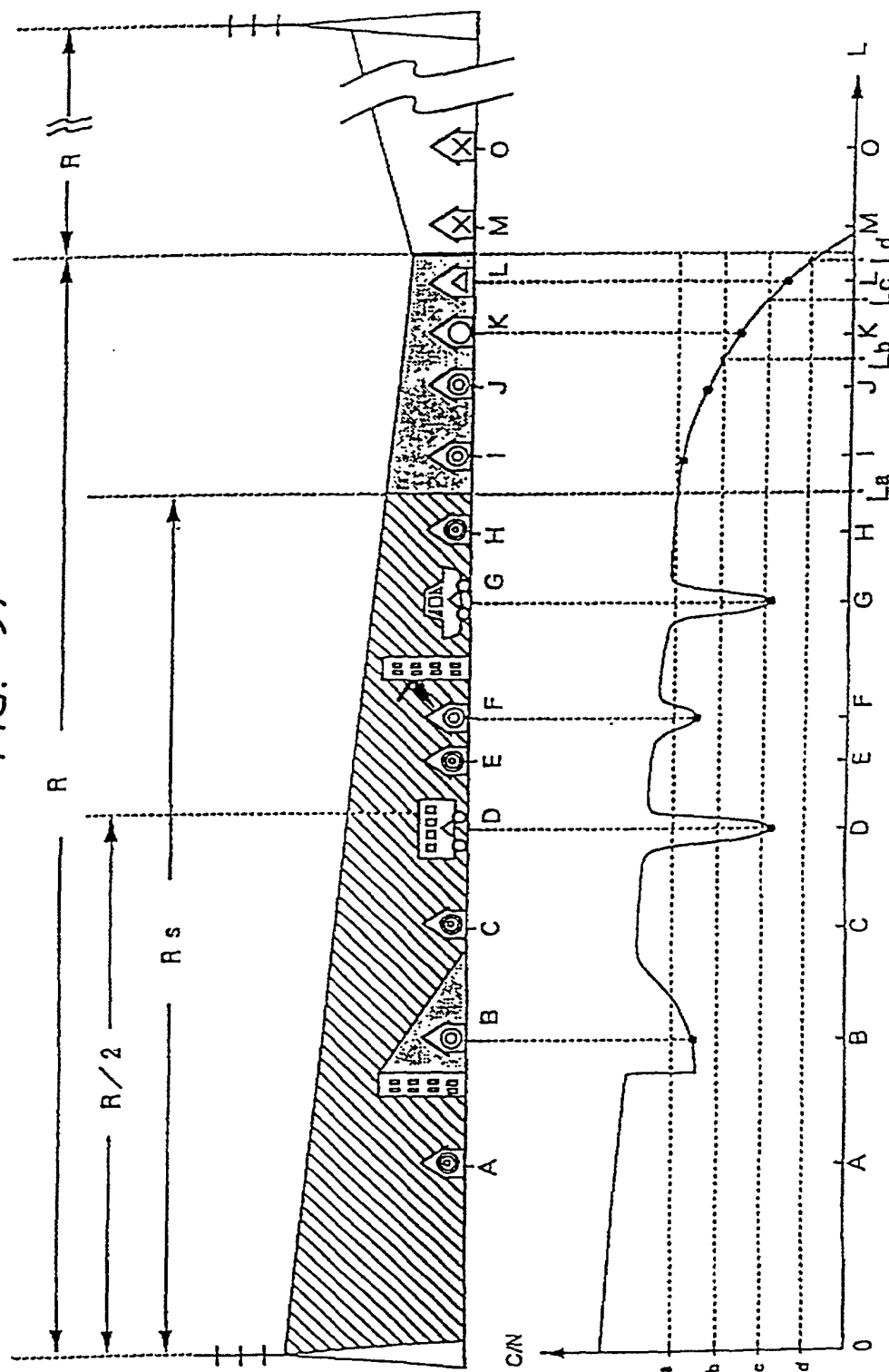
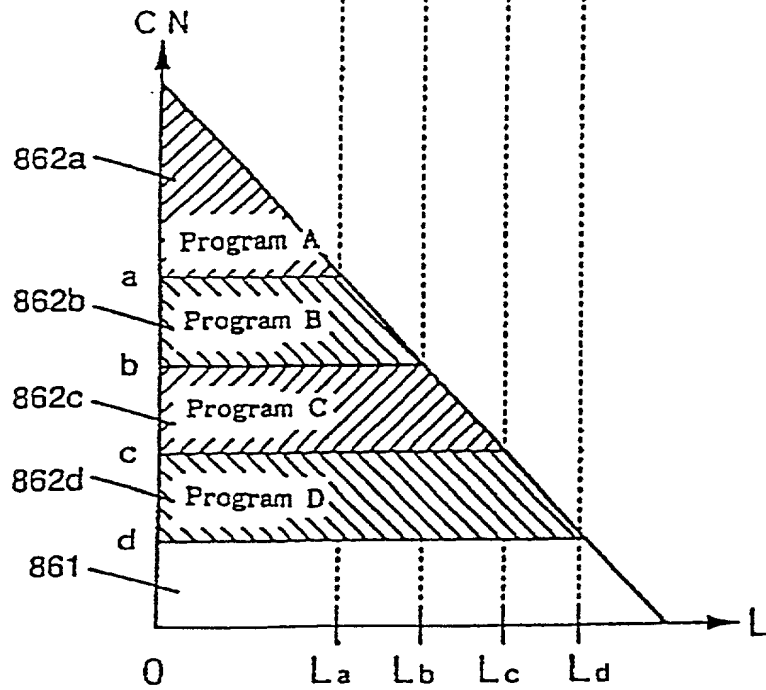
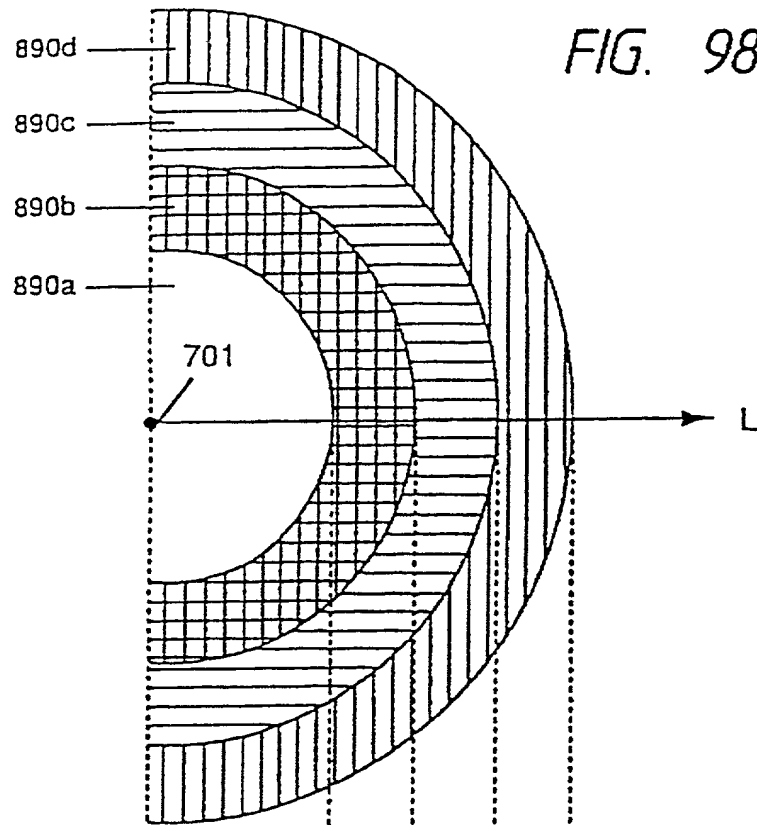




FIG. 97





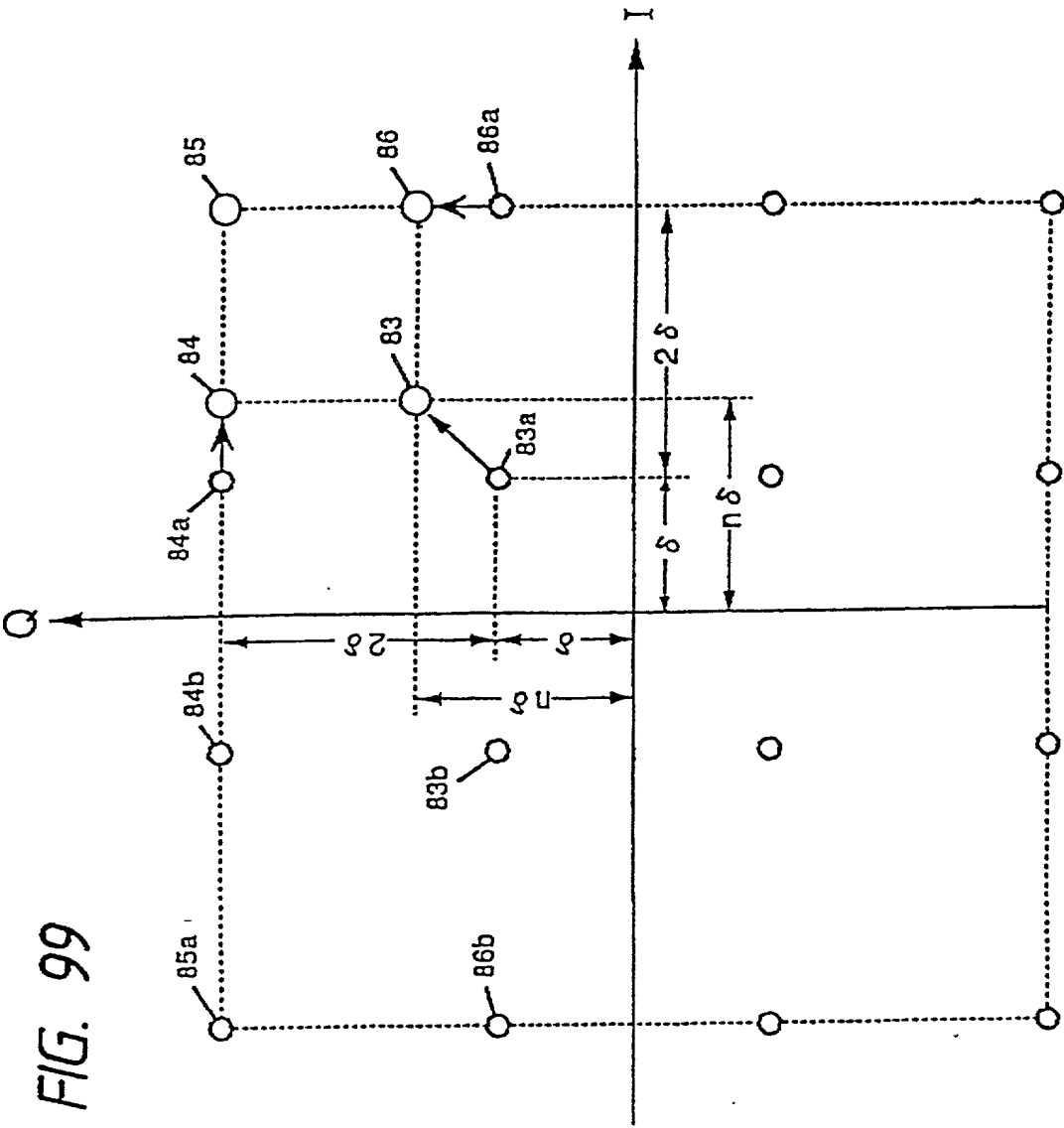


FIG. 100

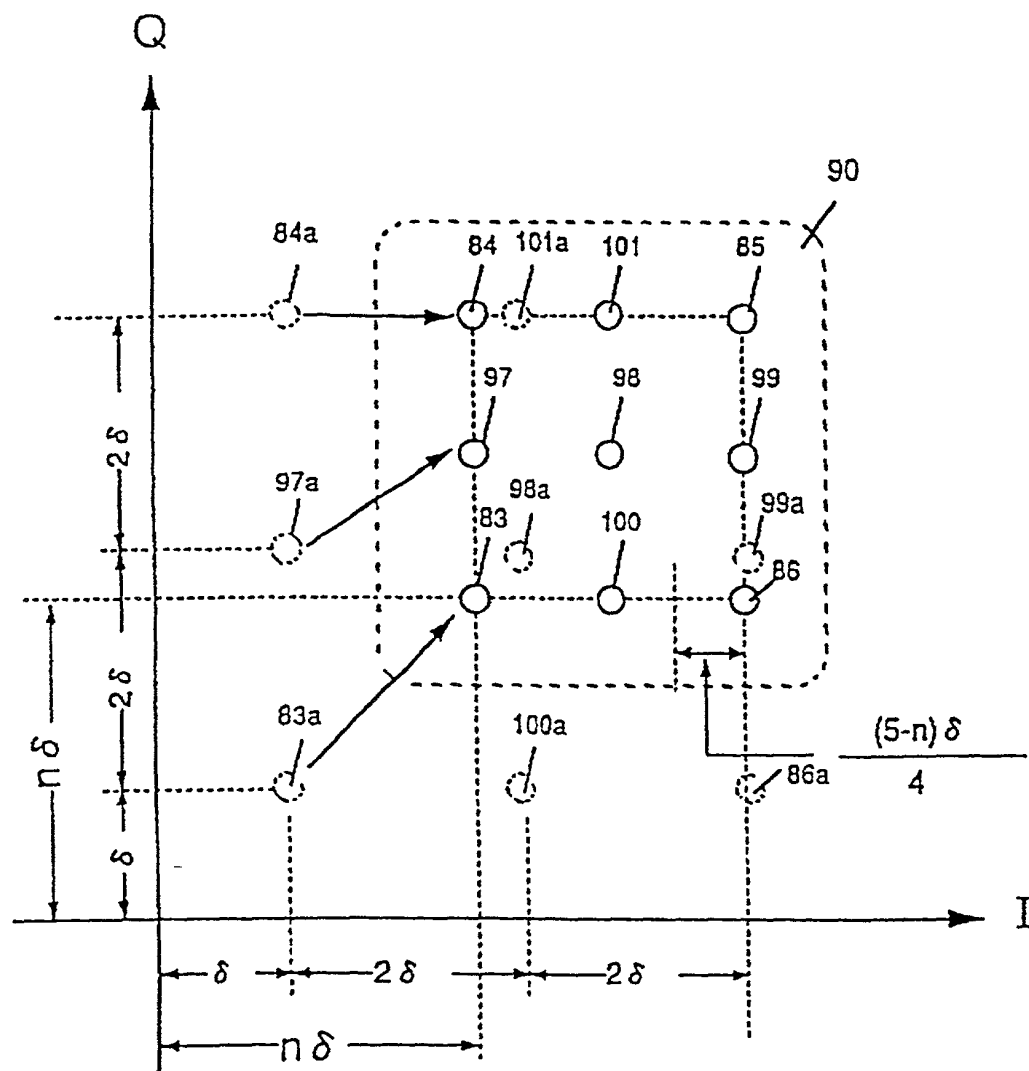


FIG. 101

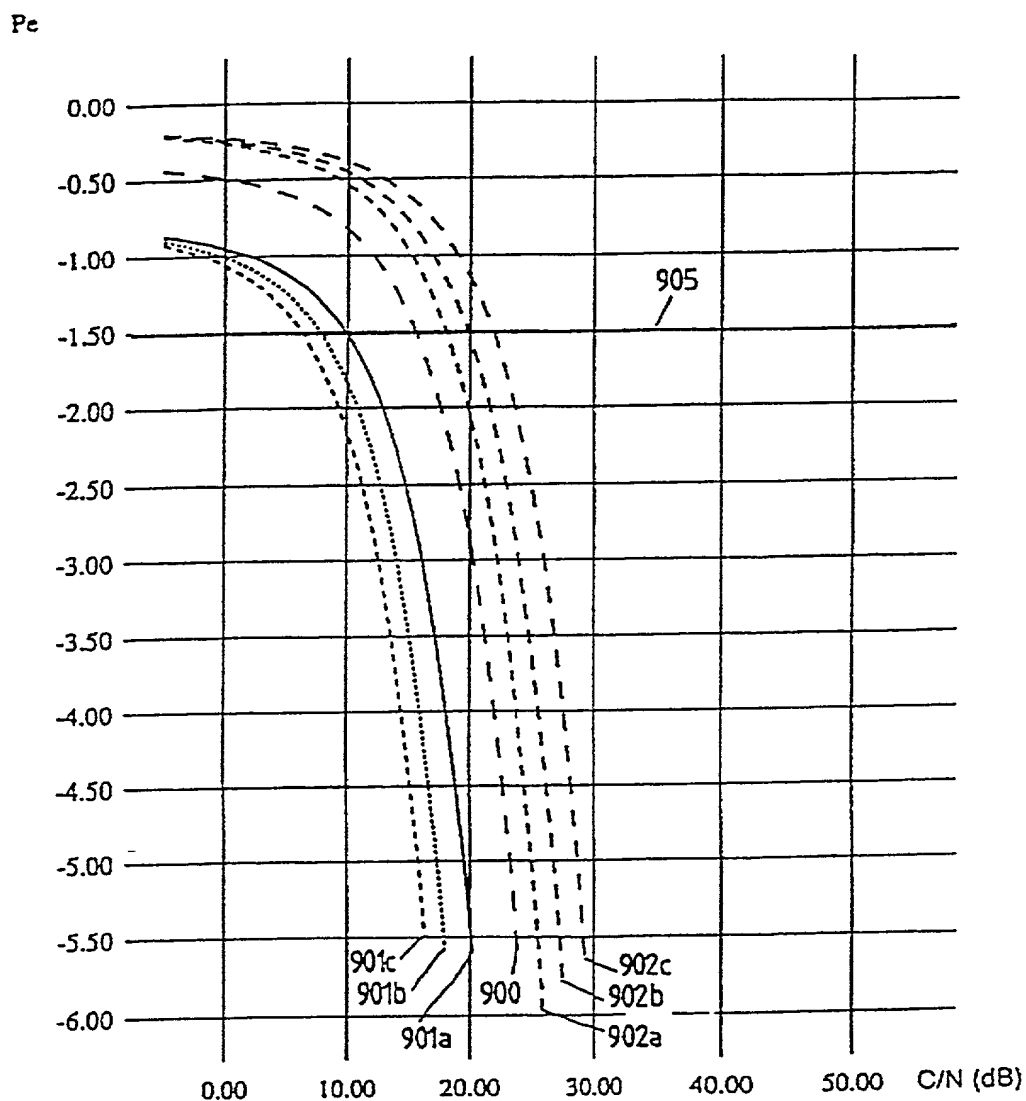


FIG. 102

Pc

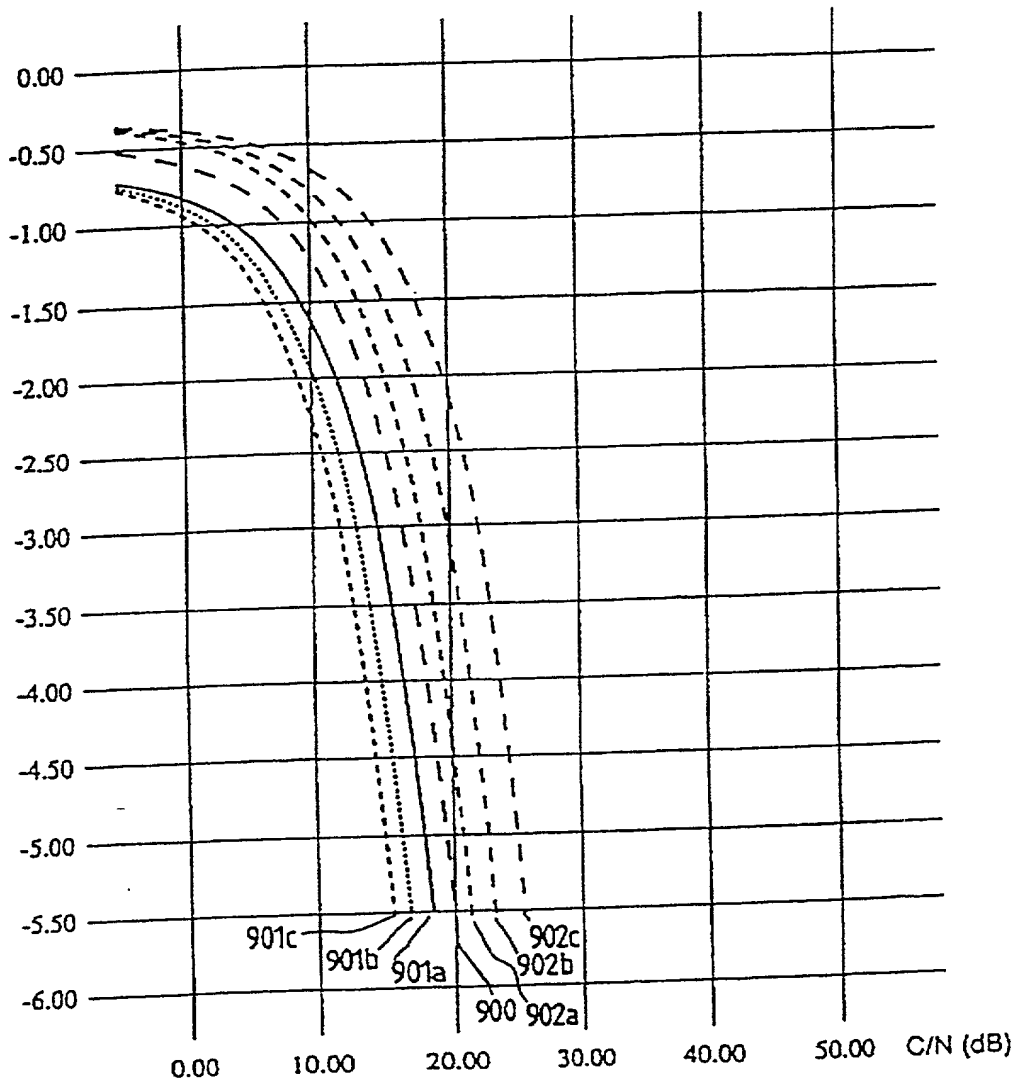


FIG. 103

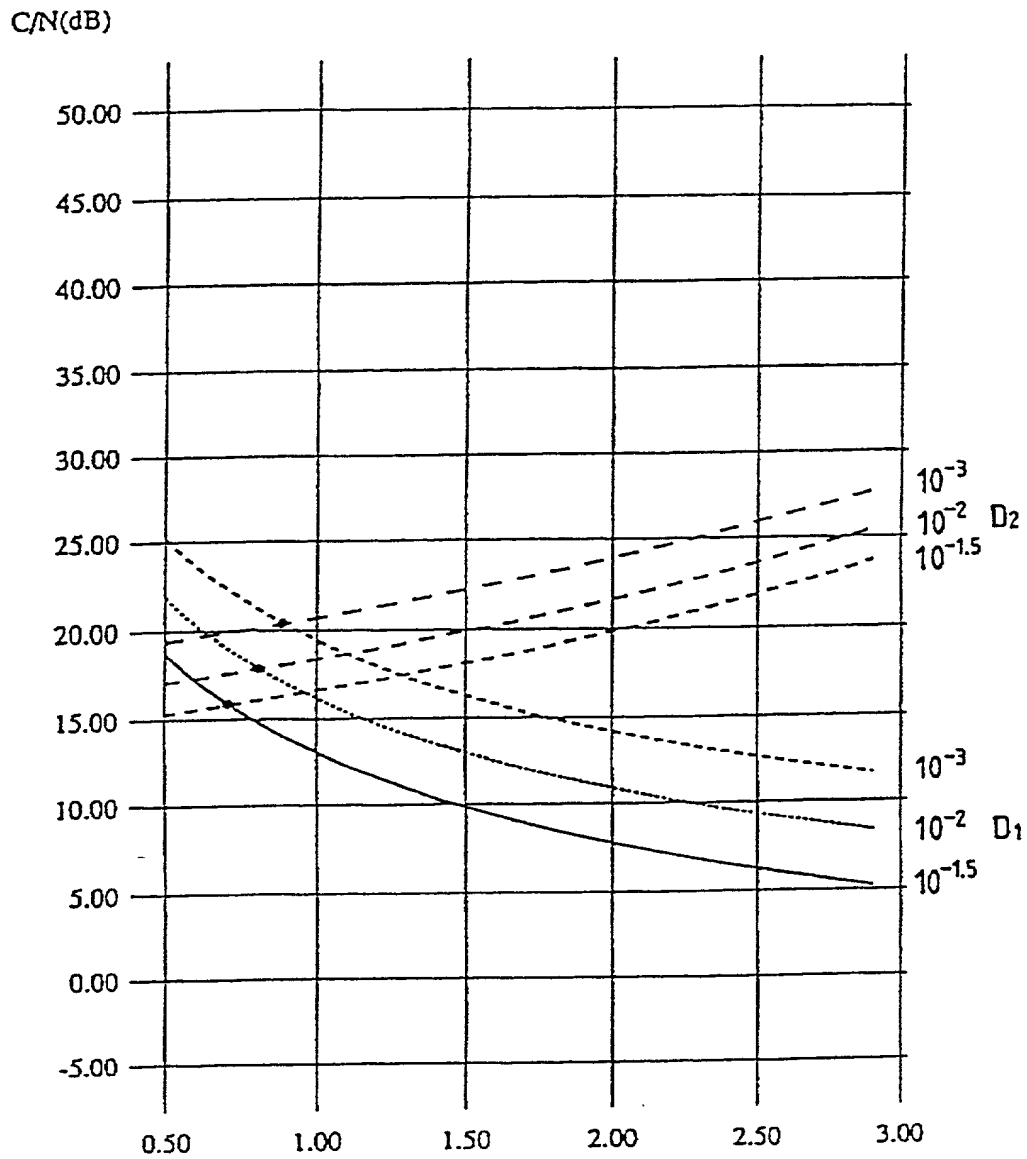


FIG. 104

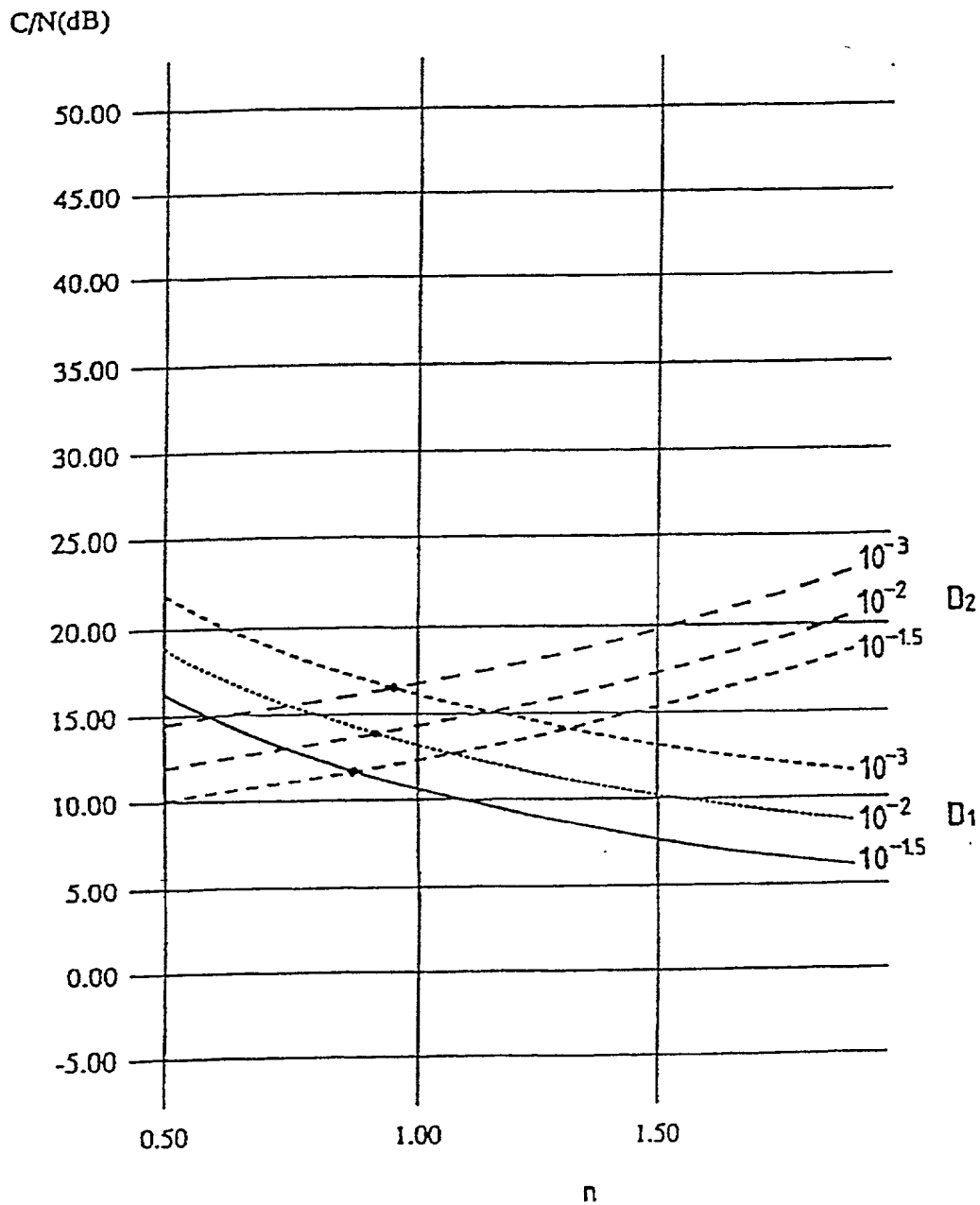




FIG. 105

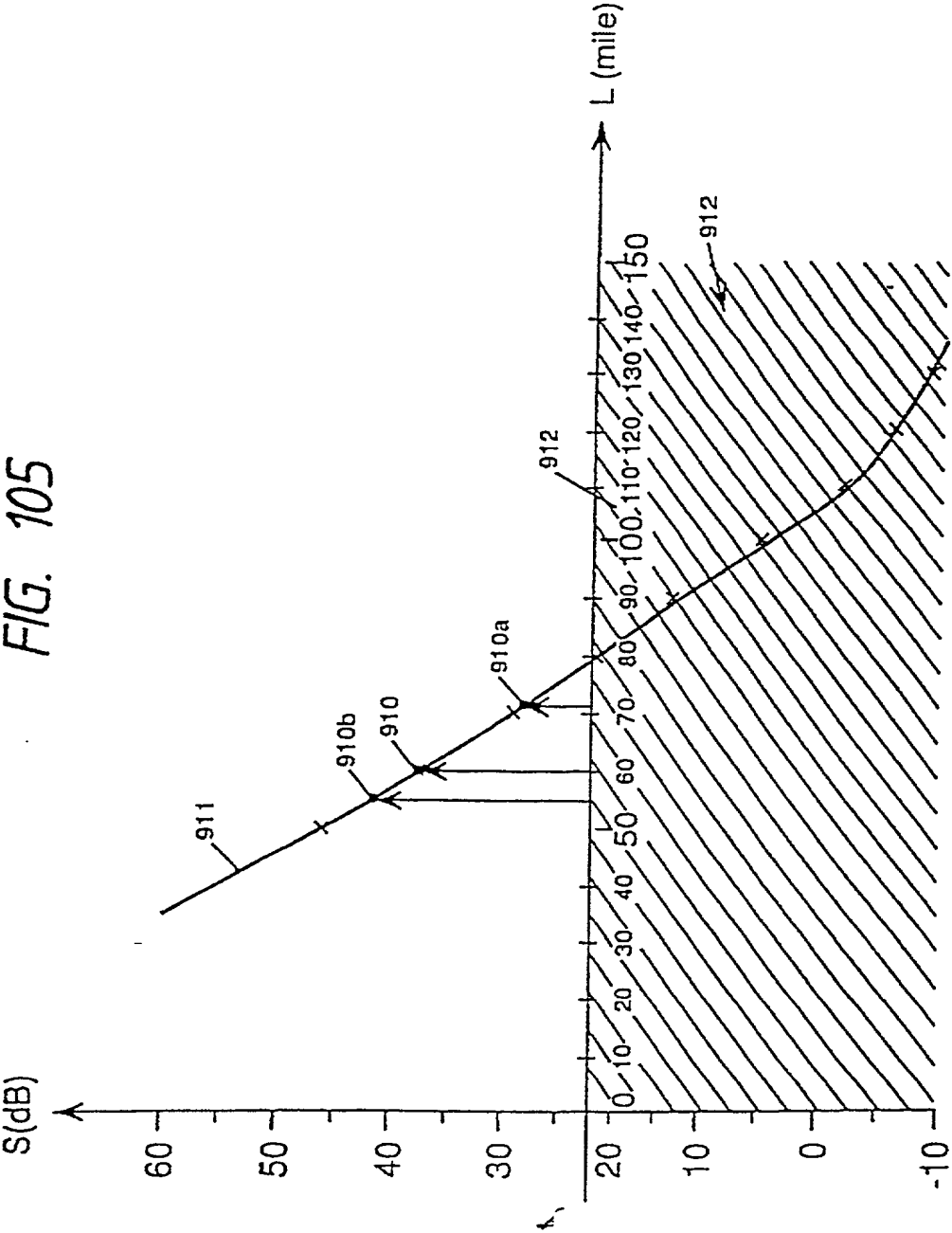


FIG. 106

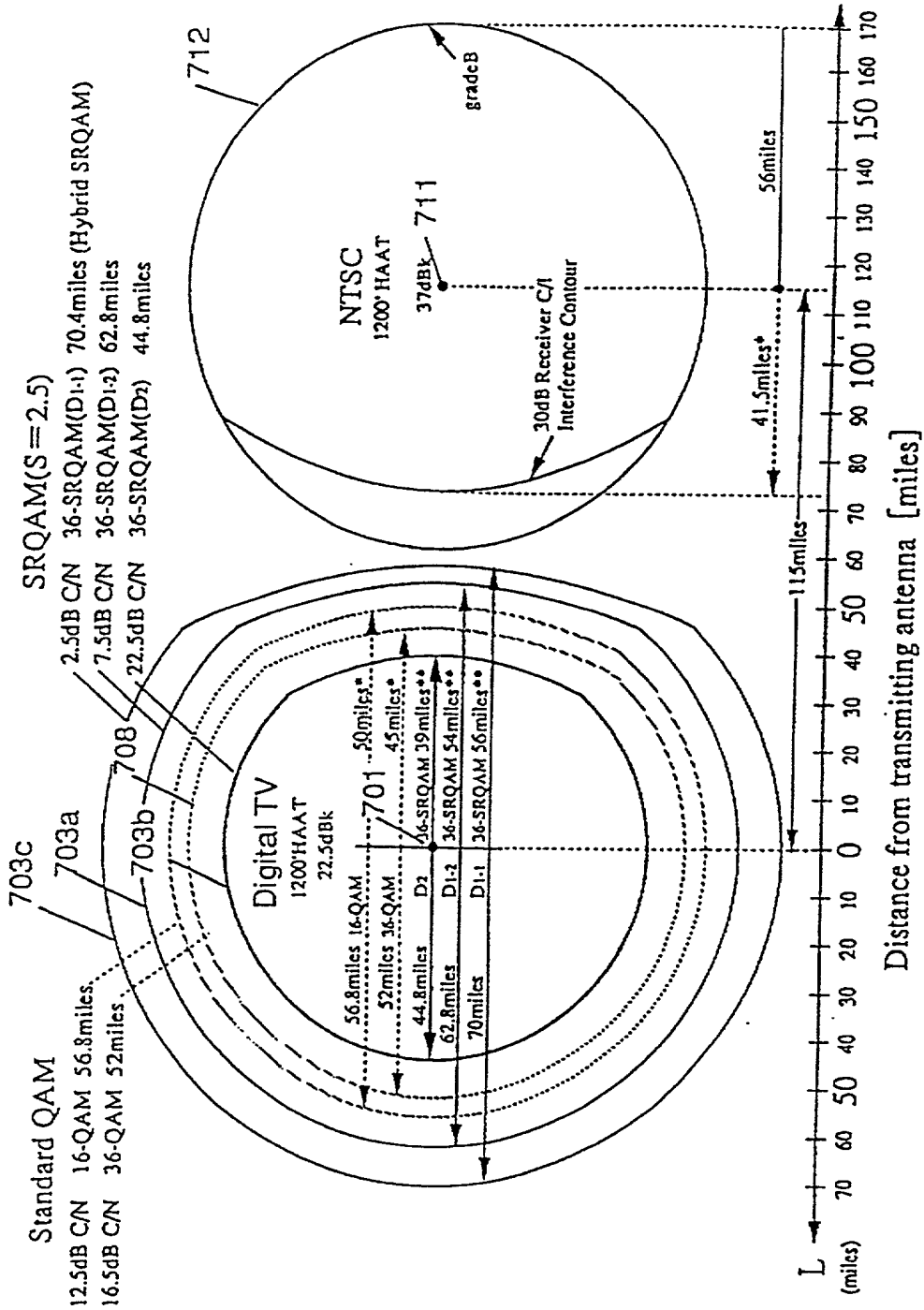


FIG. 107

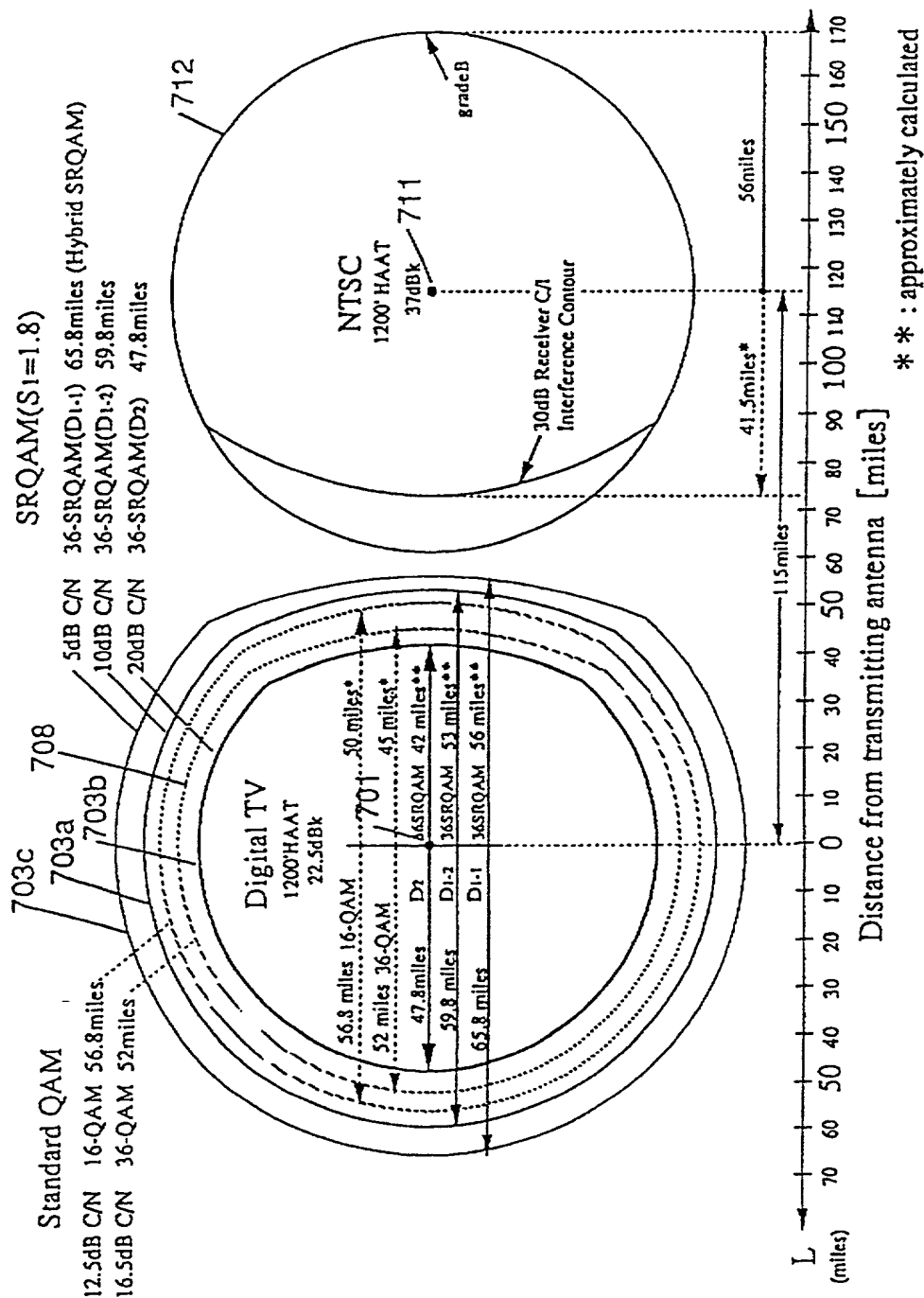


FIG. 108(a)

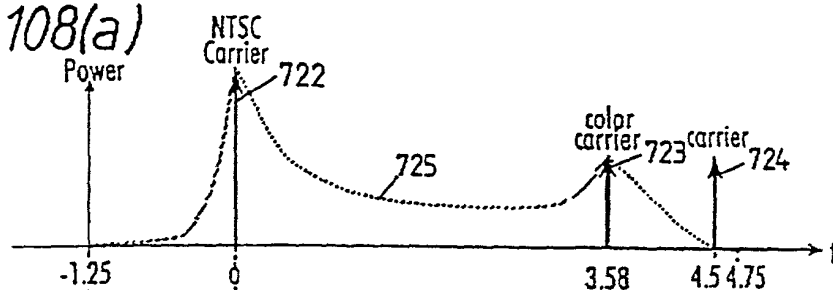


FIG. 108(b)

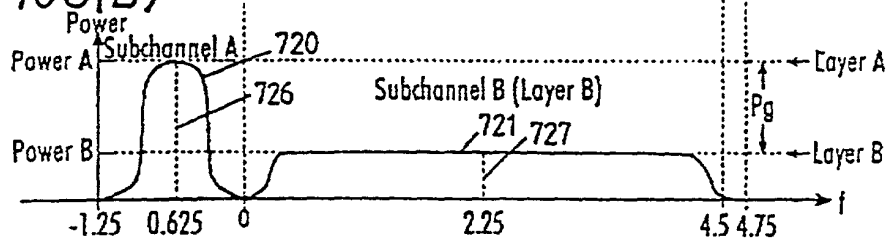


FIG. 108(c)

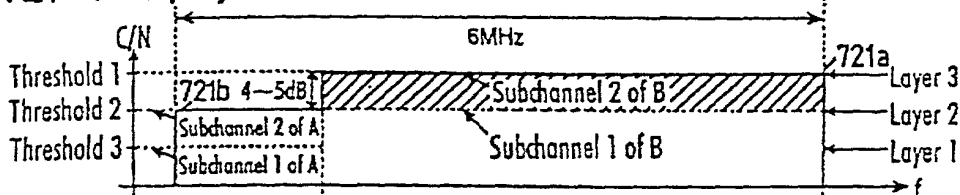


FIG. 108(d)

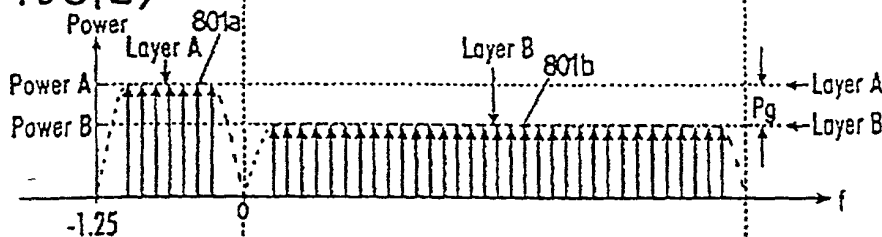


FIG. 108(e)

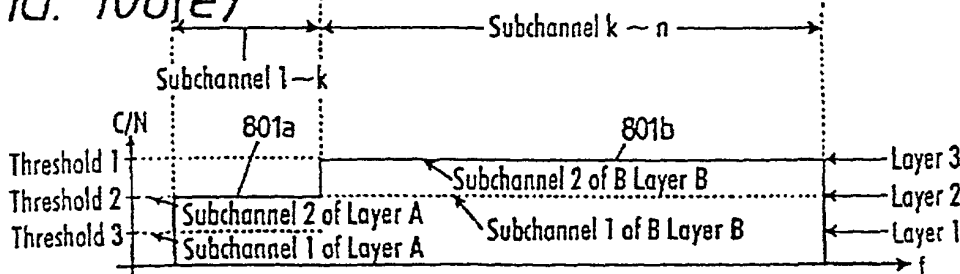


FIG. 109

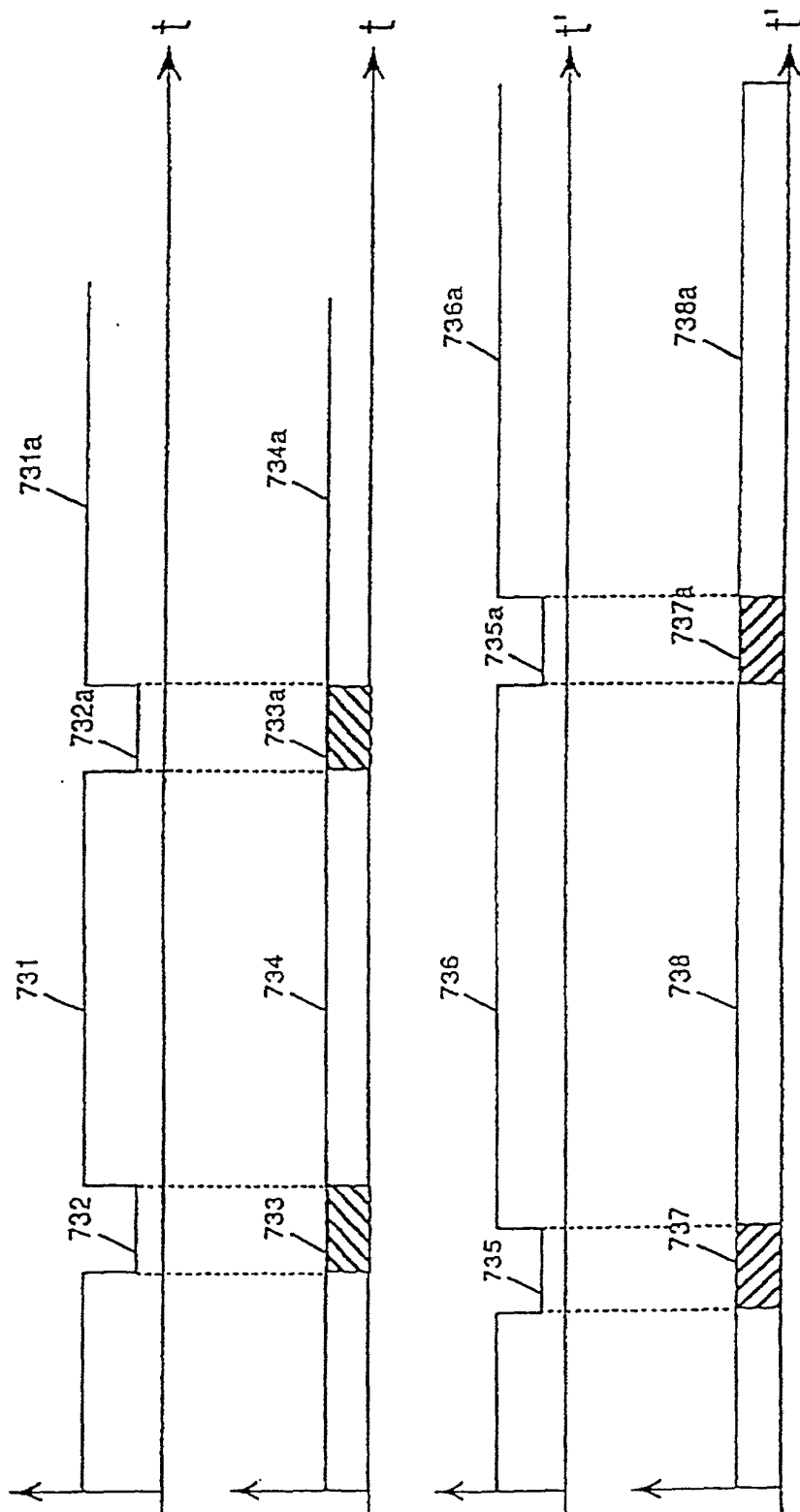
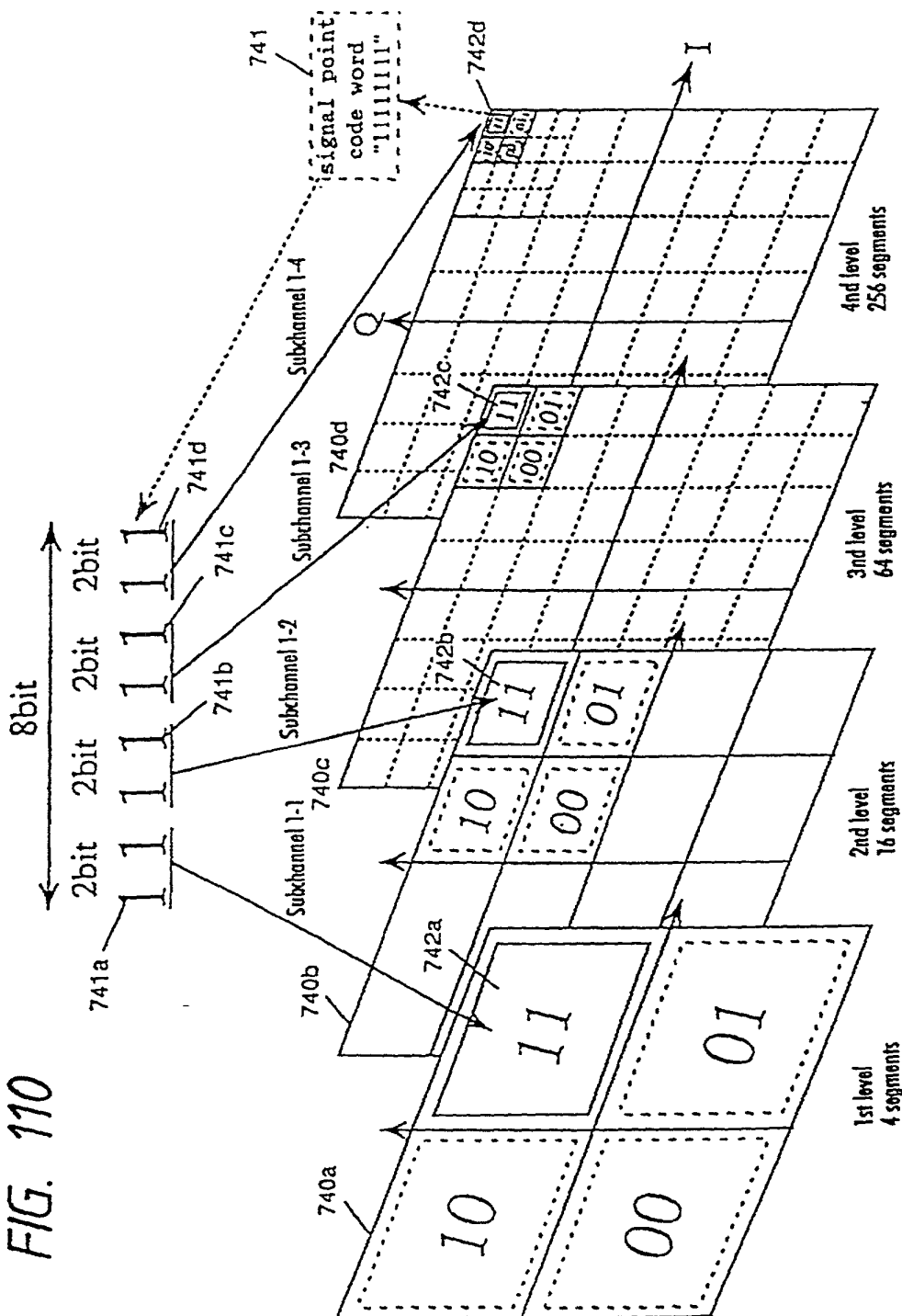
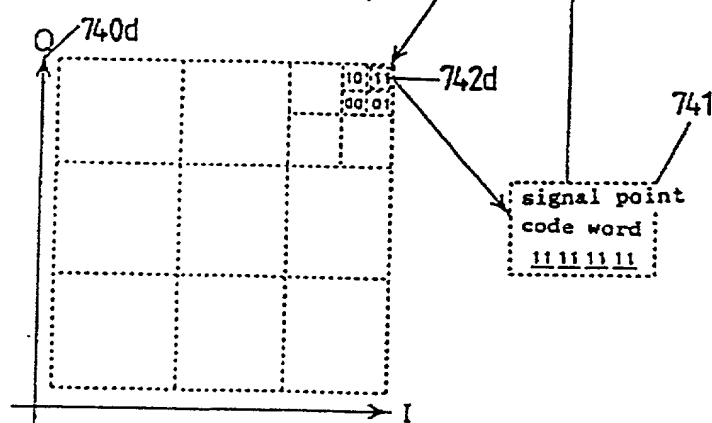
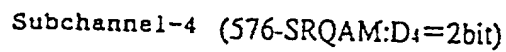
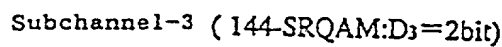
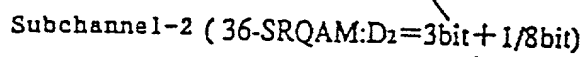


FIG. 110



Subchannel-1 (SRQAM:DI=2bit)



Subchannel-1 (SRQAM:  $D_1=2\text{bit}$ )

FIG. 112

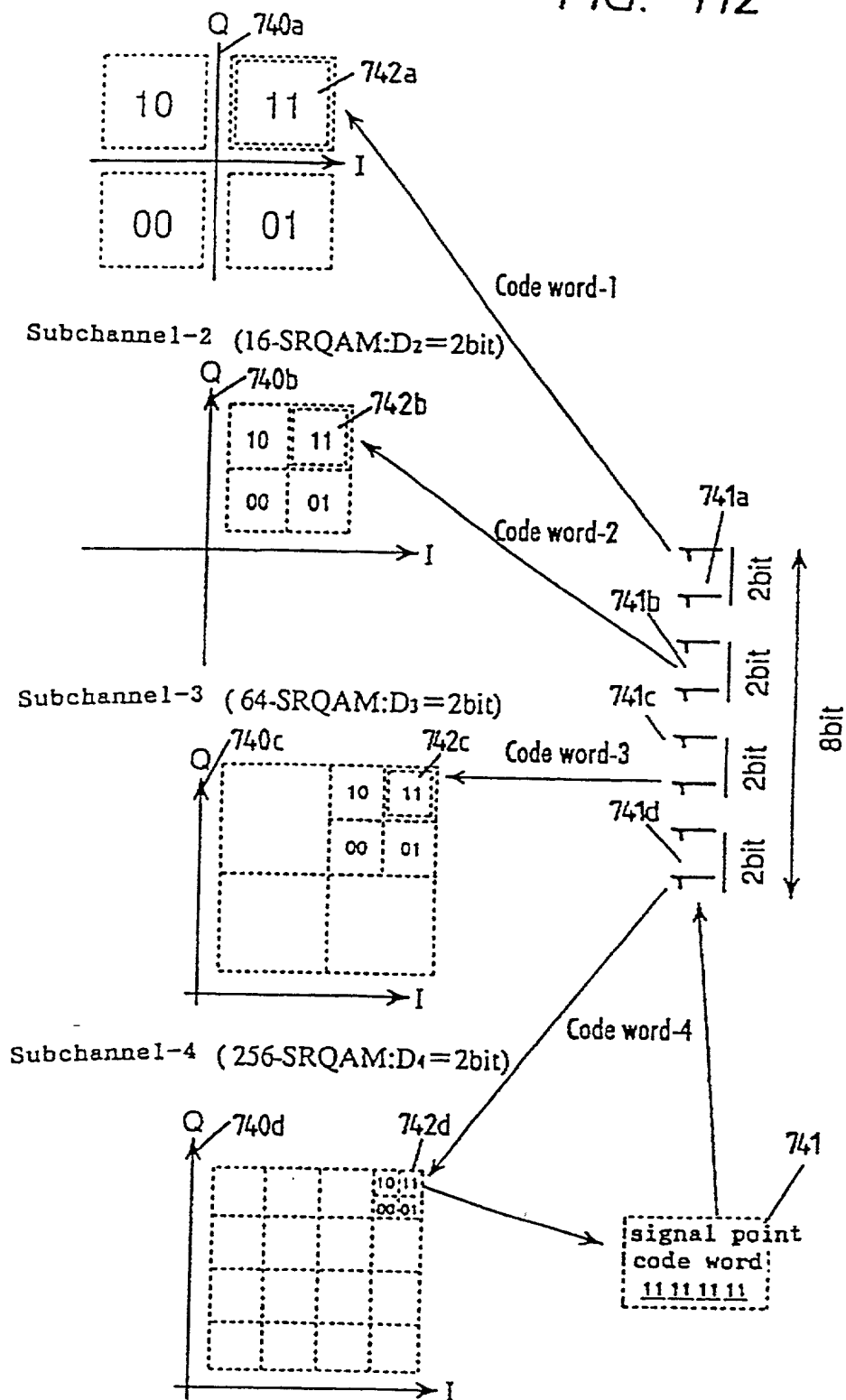




FIG. 113

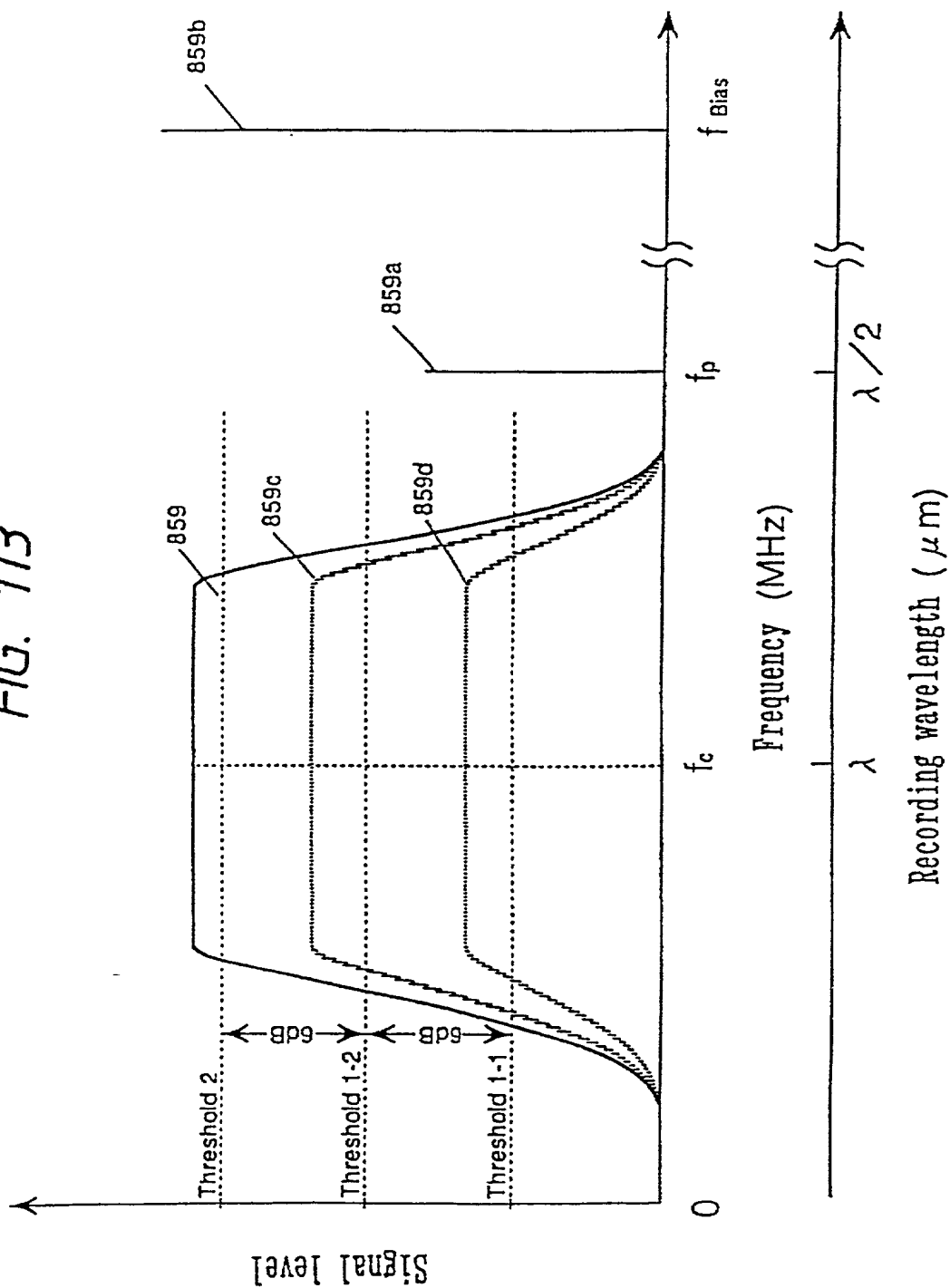


FIG. 114

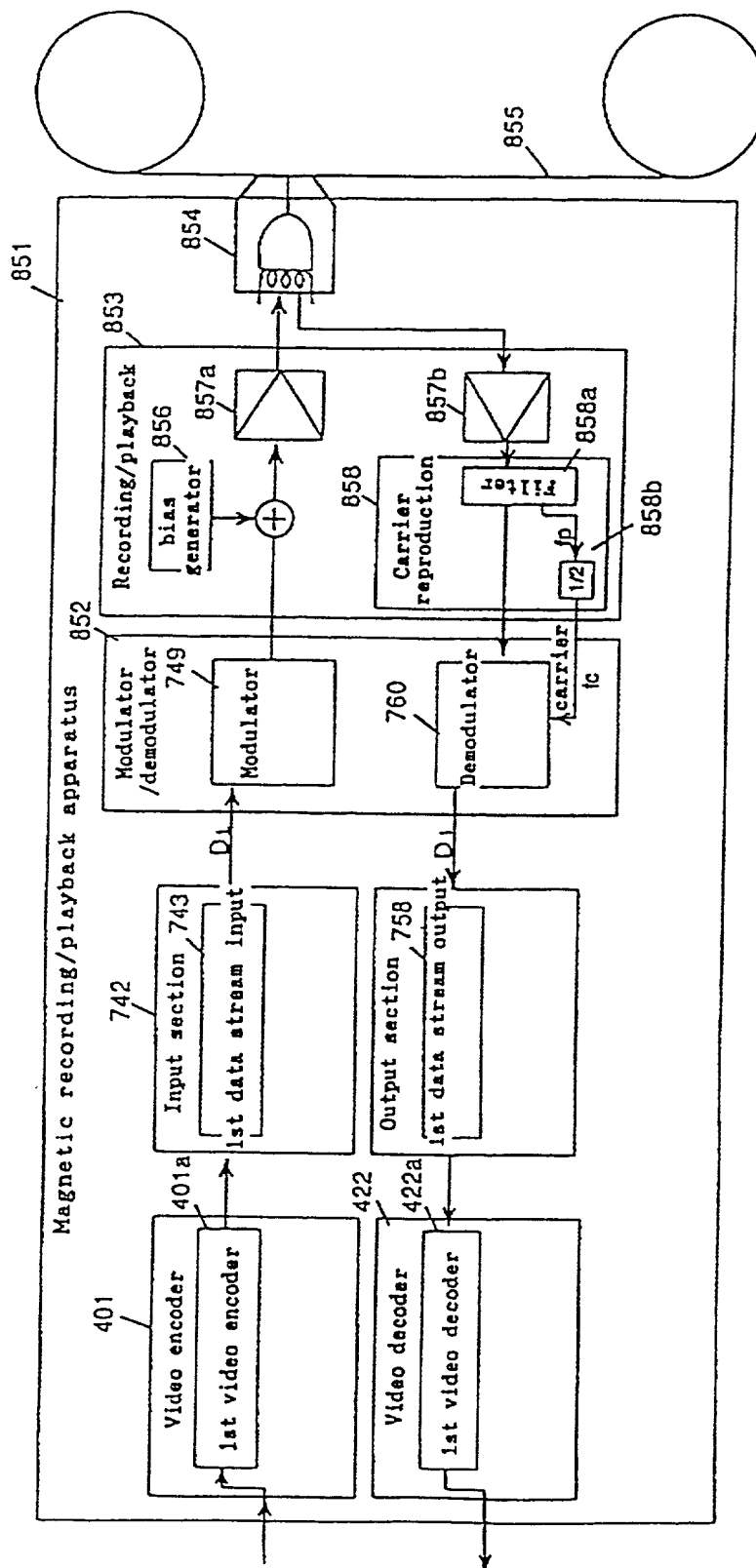


FIG. 115

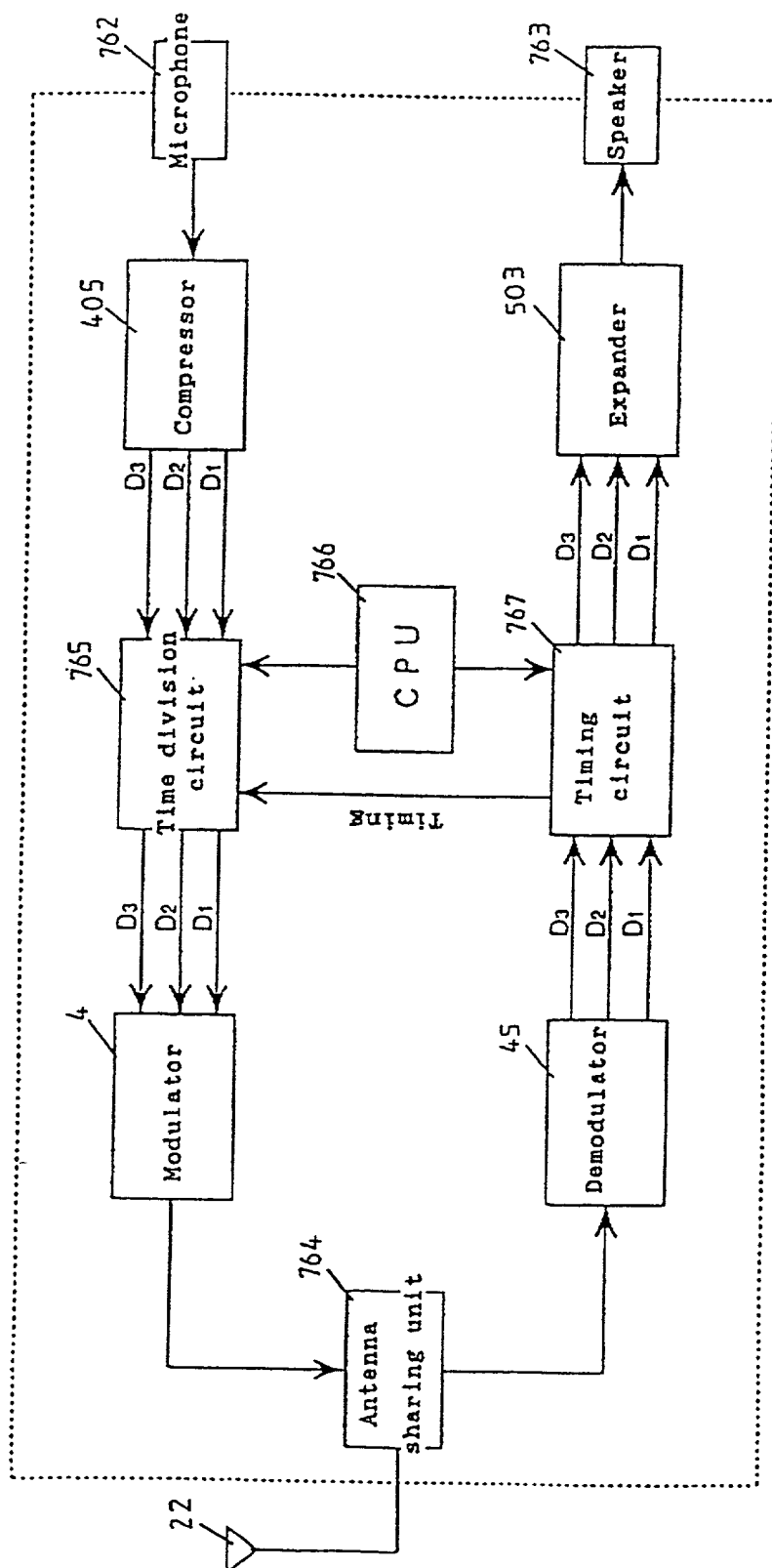
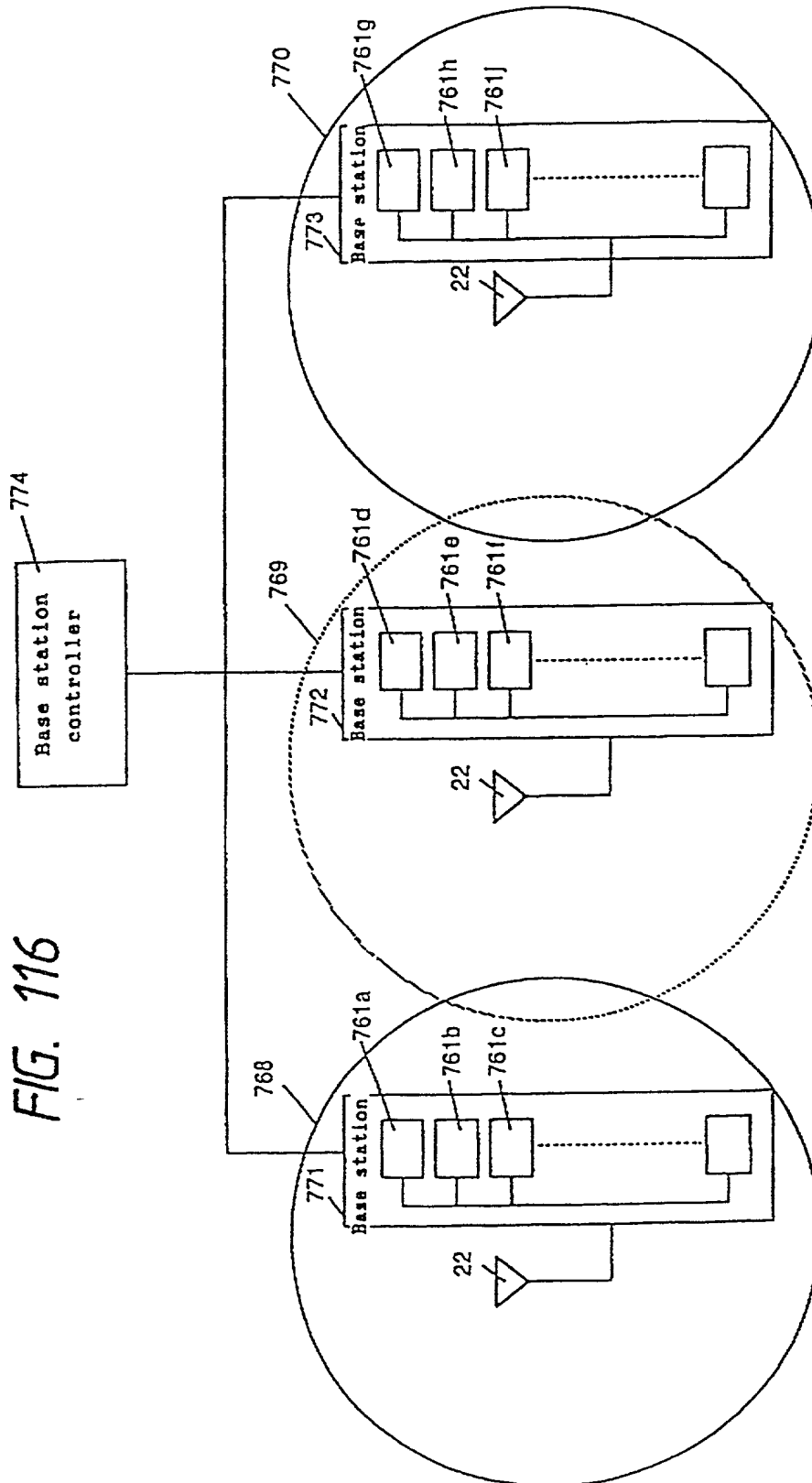
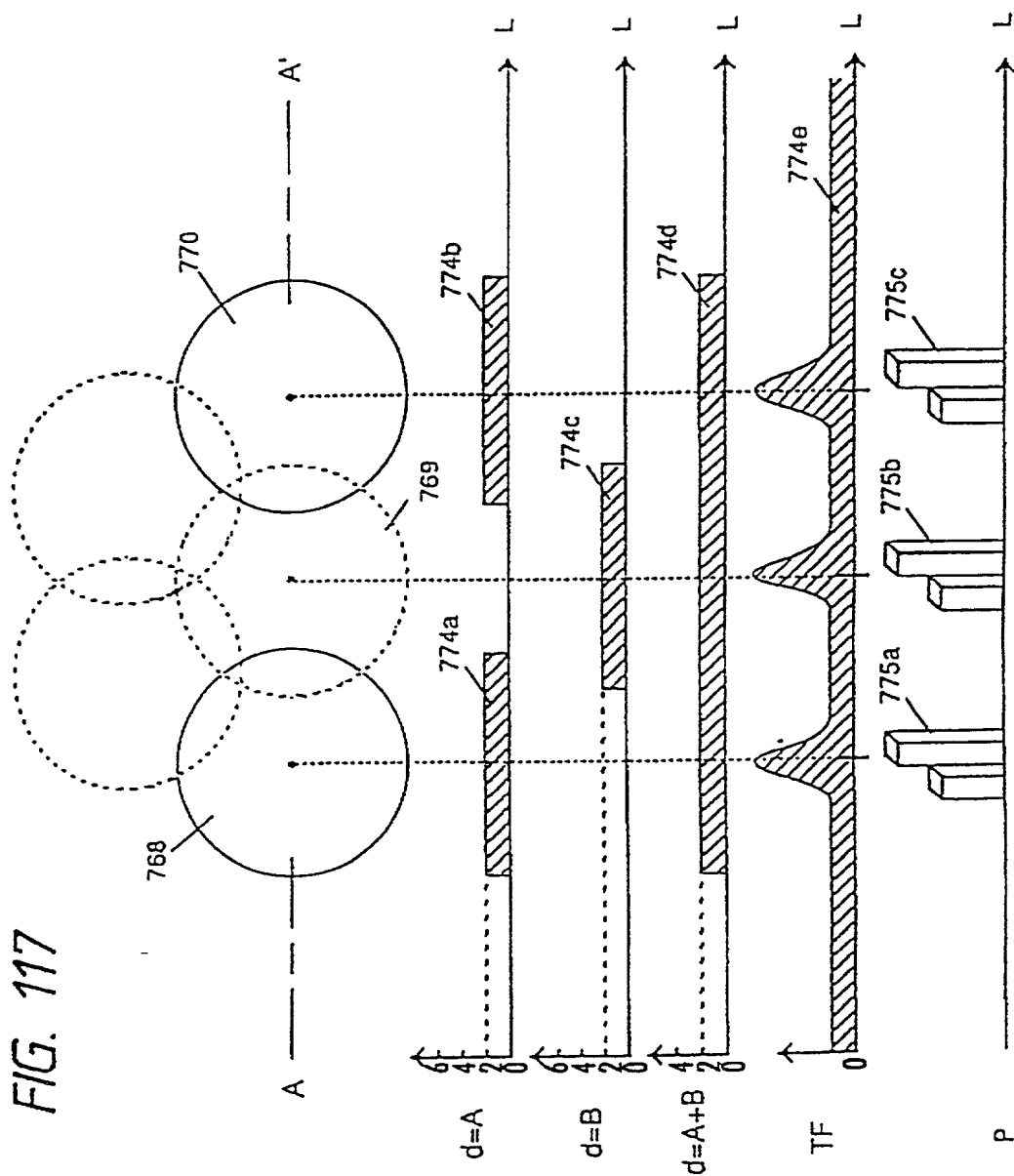


FIG. 116





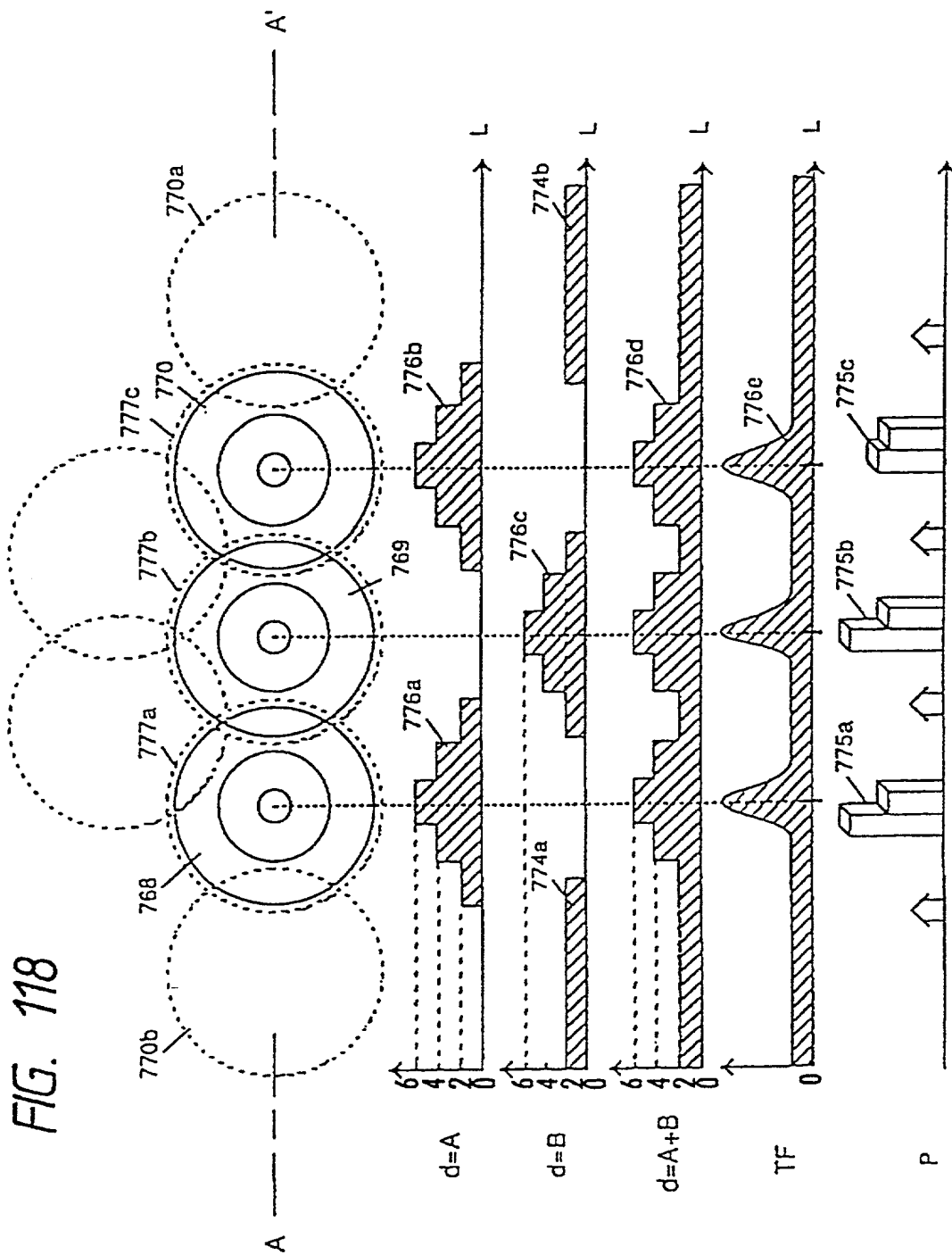


FIG. 119(a)

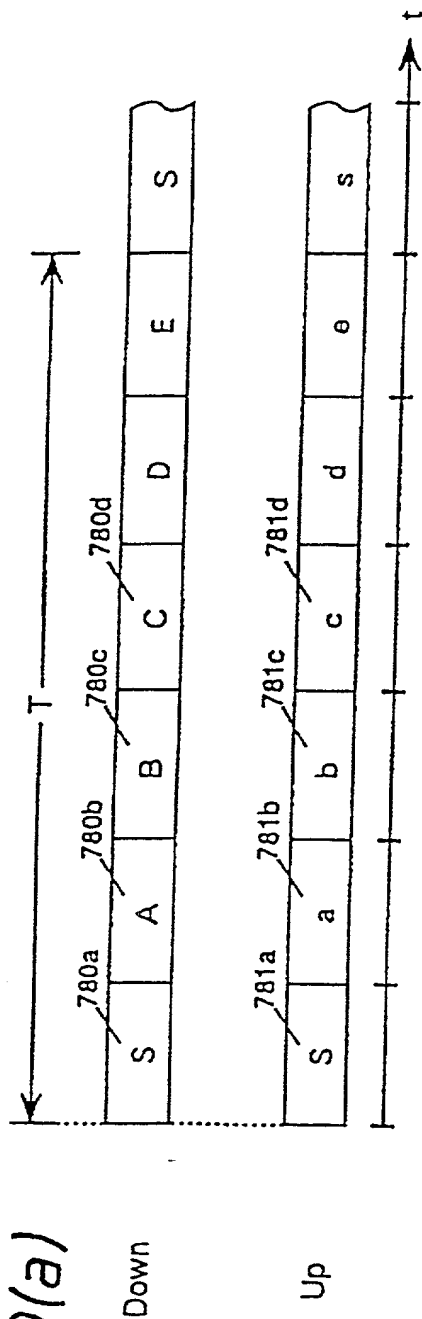


FIG. 119(b)

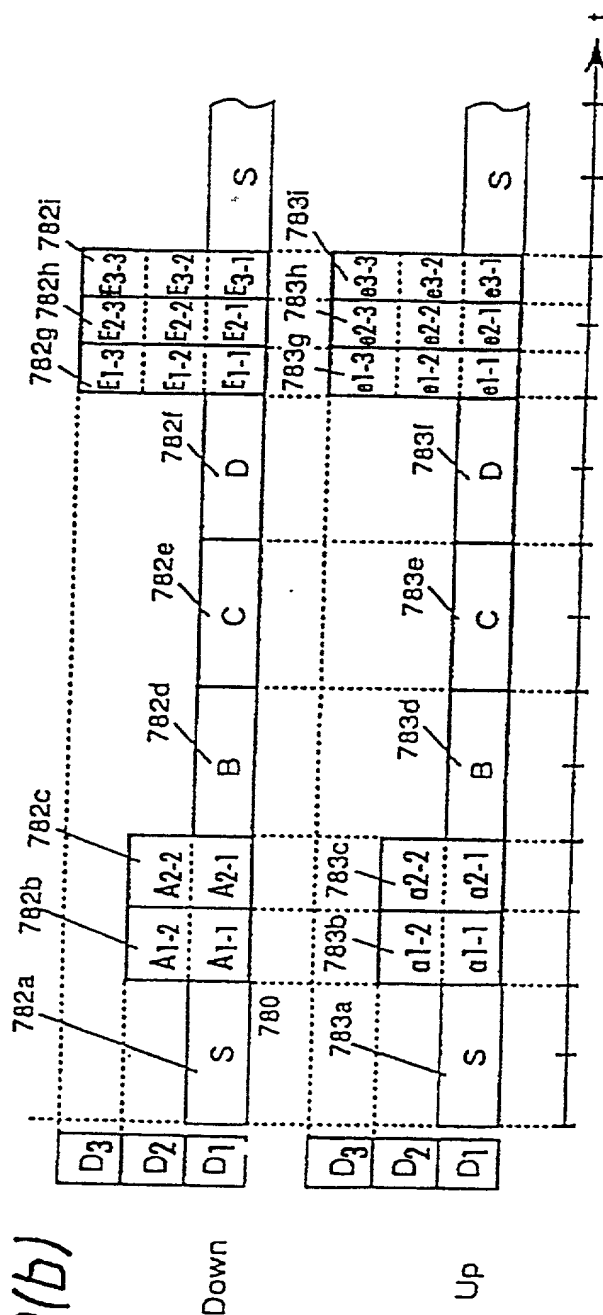


FIG. 120(a)

FIG. 120(a)

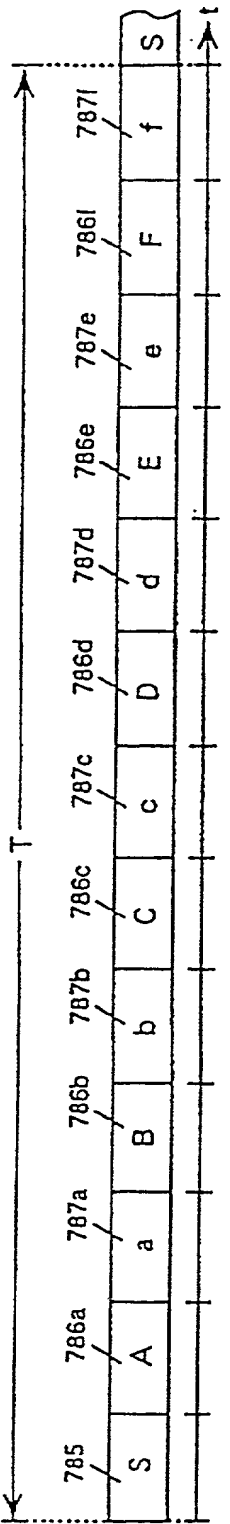


FIG. 120(b)

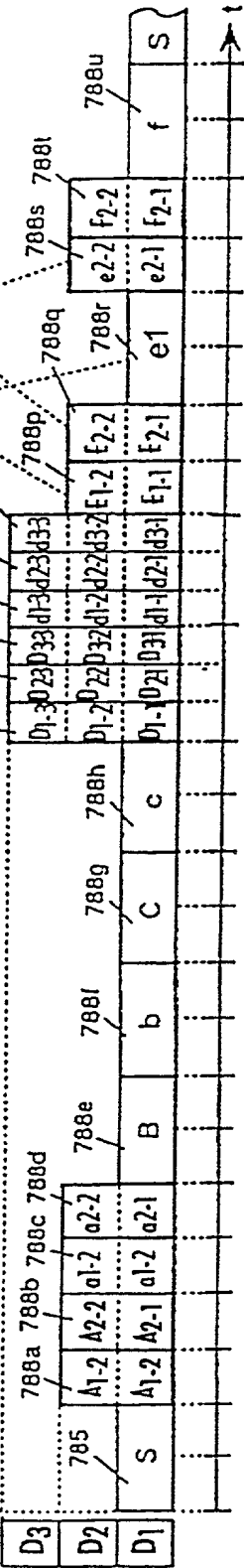




FIG. 121

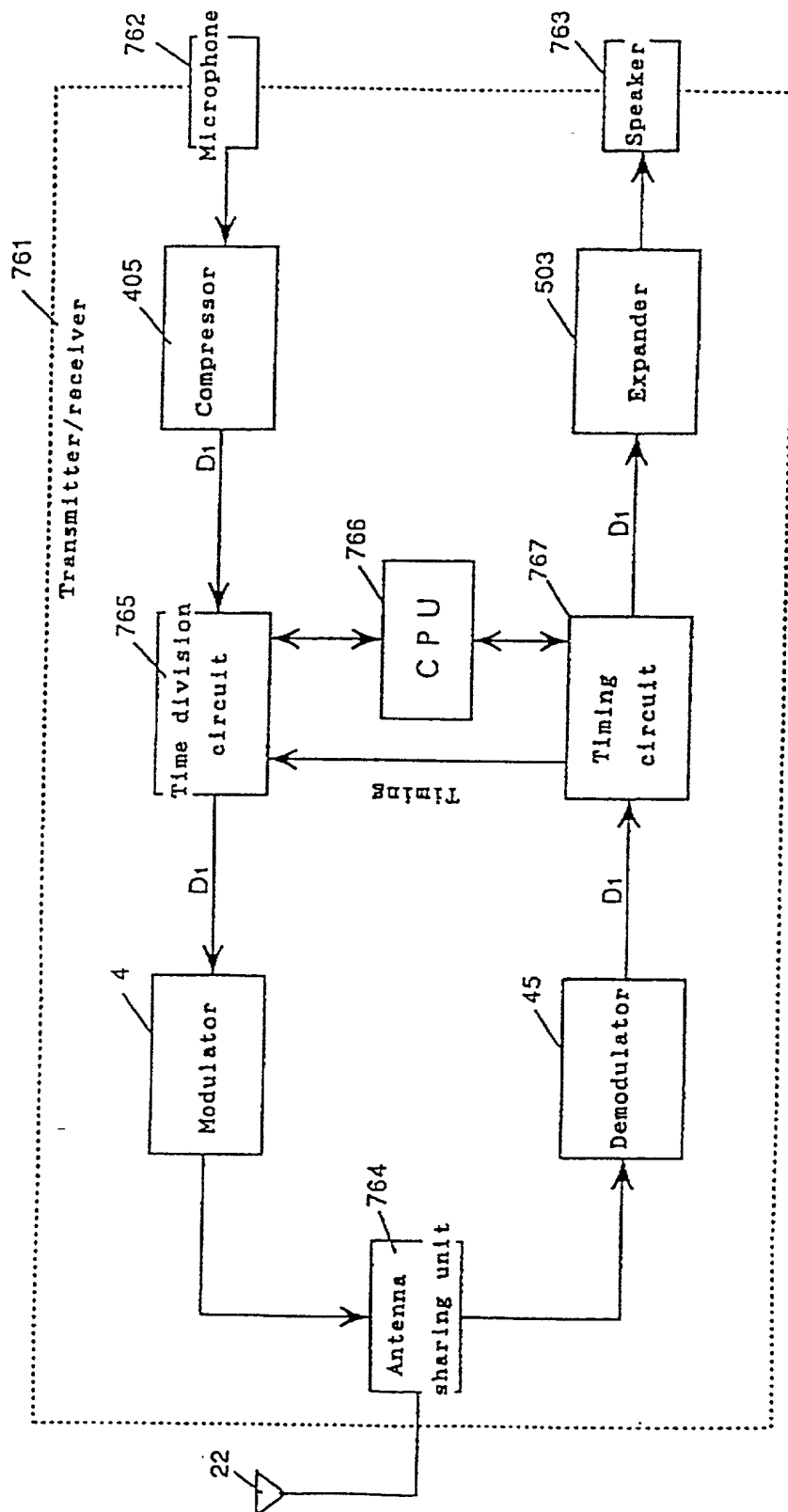


FIG. 122

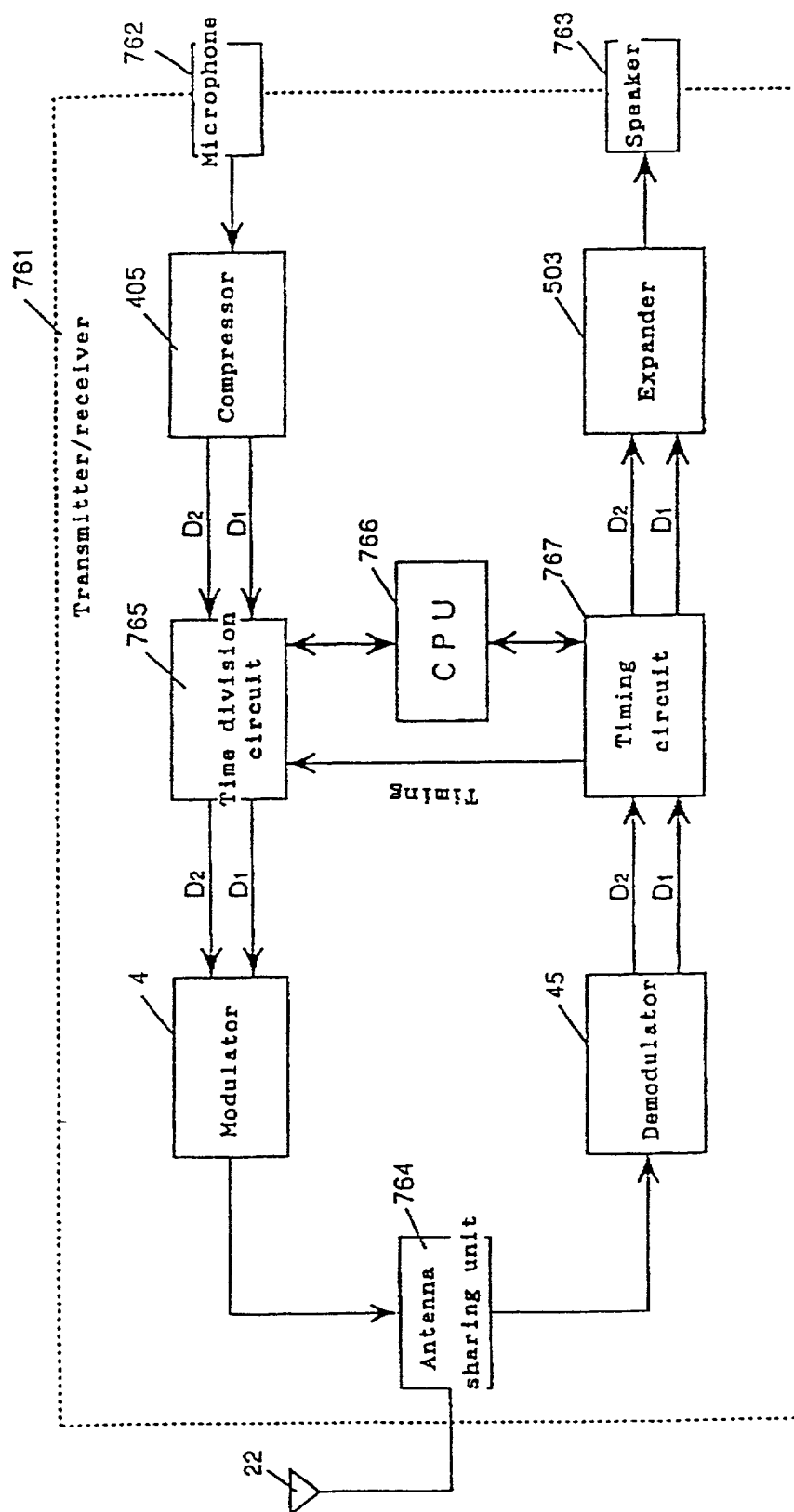
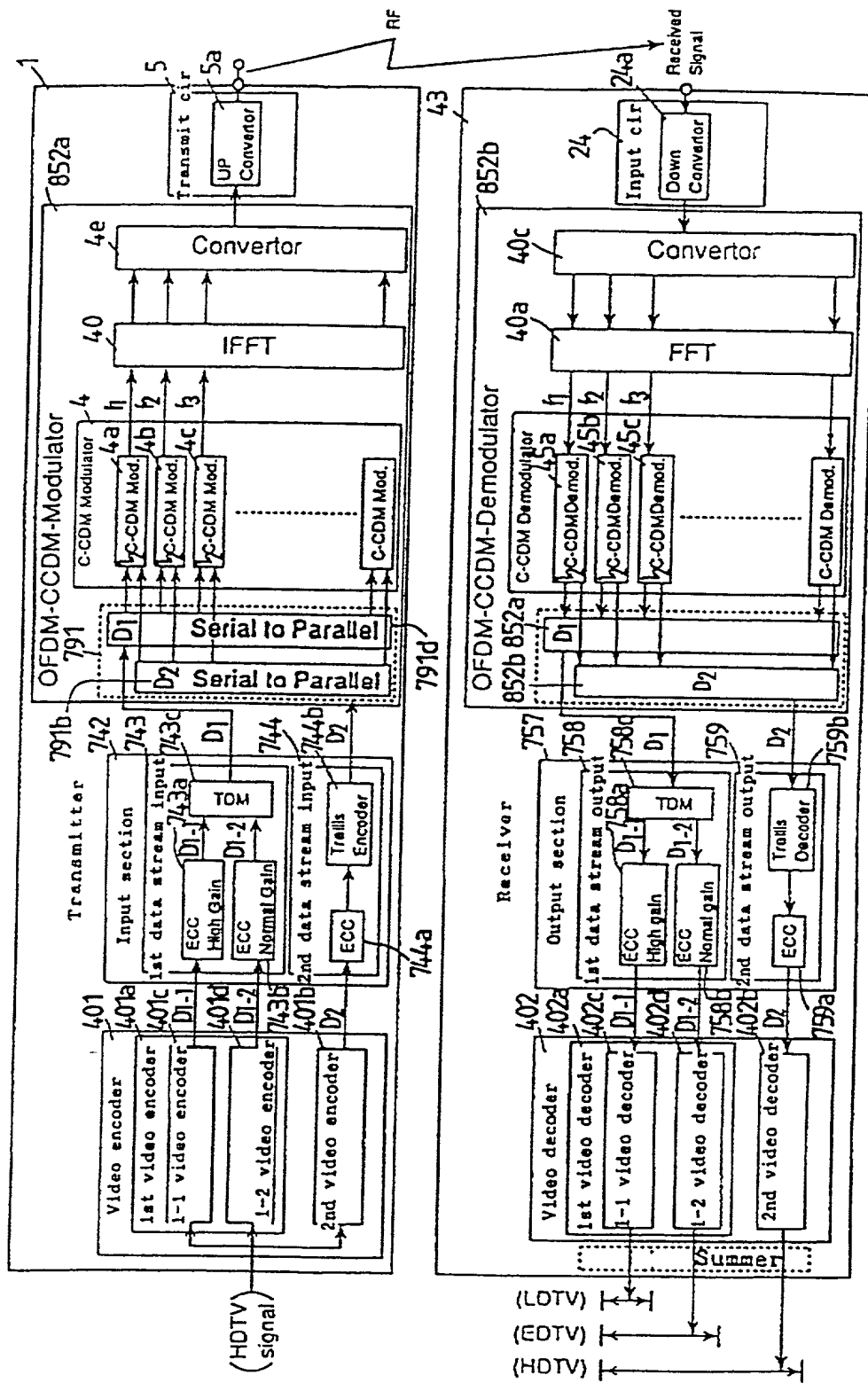


FIG. 123



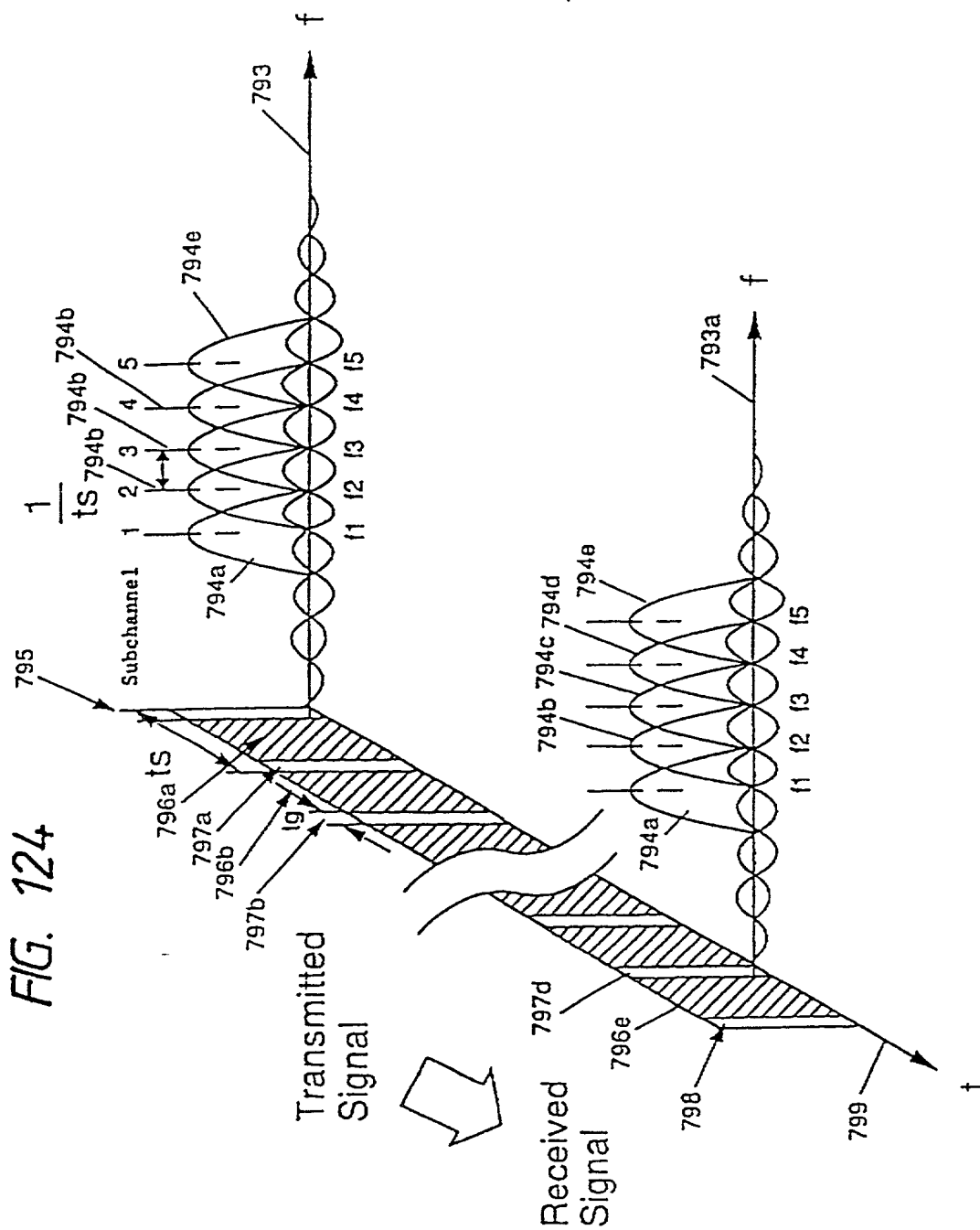


FIG. 125(a)

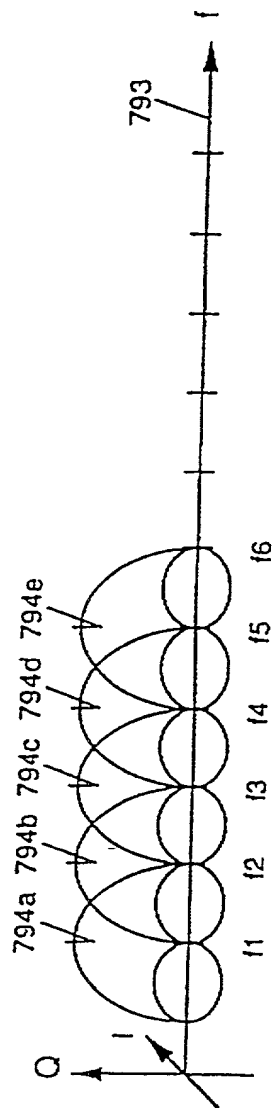
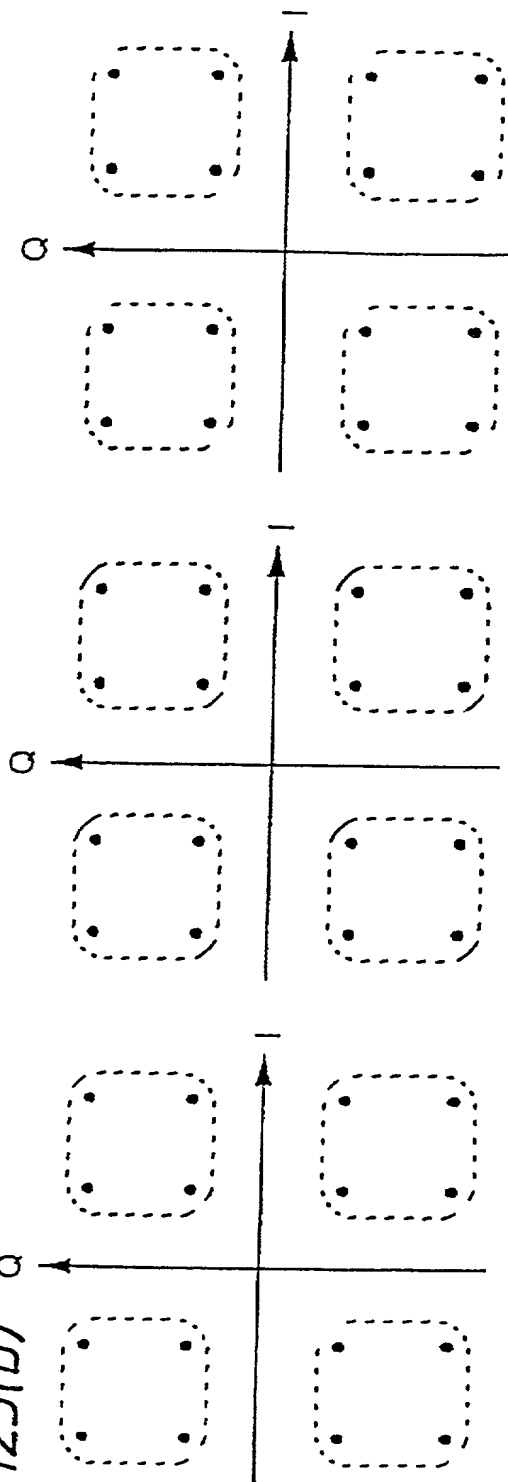


FIG. 125(b)



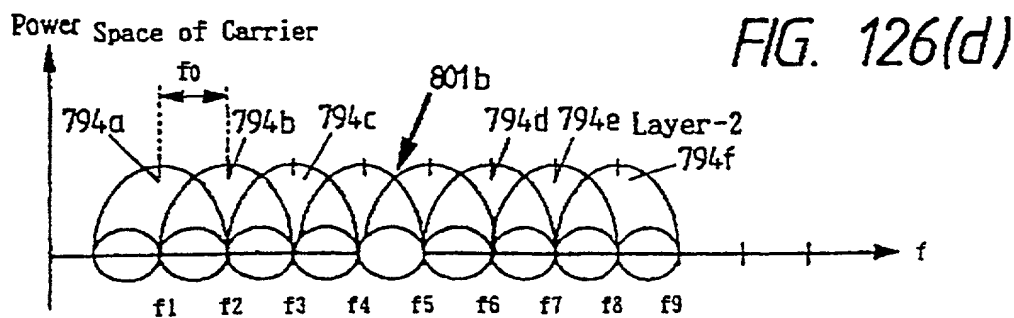
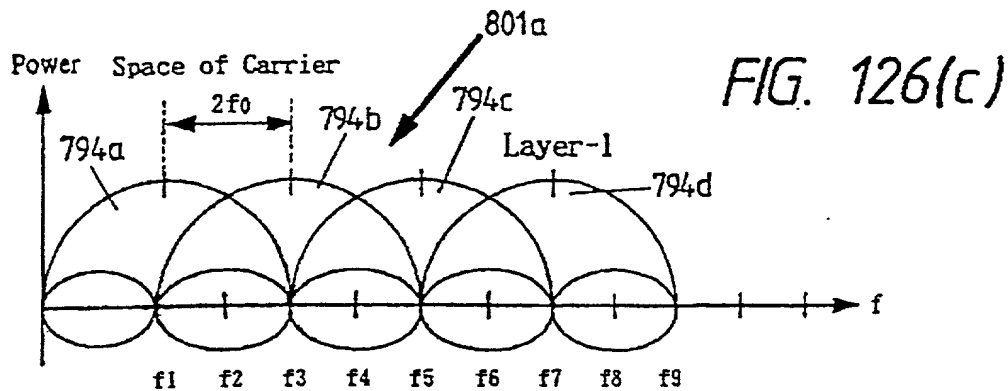
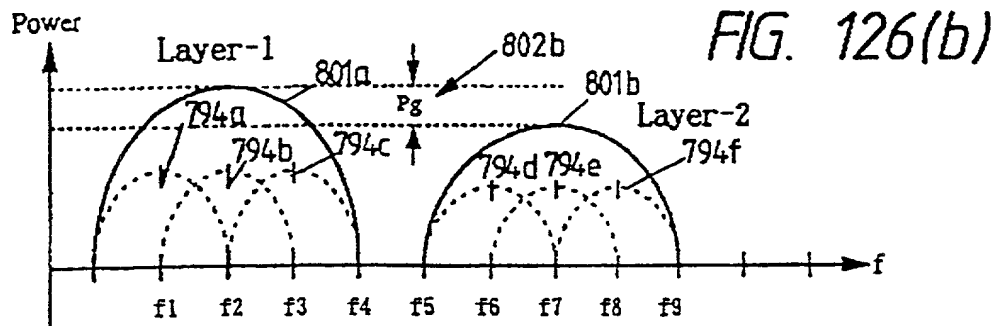
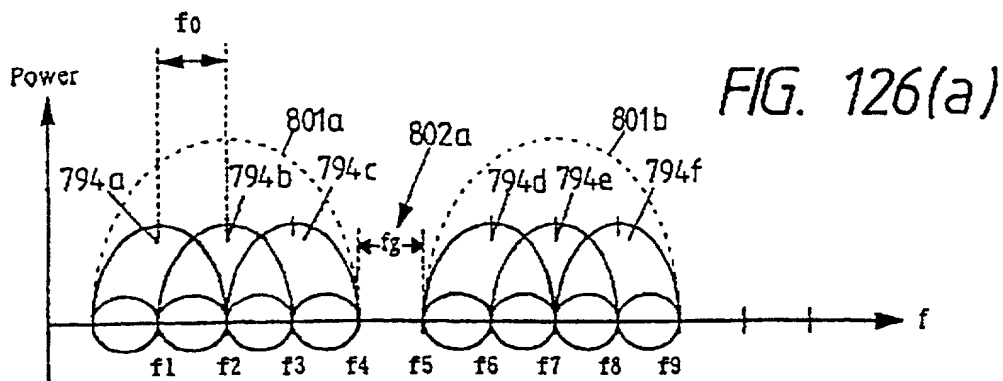


FIG. 127

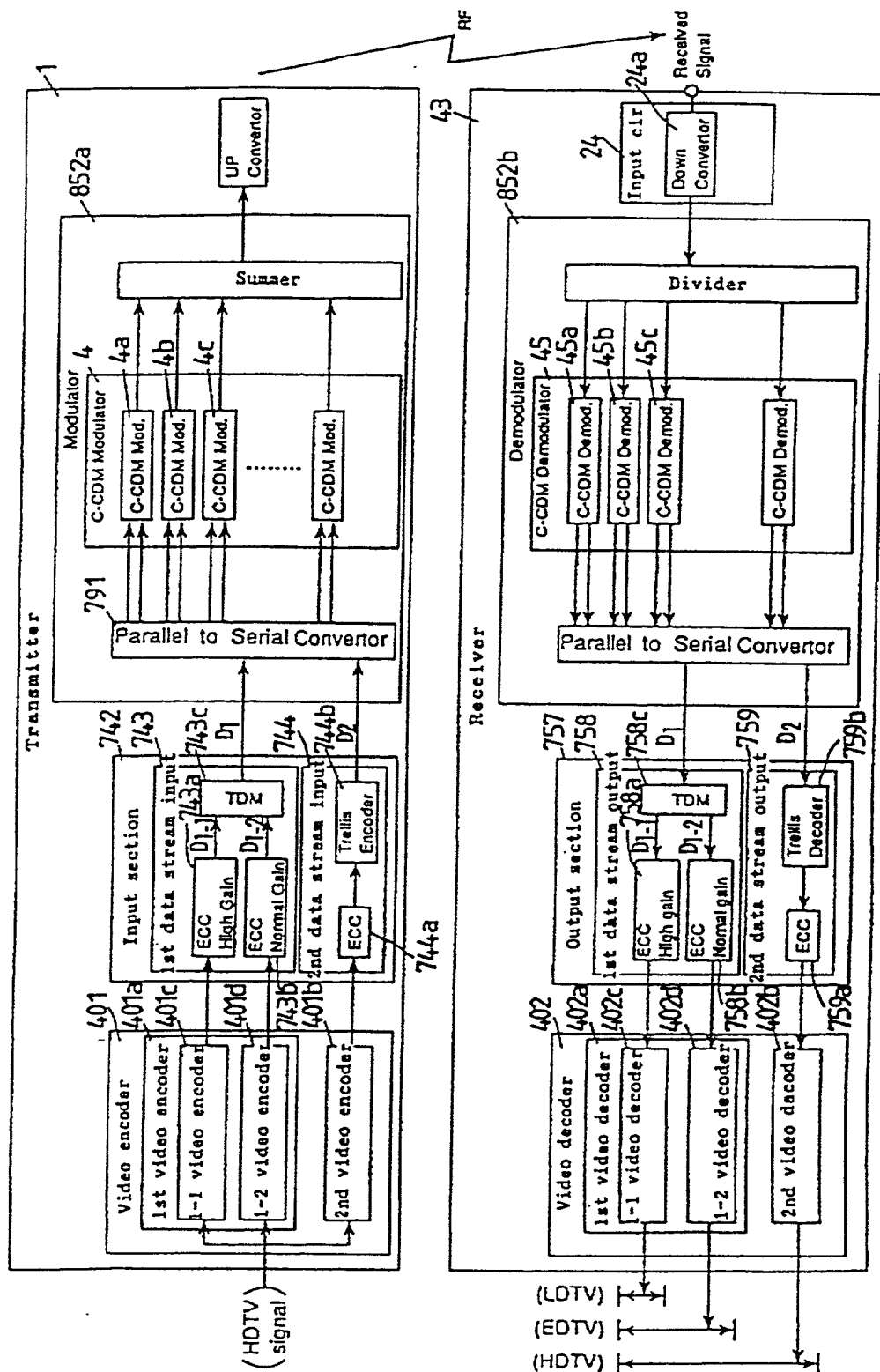


FIG. 128(a)

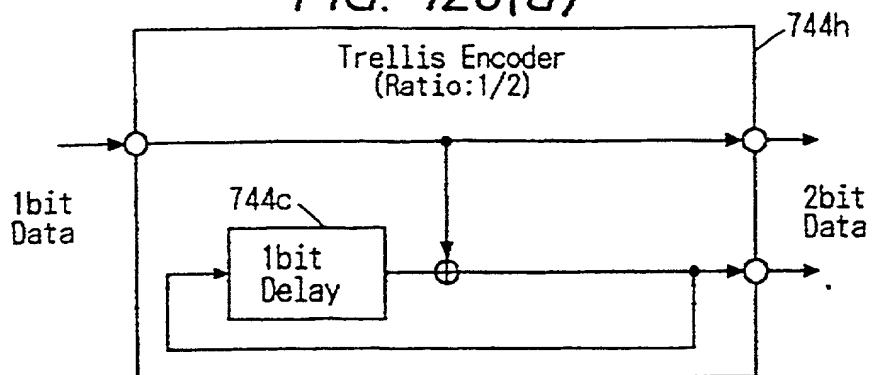


FIG. 128(b)

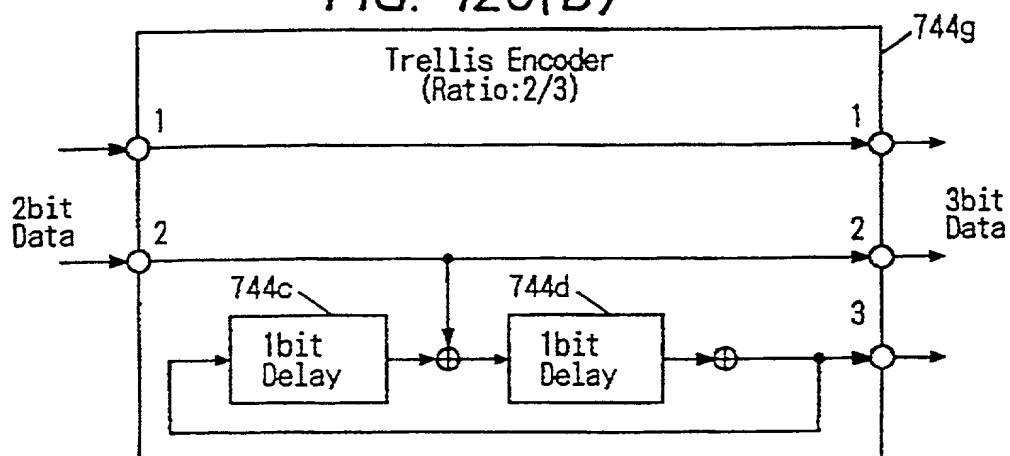


FIG. 128(c)

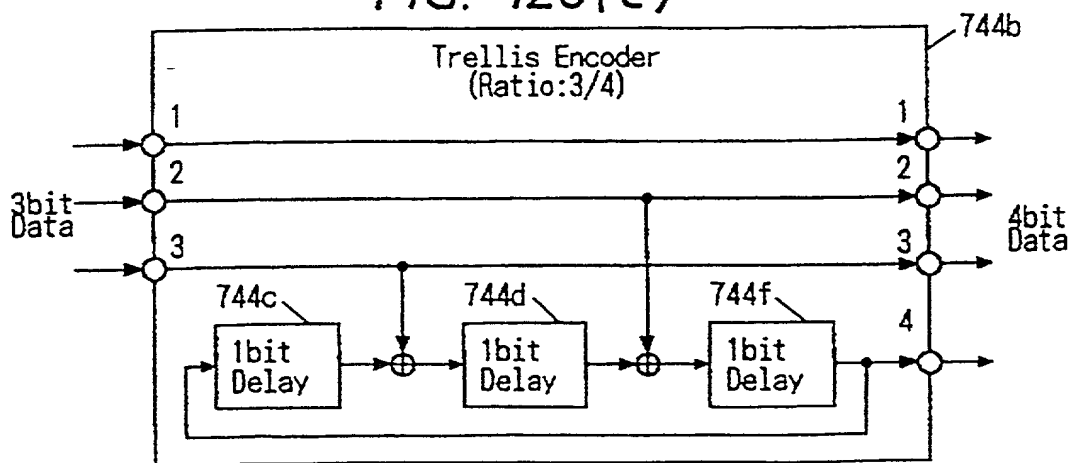




FIG. 128(d)

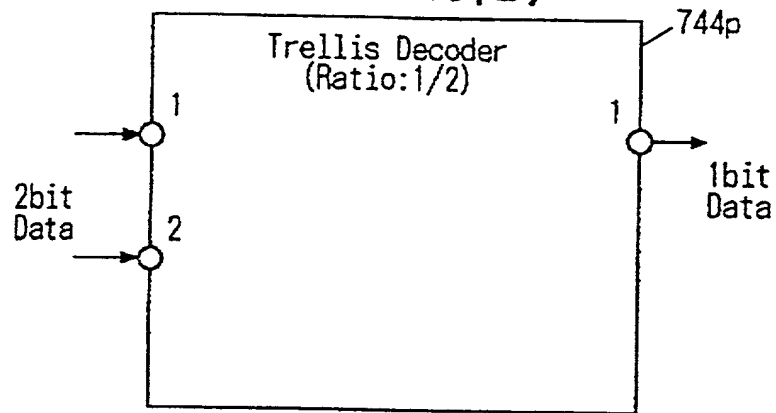


FIG. 128(e)

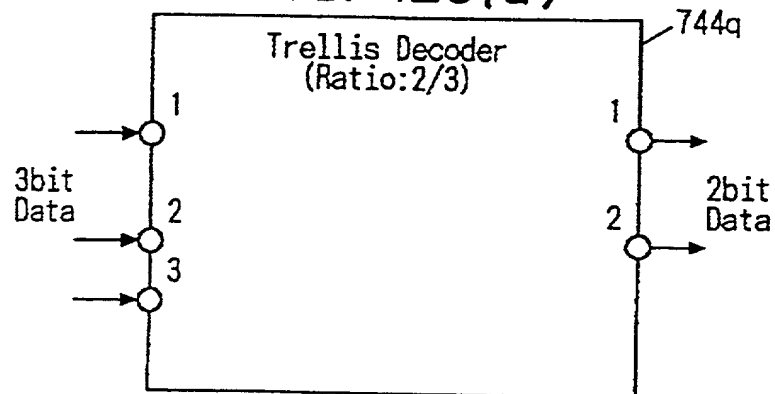


FIG. 128(f)

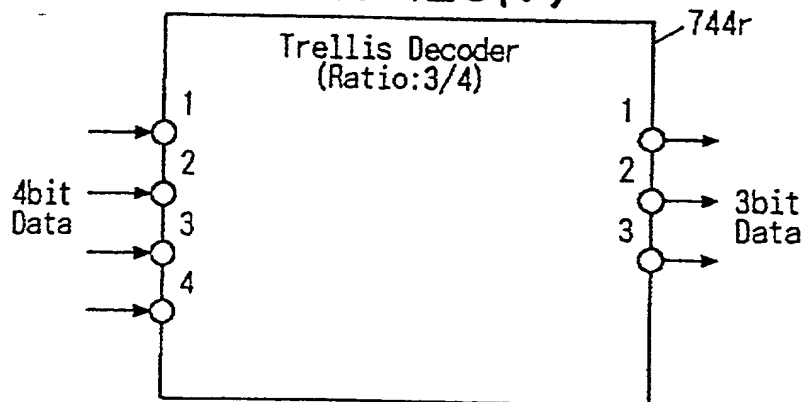
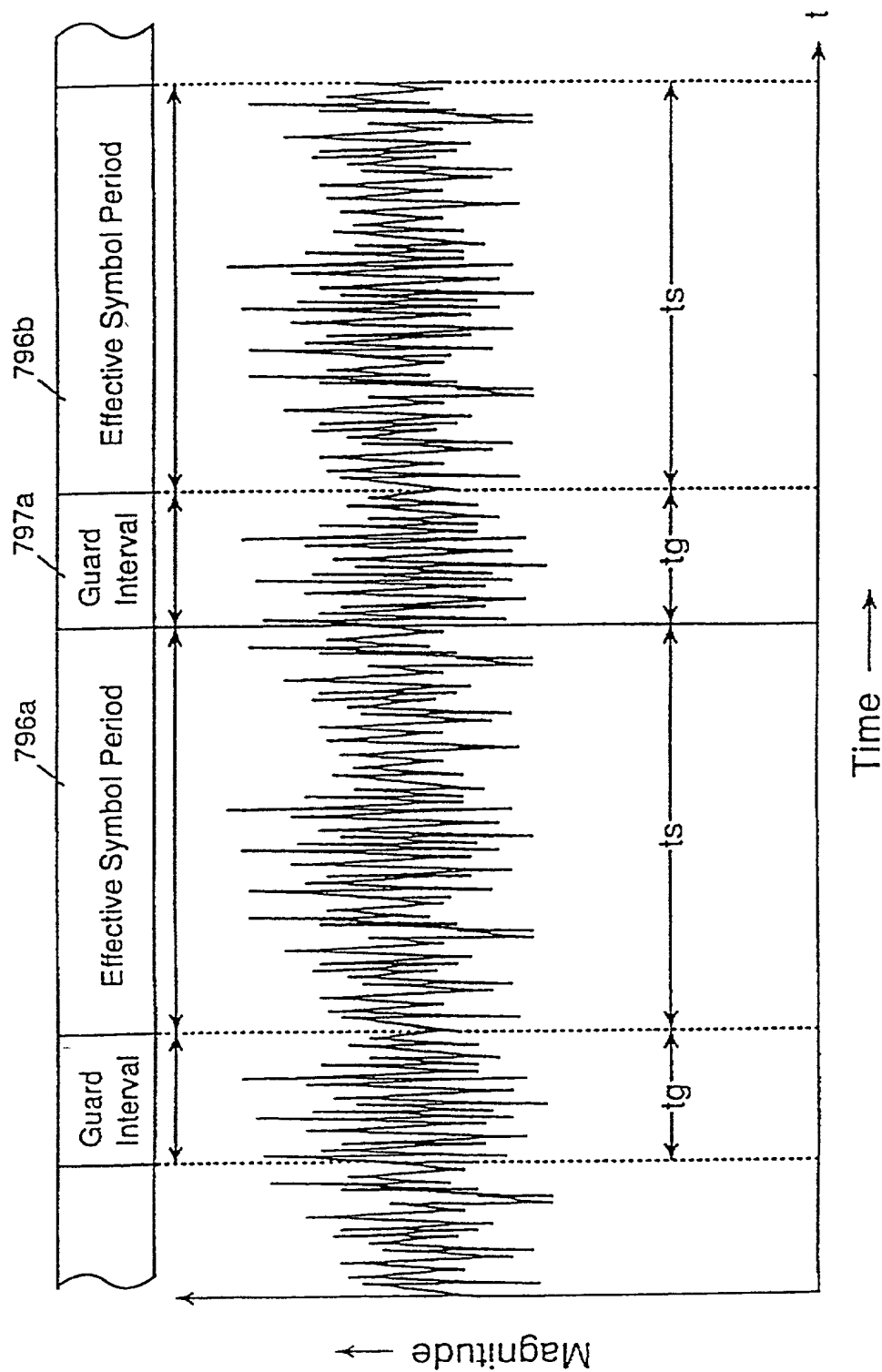


FIG. 129



GHOST DELAY=2 $\mu$ s, 0J-8dB  
Figure 8 Bit Error Rate Performance Under Single Ghost  
and Gaussian Noise (1)

FIG. 130

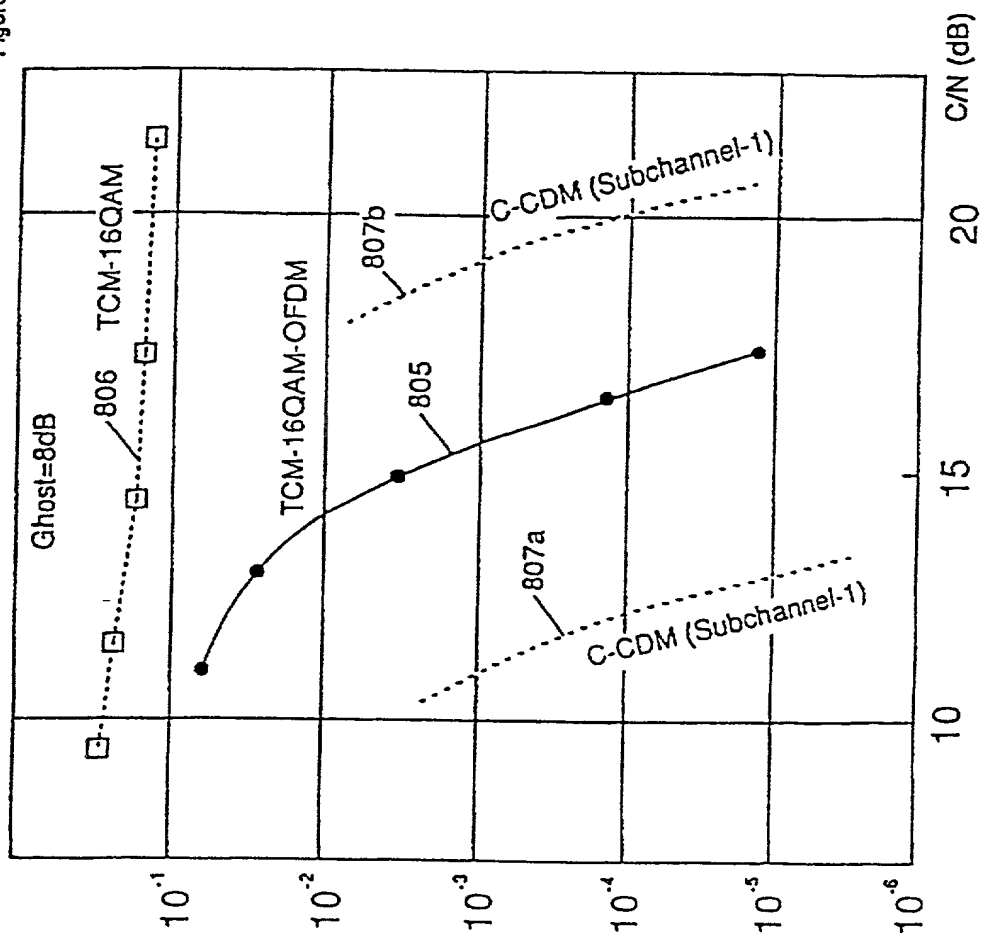
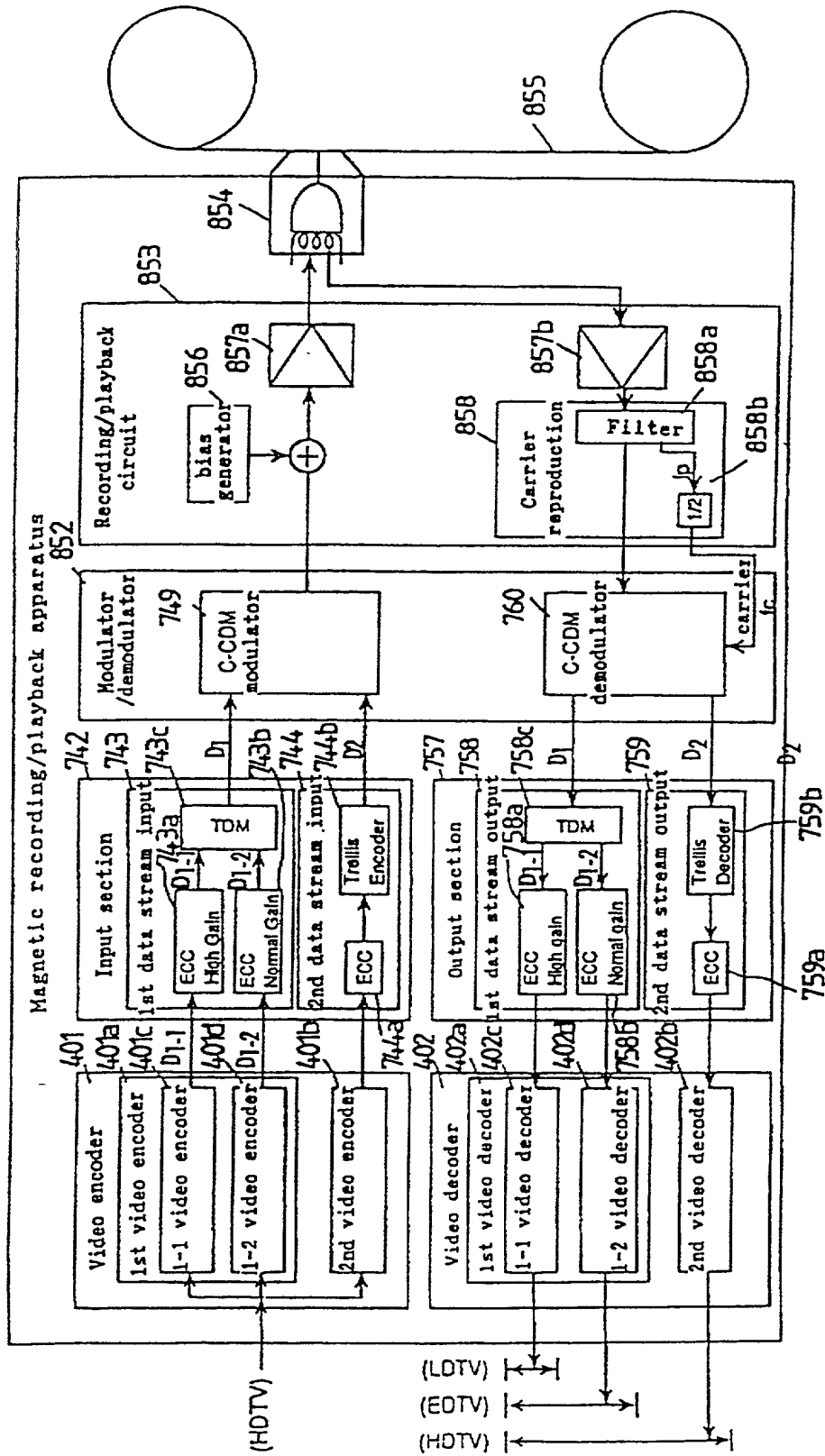


FIG. 131



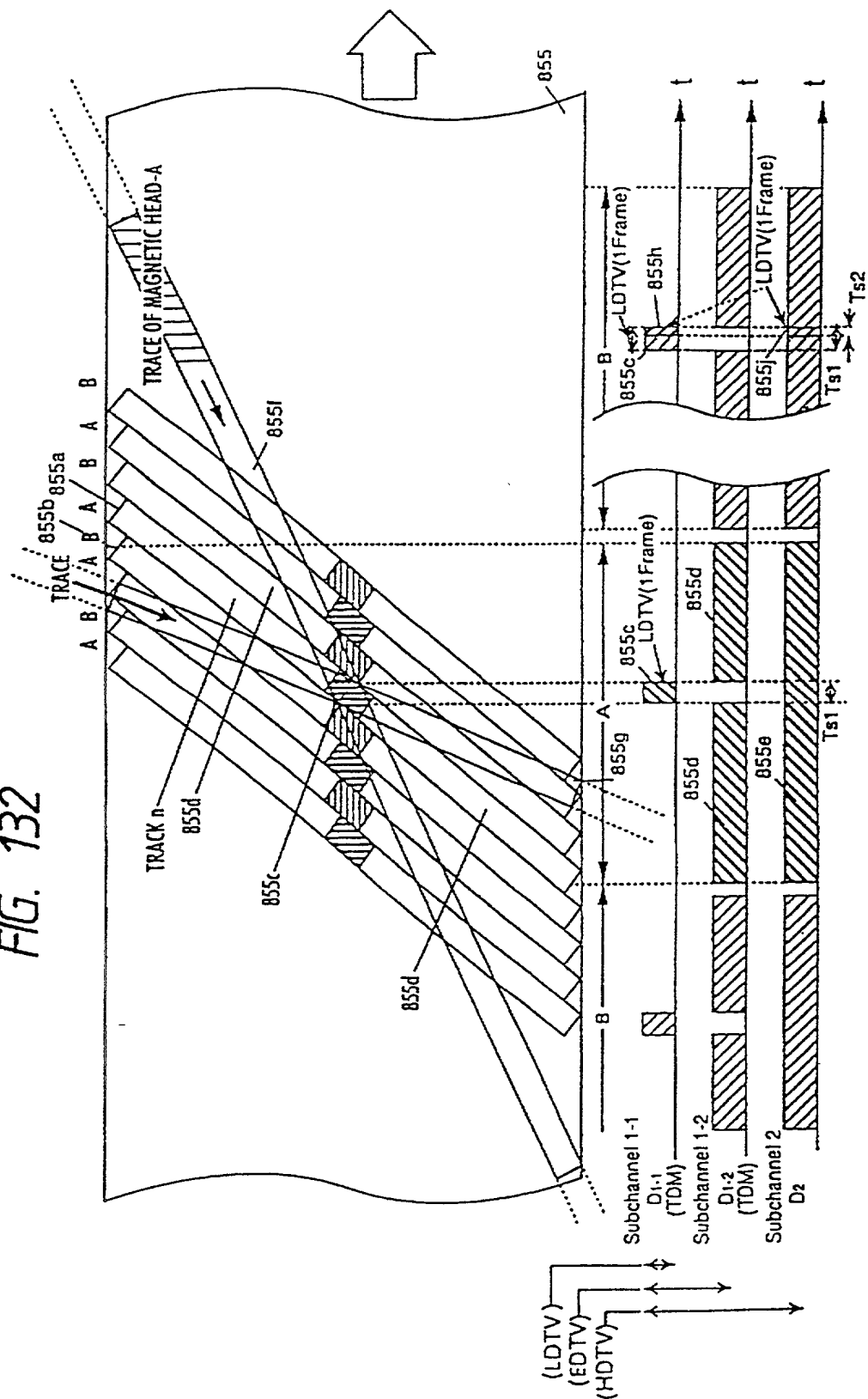


FIG. 133

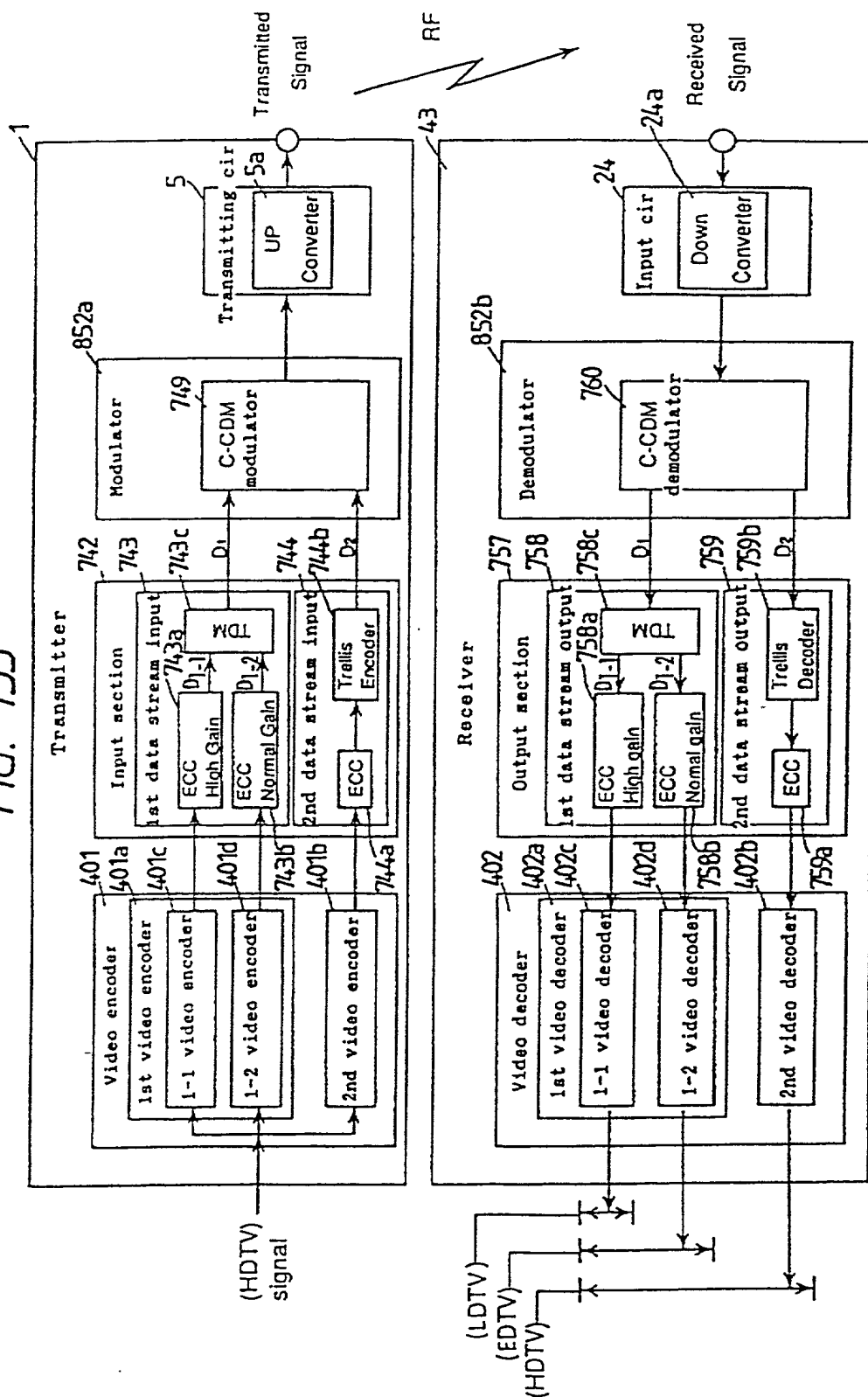


FIG. 134

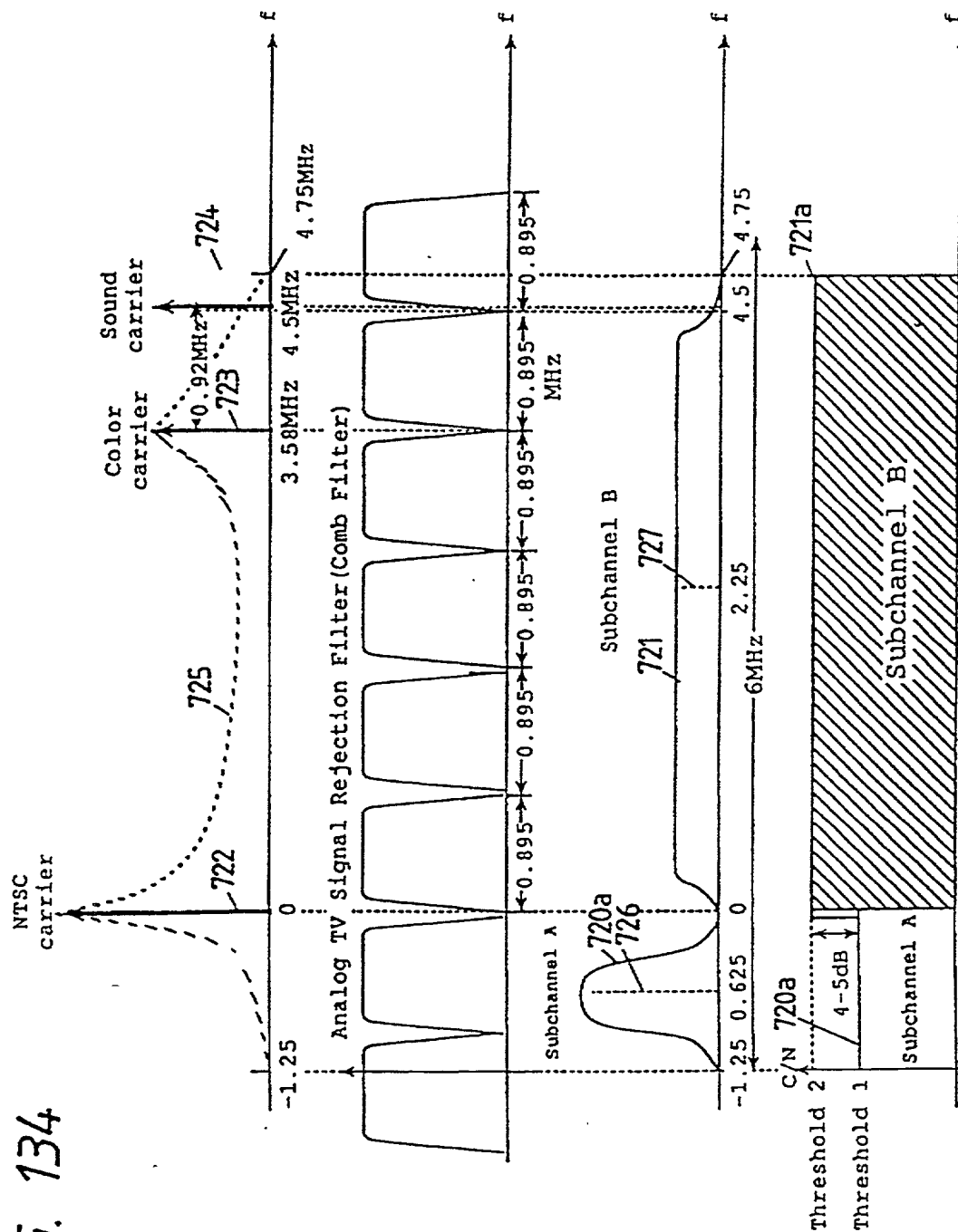


FIG. 135

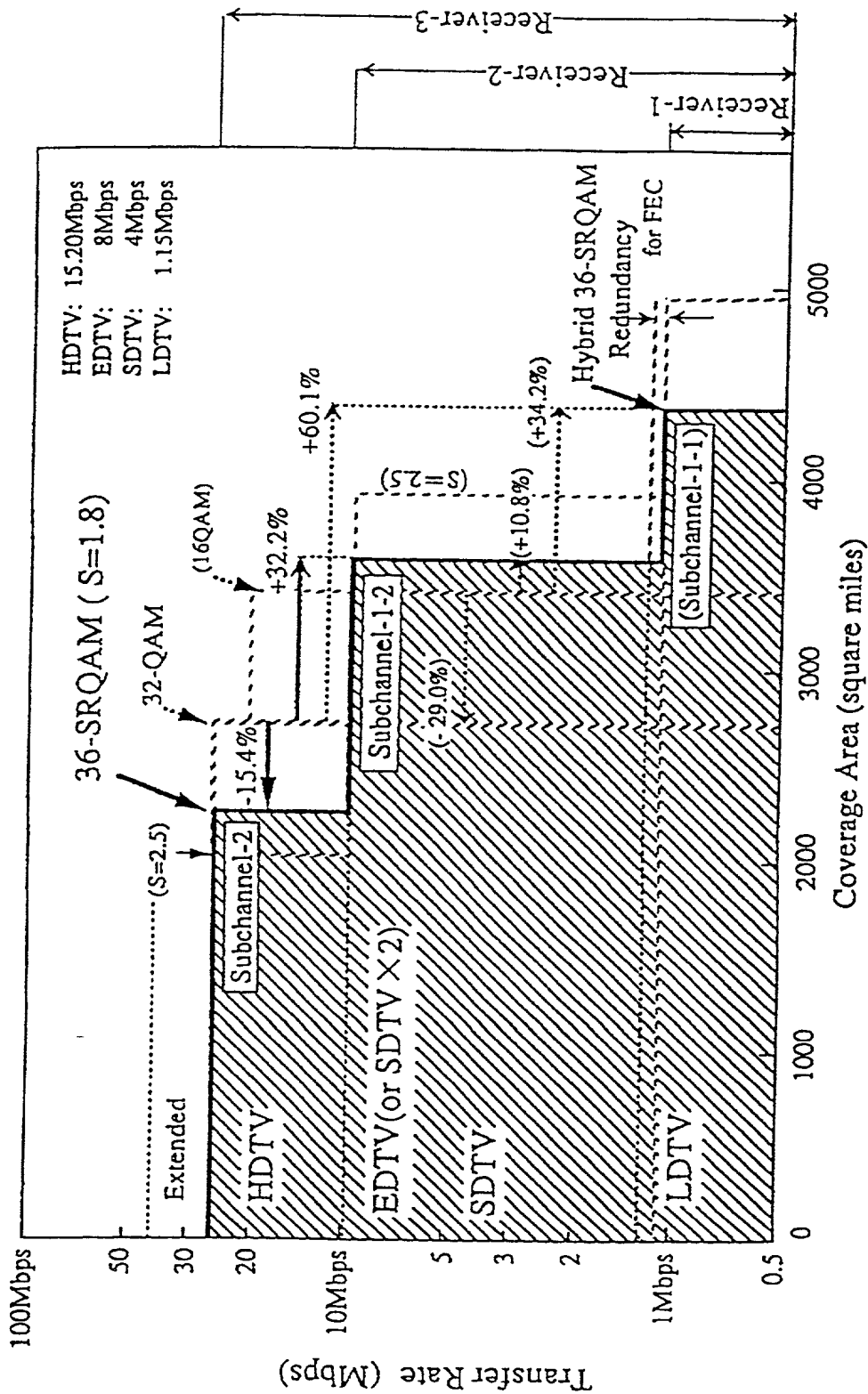




FIG. 136

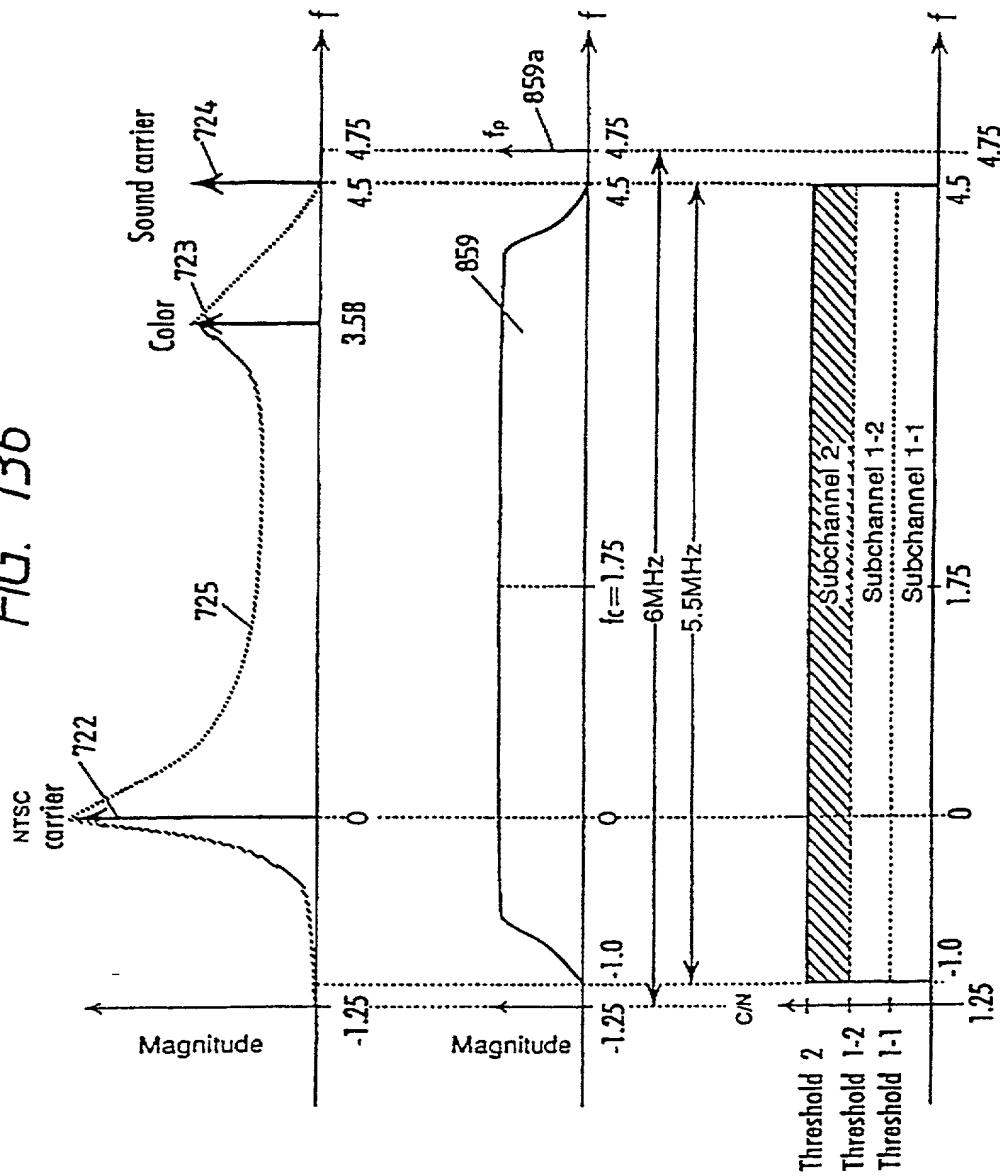


FIG. 137

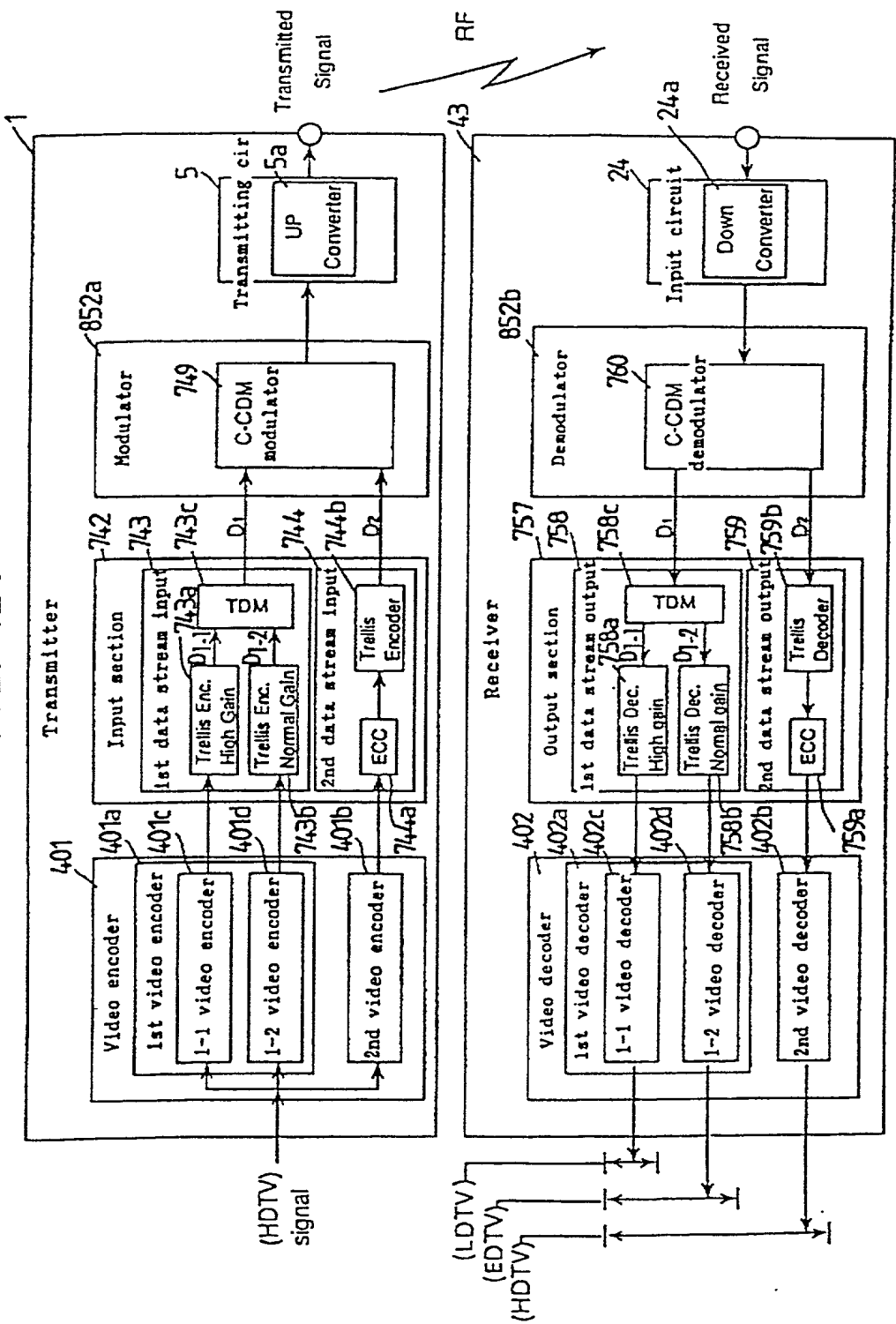


FIG. 138

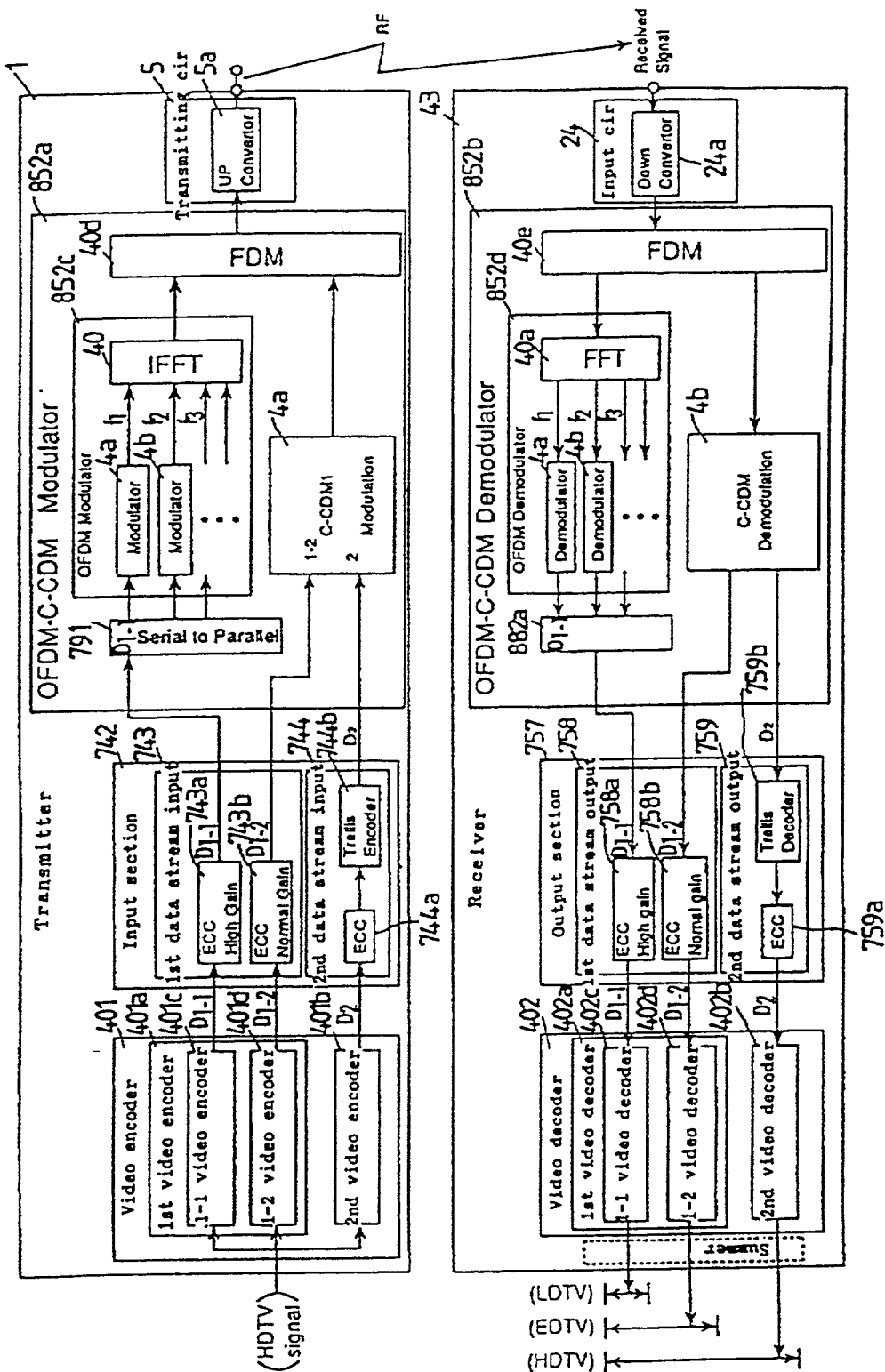




FIG. 140

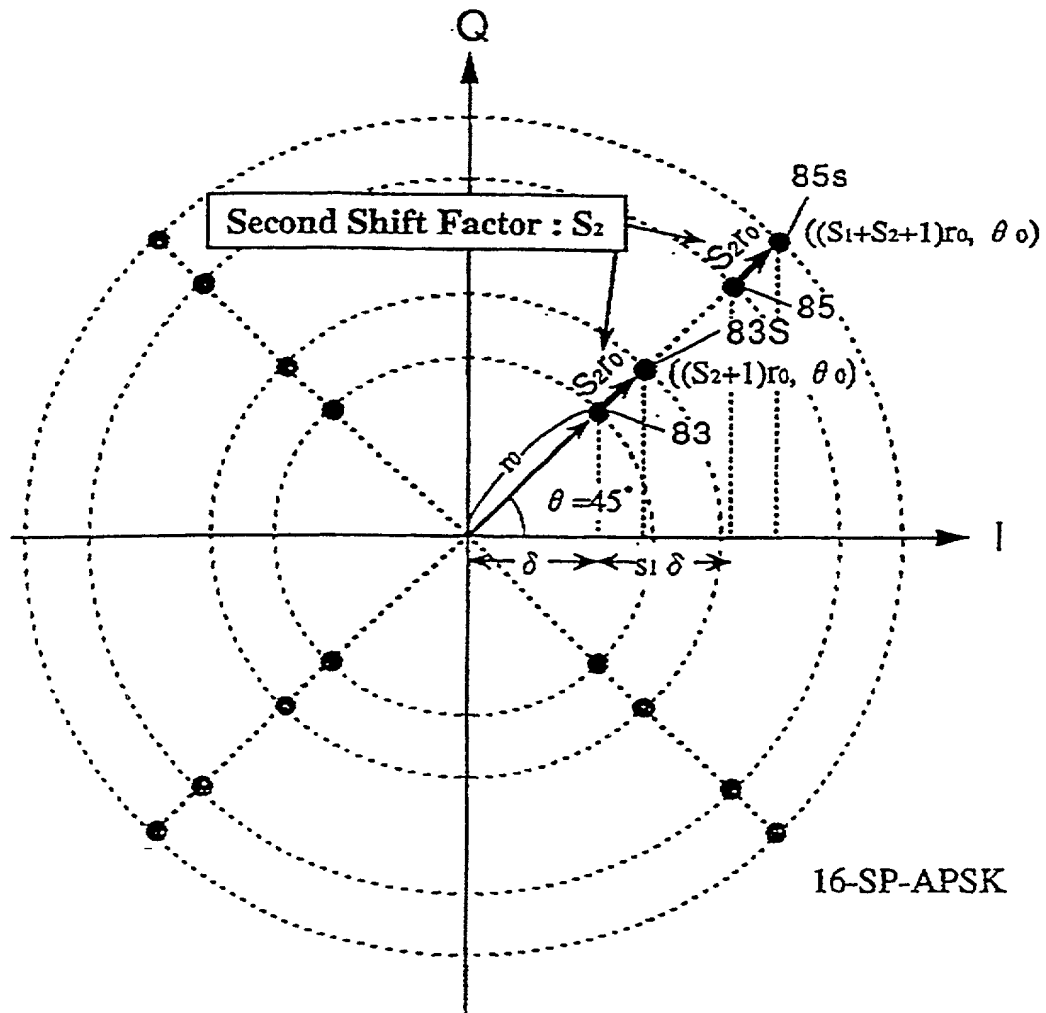


FIG. 141

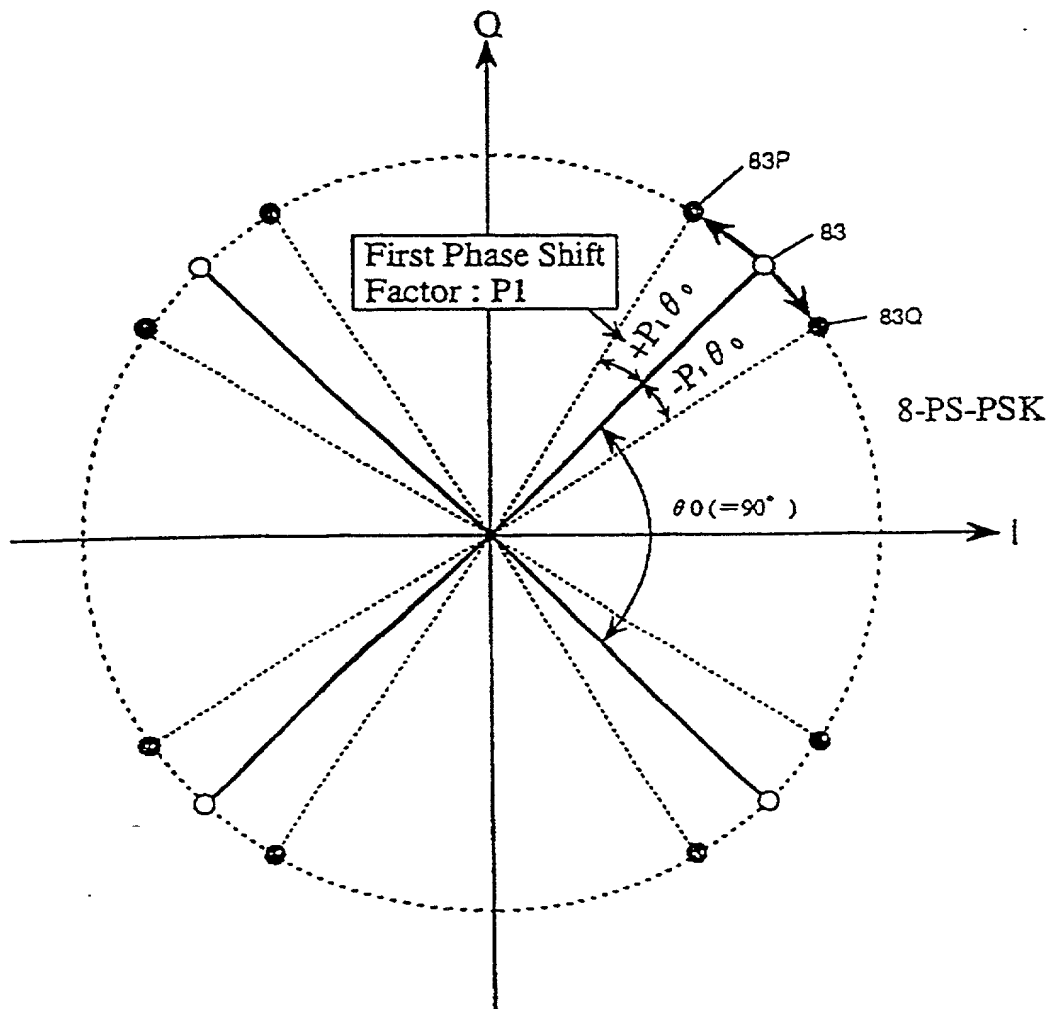


FIG. 142

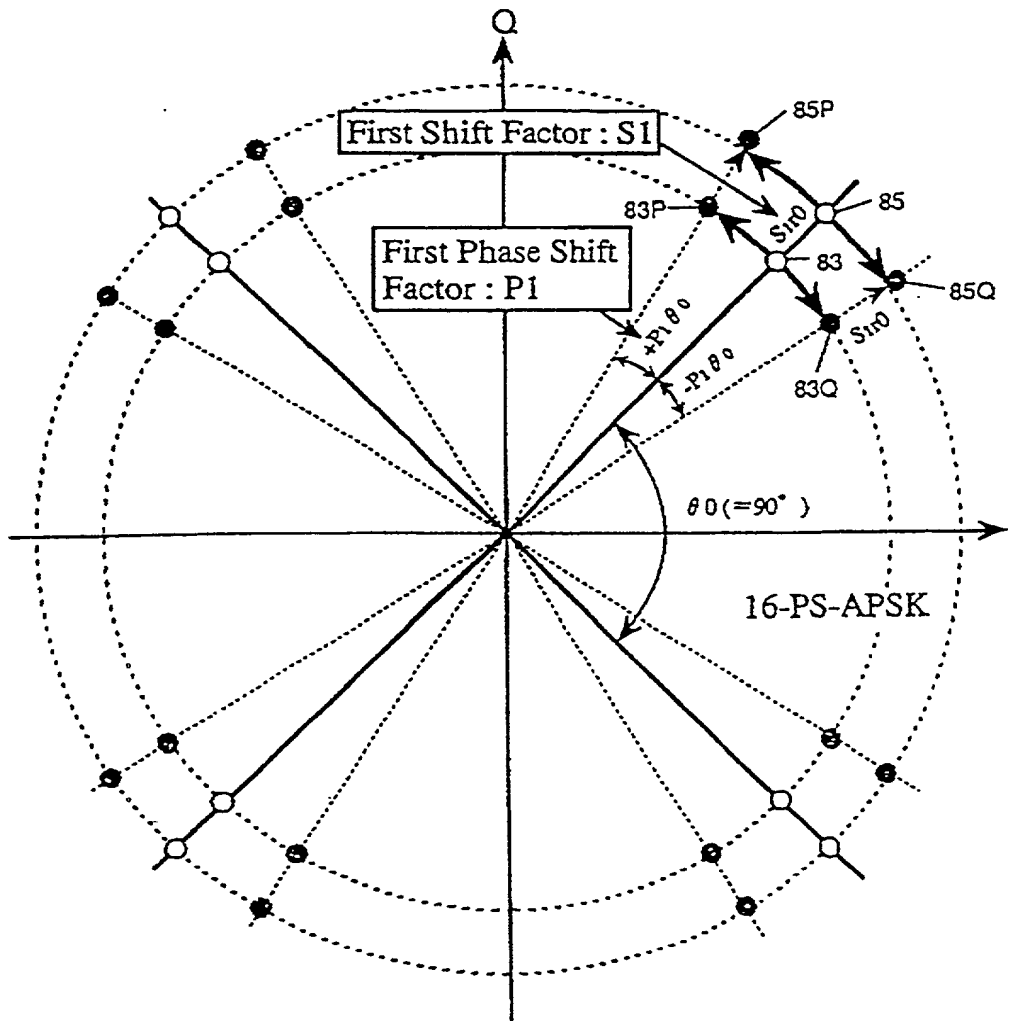


FIG. 143

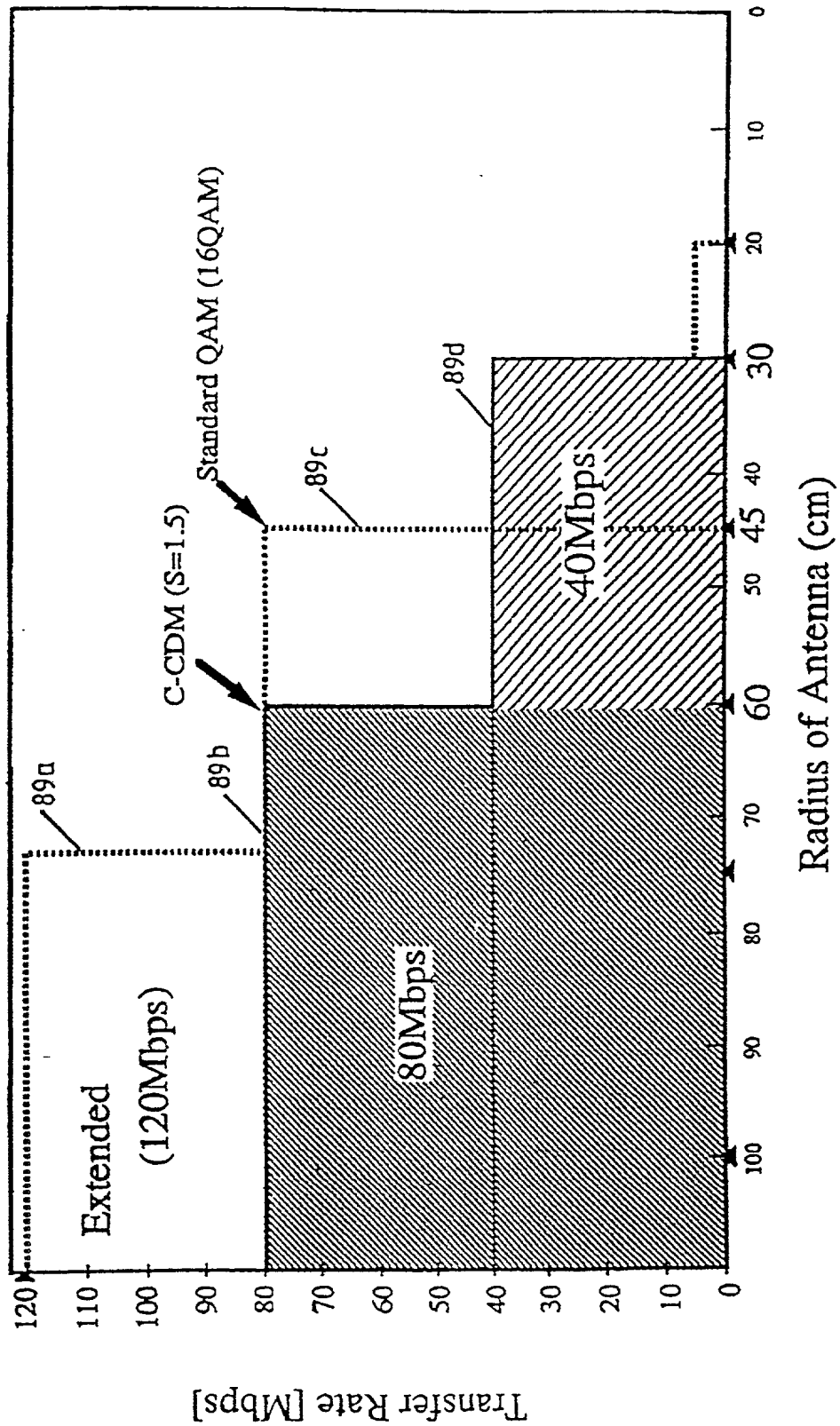




FIG. 144

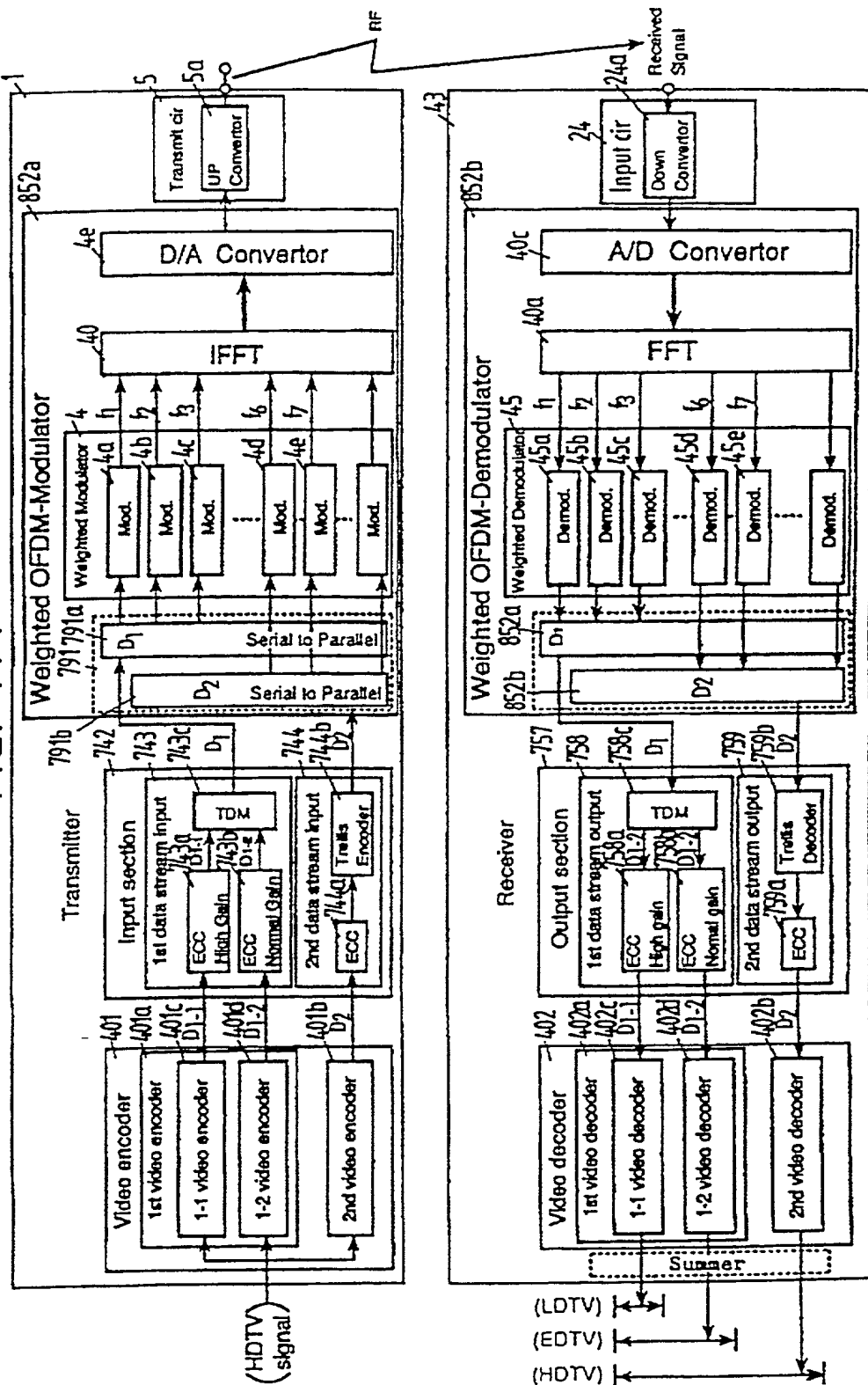


FIG. 145(a)

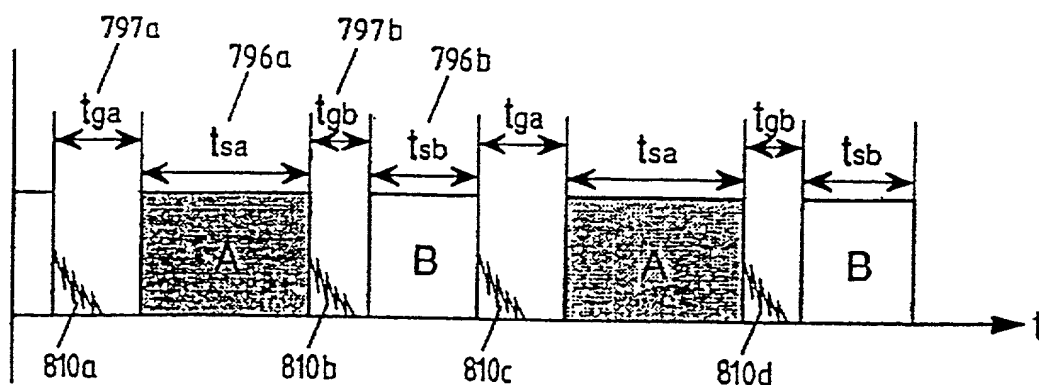


FIG. 145(b)

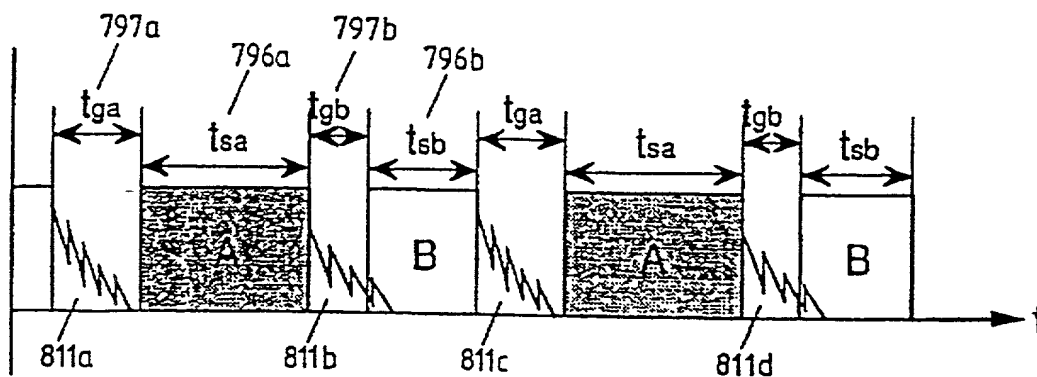


FIG. 146

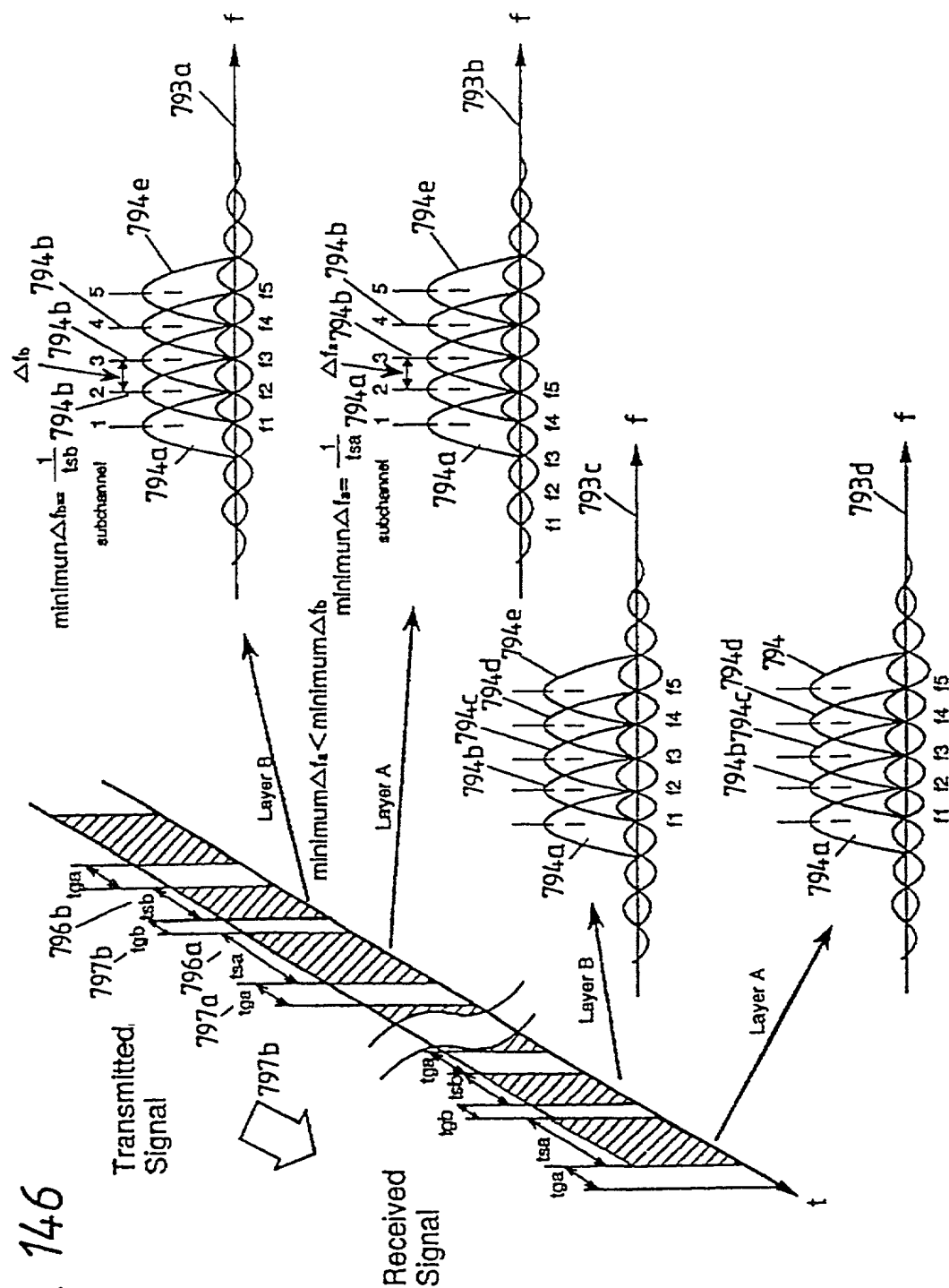


FIG. 147

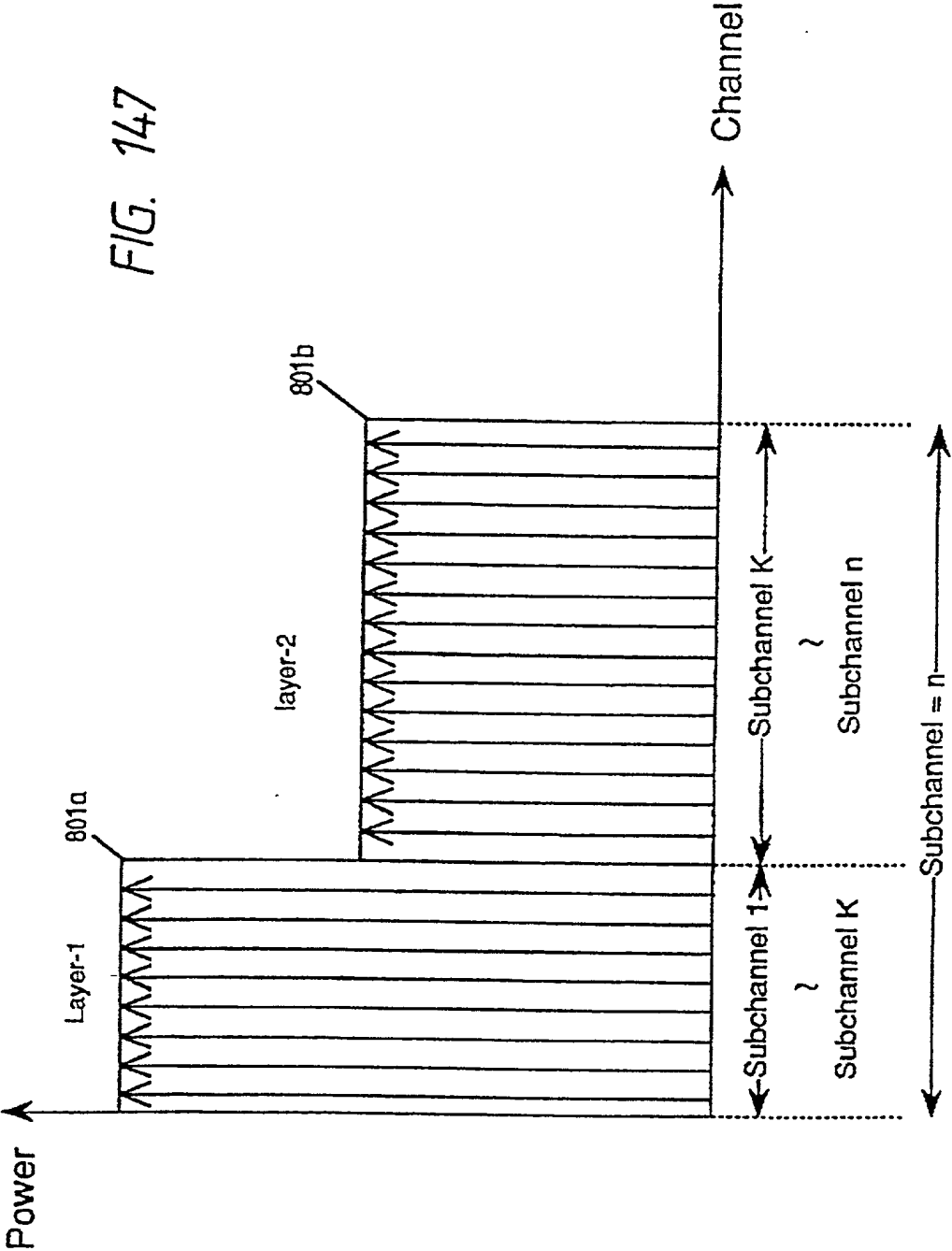


FIG. 148

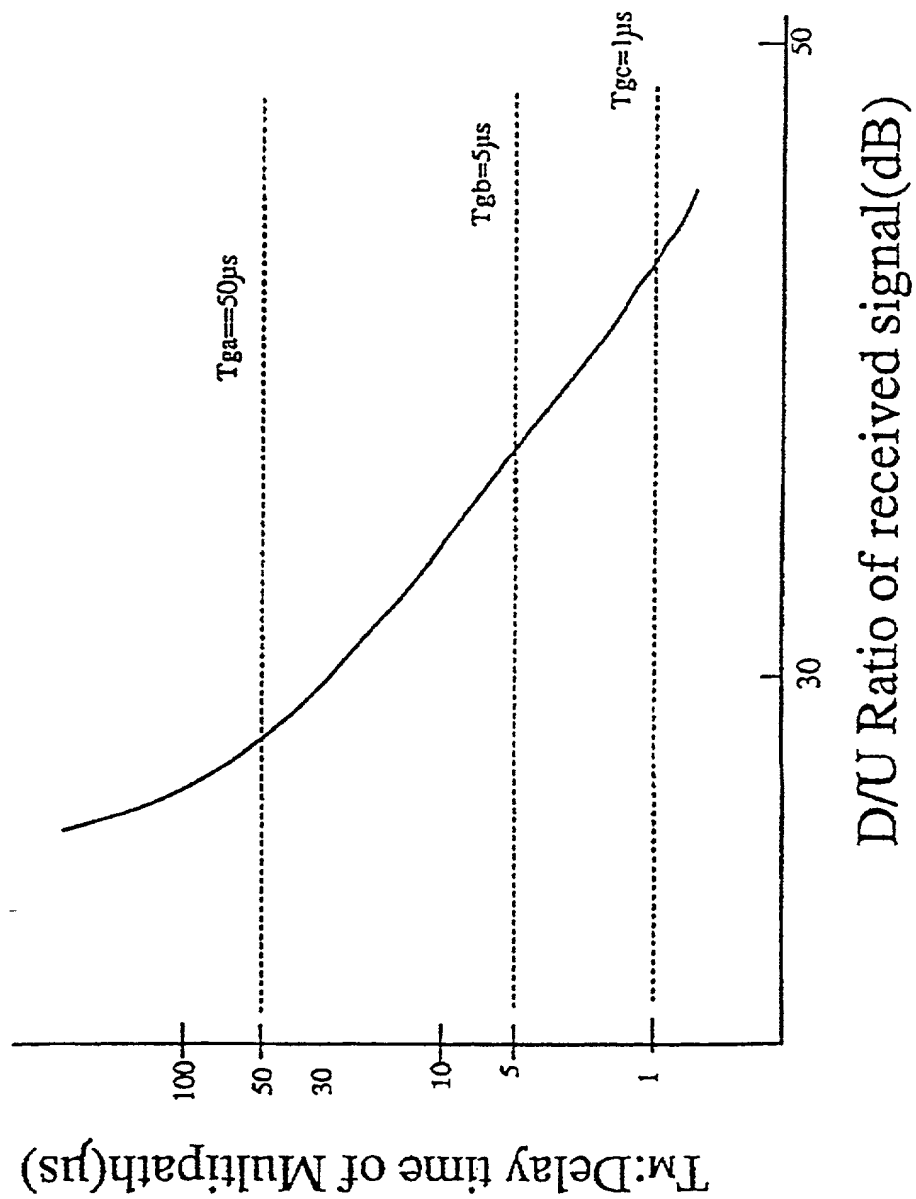




FIG. 150

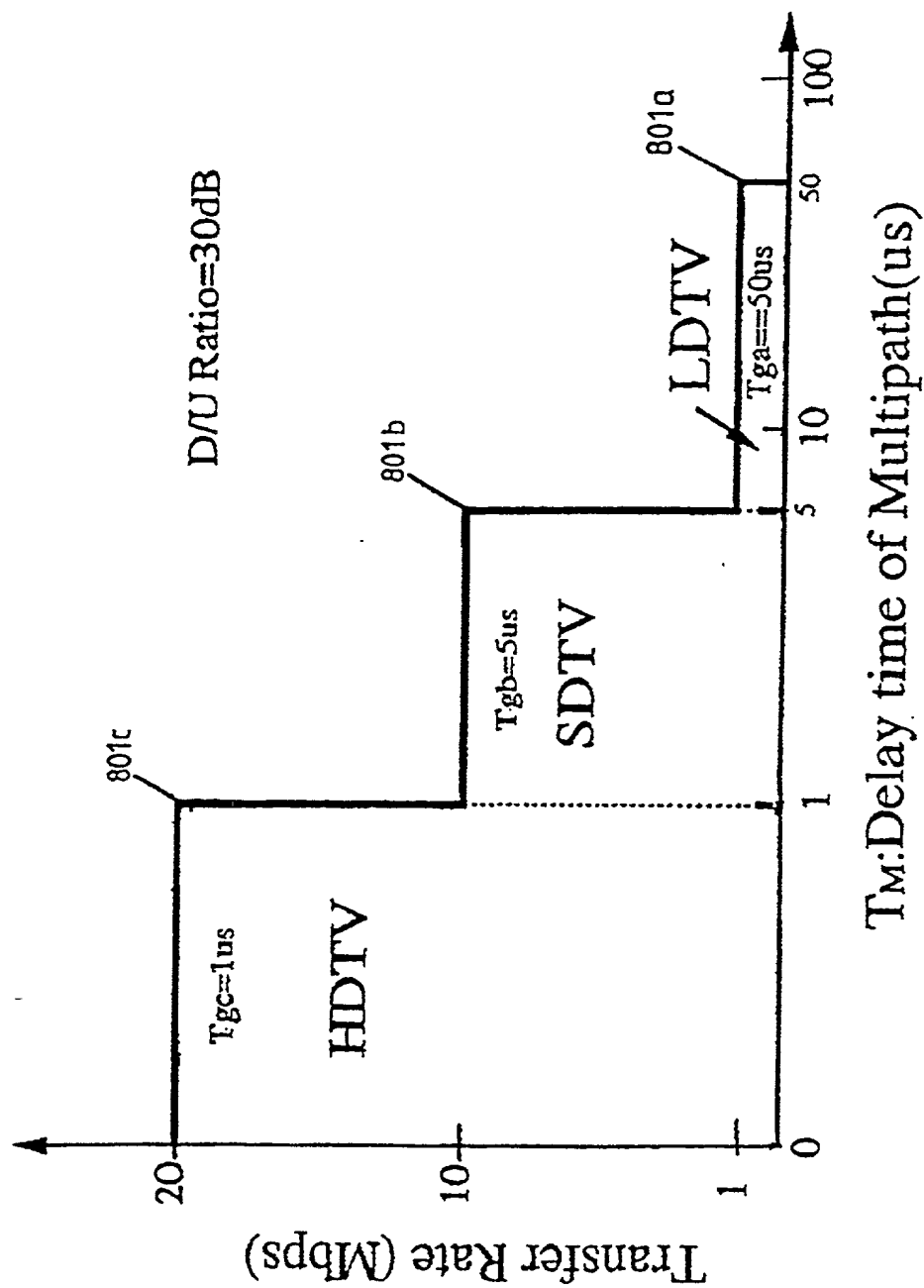


FIG. 151

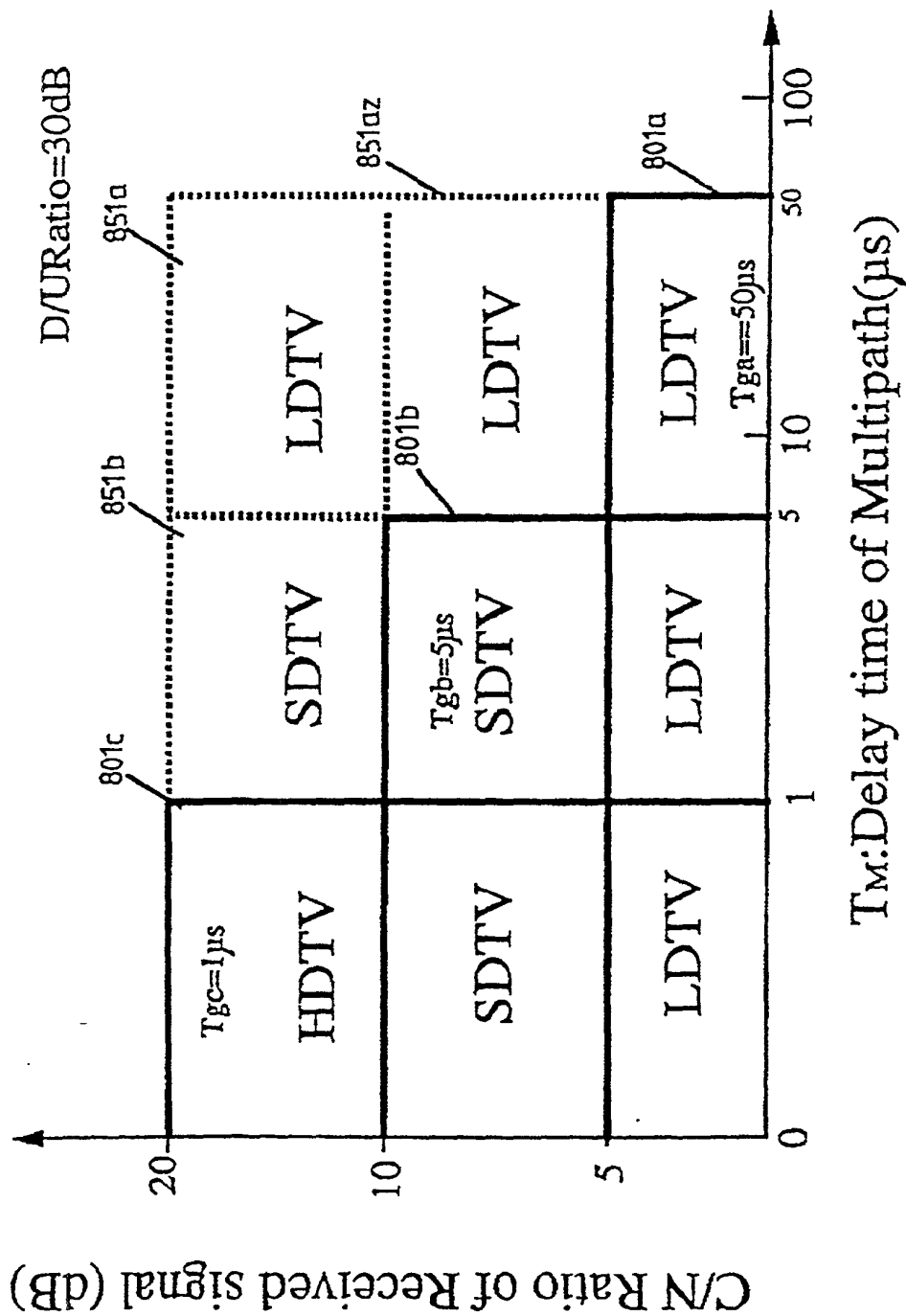
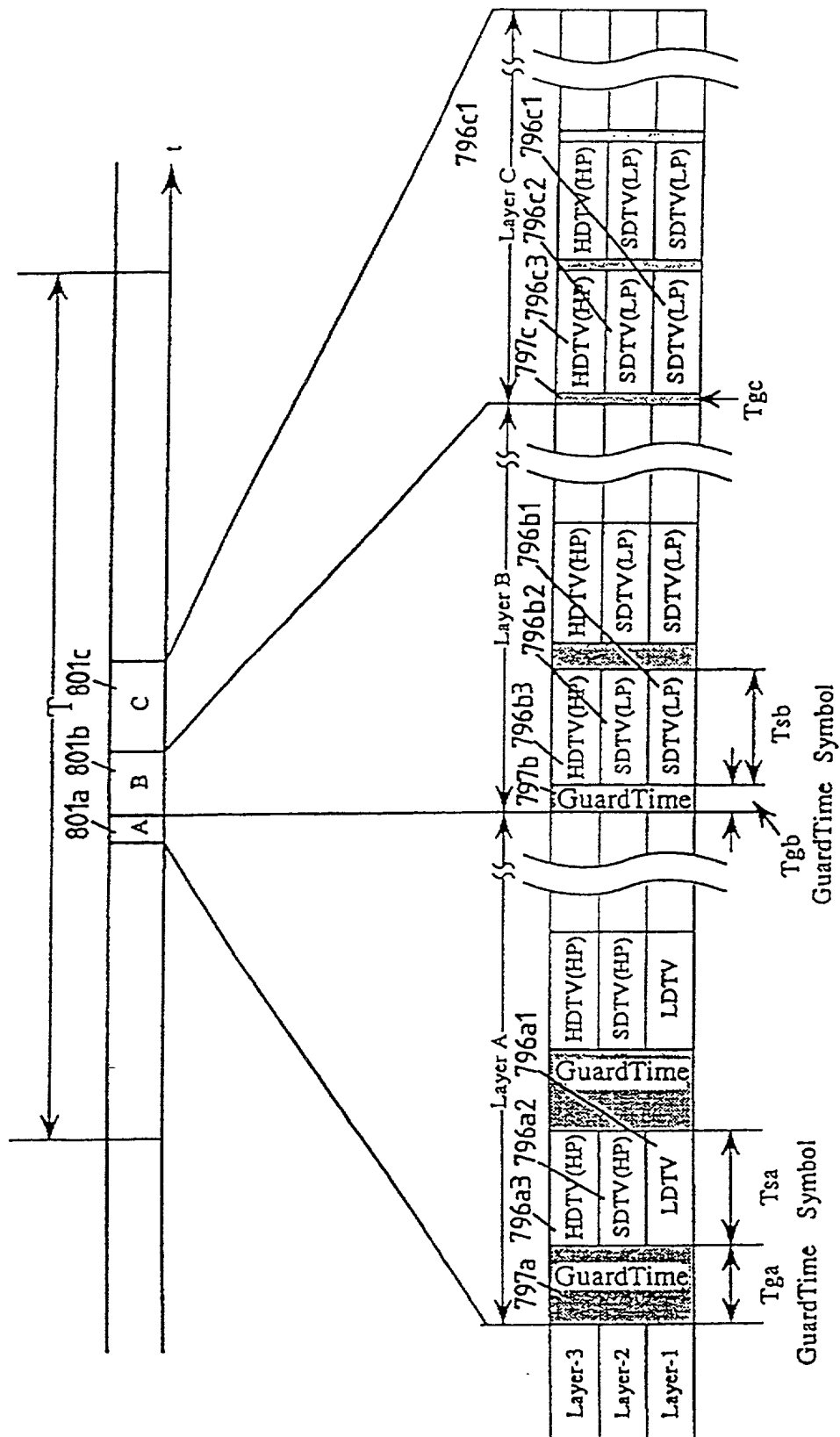
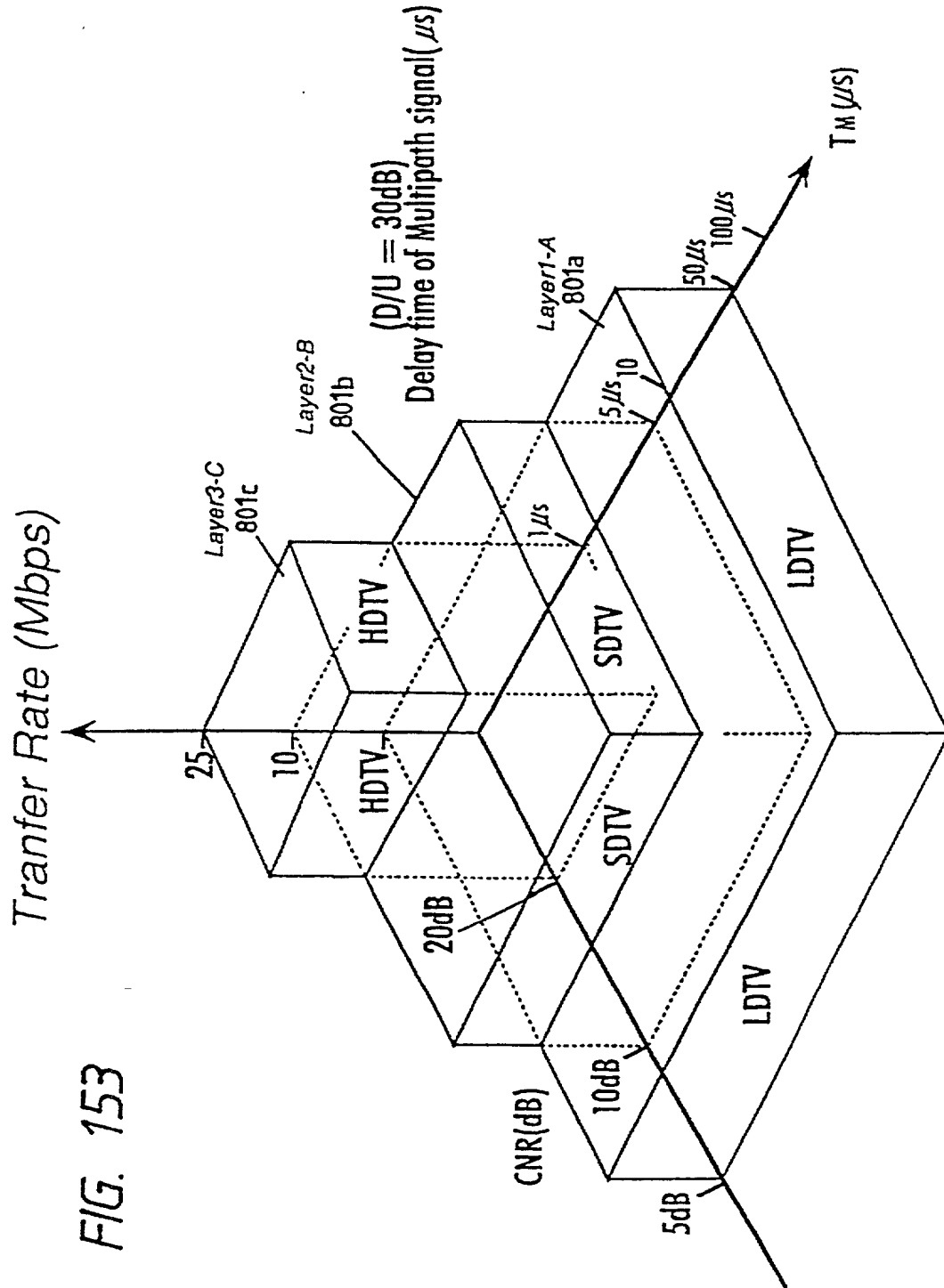




FIG. 152





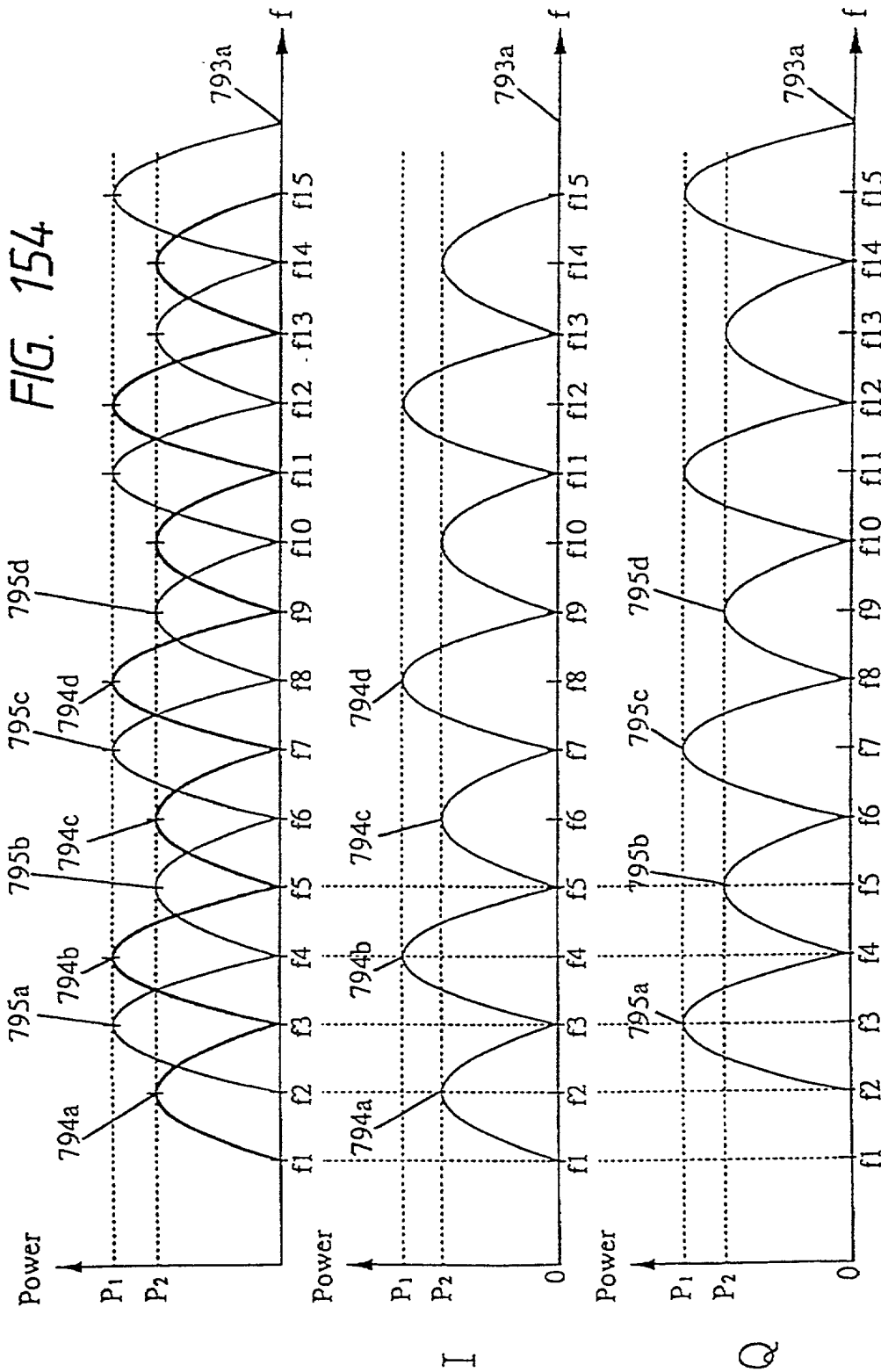


FIG. 155

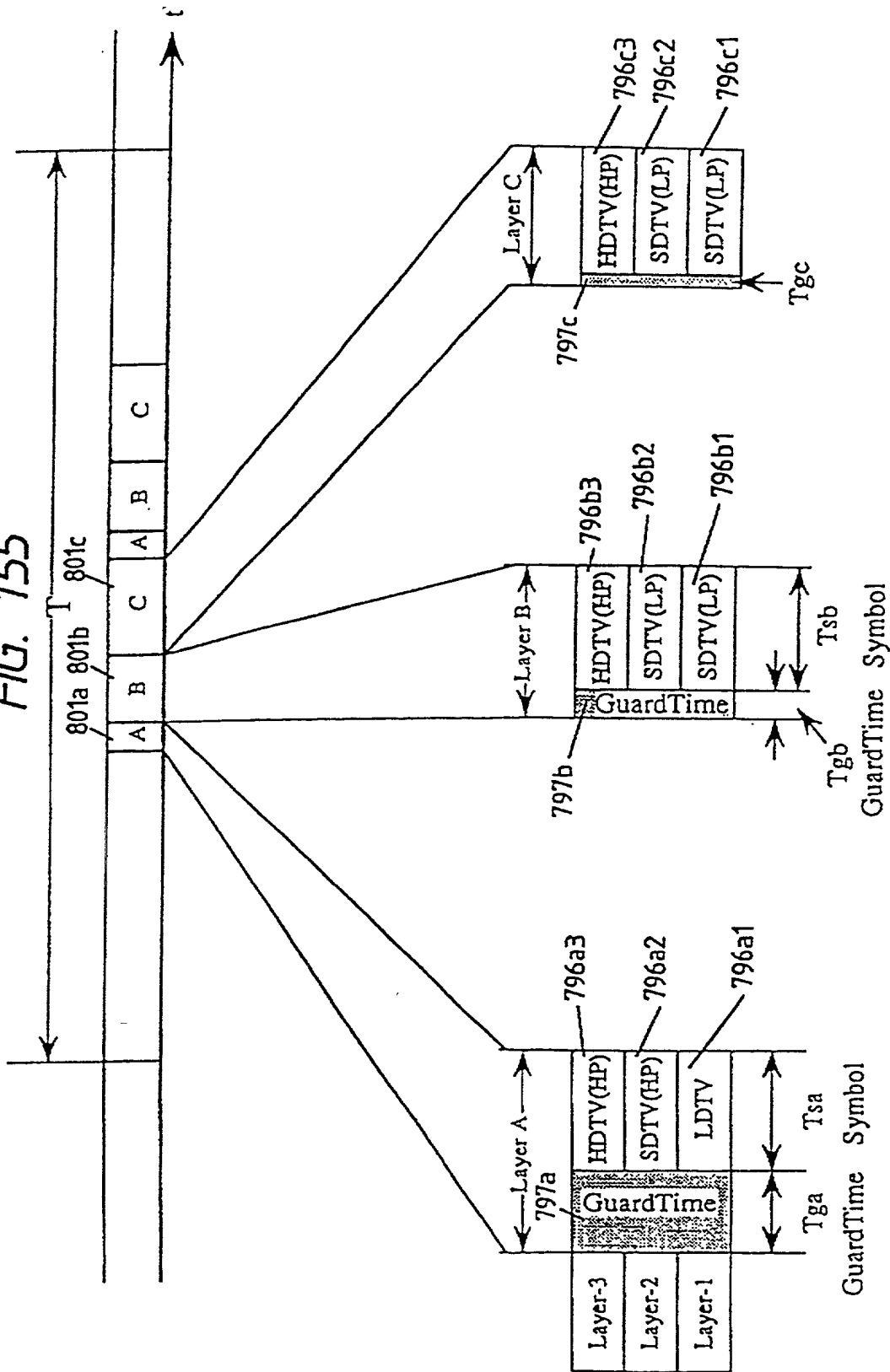


FIG. 156

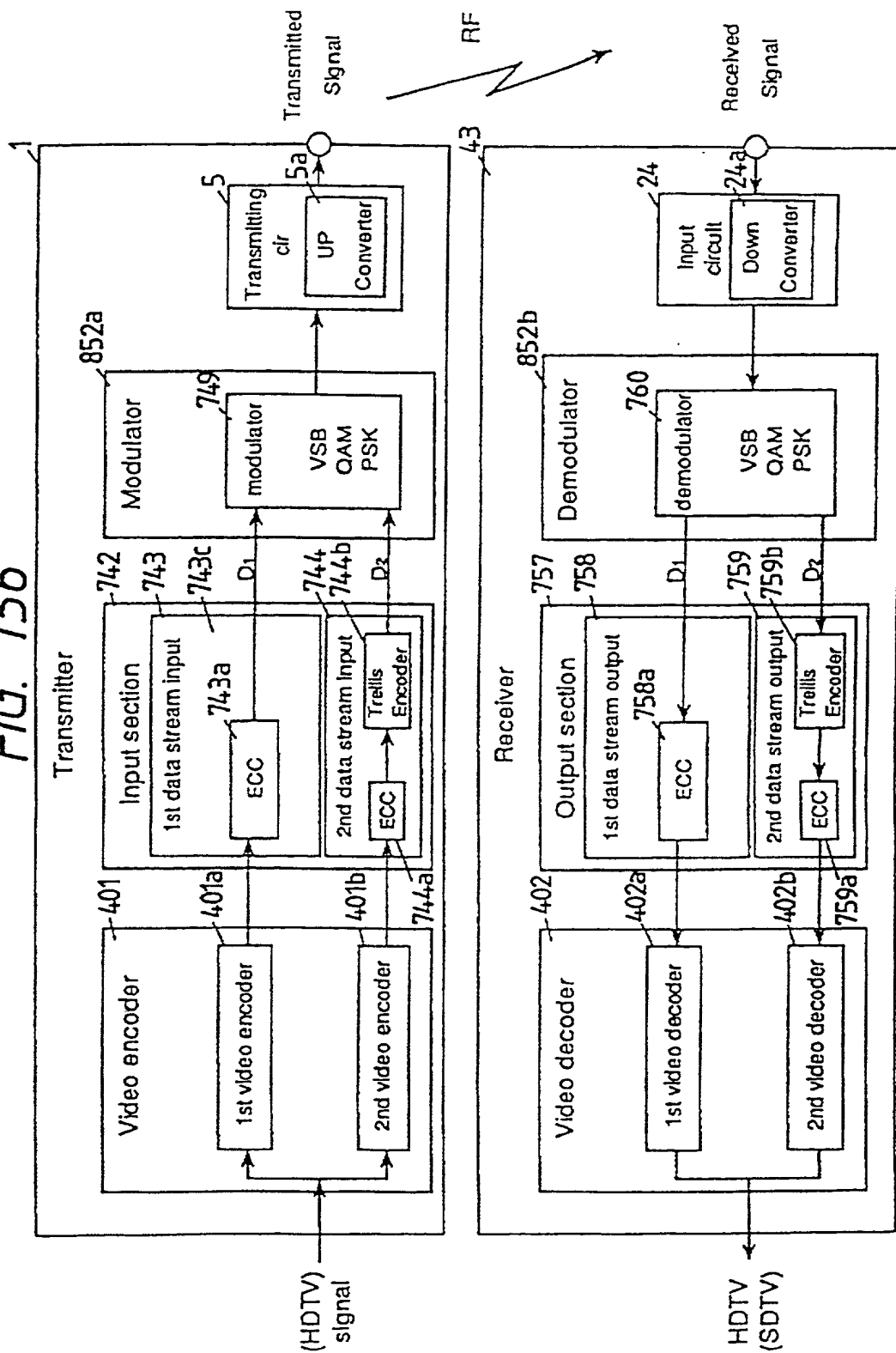


FIG. 157

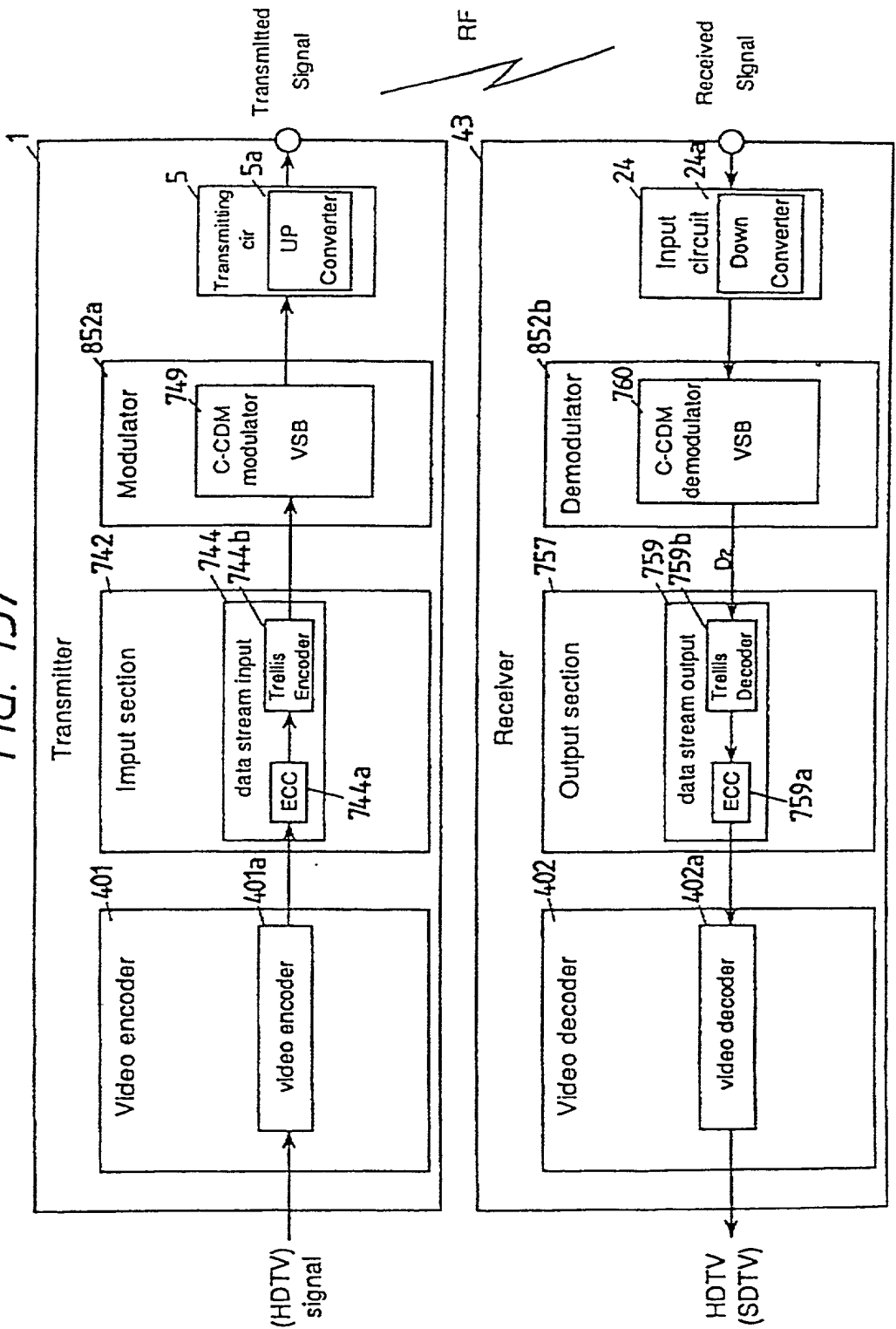
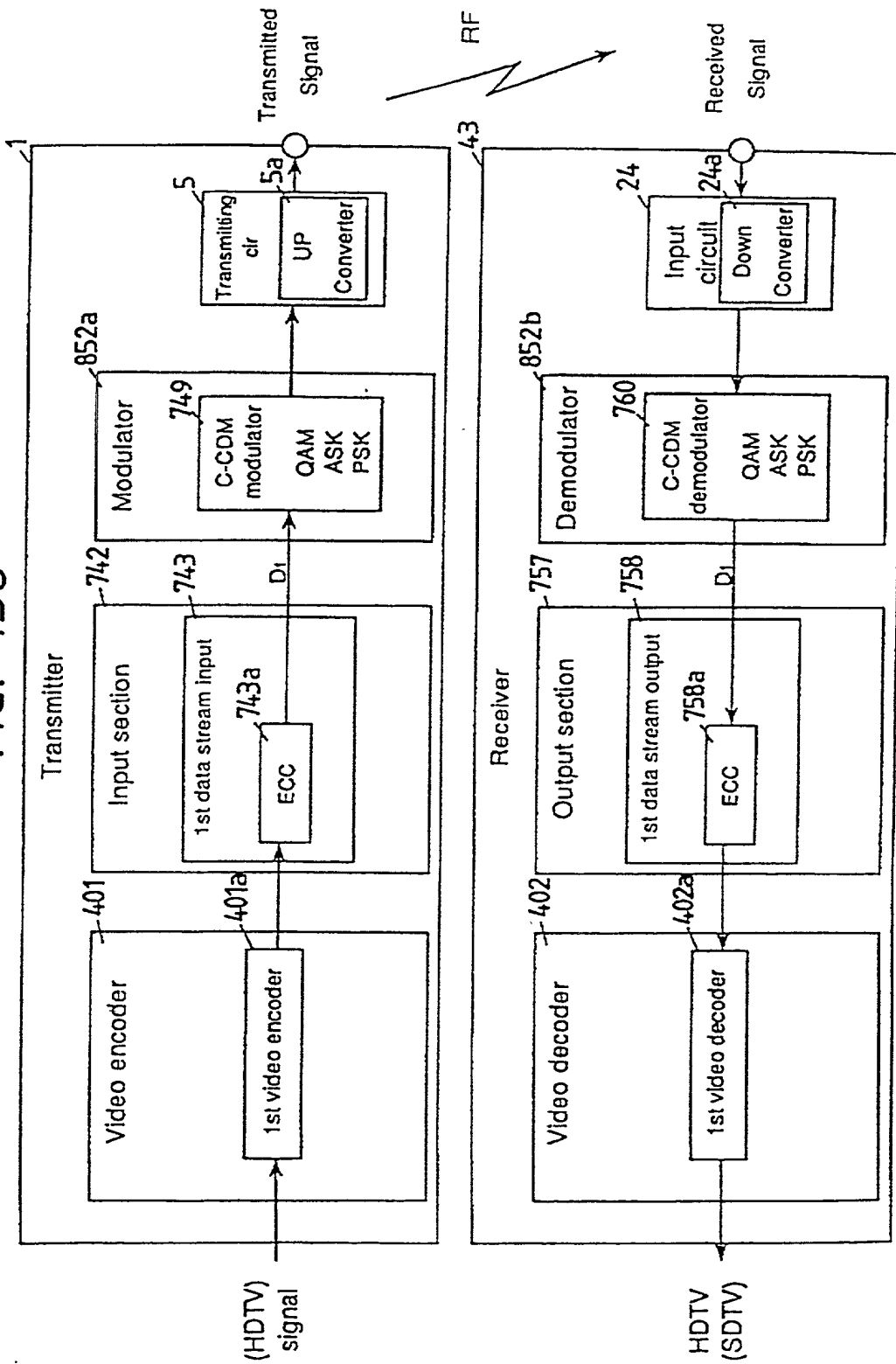


FIG. 158



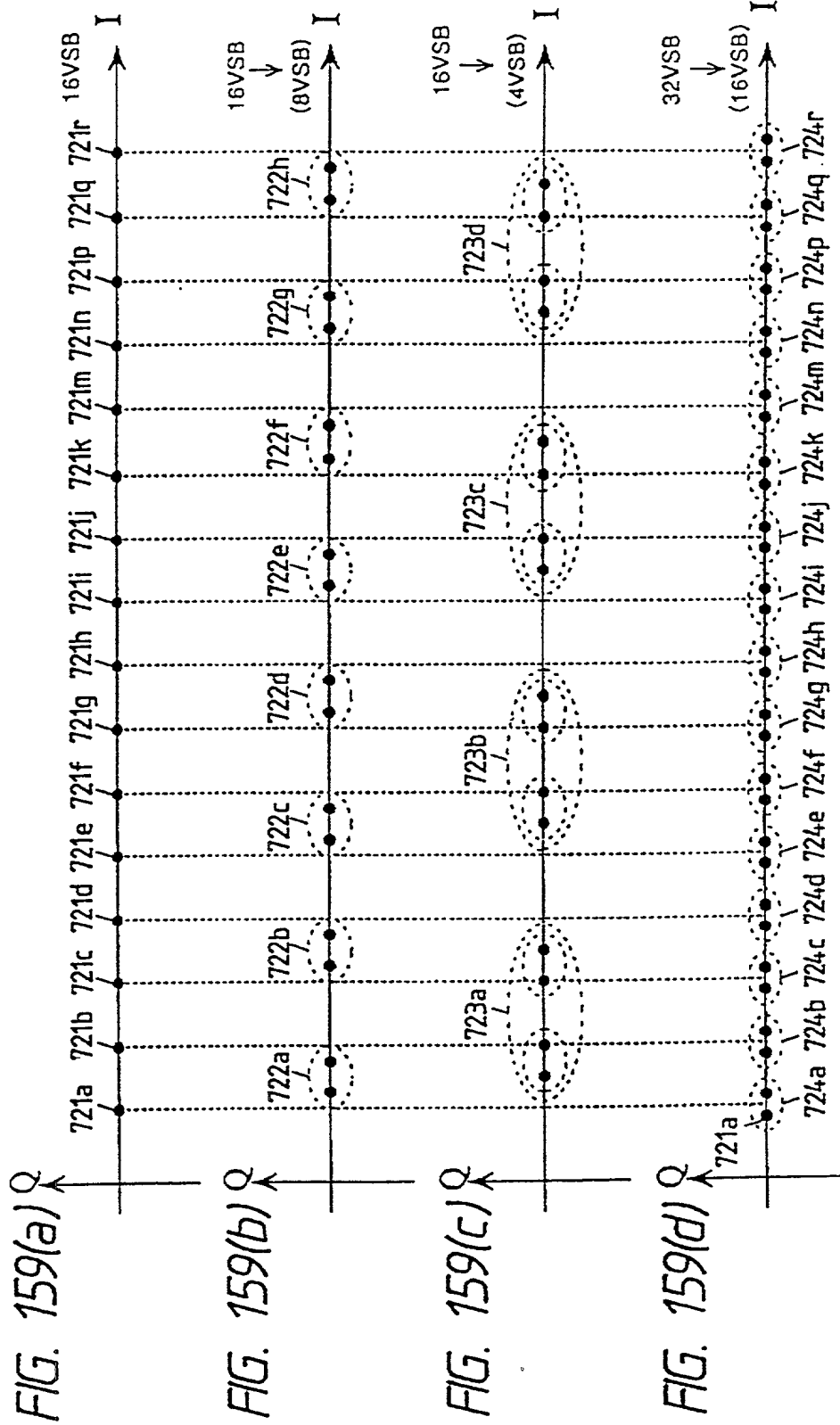




FIG. 160(a)

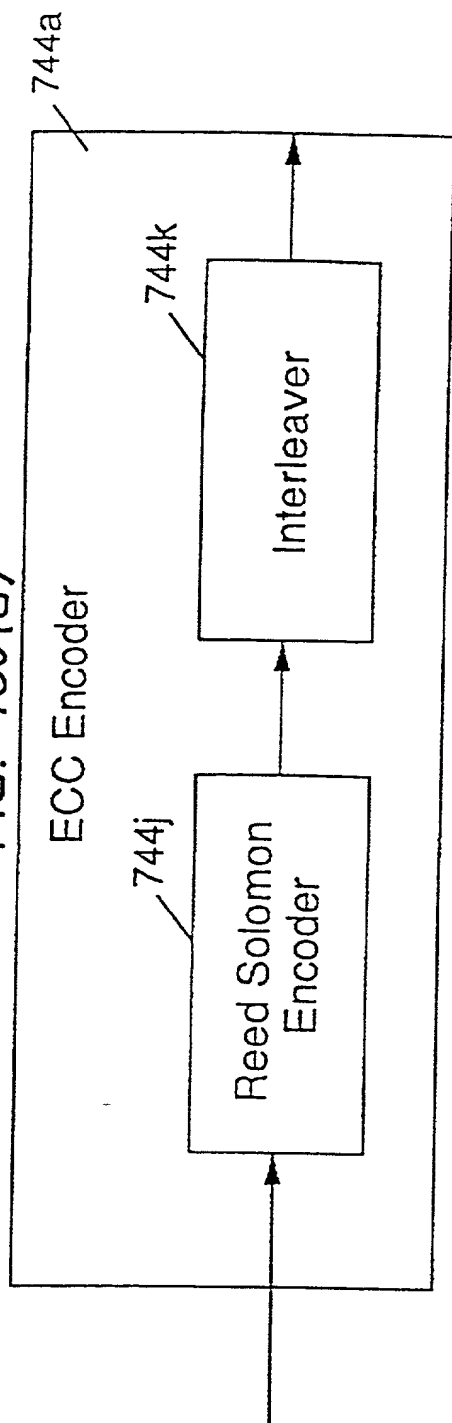


FIG. 160(b)

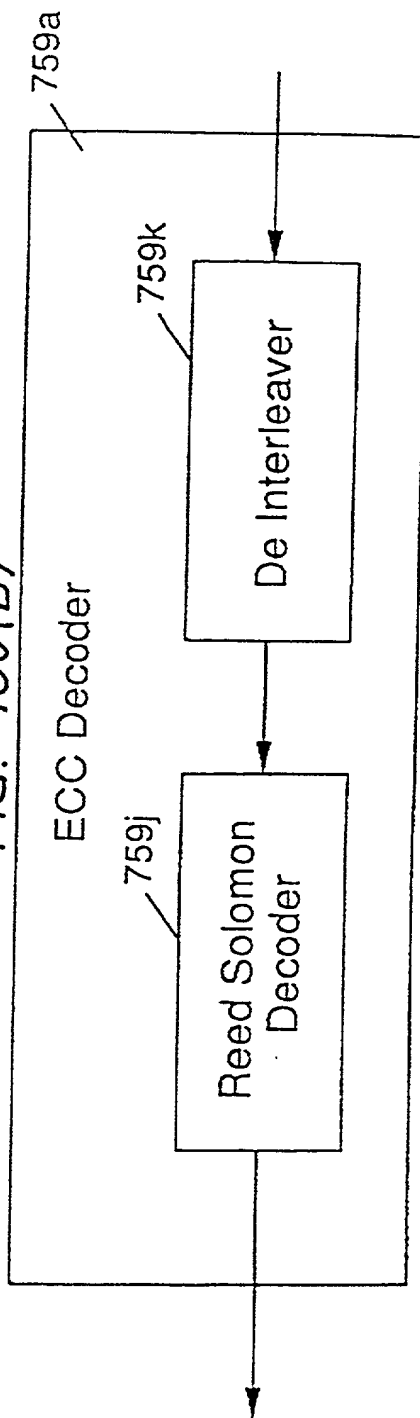


FIG. 161

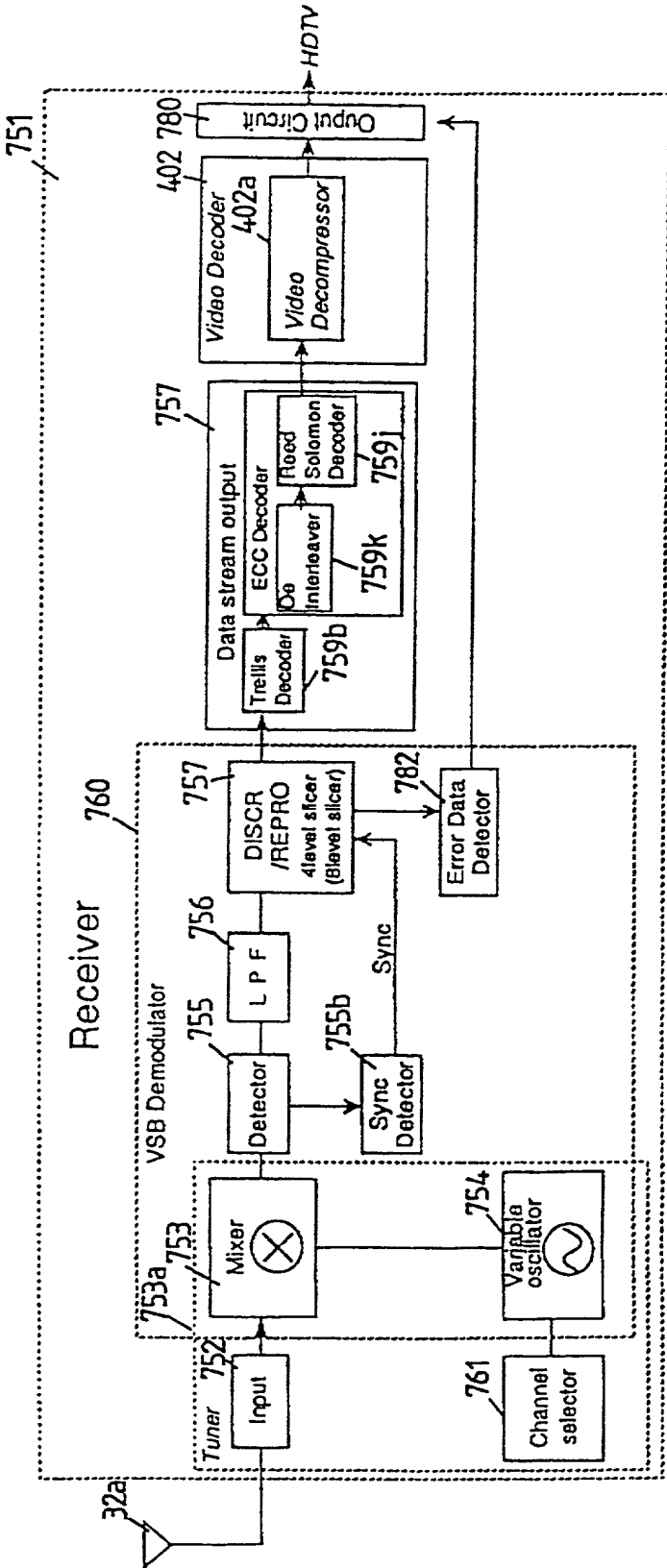


FIG. 162

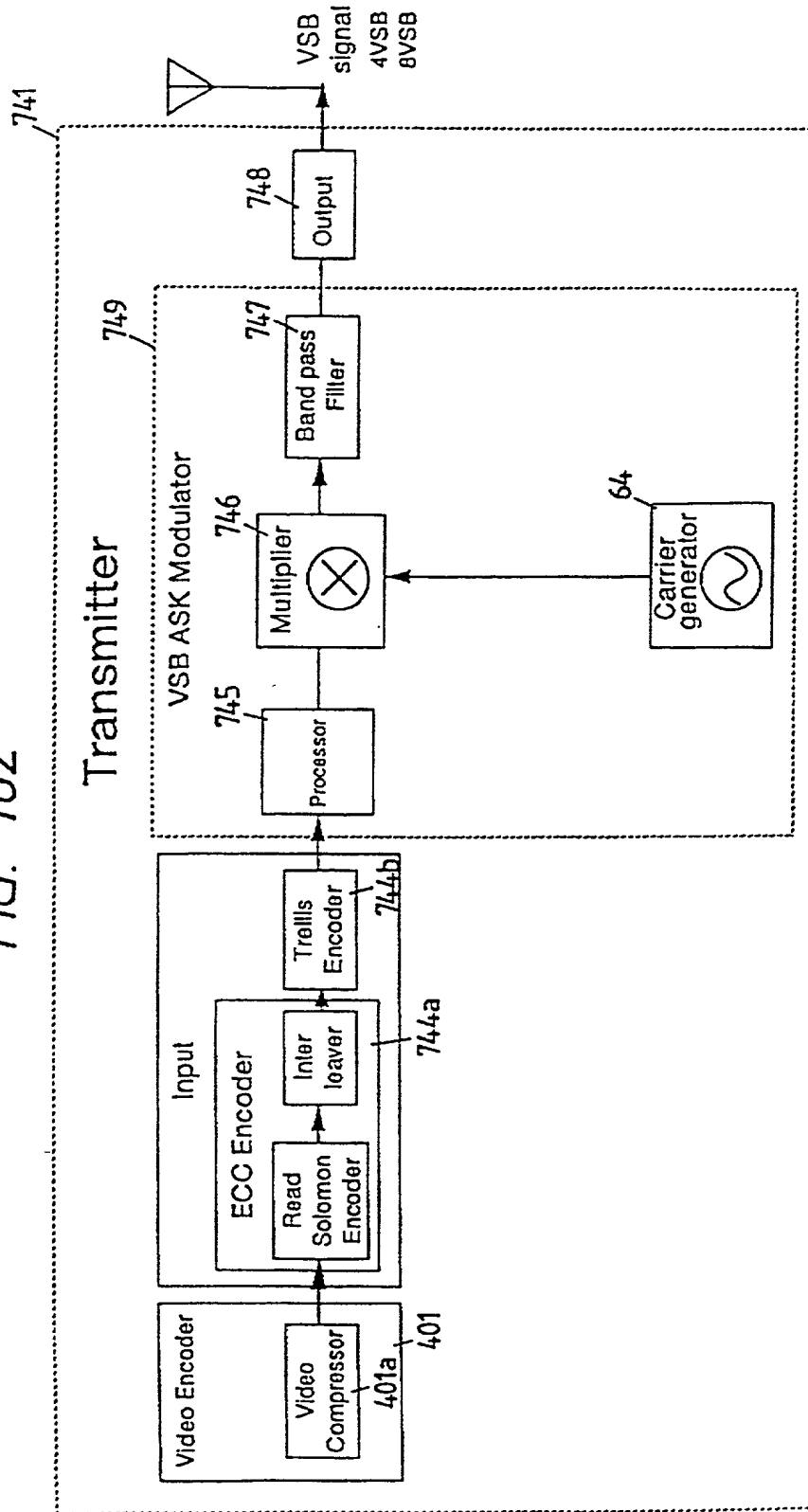


FIG. 163

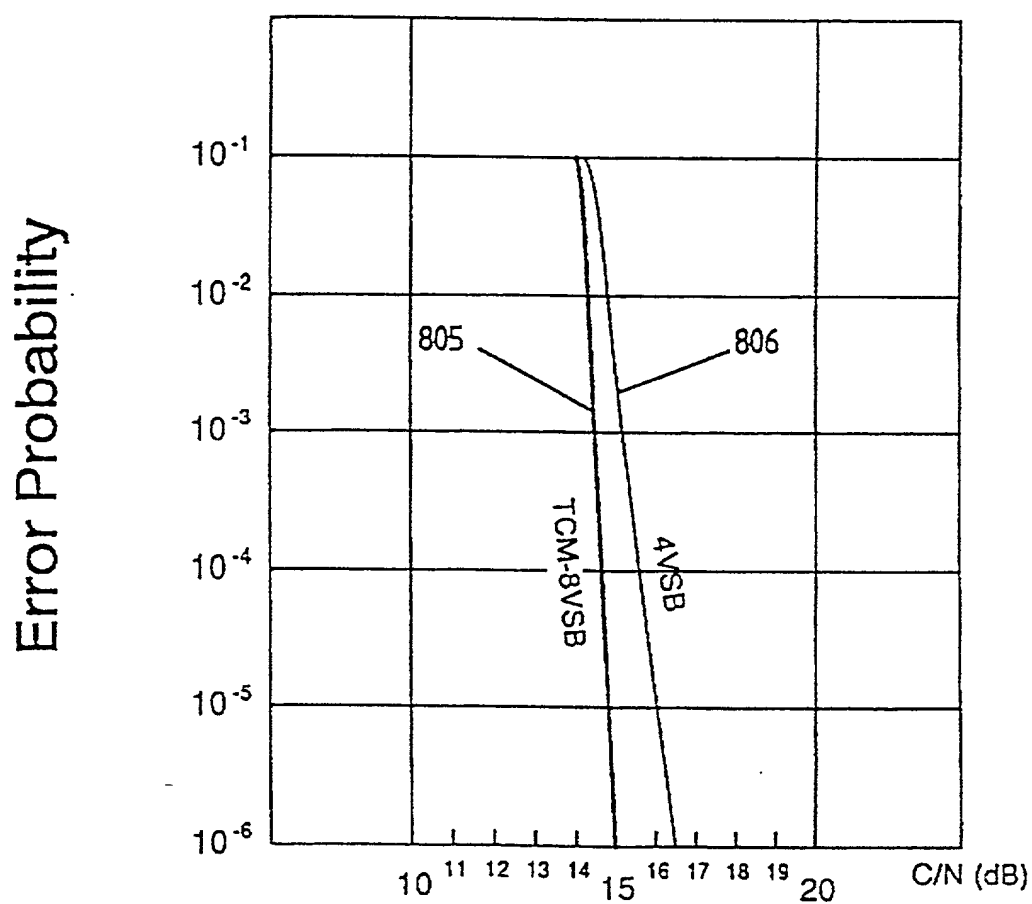


FIG. 164

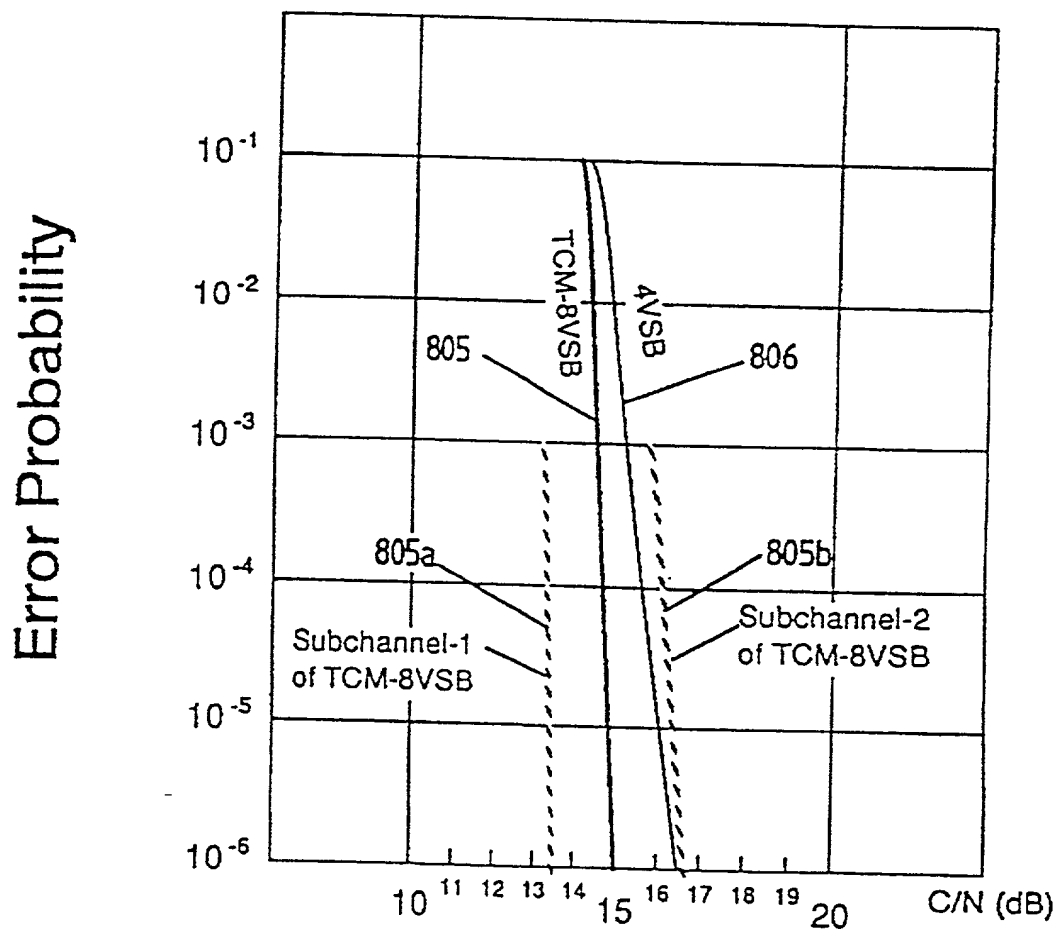


FIG. 165(a)

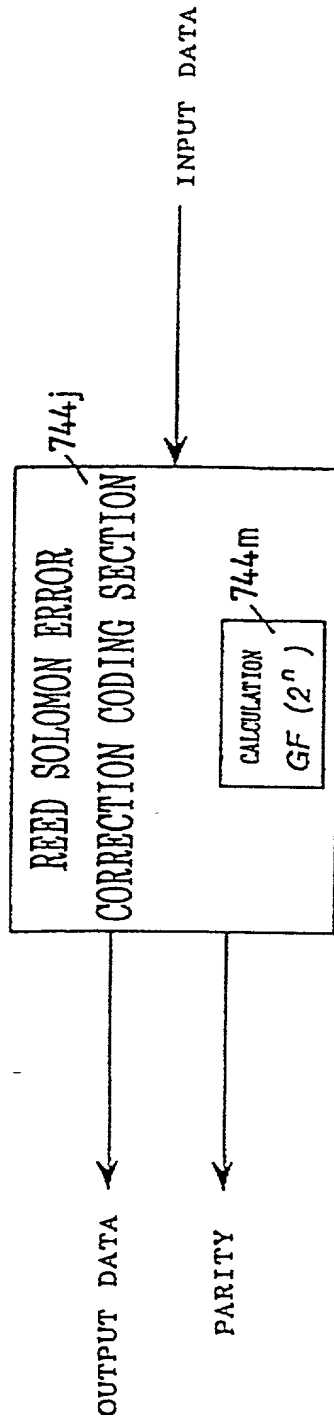


FIG. 165(b)

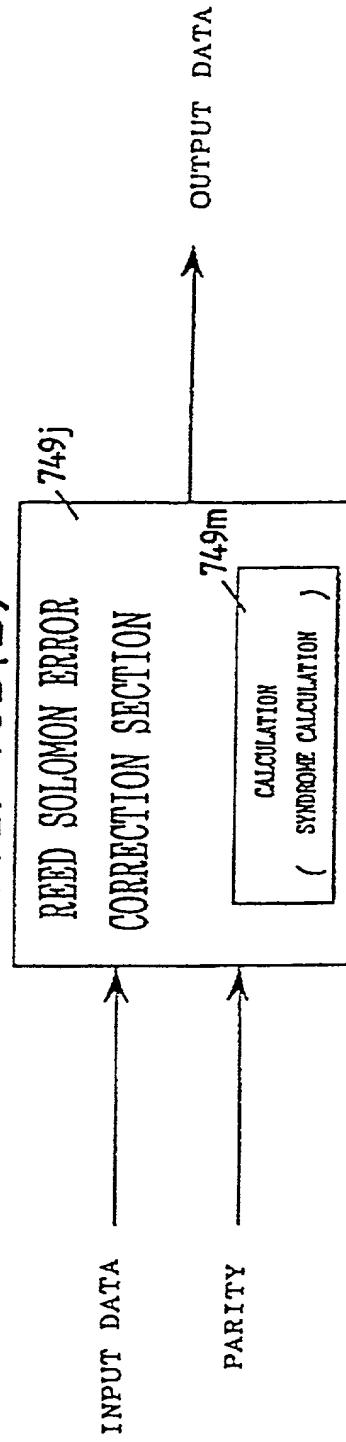


FIG. 166

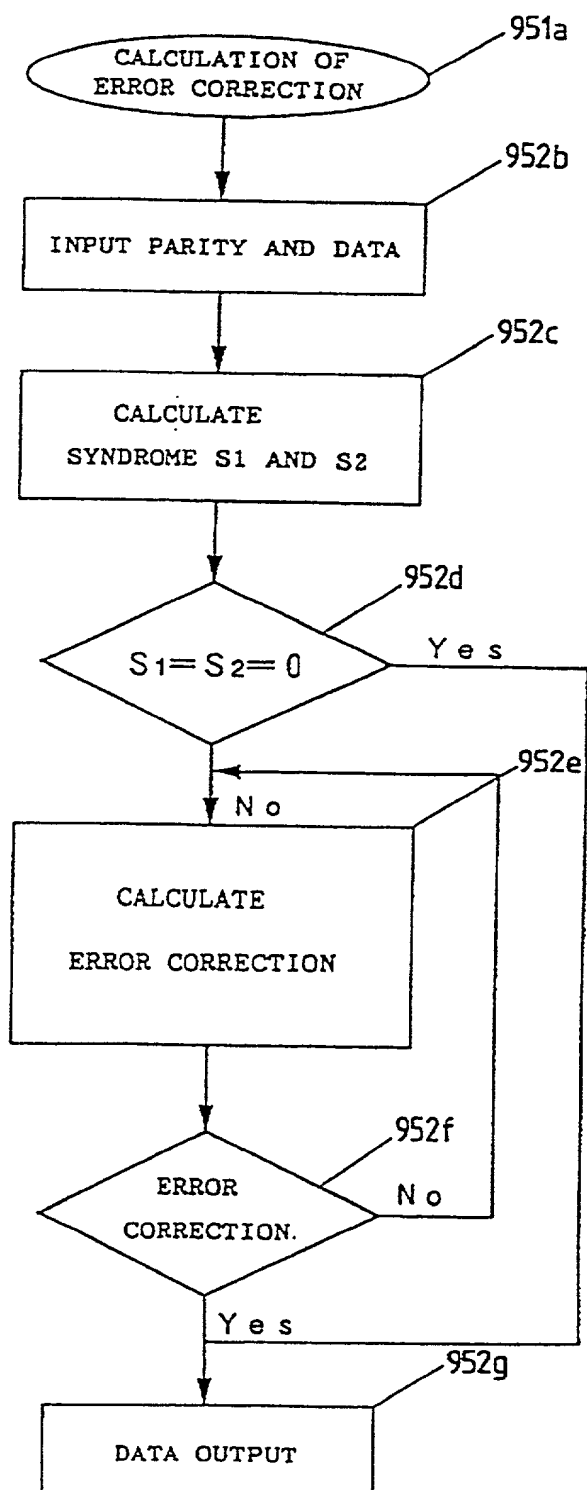


FIG. 167

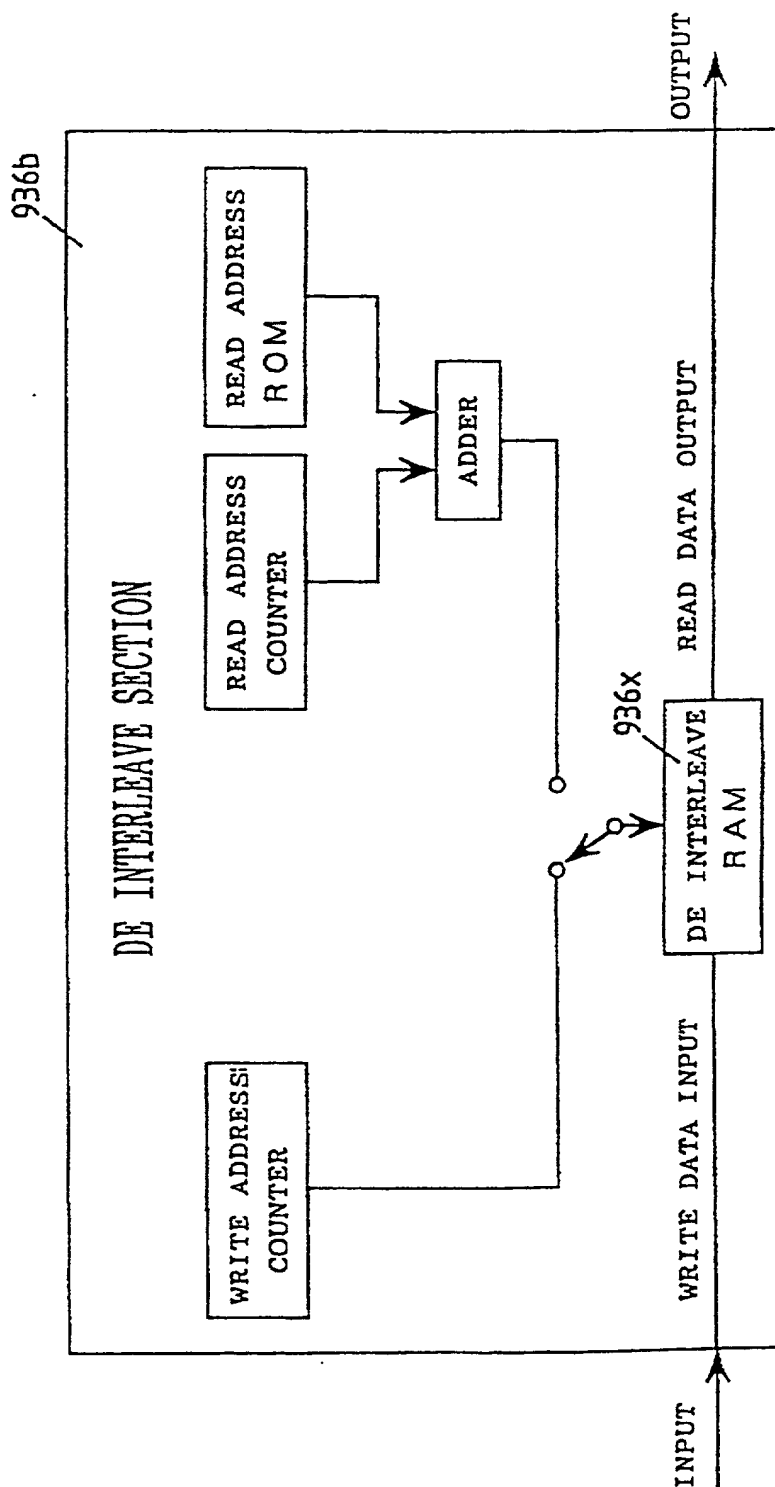




FIG. 168(a) Inter leave Table

1	2	3	4	5	6	7
Data						C2 Parity
1 A11	A12	A13	A14	A15	A16	Parity
2 B11	B12	B13	B14			
3 C11						
4 D11						
5 E11						
6 F11						
C1 Parity	Parity	Parity	Parity	Parity	Parity	Parity

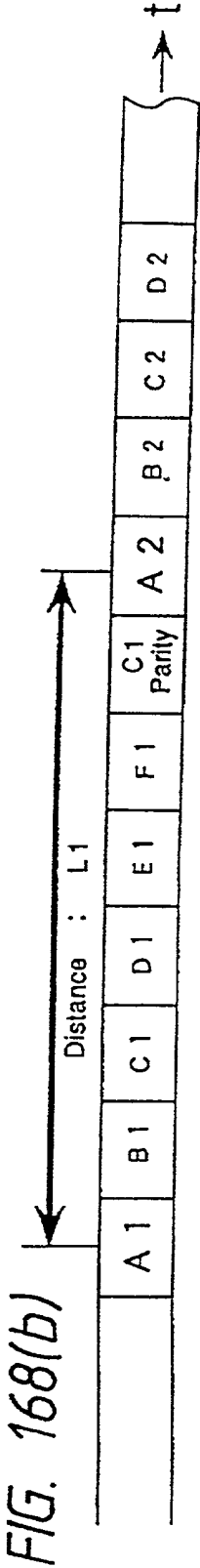


FIG. 169  
Comparison of Redundancy

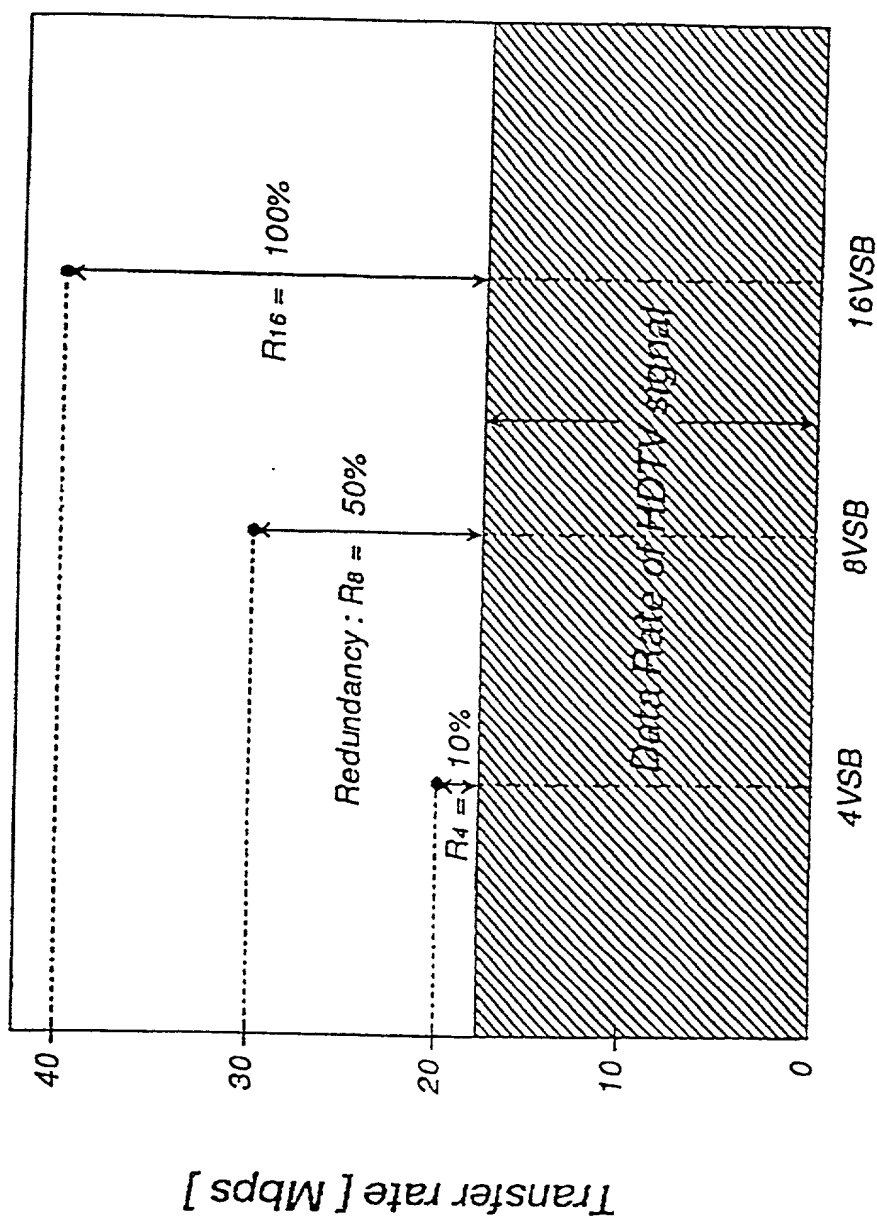


FIG. 170

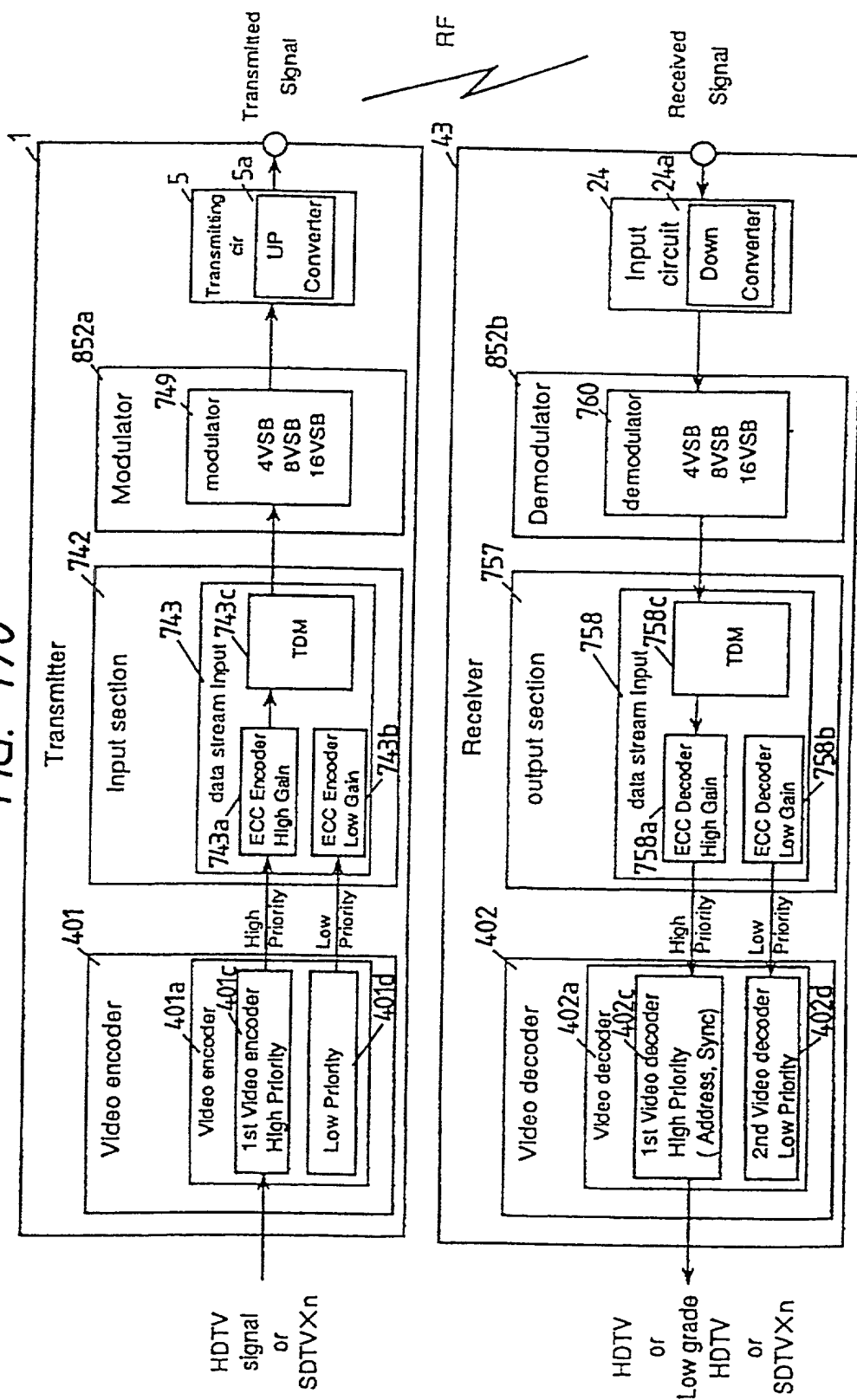


FIG. 171

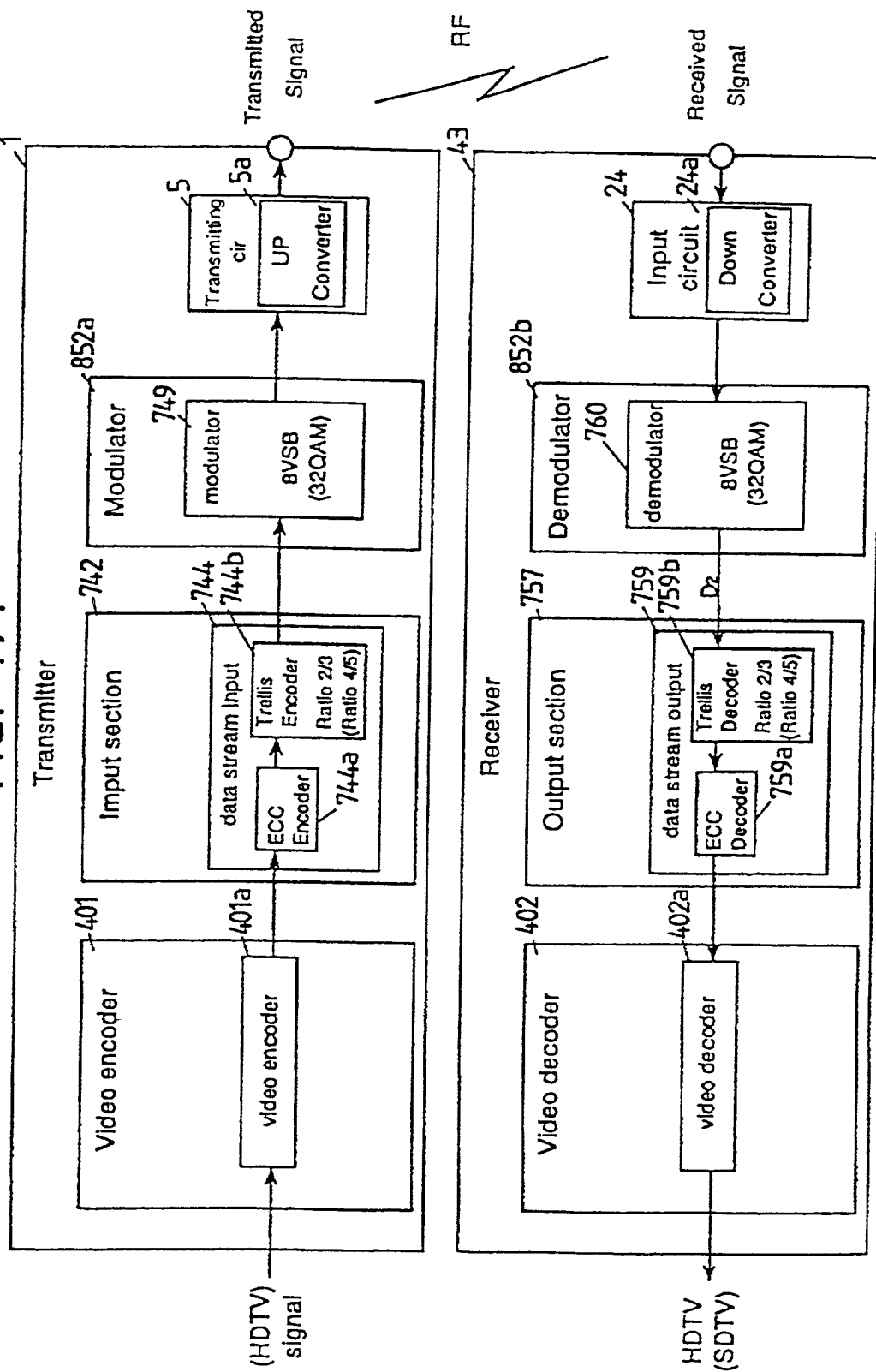


FIG. 172

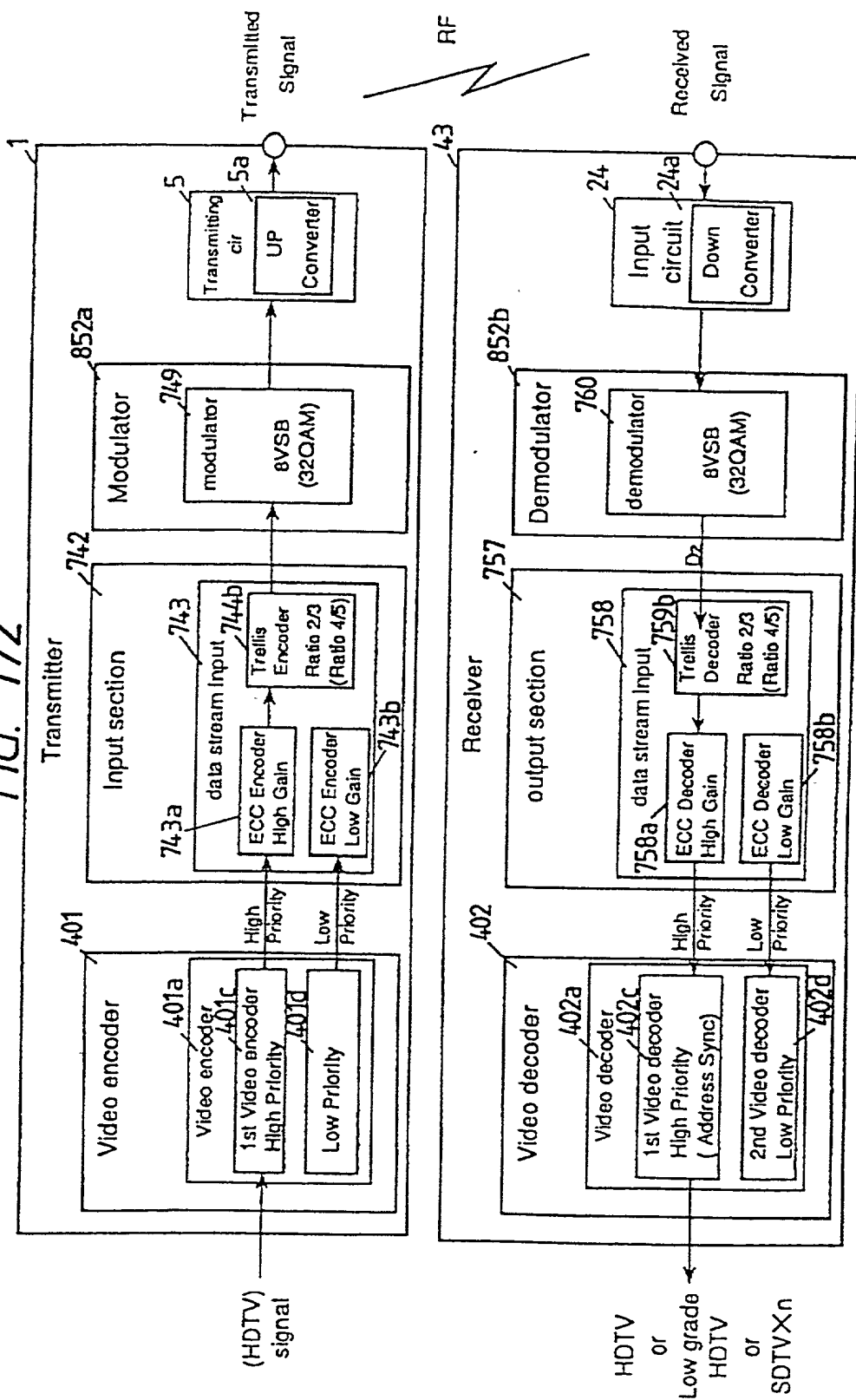


FIG. 173

